

*Technical Report Series*

---

**Life Span Study Report 11.  
Part 3. Noncancer Mortality, 1950–85,  
Based on the Revised Doses (DS86)**

**Yukiko Shimizu, D.M.Sc.; Hiroo Kato, M.D.;  
William J. Schull, Ph.D.; David G. Hoel, Ph.D.**



Radiation Effects Research Foundation

A Cooperative Japan–United States Research Organization

### **RERF Technical Report Series**

Technical reports are the basic medium for reporting of original research carried out at the Radiation Effects Research Foundation. Reports in this series receive both internal and external peer review and may serve, in part or in toto, as the basis for publication in the open scientific literature. Although they may be quoted and cited, these reports are considered to be internal publications of the Foundation. Copies are available upon request from Publication and Documentation Center, RERF, 5-2 Hijiyama Park, Minami-ku, Hiroshima, 732 Japan.

*The Radiation Effects Research Foundation (formerly ABCC) was established in April 1975 as a private nonprofit Japanese foundation, supported equally by the Government of Japan through the Ministry of Health and Welfare, and the Government of the United States through the National Academy of Sciences under contract with the Department of Energy.*

---

**業績報告書シリーズ**


---

**寿命調査 第11報 第3部  
改訂被曝線量(DS86)に基づく癌以外の死因による  
死亡率(1950–85年)<sup>§</sup>**

**Life Span Study Report 11. Part 3.  
Noncancer Mortality, 1950–85, Based on the  
Revised Doses (DS86)**

清水由紀子<sup>1</sup> 加藤寛夫<sup>2</sup> William J. Schull<sup>3</sup> David G. Hoel<sup>4</sup>

**要 約**

寿命調査対象集団における1950–85年の死亡調査を行い、改訂被曝線量(DS86線量)と癌死亡率の関連については、すでに別に報告した(寿命調査 第11報、第1部および第2部)。本報告では癌以外の死因による死亡について被曝線量との関連を調べた。

まだ限られた根拠しかないが、高線量域(2または3 Gy以上)において癌以外の疾患による死亡リスクの過剰があるように思われる。統計学的にみると、二次モデルまたは線形-閾値モデル(推定閾値線量1.4 Gy[0.6–2.8 Gy])のほうが、単純な線形または線形-二次モデルよりもよく当てはまる。癌以外の疾患による死亡率のこのような増加は、一般的に1965年以降で若年被爆群(被爆時年齢40歳以下)において認められ、若年被爆者の感受性が高いことを示唆している。死因別にみると、循環器および消化器系疾患について、高線量域(2 Gy以上)で相対リスクの過剰が認められる。しかし、この相対リスクは癌の場合よりもはるかに小さい。

これらの所見は、死亡診断書に基づいているので信頼性には限界がある。おそらく最も重要な問題は、放射線誘発癌が他の死因に誤って分類される可能性があることである。高線量

---

<sup>§</sup>本業績報告書は研究計画書RP 1-75に基づく。本報告に基づく論文は、Radiation Research 130: 249–266, 1992に掲載された。本報告の日本語版は別に発行する。承認1991年6月10日。印刷1993年1月。

<sup>1</sup>放影研疫学部 <sup>2</sup>放影研疫学顧問、国立水俣病研究センター <sup>3</sup>放影研常務理事、現在テキサス大学保健科学センター、ヒューストン <sup>4</sup>米国環境保健科学研究所、リサーチ・トライアングルパーク、ノースカロライナ

域で癌以外の死因による死亡が増加していることは明白だが、どれだけこの誤りに起因するのかを明確かつ厳密に推定することは現在のところむずかしい。しかしながら、死因の分類の誤りだけで、この増加を完全には説明できないようと思われる。

高線量を被曝した被爆者において癌以外の死因による死亡が増加しているという傾向を確認し、更に、そのような死亡増加が寿命短縮をもたらしているか否かを明らかにするためには、寿命調査対象の部分集団（成人健康調査対象）について2年に1回行う検診で確認される疾患、および寿命調査対象の死亡率に関して追跡調査をさらに行うことが必要であろう。

---

**Technical Report Series**

---

# **Life Span Study Report 11.**

## **Part 3. Noncancer Mortality, 1950–85, Based on the Revised Doses (DS86)<sup>§</sup>**

**Yukiko Shimizu, D.M.Sc.<sup>1</sup>; Hiroo Kato, M.D.<sup>2</sup>;  
William J. Schull, Ph.D.<sup>3</sup>; David G. Hoel, Ph.D.<sup>4</sup>**

### **Summary**

Deaths in the RERF Life Span Study (LSS) sample have been determined for the years 1950–85 and previous reports have described analyses of cancer mortality using the revised Dosimetry System 1986 (DS86) doses (LSS Report 11, Parts 1 and 2). In this report, we examine the relationship to dose of deaths from all diseases other than cancer.

Although the evidence is still limited, there seems to be an excess risk for noncancer death at high doses (2 or 3 Gy and over). Statistically, a pure quadratic or a linear-threshold model (the estimated threshold dose is 1.4 Gy [0.6–2.8 Gy]) is found to fit better than a simple linear or linear-quadratic model. This increase in noncancer mortality is statistically demonstrable, generally, after 1965 and among the younger survivors (<40) at the time of the bombings, suggesting a sensitivity in this age group. For specific causes of death, an excess relative risk at the high dose level, that is, ≥2 Gy, is seen in circulatory and digestive diseases. The relative risk is, however, much smaller than that for cancer.

These findings, based as they are on death certificates, have their limitations. Most significant, perhaps, is the possible erroneous attribution of radiation-related cancer deaths to other causes. At present, the contribution such errors may make to the apparent increase in noncancer deaths at the higher doses cannot be estimated as rigorously as is obviously desirable. However, even now, this increase does not appear to be fully explicable in terms of classificatory errors.

Further follow-up of mortality in this LSS cohort as well as of disease revealed by the biennial physical examinations of the morbidity subsample (Adult Health

---

<sup>§</sup>This technical report is based on Research Protocol 1-75. A paper based on this report was published in Radiation Research (130:249–266, 1992). Full Japanese text will be available separately; approved 10 June 1991; printed January 1993.

<sup>1</sup>Department of Epidemiology, RERF; <sup>2</sup>Consultant, Department of Epidemiology, RERF, and National Institute for Minamata Disease, Minamata; <sup>3</sup>RERF Permanent Director, presently University of Texas Health Science Center, Houston; <sup>4</sup>National Institute of Environmental Health Sciences, Research Triangle Park, North Carolina.

Study) of the LSS cohort will be needed to confirm this suggestion of a radiation-related increase in mortality from causes other than cancer, and to determine whether it results in a demonstrable life-shortening among the heavily exposed atomic bomb survivors.

## Introduction

Since 1950, the Atomic Bomb Casualty Commission (ABCC) and its successor, the Radiation Effects Research Foundation (RERF), have studied a fixed cohort of atomic bomb (A-bomb) survivors and suitable comparison subjects, the Life Span Study (LSS) sample, to ascertain the effects of A-bomb radiation on mortality. Periodic analyses of the results of this surveillance continue. Recently, mortality in the LSS sample has been determined for 1950–85. So far, two reports on cancer mortality using the revised Dosimetry System 1986 (DS86) doses have been published in this series,<sup>1,2</sup> these reports concern (1) an assessment of the impact of the change in dosimetry from the Tentative 1965 Dose (T65D) to the DS86 system on site-specific estimates of radiation-related cancer mortality,<sup>1</sup> and (2) several of the biological issues regarding radiation-induced cancer.<sup>2</sup> Briefly, evidence of radiation-related increases in site-specific malignancies continues to emerge, and the increased number of cases with further follow-up has strengthened some of the previously noted associations. However, it has not been clear heretofore whether mortality from causes other than cancer is also increased and whether life-shortening occurs that is attributable to these other causes of death. Previous analyses of noncancer mortality during the period 1950–78<sup>3</sup> failed to reveal evidence of either of these possibilities except at doses above 4 Gy (T65DR).

The present study addresses two issues, namely (1) temporal trends in the dose-response relationship for mortality from causes other than cancer, using the additional data accumulated in the 7 years during 1979–85 and the new DS86 doses, and (2) life-shortening, if any, due to causes of death other than cancer.

## Methods

### *Exposure and the sample used in this analysis*

Among a total of 120,128 LSS sample subjects in the extended cohort (LSS-E85), there are 91,228 survivors on whom a T65DR dose<sup>4</sup> could be estimated; this excludes 26,517 individuals who were not in Hiroshima or Nagasaki at the time of the bombings (ATB), the “not-in-city” (NIC) group, and 2,383 A-bomb survivors on whom a dose (T65DR) could not be estimated. At the time of this analysis DS86 dose estimates were available on a total of 75,991 (83.3%) of these 91,228 exposed persons. Hereafter these 75,991 individuals will be referred to as the DS86 subcohort. Assignment of DS86 doses to individual survivors is described in detail elsewhere.<sup>5</sup> Briefly, for persons exposed in Hiroshima within 1,600 m (2,000 m in Nagasaki) in the open with burns and no shielding or in wooden Japanese buildings and with a detailed shielding history, doses were directly estimated by modeling the circumstances attending their exposure. The method used makes provision for structural shielding and attenuation of the energy deposited in specific tissues, posture, orientation, and age, but does not use explicit transmission factors for either the wooden structures or tissues. At

greater distances, if a detailed shielding history did not exist, doses were indirectly estimated using average transmission factors derived from the individuals exposed beyond 1,000 m in both Hiroshima and Nagasaki on whom doses were directly computed.<sup>6</sup> As in previous LSS reports, estimates of shielded kerma above 6 Gy have been truncated at 6 Gy; the doses on 99 individuals were so truncated. All analyses are with regard to shielded kerma since no single tissue surrogate seemed appropriate, given the heterogeneous nature and natural histories of the diseases involved.

### ***Ascertainment of death***

Deaths are routinely identified through the obligatory household registries (*koseki*) that exist in Japan, and ascertainment is essentially complete. Causes of death are obtained from the Vital Statistics Death Schedules that are based on the death certificates. The underlying cause of death has been classified according to the International Classification of Disease (detailed code rubrics and the number of deaths from specific causes are shown in Table 1 and Appendix Table 1).

Among a total of 28,737 deaths that occurred during the period 1950–85 in the DS86 subcohort, there were 6,224 deaths from neoplasms—5,936 from malignant neoplasms and 288 from neoplasms of a benign or unspecified nature. These deaths and their relationship to ionizing radiation have been described previously.<sup>1,2</sup> The subjects of the present analysis are the remaining deaths, namely 20,777 deaths from all diseases except neoplasms, excluding 75 for which the cause of death was unknown, 1,515 from all external causes, and 146 from “blood disease” (Table 1). The accuracy of the diagnosis of death due to blood disease is very low, and such deaths often include cases of leukemia and malignant lymphoma.<sup>3</sup> We have for these reasons excluded blood disease from the present analysis. Therefore, throughout this manuscript, the term “noncancer” will refer to all diseases except neoplasm and blood disease. The number of person-years and deaths for a specific cause of death analyzed in this report are shown by radiation dose, sex, age ATB, and period in Appendix Tables 2–8.

### ***Statistical methods***

The statistical methods we use are the same as those described in the first two parts of this series.<sup>1,2</sup> Briefly, they involve the use of a grouped-survival analysis based on a relative risk model.<sup>7</sup> Specifically, the model fitted can be described as follows. Let  $i$  be the stratum in the cross-classification of city, sex, age ATB, and follow-up interval;  $j$  be the exposure category; and  $Y_{ij}$ ,  $PY_{ij}$ ,  $M_{ij}$  be the numbers of deaths, person-years at risk, and the mortality rate in stratum  $i$  and dose group  $j$ , respectively.

In the statistical analyses the person-years and the numbers of deaths are aggregated and stratified by city, sex, 11 categories of age ATB (<5 years of age, 5–9, 10–14, 15–19, 20–24, 25–29, 30–34, 35–39, 40–44, 45–49, and  $\geq 50$ ), 7 follow-up intervals (1950–55, 1956–60, 1961–65, 1966–70, 1971–75, 1976–80, 1981–85), and 10 categories of radiation dose (0, 0.01–0.05, 0.06–0.09, 0.10–0.19, 0.20–0.49, 0.50–0.99, 1.00–1.99, 2.00–2.99, 3.00–3.99, and  $\geq 4.00$  Gy), yielding 3,080 strata. The 7 follow-up periods were further aggregated in some analyses into the years 1950–65, 1966–75, and 1976–85.

**Table 1.** Number of deaths by cause of death among 75,991 Dosimetry System 1986 (DS86) subcohort members (1950–85)

Cause of death	No. of deaths	ICD 9th code
All causes	28,737	
External cause of death	1515	E800–E999
Unknown	75	
All diseases	27,147	001–799
Neoplasm	6224	140–208, 210–239
Blood disease	146	280–289
All diseases except neoplasm and blood disease	20,777	001–799 except 140–239, 280–289
Infectious disease	1413	001–139
Circulatory disease	11,164	390–459
Stroke	6202	430–438
Heart (circulatory disease except stroke)	4962	390–429, 440–459
Respiratory disease	2036	460–519
Digestive disease	2149	520–579
Others	4015	

Under these circumstances, mortality in the  $ij$ th stratum can be modeled as:

$$M_{ij} = M_{i0}RR_{ij} ,$$

where  $RR_{ij}$  is the relative risk in stratum  $i$  of exposure group  $j$ , relative to exposure group 0, after adjusting the background mortality rate for city, sex, age ATB, and time since exposure. More specifically,  $RR_{ij}$  is modeled as:

$$\begin{aligned} RR_{ij} &= 1 + b_1 D_{ij} , \\ RR_{ij} &= 1 + b_1 D_{ij}^2 , \text{ or} \\ RR_{ij} &= 1 + b_1 D_{ij} + b_2 D_{ij}^2 , \end{aligned}$$

where  $D_{ij}$  is the mean total dose in the  $ij$ th category.

Since a priori there is little or no reason to believe that the effect of ionizing radiation on deaths attributable to causes other than cancer is stochastic in nature, we have routinely also fitted to the data a linear threshold model of the form:

$$RR_{ij} = \begin{cases} 1 + b_1(D_{ij} - D_T) & \text{if } D_{ij} > D_T \\ 1 & \text{otherwise} \end{cases} ,$$

where  $D_T$  is the threshold dose. To determine the threshold, the deviance was computed for arbitrary values and the threshold was taken to be that value which resulted in the smallest deviance.

To examine the effects of potential modifiers of the radiation-related risk, the following simple model was used:

$$\text{Modified } RR_{ij} = 1 + (RR_{ij} - 1) \cdot \exp(aX),$$

where  $X$  is the factor modifying the radiation effect, such as city, sex, age ATB, and time since exposure.

Parameters are estimated by the method of maximum likelihood, assuming that the numbers of deaths,  $Y_{ij}$ , are independent Poisson random variables with expected values  $E(Y_{ij}) = PY_{ij} \cdot M_{i0} \cdot RR_{ij}$ , where  $PY_{ij}$ , the person-years at risk, is treated as constant. Justification for this approximation is derived from the fact that the resulting likelihood function is identical to that obtained from a survival time model with the hazard function approximated by a step function that is constant on each interval of follow-up.<sup>7</sup> The program AMFIT<sup>8</sup> was used to fit various models. The differences in deviance between nested alternative models are used to assess the improvement in fit as a result of adding terms to the dose-response function.

## Results

### *All diseases except neoplasm and blood disease*

In Table 2, the relative risks of mortality from all diseases except neoplasm and blood disease in the nine dose groups, relative to that of the 0 Gy dose group, are shown by city, sex, age ATB, and period. The results are also shown for the statistical tests for the homogeneity of the estimated relative risks among dose categories and the significance of the dose response based on linear, linear-quadratic, quadratic, or linear-threshold models with the threshold dose 1.5 Gy. The relative risk tends to be higher in the highest dose range (i.e.,  $\geq 2$  Gy) in both cities, both sexes, and all age ATB groups combined for the total period 1950–85 (Figure 1). Statistically, the linear-quadratic model fits significantly better than the linear model, but not better than the quadratic model. These tests correspond to tests of the quadratic term and linear term in the linear-quadratic model, respectively (Table 2). Comparison of the goodness of fit of the linear and quadratic models shows the quadratic model fits better than the linear model, but the difference cannot be tested statistically because the linear and quadratic models are not nested. Although we assumed the threshold dose to be 1.5 Gy in testing the fit of the linear-threshold model, without assuming the threshold dose is significant ( $p = .01$ ), when the threshold dose is estimated formally it is 1.4 Gy and its 90% confidence limits are 0.6–2.8 Gy. This threshold model improves the fit when compared to the simple linear model ( $p = .02$ ). These results suggest the dose response is nonlinear, indicating that the increase is primarily in the high dose range.

The estimated relative risks in Table 2 suggest a difference between cities and between sexes. However, comparison of the sexes and cities statistically fails to reveal a significant difference in either instance. Dose response by age ATB group also suggests that the relative risk tends to be higher in the highest dose range, though it is statistically significant only for those exposed at ages 30–39 ATB. The analysis for those survivors exposed before age 30 ATB, combining the three

**Table 2.** Relative risk (vs. 0 Gy) for mortality from all diseases except neoplasm and blood disease, 1950–85

Class	Radiation dose (Gy)										Test ( <i>p</i> value) <sup>a</sup>		
	No. of deaths	0.01–0.06	0.10–0.20	0.50–1.00	2.00–3.00	≥4.00	Homo.	L	LQ <sup>b</sup>	(-, +*)	Q	LT	
Total	20,777	1.0	1.03	0.97	0.97	1.15	0.96	1.13	1.38	0.02	0.06	0.004	0.007 0.003
City													
Hiroshima	14,436	1.0	1.03	0.96	0.96	1.00	0.96	1.17	1.01	0.01	0.07	0.01	0.006 0.003
Nagasaki	6341	1.0	1.03	0.99	1.04	0.99	1.11	0.93	0.96	2.34	1.08	0.43	0.53 0.41
Sex													
Male	9344	1.0	1.03	0.94	0.95	0.96	0.98	0.95	1.05	1.17	1.60	0.03	0.06 0.002
Female	11,433	1.0	1.03	0.99	0.99	0.97	1.04	0.97	1.21	1.13	1.07	0.66	0.48 0.55
Age ATB													
<10	324	1.0	0.80	0.78	1.20	1.25	0.76	0.46	1.46	1.29	1.35	0.31	0.83 0.76
10–19	814	1.0	1.06	1.03	0.73	0.94	1.07	1.07	0.62	0.81	2.21	0.28	0.35 0.49
20–29	929	1.0	0.97	0.80	0.92	0.98	0.74	1.07	0.94	0.72	2.03	0.48	0.43 0.18
30–39	2441	1.0	1.12	1.09	1.05	0.84	1.26	0.94	1.87	1.47	1.81	0.002	0.01 0.16
40–49	5995	1.0	1.07	0.97	0.99	1.05	1.07	1.07	1.22	0.95	1.28	0.37	0.14 0.34
>50	10,274	1.0	1.00	0.96	0.95	0.95	0.96	0.89	0.95	1.45	1.10	0.39	0.58 0.36
Period													
1950–55	2901	1.0	1.07	0.95	0.91	0.92	0.99	0.74	0.97	1.49	1.46	0.09	0.91 0.30
1956–60	2999	1.0	0.97	0.93	0.93	1.06	0.71	0.94	0.88	1.08	1.10	0.07	0.41 0.13
1961–65	2969	1.0	1.12	0.96	1.01	1.00	1.20	0.87	1.07	1.24	1.52	0.08	0.47 0.80
1966–70	2958	1.0	1.03	0.86	0.97	1.04	0.94	1.18	1.23	0.96	1.21	0.49	0.24 0.25
1971–75	2988	1.0	0.97	0.95	0.95	0.92	1.16	1.02	1.13	1.04	1.45	0.48	0.11 0.54
1976–80	3057	1.0	0.94	1.01	1.05	0.82	0.96	0.98	1.34	1.00	1.34	0.11	0.28 0.22
1981–85	2905	1.0	1.11	1.11	0.94	1.03	1.17	0.97	1.30	1.27	1.59	0.14	0.12 0.14

NOTE: ATB = at the time of the bombings.

<sup>a</sup>Significance for homogeneity (Homo.) of 10 dose groups regardless of pattern, fitted linear (L), linear-quadratic (LQ), quadratic (Q), and linear-threshold (LT) models. The threshold dose is assumed to be 1.5 Gy.

<sup>b</sup>The signs within parentheses for LQ are those of the regression coefficients (i.e., the linear and quadratic terms). The statistical significance of these coefficients is also shown. Sug.  $p < .10$ ; \* $p < .05$ ; \*\* $p < .01$ .

decennial age groups, 0–9, 10–19, and 20–29, reveals a statistically significant increased risk with the quadratic ( $p = .03$ ) and linear-threshold ( $p = .04$ ) models. Furthermore, it is observed that the risk is significantly higher for those exposed before age 40 ATB than for those  $\geq 40$  ATB.

Table 3 and Figure 2 give the dose response for mortality from all diseases except neoplasm and blood disease for the three successive periods (i.e., 1950–65, 1966–75, 1976–85) within two age ATB groups, under 40 years and 40 years or over. As shown in Table 3 and Figure 2, for those exposed before 40 ATB the increase tends to appear in the most recent period (1976–85). The nonlinear models (linear-threshold or quadratic) appear to fit better than the simple linear model in this period. However, the dose-response curve for those exposed at age 40 or older ATB in the earliest period (1950–65) is U shaped (i.e., a negative downward slope for the low doses and an upward slope in the high dose).

Table 4 shows the change in the regression coefficient by period for the  $<40$  and  $\geq 40$  ATB groups separately. The coefficients in the quadratic and linear-threshold models for  $<40$  ATB tend to be greater in the later period. Although the coefficients among the three periods are not significantly different, when only two periods are used ( $\leq 1965$ ,  $> 1965$ ), the difference is marginally significant for both the quadratic and linear-threshold models ( $p = .06$ ). The coefficients in the linear-quadratic model for  $\geq 40$  ATB are significantly different among the three periods. This is due to the difference between the periods  $\leq 1965$  and  $> 1965$ . There is a negative downward slope for the linear term and an upward slope for the quadratic term before 1966, implying a decreasing risk at low doses and an increasing one at high doses, and no radiation effects in  $> 1965$ . When the period before 1966 is further divided into 5-year intervals, and age ATB  $\geq 40$  is divided into 40–49 and  $\geq 50$ , the downward slope in the U-shaped dose response is greater for the period 1950–60 and age ATB  $\geq 50$  (Appendix Table 9).

As described above, the analyses of the separate age and period subgroups revealed that the dose-response pattern differs by age ATB and observation period. These findings lead us to an alternative analysis fitting a different, "mixed," statistical model to the total data. In this model, we assume the dose response fits the linear-quadratic model in the early periods, whereas the quadratic model fits the recent periods, but the coefficients differ by age ATB.

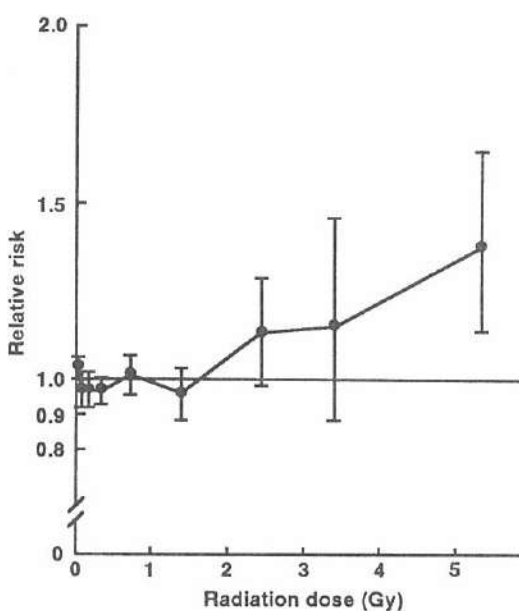


Figure 1. Dose-response curve of mortality from all diseases except neoplasm and blood disease—both cities, both sexes, all ages at the time of the bombings, 1950–85. The bars indicate the 90% confidence intervals of relative risk.

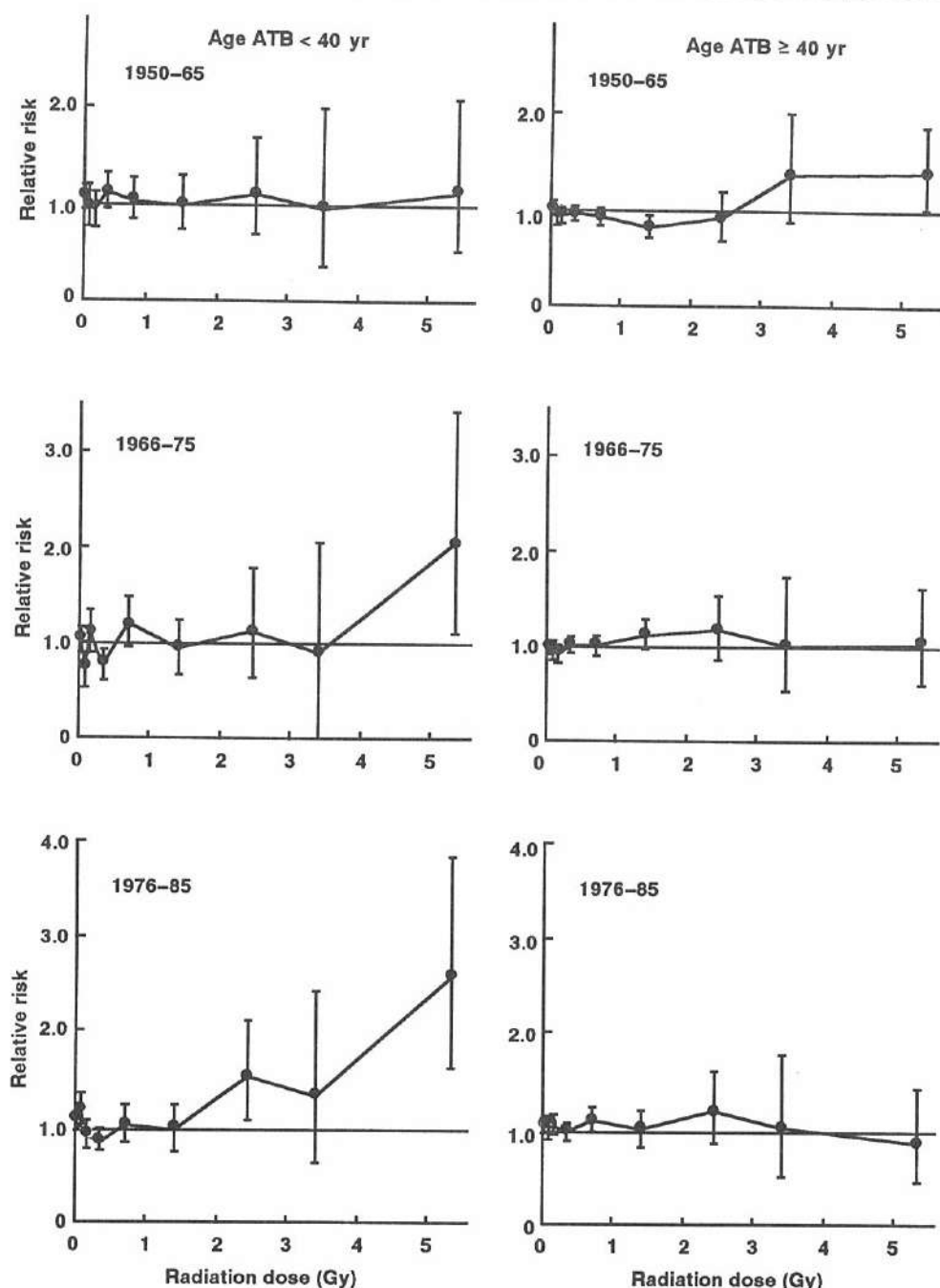
**Table 3.** Relative risk (vs. 0 Gy) for mortality from all diseases except neoplasm and blood disease in groups combined by age at the time of the bombings (ATB) and period, 1950–85 (cities and sexes combined)

Age ATB	No. of deaths	Radiation dose (Gy)						Test ( $p$ value) <sup>a</sup>		
		0.01–0.06– 0.10–0.20– 0.50–1.00– 2.00–3.00–	0.05–0.09– 0.19–0.49– 0.99–2.99– 3.99–	≥4.00	Homo.	L	LQ <sup>b</sup>	Q	LT	
<40	1950–65	1399	1.0 1.06 0.96 0.94 1.14 0.95 1.00 1.12 0.97 1.14 0.94 0.67 0.85 (+, -)	0.84	0.81					
	1966–75	1159	1.0 1.04 0.71 1.13 0.77 1.22 0.94 1.14 0.92 2.08 0.02 0.15 0.14 (-, +)	0.06	0.07					
	1976–85	1950	1.0 1.03 1.16 0.91 0.84 1.01 0.95 1.52 1.31 2.56 0.006 0.01 0.001 (-, +**)	0.0005	0.0003					
≥40	1950–65	7470	1.0 1.05 0.94 0.95 0.97 0.94 0.83 0.93 1.39 1.41 0.02 0.73 0.005 (-**,+**)	0.22	0.08					
	1966–75	4787	1.0 0.99 0.96 0.93 1.03 1.02 1.14 1.19 1.04 1.06 0.72 0.16 0.16 (+ Sug., -)	0.62	0.76					
	1976–85	4012	1.0 1.01 1.00 1.03 0.96 1.08 0.98 1.18 1.01 0.85 0.96 0.91 0.74 (+, -)	0.75	0.79					

<sup>a</sup>Significance for homogeneity (Homo.) of 10 dose groups regardless of pattern, fitted linear (L), linear-quadratic (LQ), quadratic (Q), and linear-threshold (LT) models. The threshold dose is assumed to be 1.5 Gy.

<sup>b</sup>The signs within parentheses for LQ are those of the regression coefficients (i.e., the linear and quadratic terms). The statistical significance of these coefficients is also shown.

Sug.  $p < .10$ ; \*  $p < .05$ ; \*\*  $p < .01$ .



**Figure 2.** Dose-response curves of mortality from all diseases except neoplasm and blood disease by age at the time of the bombings (ATB) and period. The bars indicate the 90% confidence intervals of relative risk.

**Table 4.** Change in regression coefficient by period

Period	Age ATB < 40				Age ATB $\geq 40$		
	Q	Test	LT	Test	LQ	$\alpha_1$	$\alpha_2$
1950–65	0.0028		0.0249		$\alpha_1$	-0.1589	0.0468
1966–75	0.0310	0.13	0.2152	0.10	$\alpha_2$	0.1249	-0.0248
1976–85	0.0508		0.3977			0.0482	-0.0132

NOTE: The tests are of the homogeneity of the coefficients among the three periods. Quadratic (Q) model:  $RR = 1 + \alpha_1 d^2$ , where  $d$  is in gray; linear-threshold (LT) model:  $RR = 1 + \alpha_1(d - 1.5)$ ; and linear-quadratic (LQ) model:  $RR = 1 + \alpha_1 d + \alpha_2 d^2$ . ATB = at the time of the bombings.

For simplicity, observation period and age ATB were categorized. The observation period was divided into the time up through 1965, and the following years up through 1985, and age was divided into under 40 and 40 and over ATB. Since a linear-quadratic dose response fits the data in the period prior to 1961 and in the 50 and over ATB age group better than prior to 1966 and in the 40 and over ATB age group, the year 1960 and 50 years of age ATB were also used as cut points.

Appendix Table 10 shows the results of the regression analyses. They confirm that, in the early period, risk follows a linear-quadratic model in which the linear term is significantly negative and the quadratic term is significantly positive, and the significance is due to the older age ATB group. In the later period, however, a quadratic model fits the data better, and the recent increase seems to result from the younger age ATB group. The equations for the models we selected (model 5-4 in Appendix Table 10) are as follows:

For age ATB < 40 in the period 1950–65:  $RR = 1 + 0.0606d - 0.0112d^2$ ;  
 for age ATB  $\geq 40$  in the period 1950–65:  $RR = 1 - 0.1597d + 0.0469d^2$ ;  
 for age ATB < 40 in the period 1966–85:  $RR = 1 + 0.0425d^2$ ; and  
 for age ATB  $\geq 40$  in the period 1966–85:  $RR = 1 + 0.0008d^2$ .

Appendix Figure 1 shows four dose-response curves based on model 5-4.

Although a linear-quadratic model described the data best prior to 1961 and 50 years of age and over ATB, whereas the quadratic model was best after 1965 and under 40 years of age ATB, the model with three categories (period:  $\leq 1960$ , 1961–65, and 1966–85; age ATB: <40, 40–49, and  $\geq 50$ ) did not fit better when compared with models collapsing the data to two categories (i.e., period:  $\leq 1960$ ,  $> 1960$  or  $\leq 1965$ ,  $> 1965$ ; age ATB: <40,  $\geq 40$  or <50,  $\geq 50$ ). Models collapsing the data fit equally well (Models 5-4, 5-5, 6-4, and 6-5 in Appendix Table 10).

### Specific diseases

Although it is not necessarily supported by statistical significance, the dose-response curves for specific diseases follow that of all diseases except neoplasm and blood disease in general. That is, the dose responses are nonlinear in the

total period and the excess mortality stems largely from deaths in the younger ages ATB and in the recent period. In the early years, a U-shaped dose response (downward slope in low dose and upward slope in high dose) is seen for the older ages ATB.

The relative risk of mortality from specific diseases among deaths due to disease other than neoplasm and blood disease, and the results of statistical tests of the significance of the dose response are shown in Table 5 for the total and in Table 6 for the <40 age ATB group in 1966–85, where the excess was observed in the category diseases other than neoplasm and blood disease. Figure 3 shows the dose response for both groups—the younger ages in the recent period and the older ages in the early period. The results of testing the model for variations in risk with age ATB and period are presented in Appendix Table 11.

*Infectious disease.* There is no evidence of a dose-related trend in mortality for infectious disease in the total data and the dose response is not modified by age ATB, sex, and follow-up interval, although a downward slope in the period prior to 1966 and in the 40 and over age ATB group is marginally significant (Figure 3). Mortality from tuberculosis, which includes the majority of deaths from infectious disease, does not reveal any relationship with radiation dose (data are not shown).

*Circulatory disease.* Mortality from circulatory disease in the years 1950–85 shows a significant association with dose. Mortality from stroke, however, does not, but circulatory disease other than stroke (which we shall refer to as heart disease) shows a significant trend over the total period (Table 5). In the later years (1966–85) and the younger (<40) age ATB groups, however, mortality from circulatory disease as a whole, as well as stroke or heart disease, shows a significant association with dose, and the dose-response curve appears to be nonlinear (Table 6). Mortality from "coronary heart disease," which includes the largest number of deaths within the heart disease category, reveals the same trend seen for heart disease in this period and in this age ATB category (Table 6).

A difference in the risks by age ATB and period is observed in circulatory disease as a whole, as well as in stroke or heart disease, as observed in the mortality from all diseases except neoplasm and blood disease. A "mixed" model, assuming a quadratic dose response for young ages ATB in the recent period and a U-shaped dose response for the older age ATB groups in the early period, fits significantly better than the quadratic model in the total period for circulatory disease as a whole and for stroke (Appendix Table 11). The U-shaped dose response in the early period is predominant for stroke and the excess in the later period is greater for heart disease (Table 6, Figure 3).

*Respiratory disease.* Mortality from respiratory disease exhibits a nonlinear dose response in the total period (Table 5). This dose response does not change by follow-up interval, though the coefficient in the later period tends to be greater than in the earlier one. However, this dose response for age 40 ATB in 1966–85 is not statistically significant.

*Digestive disease.* A significant increasing trend with dose is seen in mortality from digestive disease for the period 1950–85 (Table 5). This increase is demonstrable in the later period and in the younger ages ATB (Table 6). Among digestive disease categories, mortality from liver cirrhosis reveals the same dose response as do digestive diseases collectively (Table 6). The dose-response curve

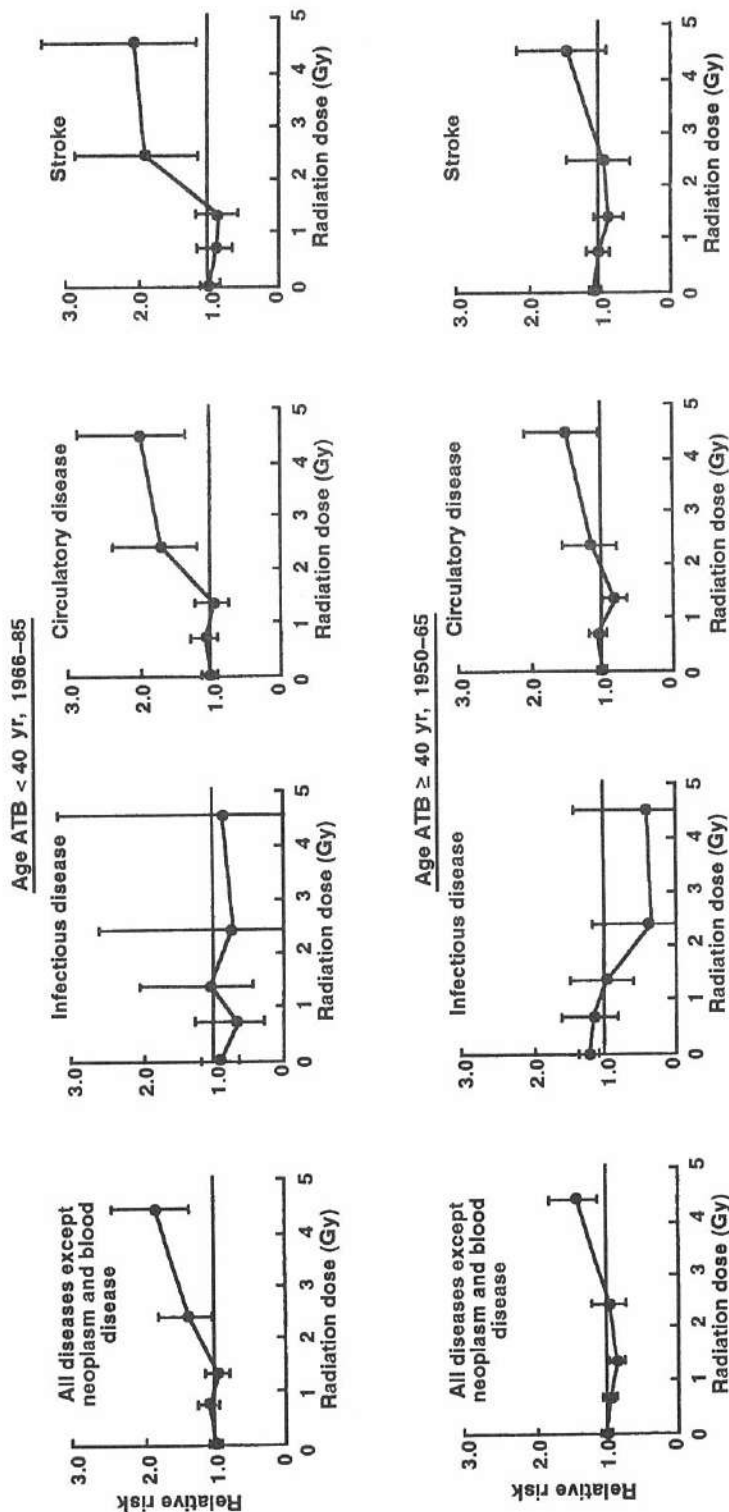
**Table 5.** Number of deaths and relative risk (vs. 0 Gy) for mortality from major causes of death, 1950–85  
(cities and sexes combined)

Cause of death	Total	Radiation dose (Gy)						Test ( $\rho$ value) <sup>a</sup>						
		0	0.01– 0.05	0.10– 0.09	0.20– 0.19	0.50– 0.49	1.00– 1.99	3.00– 2.99	≥4.00	Homo.	L	LQ <sup>b</sup>	Q	LT
All diseases except neoplasm and blood disease	No.	20,777	9490	5159	1109	1411	1796	1032	506	149	45	80		
	RR	1.00	1.03	0.97	0.97	0.97	0.97	1.15	0.96	1.13	1.16	1.38	0.02	0.004 (-, +*)
Infectious disease	No.	1413	651	367	64	85	126	64	38	10	5	3		0.007 0.003
	RR	1.00	1.12	0.90	0.96	1.11	0.98	0.98	0.95	1.49	0.63	0.59	0.65	0.69 (+, -)
Circulatory disease	No.	11,164	5025	2767	605	775	981	590	273	85	20	43		0.46 0.53
	RR	1.00	1.03	0.98	0.99	0.98	1.08	0.98	1.24	1.00	1.43	0.10	0.03	0.02
Stroke	No.	6202	2816	1551	314	443	538	307	156	45	7	25		
	RR	1.00	1.04	0.92	1.01	0.97	1.01	1.00	1.18	0.64	1.49	0.24	0.37	0.21 (-, +)
Heart disease	No.	4962	2209	1216	291	332	443	283	117	40	13	18		
	RR	1.00	1.03	1.07	0.96	1.00	1.18	0.95	1.32	1.45	1.36	0.11	0.03	0.07 (+, -)
Respiratory disease	No.	2036	888	528	135	162	150	95	45	17	4	12		
	RR	1.00	1.14	1.26	1.19	0.87	1.02	0.91	1.46	1.15	2.19	0.002	0.21	0.03 (-, +*)
Digestive disease	No.	2149	1002	510	105	142	194	98	63	14	8	13		0.03 0.01
	RR	1.00	0.98	0.87	0.94	1.01	0.92	1.10	0.93	1.76	2.00	0.28	0.04	0.05 (-, +)
Other	No.	4015	1924	987	200	247	345	185	87	23	8	9		
	RR	1.00	0.95	0.86	0.83	0.91	0.89	0.83	0.88	1.05	0.81	0.10	0.11	0.13 (- Sug., +) 0.41 0.65

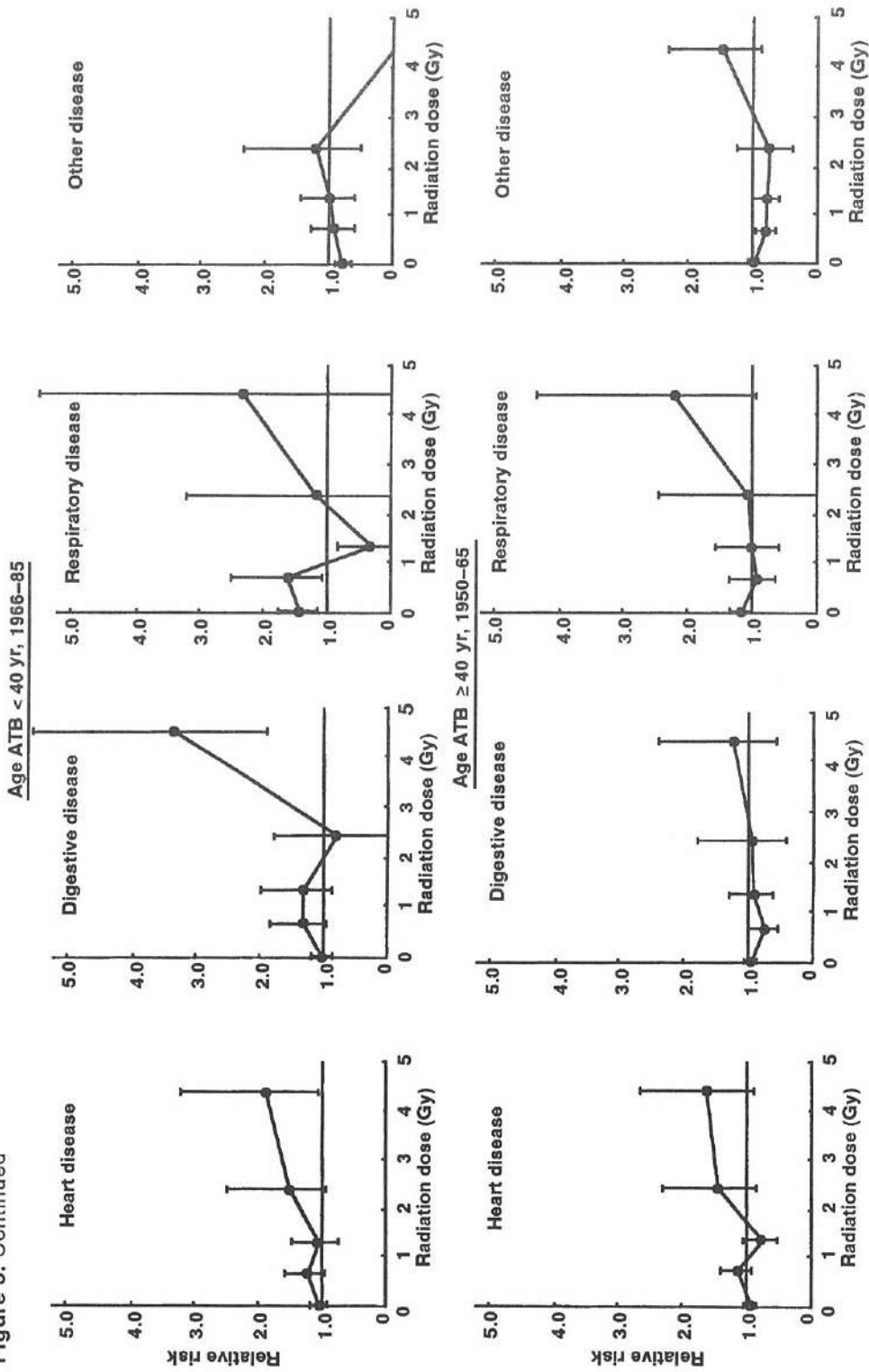
<sup>a</sup>Significance for homogeneity (Homo.) of 10 dose groups regardless of pattern, fitted linear (L), linear-quadratic (LQ), quadratic (Q), and linear-threshold (LT) models. The threshold dose is assumed to be 1.5 Gy.

<sup>b</sup>The signs within parentheses for LQ are those of the regression coefficients (i.e., the linear and quadratic terms). The statistical significance of these coefficients is also shown. Sug.  $p < .10$ ; \* $p < .05$ .

**Figure 3.** Dose-response curves of specific diseases for age at the time of the bombings (ATB) < 40 in 1966–85 and age ATB  $\geq$  40 in 1950–65. The bars indicate the 90% confidence intervals of relative risk.



**Figure 3. Continued**



**Table 6.** Relative risk (vs. 0 Gy) of mortality from major causes of death for age at the time of the bombings < 40, 1966–85 (cities and sexes combined)

Cause of death	No. of deaths	Radiation dose (Gy)			Test ( <i>p</i> value) <sup>a</sup>						
		0	0.01– 0.49	0.50– 0.99	1.00– 1.99	2.00– 2.99	≥3.00	Homo.	L	LQ <sup>b</sup>	Q
All diseases except neoplasm and blood disease	3109	1.0	0.98	1.09	0.95	1.37	1.83	0.01	0.004	0.0002 (–, +**)	0.0001 0.0001
Circulatory disease	1764	1.0	1.00	1.06	0.94	1.69	1.98	0.03	0.02	0.002 (–, +*)	0.001 0.0003
Stroke	884	1.0	0.97	0.89	0.84	1.88	2.04	0.08	0.11	0.007 (–Sug., +**)	0.009 0.004
Heart disease	880	1.0	1.04	1.24	1.06	1.52	1.92	0.28	0.07	0.12 (–, +)	0.04 0.04
Coronary heart disease	363	1.0	1.35	1.25	0.92	2.57	2.38	0.03	0.11	0.14 (–, +)	0.05 0.04
Respiratory disease	276	1.0	1.40	1.64	0.31	1.18	2.33	0.007	0.43	0.26 (–, +)	0.18 0.14
Digestive disease	455	1.0	0.96	1.29	1.29	0.76	3.33	0.021	0.002	0.005 (+, +)	0.001 0.003
Liver cirrhosis	281	1.0	0.90	1.39	1.15	1.16	3.93	0.02	0.003	0.005 (+, +)	0.001 0.002

<sup>a</sup>Significance for homogeneity (Homo.) of six dose groups regardless of pattern, fitted linear (L), linear-quadratic (LQ), quadratic (Q), and linear-threshold (LT) models. The threshold dose is assumed to be 1.5 Gy.

<sup>b</sup>The signs within parentheses for LQ are those of the regression coefficients (i.e., the linear and quadratic terms). The statistical significance of the coefficients is also shown. Sug.  $p < .10$ ; \*  $p < .05$ ; \*\*  $p < .01$ .

**Table 7.** Risk estimates of mortality from all diseases except neoplasm and blood disease based on a linear-threshold model, with the threshold dose assumed to be 1.4 Gy

Disease	Estimated RR at 2 Gy	Excess deaths per $10^4$ PYGy	Attributable risk (%) <sup>a</sup>
All diseases except neoplasm and blood disease			
Total	1.06 (1.02, 1.09)	1.18 <sup>b</sup> (0.51, 1.19)	0.36 (0.16, 0.59)
Age ATB < 40, period: 1966–85	1.19 (1.10, 1.29)	1.69 (0.90, 2.62)	1.49 (0.79, 2.30)
All malignant neoplasm <sup>c</sup>	1.78 (1.64, 1.92)	10.00 (8.36, 11.8)	10.2 (8.50, 12.0)
Leukemia	8.84 (6.78, 11.8)	2.29 (1.18, 2.73)	55.4 (45.7, 66.3)
All malignant neoplasm except leukemia	1.58 (1.46, 1.72)	7.41 (5.83, 9.08)	7.86 (6.19, 9.64)

NOTE: The values within parentheses are the 90% confidence intervals.

<sup>a</sup>Based on 41,719 subjects exposed to  $\geq 0.01$  Gy (average = 0.295 Gy).

<sup>b</sup>For the linear-threshold model the excess deaths depend on dose (i.e., excess death = 0 if the dose  $\leq 1.4$  Gy, 3.26 if the dose  $> 1.4$  Gy, and the average is 1.18).

<sup>c</sup>The risk estimate is based on the linear model for all subjects.<sup>2</sup>

of digestive disease in the early period and the older ages ATB is similar to that for all diseases except neoplasm and blood disease (Figure 3). Statistically, the model, which assumes a linear-quadratic dose response in the early period and a quadratic response in the later period, fits better than using the quadratic model for the entire period. This period-dependent model is not modified by age ATB (Appendix Table 11).

*Other diseases.* This category includes miscellaneous diseases. Deaths from senility contribute the largest number. Deaths from other causes bear no relationship to radiation dose in the total period (Table 5). However, the dose response in the early period follows the linear-quadratic model in which the linear term is significantly negative and the quadratic term is significantly positive. In the later period, there is no statistically significant evidence of a trend with dose, though we observe a negative dose response (Figure 3).

#### **Risk estimates of mortality from all diseases except neoplasm and blood disease**

To afford a comparison with the risks from cancer, summary measures of risk—relative risk at 2 Gy, excess deaths per  $10^4$  PYGy, and attributable risk (%)—are shown for all diseases except neoplasm and blood disease both for all subjects and for those age  $< 40$  ATB in the years 1966–85 (Table 7).

The relative and attributable risks are still much lower than those seen for cancer, and the excess deaths are also much lower despite the high background rate, reflecting no excess in the dose range 0 to  $< 1.4$  Gy. Incidentally, there are no excess deaths if the dose is  $\leq 1.4$  Gy and the excess deaths are 3.26 if the dose is  $> 1.4$  Gy. The average is 1.18 in the entire population.

### ***Life-shortening***

The analysis of mortality in the LSS sample has been guided in part by an interest in the possible loss of life ascribable to causes other than cancer. The best evidence of such a loss would be an increased age-specific mortality over the entire spectrum of disease, especially disease characteristic of the later decades of life. The Gompertz function, which is the logarithm of the age-specific death rate, has been shown to describe adequately the mortality rate from most chronic diseases in adults. The logarithm of the age-specific death rate yields a straight line, and life-shortening is suggested by an elevation of the Gompertz function. When the Gompertz function based on all nonexternal causes of death exclusive of cancer and blood diseases in the survivors exposed to 2 Gy or more is contrasted with the comparison (0 Gy) group, it is observed that radiation-induced life-shortening is due not only to the induction of neoplasms but to other nonexternal causes of death as well (Figure 4). The evidence for the latter is seen especially clearly in the younger age ATB groups (Figure 5A) in which the mortality rates are consistently and strikingly higher in the  $\geq 2$  Gy group as contrasted with the 0 Gy group. When the observations for the age ATB  $< 40$  group were distributed over three periods, that is, 1950–65, 1966–75, and 1976–85 (Figure 5B), an apparent increase in mortality at 2 Gy or more is not observed until after 1966, while, for the age ATB  $\geq 40$  group, a slight increase exists in the early period, 1950–65 (at  $> 50$  years of age at death).

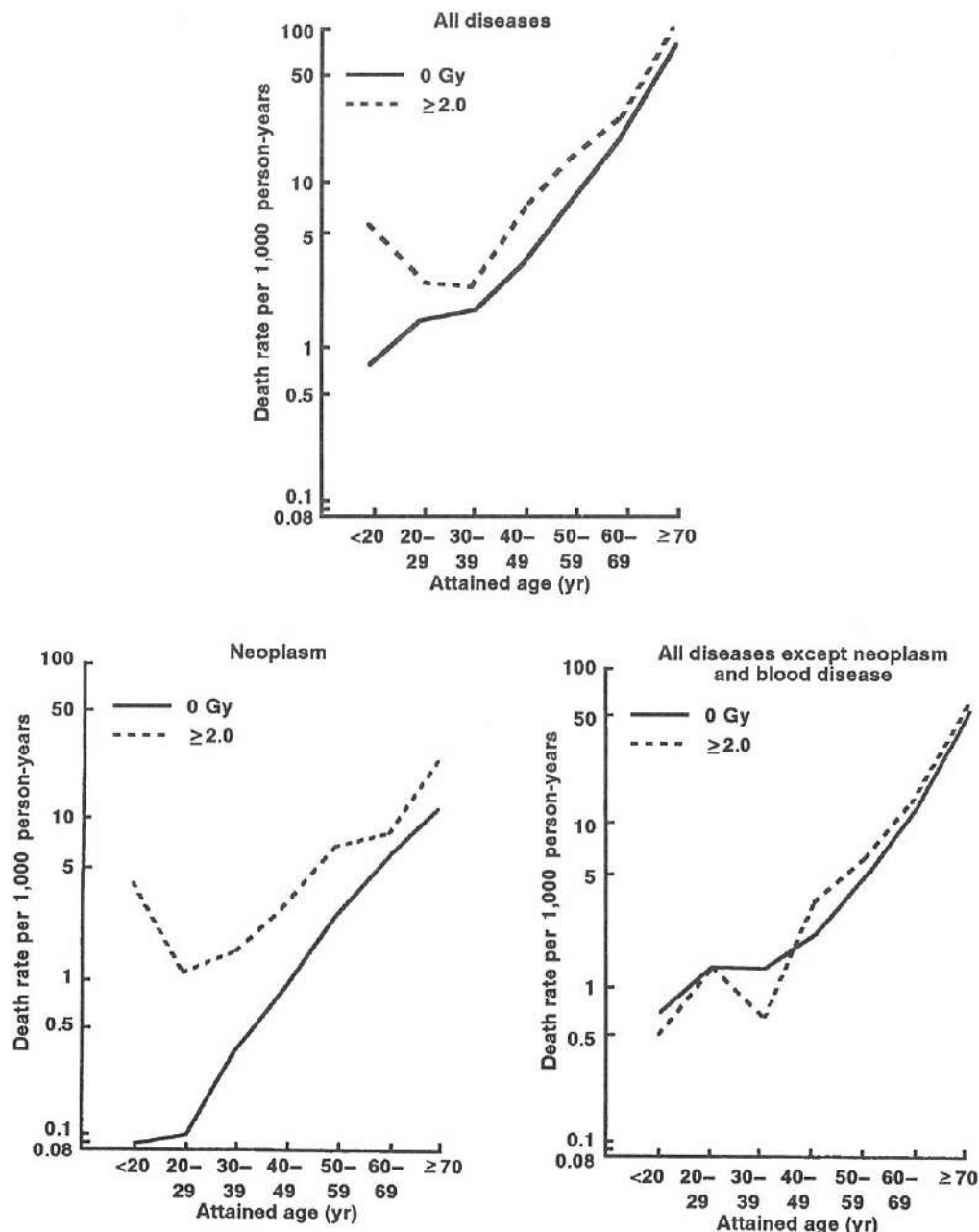
Life-shortening is expressed in years of life lost. We represented it by loss of life expectancy. Table 8 shows the results of the projection in regard to loss of life expectancy attributable to the additional cases of all diseases except neoplasm and blood disease among those exposed to 2 Gy and over. For reference, loss of life expectancy for malignant neoplasm for the same subjects ( $\geq 2$  Gy) is also shown. The loss of life expectancy is defined as the difference in life expectancies between the exposed and nonexposed groups. Life expectancy for the nonexposed was calculated by using the Japanese life table of 1985. A constant excess relative risk over all age and sex categories was assumed for those exposed to 2 Gy and over (average = 3.3 Gy). Excess relative risks are 0.10 and 1.29 for all diseases except neoplasm and blood disease and malignant neoplasm,<sup>2</sup> respectively. The calculated loss of male life expectancy at 0 years of age for all diseases except neoplasm and blood disease is 0.4 years, as contrasted to 3 years for malignant neoplasm.

**Table 8.** Projection of loss of life expectancy (in years) among survivors exposed to  $\geq 2$  Gy (mean dose = 3.3 Gy)

Sex	Age ATB (year)							
	0	10	20	30	40	50	60	70
<b>All disease except neoplasm and blood disease</b>								
Male	0.42	0.42	0.42	0.40	0.37	0.30	0.21	0.06
Female	0.32	0.31	0.31	0.30	0.28	0.25	0.18	0.05
<b>Malignant neoplasm</b>								
Male	2.91	2.90	2.87	2.79	2.55	1.92	1.03	0.17
Female	2.17	2.16	2.12	1.99	1.71	1.27	0.68	0.12

NOTE: ATB = at the time of the bombings.

**Figure 4.** Age-specific death rates for all diseases, neoplasm, and all diseases except neoplasm and blood disease by radiation dose.



***Is the dose response for noncancer deaths the result of misdiagnosed cancer deaths?***

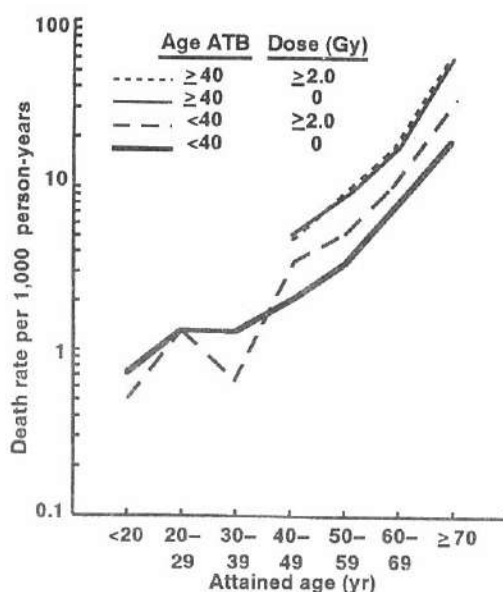
As stated before, the observed excess mortality from blood disease stemmed largely from misdiagnoses in the cause of death through the erroneous inclusion of cases of leukemia within this category. For all diseases other than neoplasm and blood disease a spurious positive dose response could arise through the inclusion of misclassified cases of radiation-related cancer. To examine this possibility, we compared the observed relative risk of noncancer mortality with the mortality expected assuming that (a) there was, in fact, no radiation-induced excess of noncancer deaths, but (b) the number of misdiagnosed cancer cases increased as the excess cancer risk increased with dose.

Table 9 shows the proportion of cancers observed at autopsy among deaths from all diseases except neoplasm and blood disease. Ten percent of reportedly noncancer deaths were found on autopsy to be cancer deaths, and although this proportion increased with dose, it was not statistically significant. The increase in the percentage of cancers among the noncancer death certificate cases from 10% (<1 Gy) to 18% ( $\geq 1$  Gy) is about what one would expect based on an observed relative risk of radiation-induced cancer of 1.8 for  $\geq 1$  Gy (mean dose = 2.1 Gy), suggesting that the probability of a classificatory error is not dose dependent, but the expected number of errors increases as the relative risk of cancer increases. Table 10 shows the proportion of cancer deaths based on autopsy among noncancer deaths by cause of death. The proportion varies from 5.5% (stroke) to 19.8% (liver cirrhosis).

We calculate the relative risk of a noncancer death being an erroneously assigned cancer death, assuming no radiation-related excess in noncancer deaths, as follows:

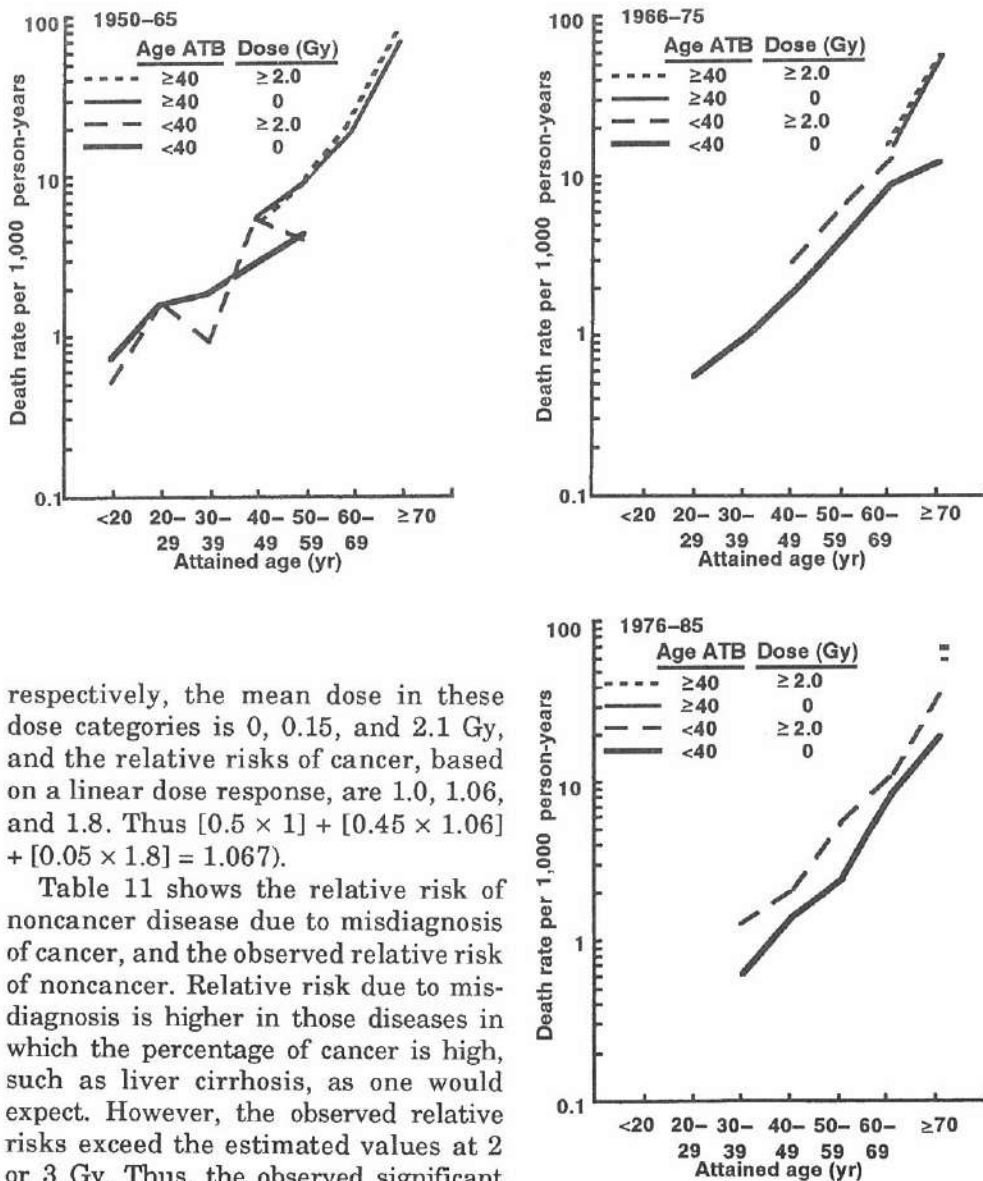
$$1 + (\text{excess RR of cancer}) \times (\text{percentage of cancer among noncancer deaths})$$

To calculate the expected relative risk, based solely on misdiagnosis, we used the relative risk for all cancers, reported in Part 2 of this series,<sup>2</sup> of 1.4, 1.8, and 2.2 at 1, 2, and 3 Gy, respectively. The percentage of cancer in the total autopsy series, 9.9%, was adjusted (divided by 1.067) to account for the fact that the autopsies also include exposed individuals (i.e., the distribution of autopsied subjects is 0.5, 0.45, and 0.05 for 0 Gy, 0.01–0.99 Gy, and  $\geq 1$  Gy,



**Figure 5A.** Age-specific death rates for all diseases except neoplasm and blood disease by radiation dose and age at the time of the bombings (ATB).

**Figure 5B.** Age-specific death rates for all diseases except neoplasm and blood disease by radiation dose, age at the time of the bombings (ATB), and period.



respectively, the mean dose in these dose categories is 0, 0.15, and 2.1 Gy, and the relative risks of cancer, based on a linear dose response, are 1.0, 1.06, and 1.8. Thus  $[0.5 \times 1] + [0.45 \times 1.06] + [0.05 \times 1.8] = 1.067$ .

Table 11 shows the relative risk of noncancer disease due to misdiagnosis of cancer, and the observed relative risk of noncancer. Relative risk due to misdiagnosis is higher in those diseases in which the percentage of cancer is high, such as liver cirrhosis, as one would expect. However, the observed relative risks exceed the estimated values at 2 or 3 Gy. Thus, the observed significant excess mortality at high doses cannot be entirely explained by the misclassification of cancer.

**Table 9.** Autopsy results for noncancer death certificate cases, all diseases except neoplasm and blood disease

Radiation dose (Gy)	No. of deaths	No. of autopsies	Autopsy rate (%)	Cancer found on autopsy	
				No.	%
Total	20,777	2610	12.6	251	9.6
0	9490	908	9.6	102	11.2
0.01–0.99	10,507	1561	14.9	124	7.9
1.00–1.99	506	93	18.4	19	20.4
≥2.00	274	48	17.5	6	12.5
					9.2
					17.7

**Table 10.** Proportion of cancer deaths based on autopsy diagnosis among deaths stated to be due to noncancer causes on the death certificate

Cause of death	No. of deaths	No. of autopsies	Cancer found on autopsy	
			No.	%
All diseases except neoplasm and blood disease	20,777	2610	251	9.6
Circulatory disease	11,164	1368	84	6.1
Stroke	6202	798	44	5.5
Heart disease	4962	570	40	7.0
Respiratory disease	2036	244	31	12.7
Digestive disease	2149	308	59	19.2
Liver cirrhosis	697	121	24	19.8

NOTE: Data for infectious and other diseases are not shown.

**Table 11.** Relative risk of noncancer death based solely on misdiagnosis from radiation-induced cancer assuming no excess in noncancer deaths

Disease	Relative risk		
	1 Gy	2 Gy	3 Gy
All diseases except neoplasm and blood disease	1.04 (1.04)	1.07 (1.17)	1.11 (1.38)
Circulatory disease	1.02 (1.05)	1.05 (1.21)	1.07 (1.46)
Stroke	1.02	1.04	1.07
Heart disease	1.03	1.05	1.08
Digestive disease	1.07 (1.09)	1.14 (1.38)	1.22 (1.86)
Liver cirrhosis	1.07	1.15	1.22

NOTE: Values within parentheses are the estimated relative risk (RR) of noncancer mortality based on model 5-4 of Appendix Tables 10 and 11 for age < 40 at the time of the bombings (ATB), 1966–85. Model 5-4 is as follows:

$$RR = 1 + \alpha_{1j} \cdot d \cdot I(T \leq 1965) + \alpha_{2j} \cdot d^2 + \alpha_{3j} \cdot d^2 \cdot I(T \leq 1965),$$

where  $j$  = age ATB category;  $d$  is in gray; and  $I(T \leq 1965) = 1$  if the period is 1950–65 and 0 if the period is 1966–85.

## Discussion

It is important to examine the hypothesis that radiation shortens life through an increase in a variety of causes of death other than cancer. In our most recent previous analysis,<sup>3</sup> based on the revised T65D, the cumulative mortality from all causes except neoplasm, calculated by the life table method, did not in general increase with dose. Neither did analyses of individual disease categories show such an effect. However, it was noted<sup>3</sup> that the only evidence of a radiation-related effect on mortality from causes other than cancer came from the highest T65DR exposure group,  $\geq 4$  Gy. A significant elevation was seen for the entire cohort as well as in three of the combination groups (Hiroshima, females, and the 35–49 age groups).

With the accumulation of seven more years of follow-up beyond that available for the previous analysis and with the new dosimetry, we find stronger evidence of an excess in risk from noncancer mortality at doses of 2 Gy and over. In previous analyses of the LSS sample,<sup>3,9</sup> it was pointed out that the observed excess mortality from blood disease stemmed largely from misdiagnoses of the cause of death through the erroneous inclusion of cases of leukemia within this rubric. In the present analysis, when deaths from "blood disease" were compared with the leukemia registry in the period 1950–82, the same finding holds true (Appendix Table 12). Therefore, we have excluded blood disease from noncancer deaths in our analysis. Mortality from all diseases except neoplasm and blood disease shows a significant increase with dose for the entire period 1950–85 (Table 2). This increasing trend, however, is not linear but linear threshold. Furthermore, the dose response is different between follow-up intervals and age ATB. In the early period, it follows a linear-quadratic model, where the linear term is significantly negative and the quadratic term is significantly positive. In the later period, however, a linear-threshold dose response fits the data better. In addition, the recent increase seems to result from the younger (<40) age ATB groups (Figure 2). When the analysis was extended to specific disease categories (e.g., circulatory disease, respiratory disease, and digestive disease), the dose response in these disease categories generally exhibits the same tendency as that seen for all diseases except neoplasm and blood disease (Figure 3).

The present analyses are based on 83% of the 91,000 members in the LSS sample who have T65DR doses; however, recently DS86 doses have been estimated on an additional 12,000 or so persons, so that now the new doses are available on 95% of the sample. Preliminary analyses of this larger cohort do not alter the present results. However, we must await further follow-up to reach a definite conclusion as to the reality of this recent increase in noncancer mortality, since many members of the younger age ATB group have not yet entered those ages at which mortality normally increases appreciably.

It is not unreasonable to assume that the effects of radiation on cancer induction (which is presumed to be a stochastic phenomenon), and on noncancer mortality differ, and that the latter may follow a nonstochastic process with a threshold dose. However, given the recent evidence of a transforming gene in the atheromatous plaque,<sup>10</sup> the increase in cardiovascular disease is a particularly intriguing finding, and may suggest, if the association is real, that the effect of

ionizing radiation on atherosclerosis should be treated as a stochastic phenomenon. Further data will be especially interesting in this regard.

When the observations on deaths attributable to all diseases except neoplasms and blood diseases are displayed as a Gompertz curve (age at death specific mortality rate in a logarithmic scale), a significant increase is seen in the  $\geq 2$  Gy group (Figures 5A and 5B) especially for age ATB < 40.

The loss of life expectancy was calculated for both the cancer and noncancer cases. The calculated losses of life expectancy, on average, at 0 years of age are 0.4 and 3 years for noncancer and cancer, respectively. The higher value for cancer undoubtedly reflects the larger excess relative risk (sevenfold) and relatively earlier appearance of cancer death than noncancer death, though the background death rates are higher (three- to fourfold) for noncancer death. In the present analysis, we used the stationary population described in the 1985 Japanese life table, and cancer and noncancer death rates in 1985. Our estimated value should be close to, but not exactly the same as, that estimated for the LSS cohort *only* after all of the subjects have died. The life lost from a fatal cancer was estimated for 2.0 Gy and over (average = 3.3 Gy) in order to compare this value with that for noncancer death. Life lost at 1 Gy is 0 years from noncancer death, since the threshold dose was estimated to be 1.4 Gy, but 0.9 years for cancer deaths. This latter value is well within the range estimated in the UNSCEAR report.<sup>11</sup> However, the estimated life lost from radiation-related disease can be expected to vary greatly with the age composition and death rates in the background population. Therefore the estimated life lost we calculate should be seen as being merely a useful guide appropriate possibly only to the Japanese.

#### ***Factors that may spuriously cause the dose effect on noncancer mortality***

The findings we have described, based as they are on death certificates, have their limitations, and a number of factors other than radiation could contribute to the apparent increase in noncancer deaths. Most significant, perhaps, is the possible erroneous attribution of radiation-related cancer deaths to other causes. To examine the impact of such errors on the observed increased relative risk of noncancer mortality, we have utilized the information on classification errors revealed by the autopsy and tumor registry data that are available as well as the clinical data provided by the Adult Health Study (AHS).

We have discussed the autopsy material in the Results section. Elsewhere, Sposto et al.<sup>12</sup> report a statistical analysis of these same data whose purpose is to determine whether the observed dose response in noncancer mortality can be attributed solely to misclassification of cancer deaths. He and his colleagues too conclude that the nonlinear dose response in noncancer mortality cannot be explained by simple misclassification of cancer into the noncancer category. Indeed, they conclude that "the significance of the noncancer dose response was relatively insensitive to underestimating the cancer misclassification rate, but sensitive to assuming that cancer misclassification was positively associated with dose." However, they, like we, find a positive association of misclassification with dose improbable since it would require the physician certifying the cause of death to know the dose, and for the most part the survivors themselves do not know their actual doses.

Since tumor registries exist in Hiroshima and Nagasaki, the tumor registry data for the period 1958 (when they began) through 1985 were also investigated as a source of material for this problem of misdiagnosis. The proportion of cancer included in all diseases except neoplasm and blood disease is lower than that based on autopsy data (see Appendix Tables 17A, 17B). Thus, if the relative risk of noncancer deaths is calculated using the tumor registry data, assuming no radiation-induced excess of noncancer deaths but that the number of misdiagnosed cancer cases increases as the excess cancer risk increases with dose, the risk should be lower than that derived from the autopsy series.

Other problems such as the accuracy of the death certificate, dosimetry change, place of death, and other confounding factors are discussed in detail in the Appendix. Briefly, none of these factors, singly at least, will explain the excess in noncancer deaths observed. We find the accuracy of the diagnosis of disease when the death certificate is compared with autopsy or clinical findings to be fairly good. For the autopsy findings, if not only the primary but the contributory causes of death are considered, the confirmation rates range from 69% (coronary heart diseases) to 86% (stroke) exclusive of such diagnoses as senility, nephritis and nephrosis (Appendix Table 13), and other infectious diseases except for tuberculosis that are either difficult to confirm at autopsy or cannot be confirmed (senility for example). It should be noted that these latter diseases, with the exception of senility, make a small contribution to the totality of causes of death.

When the causes of death as stated on the death certificates of members of the AHS exposed to 2 Gy or more were compared with the clinical diagnoses made at the biennial examinations, the confirmation rate was 83% for all causes of death and was also high for each separate cause (Appendix Table 14). These findings, while reassuring, obviously do not set to rest all of the uncertainties in diagnosis, and particularly so in those nonaccidental deaths that occurred suddenly.

#### ***Other studies***

Other studies with which these findings can be compared are few. However, the follow-up study of ankylosing spondylitis patients who received radiation therapy<sup>13</sup> suggests that there was a 51% increase in deaths from diseases other than neoplasm. The high mortality was not confined to those diseases recognized clinically to be associated with spondylitis, but was observed also for all other groups of disease, though to a lesser extent. The report,<sup>13</sup> however, concluded that the excess was likely to be associated with the disease itself rather than with X-ray treatment, since a similar excess was also observed in unirradiated patients.<sup>14</sup> However, it is worthwhile to mention that the excess in unirradiated patients was confined to males and that the excess in patients with X-ray treatment was higher among females, where an excess in unirradiated patients was not observed. This suggests that there may be a relationship between radiation therapy and mortality from diseases other than neoplasm not related to ankylosing spondylitis. Among U.S. radiologists,<sup>15</sup> a higher mortality has been reported not only from cancer but also from cardiovascular diseases and from other nonneoplastic diseases when compared with other medical specialists. Among British radiologists,<sup>16</sup> however, an increase in mortality from noncancer causes was not observed.

The findings we have described on heart disease are supported by an earlier study<sup>17</sup> of the incidence of stroke and coronary heart disease among the participants in the AHS in the years 1958 through 1974. It was conducted on cases ascertained on the bases of specific criteria using clinical findings including ECG results and autopsy, and did not depend simply on the clinical diagnosis made at the time of the AHS examination. This study showed the incidence to be significantly higher among women in Hiroshima who were heavily exposed, that is, who received a T65 dose of  $\geq 2.00$  Gy. However, since an exposure effect was not seen in women in Nagasaki or in men in either city, and since there was some evidence of a higher autopsy rate among the heavily exposed women in Hiroshima, this association was not widely accepted as real although it could not be explained by a confounding of any of the major cardiovascular risk factors such as smoking, an elevated level of serum cholesterol, or the occurrence of hypertension. This study has since been extended to include the years 1958 (when the AHS began) through 1986. The new results<sup>18</sup> confirm the earlier elevation seen in risk among heavily exposed women in Hiroshima, but now there is also a significantly elevated risk among Nagasaki men. It is also interesting to note that the period prevalence for liver cirrhosis, based on clinical diagnoses, appears to be increased among the participants in the AHS in the high dose groups.<sup>19</sup> These findings, although based on a substantially smaller sample, are consistent with the observations on mortality within the LSS sample as a whole.

#### ***Comments on the arguments by Stewart and Kneale***

In two recent papers, Stewart and Kneale<sup>20,21</sup> have suggested that the LSS cohort of A-bomb survivors studied by RERF may be biased. This notion is derived from the fact that the LSS sample was established in 1950, and that deaths occurring before the follow-up studies, that is, during 1945–50, may have served to select survivors who were resistant to a radiation effect. In their analysis, based on the T65 doses, they found no radiation dose response in cardiovascular disease categories. They did, however, observe a U-shaped dose response for deaths in the general category of all nonneoplastic diseases other than cardiovascular disease. They also found that the negative downward slope for the lower doses was more pronounced in the earlier period, and decreased in time, while the upward slope at the higher doses, presumably ascribable to bone marrow scarring, remained relatively unchanged. This, they maintained, was consistent with their idea that the early survival or selection effects could cause an underestimation of cancer risk among A-bomb survivors.

It should be noted that it is difficult to characterize the general category "all diseases except neoplasm and cardiovascular disease," since it includes many diseases that are unlikely to be related to immune competence, though Stewart and Kneale called this category "infectious disease." However, the ICD category "infectious disease" consists of only "tuberculosis" and "other infectious disease." We observe no dose response in these disease categories. It should be mentioned too that the earlier analysis<sup>3</sup> of deaths in the LSS sample specifically addressed tuberculosis. In that report, data from population surveys in the late 1940s were analyzed, and no relationship was observed between dose and death due to infectious disease.

---

Given Stewart and Kneale's contention that the A-bomb survivor data are biased, we have examined their hypothesis more closely with the present observations on mortality during 1950-85 and the new doses. We have further subdivided the disease categories and have sorted the data into three periods: 1950-65, 1966-75, and 1976-85. A summary of these results follows.

(1) Mortality from diseases of the circulatory system (cardiovascular disease) shows a significant increase with dose particularly for the younger age groups ATB in the recent period. Mortality from both stroke and circulatory disease other than stroke (i.e., heart disease) exhibits a significant increasing trend for the latest period. This finding is inconsistent with their findings showing no excess in cardiovascular disease mortality.

(2) Mortality from all diseases except neoplasm, cardiovascular disease, and blood disease (the latter was excluded because of the frequency of misdiagnosis of blood disease based on death certificates) suggests a U-shaped dose response function for the total period and it is clearly significant in the early years, as Stewart and Kneale observed. However, this tendency was seen only for age 40 and over ATB in the period 1950-65. Further division of this disease category reveals that a similar, significant U-shaped dose response is observed only for the "other" disease category in which the majority of deaths were attributed to senility. This is in general a poorly understood or ill-defined condition, but it seems unlikely to be related to immune competence or to bone marrow damage as their hypothesis would suggest. Incidentally, for circulatory disease, a U-shaped dose response was observed for age 40 and over ATB in the early period as well. This finding is inconsistent with Stewart and Kneale's argument that the selection effect is particularly important for infectious diseases and that there is no evidence to support a selection effect for circulatory disease.

(3) The critical question then, is whether this selection effect is significant with respect to the interpretation of cancer risk. A deficit in noncancer mortality is observed in the early period and the possible confounding with cancer mortality is likely to be confined to the same period. In epidemiological studies in general, the "healthy worker effect" does not have much impact on cancer mortality after several years of follow-up.<sup>22-24</sup> Since radiation-induced cancers (with the exception of leukemia) are observed primarily in the later period, the healthy worker effect would not be applicable. Incidentally, the lifetime risks of leukemia and all cancers except leukemia were calculated after correction for the selection effect observed before 1966 among those who were 40 years of age or more ATB. The adjusted lifetime risks of leukemia and all cancers except leukemia increased by only 7% and 5%, respectively, as compared with the unadjusted risks.<sup>25</sup> Little and Charles<sup>26</sup> also have recently analyzed the selection bias in the A-bomb survivors using published data. They too concluded that there is no evidence to suggest that selection on this basis might confer correspondingly reduced susceptibility to radiation-induced cancer.

UNSCEAR's recent comparison<sup>11</sup> of the risks of causes in the LSS with those in the ankylosing spondylitis patients and women treated for a cervical malignancy shows reasonably good agreement between the LSS risks and those obtained from the use of medical X-ray data. Indeed, the risks in the LSS sample are generally higher than the others, which is inconsistent with Stewart and Kneale's argument.

## Acknowledgments

Deep appreciation is expressed to Professor Michito Ichimaru, Atomic Disease Institute, Nagasaki University Medical School, for his efforts in the confirmation of the diagnosis of leukemia among cases ascertained through the Leukemia Registry for members in the Life Span Study, and to Dr. Michiko Yamada in the Department of Clinical Studies of RERF for her efforts in reviewing liver cirrhosis deaths through the physical examination data.

## References

1. Shimizu Y, Kato H, Schull WJ, Preston DL, Fujita S, Pierce DA: Studies of the mortality of A-bomb survivors. 9. Mortality, 1950-85: Part 1. Comparison of risk coefficients for site specific cancer mortality based on the DS86 and T65DR shielded kerma and organ doses. Radiat Res 118:502-24, 1989 (RERF TR 12-87)
2. Shimizu Y, Kato H, Schull WJ: Studies of the mortality of A-bomb survivors. 9. Mortality, 1950-85: Part 2. Cancer mortality based on the recently revised doses (DS86). Radiat Res 121:120-41, 1990 (RERF TR 5-88)
3. Kato H, Brown CC, Hoel DG, Schull WJ: Studies of the mortality of A-bomb survivors. Report 7. Mortality, 1950-78: Part 2. Mortality from causes other than cancer and mortality in early entrants. Radiat Res 91:243-64, 1982 (RERF TR 5-81)
4. Milton RC, Shohoji T: Tentative 1965 radiation dose estimation for atomic bomb survivors, Hiroshima and Nagasaki. ABCC TR 1-68
5. Roesch WC (ed.): *US-Japan Joint Reassessment of Atomic Bomb Radiation Dosimetry in Hiroshima and Nagasaki: Final Report* (Vol. 1). Hiroshima, Radiation Effects Research Foundation, 1987
6. Preston DL, Pierce DA: The effect of changes in dosimetry on cancer mortality risk estimates in the atomic bomb survivors. Radiat Res 114:437-66, 1988 (RERF TR 9-87)
7. Clayton D: The analysis of event history data. A review of progress and outstanding problems. Stat Med 7:819-41, 1988
8. National Research Council: *Health Effects of Exposure to Low Levels of Ionizing Radiation. (BEIR V)*. Washington, D.C., National Academy Press, 1990
9. Beebe GW, Kato H, Land CE: Studies of the mortality of A-bomb survivors. 6. Mortality and radiation dose, 1950-74. Radiat Res 75:138-201, 1978 (RERF TR 1-77)
10. Penn A, Garte SJ, Warren C, Nesta D, Mindich B: Transforming gene in human atherosclerotic plaque DNA. Proc Natl Acad Sci USA 83:7951-5, 1986
11. United Nations: *Sources, Effects and Risks of Ionizing Radiation*. New York, United Nations, 1988
12. Sposto R, Preston DL, Shimizu Y, Mabuchi K: The effect of diagnostic misclassification on noncancer and cancer mortality dose response in the RERF Life Span Study. RERF TR 4-91
13. Darby SC, Doll R, Gill SK, Smith PG: Long term mortality after a single treatment course with x-rays in patients treated for ankylosing spondylitis. Br J Cancer 55:179-90, 1987

- 
14. Radford EP, Doll R, Smith PG: Mortality among patients with ankylosing spondylitis not given X-ray therapy. *New Engl J Med* 297:572, 1977
  15. Matanoski GM, Seltser R, Sartwell PE, Diamond EL, Elliott EA: The current mortality rates of radiologists and other physician specialists: Specific causes of death. *Am J Epidemiol* 101:199–210, 1975
  16. Court Brown WM, Doll R: Expectation of life and mortality from cancer among British radiologists. *Br Med J* 2:181–7, 1958
  17. Robertson TL, Shimizu Y, Kato H, Kodama K, Furukawa H, Fukunaga Y, Lin CH, Danzig MD, Pastore JO, Kawamoto S: Incidence of stroke and coronary heart disease in atomic bomb survivors living in Hiroshima and Nagasaki 1958–1974. RERF TR 12-79
  18. Kodama K, Shimizu Y, Sasaki H, Kato H: Incidence of myocardial infarction in atomic bomb survivors living in Hiroshima and Nagasaki, 1958–86. RERF technical report in preparation.
  19. Wong FL, Yamada M, Sasaki H, Kodama K, Akiba S, Shimaoka K, Hosoda Y: Adult Health Study Report 7. Noncancer disease incidence among the atomic bomb survivors, 1958–86. RERF TR 1-92 (in press)
  20. Stewart AM, Kneale GW: Non-cancer effects of exposure to A-bomb radiation. *J Epidemiol Commun Health* 38:108–12, 1984
  21. Stewart AM, Kneale GW: A-bomb survivors as a source of cancer risk estimates: Confirmation of suspected bias. In *Low Dose Radiation: Biological Bases of Risk Assessment*. London, Taylor & Francis, 1989. pp. 345–63
  22. Goldsmith JR, Enterline PE, Gaffrey WR, McMichael AJ, Haynes SG, Tyroler HA: Letter: What do we expect from an occupational cohort? *J Occup Med* 17(2):126–31, 1975
  23. Sterling TD, Weinkam JJ: The “healthy worker effect” on morbidity rates. *J Occup Med* 27(7):477–82, 1985
  24. McMichael AJ: Standardized mortality ratios and the “healthy worker effect”: Scratching beneath the surface. *J Occup Med* 18(3):165–8, 1976
  25. Shimizu Y, Kato H, Schull WJ, Hoel DG: Selection bias and the interpretation of cancer risk in the Life Span Study. RERF technical report in preparation.
  26. Little MP, Charles MW: Bomb survivor selection and consequences for estimates of population cancer risks. *Health Phys* 59:765–75, 1990
  27. Tokunaga M, Kato H, Shimizu Y: Comparison between autopsy diagnosis and underlying cause of death on death certificate for diseases other than cancer. Life Span Study Sample, 1950–85. RERF technical report in preparation.
  28. Yamamoto T, Moriyama IM, Asano M, Guralnick L: RERF pathology studies, Hiroshima and Nagasaki, Report 4: The autopsy program and the Life Span Study, January 1961–December 1975. RERF TR 18-78
  29. Yamada, M: Memorandum to Y. Shimizu regarding the results of checking cause of death from liver cirrhosis against Adult Health Study physical examination data. Dated 30 August 1990
  30. Kato H, Johnson KG, Yano K: Mail survey on cardiovascular disease study, Hiroshima–Nagasaki. ABCC TR 19-66

## Appendix. Discussion of Factors that May Spuriously Cause the Dose Effect on Noncancer Mortality

### *Accuracy of the underlying cause of death cited on the death certificate*

Perforce, in the present analyses, we have accepted at face value the underlying cause (or causes) of death cited on the death certificate. It must be borne in mind, however, that many causes of death so reported are inaccurate, and these inaccuracies could obscure a true radiation effect or create a spurious one. It should be further noted that these inaccuracies are not unique to this study. They plague, to a greater or lesser degree, all epidemiological uses of death certificates.

To provide some insight into the degree of inaccuracy in the present instance, we have compared the statements on the death certificates with the findings at autopsy for all of those deaths in the entire LSS sample in which an autopsy occurred at ABCC-RERF during the period 1950-85.<sup>27</sup> Appendix Table 13 presents the confirmation and detection rates this comparison revealed. It will be noted that these rates are lower generally than those seen when cancer is the cause of death.<sup>28</sup> But, *when not only the primary cause but the contributory causes are considered, the accuracy of the diagnoses on the death certificate is fairly good.* Justification for considering all causes, principal and contributory, in assessing accuracy rests largely on the variation among pathologists in their selection of the principal cause of death when several possible explanations exist. The obvious implication of these reporting inaccuracies, nonetheless, is that cause-specific analyses will vary, possibly substantially, in their reliability. However, if accuracy is not related to dose, and we have no evidence that it is, then the findings reported are acceptable approximations to the truth.

The clinical diagnoses at the AHS examination were also collated with the cause of death among those members of the AHS sample with doses of 2 Gy or higher. The results are shown in Appendix Table 14. It is possible that diseases that could occur suddenly, that is, a stroke or heart attack (coronary heart disease), may have occurred after the last symptom-free examination under the AHS program. Similarly, if the duration from the last examination to death is fairly long, say 10 years, the cause of death might not be related to the diseases found at the last AHS examination. Accordingly, such deaths were categorized as "undetermined" and 59 were excluded from the following observations. The larger proportion of the undetermined deaths were said to be attributable to stroke and heart disease. For the remaining deaths, if the causes of death matched the clinical diagnosis in ICD disease category at any cycle of the AHS examination, directly or "in the established sequence," the cause of death was regarded as "confirmed" by a clinical diagnosis. The confirmation rate thus determined is 83% for all causes of deaths and is also high for each separate cause of death.

For liver cirrhosis, the death certificates were also compared to the total examined AHS sample in Hiroshima using all information available,<sup>29</sup> that is, autopsy findings, clinical diagnosis, clinical laboratory findings, including liver function test and HBs antigen, and the epidemiological survey information, (history of liver cirrhosis and alcohol intake). The results are given in Appendix Table 15, where the priority assigned to a given source of information decreases from the top when more than two sources of material were available.

The number of cases confirmed by either autopsy findings or AHS diagnosis is  $19 + 18 = 37$ , or 48.1% of 77 deaths ascribed to liver cirrhosis on the death certificate. When the source material was extended to include less certain sources of information, such as a past history in the epidemiological survey, the total number of confirmed cases increases to 57, or 74.0%. Sixteen of 23 autopsy cases (69.6%) were confirmed by principal pathological diagnosis, as shown in Part B of Appendix Table 15.

### ***Misdiagnosis of cancer deaths***

Some proportion of the excess deaths from noncancer diseases could be attributable to the inclusion of misclassified cases of radiation-related cancer. To investigate this possibility, autopsy findings and cancer cases, registered in the Hiroshima and Nagasaki tumor registries, were collated with the stated underlying cause of death.

*Autopsy data.* A systematic autopsy procurement program began at ABCC in 1961. In the early years the autopsy rate was relatively high, 30%–40%, but it decreased with time and <20% of deaths occurring in 1975 were autopsied. At this time the systematic procurement of autopsies was stopped. Over the years 1966–85 the autopsy rate was very low, around 10%–20%, and particularly so for survivors in the younger age ATB groups. Unfortunately for our purposes, these were the years when the significant excess mortality from all diseases except neoplasm and blood disease appeared. Thus, the recent autopsy data, though valuable in their own right, provide a limited basis on which to examine the possible role of misdiagnosed cancer cases in the apparent increase in deaths ascribed to other causes. Nevertheless, using the data that are available, we have attempted to examine the effect of missed diagnoses on the dose-response relationships among the young ATB (<40) in the period 1966–85. Using the values in the lower panel in Appendix Table 16A, we estimate that among the  $67 - 42.9 = 24.1$  excess deaths in the  $\geq 2$  Gy group, the number of possibly misdiagnosed cases of cancer would be  $67 \times 1/10$  (1/10 represents the proportion of observed cancer cases among all deaths in this rubric) = 6.7. Thus, not all of the excess seen in this category of death can be explained by the inclusion of misdiagnosed cases of cancer. When the observations were extended to all ages ATB and all periods combined, similar results were obtained, but the effect is less statistically significant (Appendix Table 16A).

For heart disease (Appendix Table 16B), the estimated number of deaths from cancer erroneously included in the total of 44 deaths in the  $\geq 1$  Gy group is  $44 \times 1/10$  (1/10 represents the proportion of observed cancer cases among all deaths in this dose group attributed to heart disease) = 4.4. Since the excess number of deaths in the  $\geq 1$  Gy group is 7.9 ( $44 - 36.1$ ), not all of this excess can be explained by the inclusion of misdiagnosed cases of cancer. It is important to note that this estimate, 4.4, assumes that all cancers in the  $\geq 1$  Gy group are radiation related; whereas, in fact, *at most 40% are*.

For liver cirrhosis (Appendix Table 16C), among the  $20 - 12.5 = 7.5$  excess deaths in the  $\geq 1$  Gy group, the number of cancer deaths erroneously attributed to liver cirrhosis would be at most  $20 \times 1/2$  (1/2 represents the actual proportion of cancer cases observed among the deaths attributed to liver cirrhosis) = 10. In

the worst case, that is, if we assumed that all cancer cases in this rubric were radiation-related, there would be no dose-response effect.

For comparison with the results described above, similar analyses are included in Appendix Tables 16D–F for circulatory disease (including heart disease), coronary heart disease, and stroke.

*Tumor registry data.* Appendix Table 17A shows the number and proportion of cancers reported in the tumor registry for the various dose groups. Since the significant excess mortality from all diseases except neoplasm and blood disease appeared after 1965 and in the younger age ATB (<40) group, the proportions of cancer reported in the tumor registry in this group are also shown. The proportion of cancer is 4.3% overall and is higher in the high-dose group. The ratio of the proportion of cancers in the  $\geq 2$  Gy group to that in the 0 Gy group is about 2. This value is close to the relative risk of cancer for the  $\geq 2$  Gy group. The proportions of cancer seen in 1966–85 among individuals under 40 ATB are almost the same as those in the total period for all ages. The tendency of the proportion to be higher in the high-dose group, however, is less clear in this time and age group. Since these proportions are lower than those observed in the autopsy series (Table 9), even if the relative risk of noncancer mortality based solely on misdiagnosis from radiation-induced cancer is calculated using tumor registry data, it is lower than in the autopsy series (Table 11).

*Clinical data.* Similarly, the information on cancer, based on clinical diagnosis at physical examination (the majority were duplicated with tumor registry data, naturally), revealed 12 cancer cases, which is 9.0% of the 133 patients, who were exposed to  $\geq 2.0$  Gy.

#### **Place of death**

We have also examined the possibility of bias related to the place of death, that is to say, whether death occurred at home or in a hospital.

As shown in Appendix Table 18A, the proportion of deaths occurring in a hospital differs by radiation dose, year of death, age ATB, and assigned cause. Deaths occurred relatively more frequently in a hospital within the high dose group ( $\geq 2.0$  Gy), in the more recent period (1976–85), in the younger age ATB group (<40), and for malignant neoplasm.

The greater proportion of deaths occurring in a hospital in the high dose group (vs. the 0 Gy group) is reflected in a higher estimated relative risk at 1 Gy for “deaths at hospital” than that for “deaths at home” for specific causes as well as for all noncancer deaths combined. A similar, but less significant tendency is observed for all cancer except leukemia (Appendix Table 18B).

The accuracy of causes of death on death certificates for specific diseases differs by place of death as shown in Appendix Table 18C in terms of the confirmation and detection rates.

As previously mentioned, place of death is confounded by radiation dose, and it is worthwhile, therefore, to examine the effect on the dose response of making an adjustment for place of death in terms of a correction factor for the accuracy of death certificate diagnoses (ratio of confirmation to detection rates), as shown in Appendix Table 18C. Since the data available for such an adjustment are limited to certain diseases, adjustments were made only for deaths attributed to

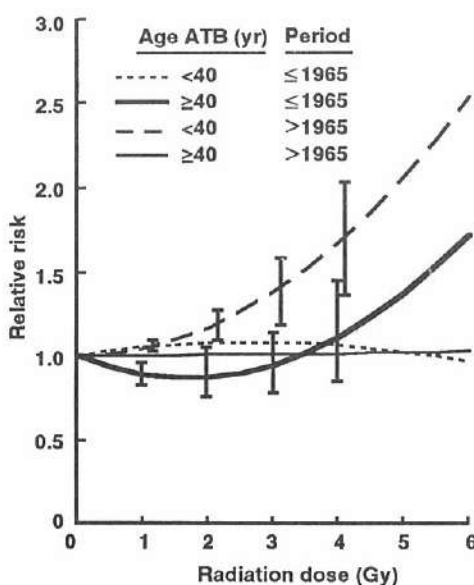
heart disease and liver cirrhosis. It will be noted that the relative risks of heart disease and liver cirrhosis (total period, all ages ATB) in the  $\geq 2$  Gy group, which were 1.34, and 1.66, are 1.26 and 1.60 after adjustment, respectively (see Appendix Table 18D). Thus, in summary, an excess relative risk still occurs after adjustment for both heart disease and liver cirrhosis.

### **General risk factors**

It is well known that noncancer mortality is related to factors other than radiation, such as the association between smoking and mortality from cardiovascular disease, and the association between alcohol intake and mortality due to liver cirrhosis. Accordingly, if the high radiation dose group includes a larger proportion of subjects having these risk factors than the low dose groups, spurious radiation effects could arise. So far, no positive correlation between radiation dose and smoking or alcohol intake has been observed in this cohort.<sup>17,30</sup> Nonetheless, further investigations of other possible confounding factors as well as of the interaction between radiation and other risk factors, if any, are obviously needed.

### **DS86 subcohort**

The present analyses are based on 83% of the 91,000 members of the LSS sample who have a T65DR dose. It is conceivable that one of the reasons for the excess mortality observed in the present report is the fact that these analyses are limited to the DS86 subcohort. However, recently doses have been estimated on an additional 12,000 or so persons so that doses are now available on 95% of the sample. The relative risks of this larger cohort do not differ from those seen in the DS86 subcohort.



**Appendix Figure 1.** Estimated dose-response curve for all diseases except neoplasm and blood disease. The bars indicate the 90% confidence interval. ATB = at the time of the bombings.

**Appendix Table 1.** Number of deaths by cause of death

Cause of death	No. of deaths	ICD 9th code
<b>All diseases except neoplasm</b>	20,923	
<i>Infectious disease</i>	1413	001-139
Tuberculosis	1151	010-018
Other infectious disease	262	(001-139)-(010-018)
<i>Blood disease</i>	146	280-289
<i>Circulatory disease</i>	11,164	390-459
Stroke	6202	430-438
Heart disease (Circulatory disease except stroke)	4962	390-429, 440-459
Rheumatic heart disease	180	390-398
Hypertensive heart disease	626	401-405
Other hypertensive disease	337	401, 403, 405
Coronary heart disease	1765	410-414
Endocarditis	297	424
Cardiac insufficiency	1095	428
Other heart disease	385	415-423, 425-427, 429
Other circulatory disease	277	440-458
<i>Respiratory disease</i>	2036	460-519
Acute bronchitis	57	446.0
Pneumonia	1233	480-486
Influenza	44	487
Chronic bronchitis	191	490, 491
Emphysema	108	492
Asthma	329	493
Other	74	
<i>Digestive disease</i>	2149	520-579
Peptic ulcer	392	531-533
Appendicitis	27	540-543

*Continued*

**Appendix Table 1.** Continued

Cause of death	No. of deaths	ICD 9th code
Intestinal obstruction	137	550–553, 560
Gastritis	290	535, 555, 556, 558, 562
Liver cirrhosis	697	571
Other liver disease	168	570, 572, 573
Other	438	
<i>Urinary disease</i>	513	580–599
Acute nephritis, nephrosis	107	580, 581, 584
Other urinary disease	406	582, 583, 585–589
<i>Other</i>	3502	The rest
Senility	1565	797
Other	1937	
<b>Neoplasm</b>	6224	
<i>Malignant neoplasm</i>	5936	140–208
<i>Neoplasm of benign and unspecified nature</i>	288	210–239
<b>External cause of death</b>	1515	E800–E999
<i>Accident</i>	932	E800–E949
<i>Suicide</i>	527	E950–E959
<i>Homicide</i>	34	E960–E969
<i>Other external causes</i>	22	E970–E999
<b>Unknown cause of death</b>	75	
<b>Total (all causes of death)</b>	28,737	

Appendix Table 2A. Number of person-years at risk, sexes combined

Period	Age ATB	Radiation Dose (Gray)											
		Total	0	.01	.05	.10	.20	.50	1.00	2.00	3.00	4.00+	
		- .05	- .08	- .19	- .48	- .99	-1.99	-2.99	-3.99				
Total	Total	2185336	984271	553960	118991	148669	188322	102709	55281	18311	5923	6919	
	0-9	549016	238281	180917	30765	38031	44878	18879	10577	3405	1090	1193	
	10-19	497893	243257	111655	25988	28791	39838	24623	13561	5634	2278	2269	
	20-29	320042	140542	80740	17483	22348	27328	16860	9811	3317	912	1104	
	30-39	335011	145483	84791	19039	24128	32187	16248	8827	2569	722	1017	
	40-49	298752	133394	69923	16287	23522	27095	16207	8310	2444	681	889	
	50+	184622	83313	45935	10430	12850	16998	9092	4374	942	241	447	
1950-55	Total	388982	175299	98148	21183	26618	33632	18496	9977	3272	1056	1302	
	0-9	83250	36166	24322	4654	5787	6798	3020	1621	544	166	181	
	10-19	77233	37759	17298	3995	4430	6177	3839	2140	876	361	357	
	20-29	50694	22217	12778	2745	3526	4365	2619	1575	541	148	180	
	30-39	56861	24529	14432	3213	4074	5323	2810	1484	474	142	199	
	40-49	60585	27039	14168	3291	4679	5542	3267	1729	522	139	210	
	50+	80540	27588	15149	3287	4143	5426	2941	1427	315	98	185	
1956-60	Total	350755	157785	88486	19247	24093	30355	16719	9028	2959	936	1146	
	0-9	78817	34252	23050	4414	5452	6428	2861	1529	507	155	170	
	10-19	72466	35350	16246	3783	4178	5807	3600	2001	825	335	340	
	20-29	47424	20780	11958	2586	3301	4070	2463	1461	500	140	165	
	30-39	52582	22765	13364	2998	3801	4958	2594	1380	426	122	172	
	40-49	54101	24124	12659	2910	4204	4926	2856	1551	460	125	188	
	50+	45364	20514	11209	2556	3158	4165	2245	1108	241	60	110	
1961-65	Total	330790	148816	83501	18175	22744	28599	15730	8487	2791	877	1070	
	0-9	79348	34025	22943	4395	5428	6399	2838	1514	482	155	170	
	10-19	71620	34936	18082	3742	4148	5720	3545	1961	816	330	340	
	20-29	46653	20468	11733	2551	3261	3981	2428	1431	493	131	165	
	30-39	50926	22111	12897	2889	3657	4844	2503	1346	405	110	165	
	40-49	49802	22292	11638	2892	3925	4525	2728	1405	427	111	159	
	50+	33341	14984	8208	1906	2325	3120	1688	830	169	40	71	
1966-70	Total	310411	139893	78383	17100	21361	26694	14659	7869	2619	843	988	
	0-9	77936	33796	22886	4373	5405	6371	2823	1505	473	155	169	
	10-19	70860	34612	15902	3698	4083	5653	3504	1924	813	325	338	
	20-29	45780	20124	11500	2507	3207	3909	2385	1381	478	130	162	
	30-39	48752	21214	12258	2764	3525	4673	2385	1302	374	106	152	
	40-49	44682	20007	10323	2434	3584	4055	2434	1243	371	104	128	
	50+	22400	10142	5535	1326	1549	2033	1127	514	112	24	40	
1971-75	Total	289580	130438	73458	16011	19907	24820	13551	7271	2431	793	901	
	0-9	77452	33560	22757	4337	5374	6339	2802	1492	470	155	165	
	10-19	69881	34155	15655	3872	4040	5580	3454	1890	795	320	319	
	20-29	44709	19670	11277	2437	3112	3796	2344	1334	458	125	155	
	30-39	45948	18997	11584	2837	3320	4439	2204	1219	341	93	133	
	40-49	38096	16379	8876	2127	3082	3418	2093	1040	301	85	96	
	50+	13494	6077	3327	801	978	1248	654	296	66	15	32	
1976-80	Total	288137	120730	68593	14766	18278	23046	12338	6621	2219	738	800	
	0-9	76955	33380	22593	4309	5337	6295	2786	1470	468	154	165	
	10-19	68671	33595	16402	3802	3887	5495	3375	1844	766	310	295	
	20-29	43284	19026	10963	2376	3016	3887	2252	1257	440	120	147	
	30-39	42419	18466	10702	2417	3052	4168	2007	1115	301	82	110	
	40-49	30042	13333	7190	1676	2378	2711	1612	792	215	69	85	
	50+	6765	2929	1750	386	510	690	306	144	29	3	18	
1981-85	Total	248881	111310	63385	13508	16668	21175	11216	6007	2021	680	712	
	0-9	76256	33102	22386	4284	5267	6246	2750	1445	462	150	163	
	10-19	67162	32848	15068	3495	3919	5405	3305	1802	742	297	280	
	20-29	41499	18259	10529	2281	2924	3508	2168	1171	410	118	130	
	30-39	37702	16400	9574	2120	2700	3781	1745	982	247	66	87	
	40-49	21344	9621	5070	1158	1669	1919	1116	549	149	48	43	
	50+	2718	1080	758	169	188	318	131	57	10	0	10	

Appendix Table 2B. Number of person-years at risk, males

Period	Age ATB	Radiation Dose (Gray)											
		Total	0 -.05	.01 -.09	.08 -.19	.10 -.49	.20 -.99	.50 -1.99	1.00 -2.99	2.00 -2.99	3.00 -3.99	4.00+ -3.99	
Total	Total	834895	397381	195972	46969	53983	68679	36529	22583	7016	2480	3323	
	0-9	268107	117945	77314	14903	18683	21540	9614	5429	1635	593	450	
	10-19	212968	110233	43413	11721	11278	16509	8943	5774	2763	932	1401	
	20-29	65622	31847	14343	3818	3985	5088	3215	2230	587	189	320	
	30-39	98454	48410	20467	5680	5923	9014	4654	2973	622	301	409	
	40-49	114493	54037	23524	6490	8792	9994	6228	3810	895	218	508	
	50+	75253	34911	16911	4357	5322	6534	3877	2367	513	227	235	
1950-55	Total	154800	73892	35998	8584	9988	12819	6951	4328	1313	488	680	
	0-9	40852	17999	11733	2269	2833	3277	1467	838	272	89	76	
	10-19	33485	17342	8838	1810	1751	2569	1434	915	431	155	221	
	20-29	10848	5236	2383	616	670	852	528	388	89	33	53	
	30-39	17658	8595	3739	997	1083	1573	861	530	124	63	94	
	40-49	25355	11994	5209	1433	1861	2280	1358	855	223	43	121	
	50+	26623	12527	6096	1480	1791	2289	1302	803	173	85	97	
1958-60	Total	137448	65306	31971	7713	8929	11341	6187	3847	1173	408	574	
	0-9	38618	17015	11102	2151	2681	3095	1386	786	252	85	65	
	10-19	31242	16141	6395	1713	1648	2410	1328	848	409	140	210	
	20-29	10022	4838	2202	578	620	773	488	357	85	30	50	
	30-39	16225	7915	3436	929	993	1443	795	482	107	51	75	
	40-49	22193	10496	4556	1230	1654	1951	1213	750	185	40	108	
	50+	18145	8900	4270	1112	1334	1669	976	623	136	80	66	
1961-65	Total	127636	60703	29759	7194	8278	10487	5734	3522	1065	367	528	
	0-9	38298	16881	11030	2137	2667	3079	1371	775	228	85	65	
	10-19	30804	15919	6307	1696	1627	2381	1296	832	401	135	210	
	20-29	9776	4736	2124	568	611	753	477	345	85	26	50	
	30-39	15563	7637	3268	889	938	1398	760	462	100	45	70	
	40-49	19893	9434	4097	1111	1504	1704	1095	658	162	36	92	
	50+	13302	6117	2935	783	931	1173	735	448	89	40	41	
1966-70	Total	117795	56150	27492	6688	7678	9623	5205	3180	978	343	477	
	0-9	38048	16723	10984	2123	2649	3062	1365	771	223	85	64	
	10-19	30377	15722	6202	1679	1595	2348	1272	819	399	132	210	
	20-29	9457	4603	2044	547	580	729	467	327	85	25	50	
	30-39	14553	7192	2994	829	888	1320	688	438	87	45	61	
	40-49	16943	8023	3436	976	1341	1455	917	562	127	33	73	
	50+	8417	3886	1833	515	626	709	485	264	56	24	19	
1971-75	Total	108255	51573	25463	6138	7026	8851	4676	2872	910	326	418	
	0-9	37760	16589	10924	2092	2635	3037	1354	765	220	85	60	
	10-19	29804	15438	6049	1661	1574	2316	1244	805	388	130	199	
	20-29	9084	4432	1965	531	539	702	452	309	85	25	45	
	30-39	13179	6518	2694	771	797	1219	605	404	80	41	48	
	40-49	13861	6408	2770	806	1103	1170	772	452	97	30	53	
	50+	4768	2189	1062	277	378	408	249	137	40	15	12	
1976-80	Total	98929	47059	23609	5628	6369	8129	4107	2560	825	293	349	
	0-9	37474	16472	10833	2076	2623	3010	1342	755	220	84	60	
	10-19	29087	15074	5902	1618	1558	2267	1204	788	373	124	181	
	20-29	8564	4162	1880	511	508	671	415	272	83	25	40	
	30-39	11569	5718	2363	691	684	1106	511	360	70	32	34	
	40-49	10033	4656	2123	590	808	872	540	320	65	25	34	
	50+	2202	977	509	142	191	202	95	68	14	3	0	
1981-85	Total	90034	42898	21683	5043	5712	7430	3670	2274	753	256	316	
	0-9	37057	16287	10709	2056	2596	2980	1329	740	220	80	60	
	10-19	28187	14597	5721	1545	1525	2217	1165	770	362	116	170	
	20-29	7871	3839	1747	487	458	609	387	231	75	25	33	
	30-39	9708	4836	1975	575	540	958	423	297	54	23	27	
	40-49	6415	3026	1223	343	521	583	332	213	36	12	27	
	50+	796	314	207	58	72	84	33	23	5	0	0	

Appendix Table 2C. Number of person-years at risk, females

Period	Age ATB	Radiation Dose (Gray)											
		Total	0	.01	.06	.10	.20	.50	1.00	2.00	3.00	4.00+	
			-.05	-.09	-.19	-.49	-.99	-1.99	-2.99	-3.99			
Total	Total	1350441	586890	357988	73022	95686	119643	66180	32677	11295	3463	3596	
0-9	280910	120337	83603	15862	19347	23339	10265	5148	1770	497	743		
10-19	284927	133024	68242	14286	17514	23329	15680	7787	2871	1346	868		
20-29	254420	108696	66396	13666	18362	22238	13445	7381	2729	723	784		
30-39	236557	97073	64324	13359	18205	23173	11594	5854	1847	421	608		
40-49	184259	73357	46400	9797	14729	17101	9981	4500	1549	463	382		
50+	109369	48403	29024	6073	7528	10464	5215	2008	429	13	212		
1950-55	Total	234182	101806	62151	12599	16630	20813	11545	5650	1959	588	642	
0-9	42398	18168	12589	2385	2034	3523	1552	784	272	77	115		
10-19	43768	20417	10481	2185	2679	3608	2404	1225	446	206	137		
20-29	39846	16981	10396	2129	2855	3513	2091	1187	451	116	127		
30-39	39023	15334	10693	2216	2991	3750	1949	955	350	79	105		
40-49	35230	15045	8958	1857	2818	3282	1903	875	299	97	89		
50+	33917	15061	9053	1827	2353	3137	1639	824	142	13	68		
1956-60	Total	213309	92479	56515	11534	15164	19015	10533	5181	1786	531	572	
0-9	40199	17237	11948	2263	2772	3332	1474	743	255	70	105		
10-19	41224	19209	9851	2070	2530	3397	2272	1153	417	195	130		
20-29	37402	15941	9756	2008	2681	3298	1975	1104	415	110	115		
30-39	38358	14850	9928	2070	2808	3517	1789	898	320	71	97		
40-49	31808	13627	8083	1880	2549	2975	1743	801	275	85	80		
50+	26219	11614	6939	1444	1824	2486	1269	483	105	0	45		
1961-65	Total	203154	88113	53743	10982	14465	18112	9997	4965	1727	510	542	
0-9	40050	17164	11913	2258	2761	3319	1467	739	254	70	105		
10-19	40816	19018	9775	2047	2520	3339	2250	1128	415	195	130		
20-29	38877	15732	9808	1983	2851	3238	1951	1086	408	105	115		
30-39	35363	14474	9832	2000	2719	3448	1743	883	305	65	95		
40-49	30010	12859	7541	1581	2421	2821	1833	747	265	75	66		
50+	20039	8867	5273	1113	1394	1947	954	381	80	0	30		
1966-70	Total	182816	83744	50891	10431	13682	17072	9454	4688	1641	500	511	
0-9	39888	17073	11883	2250	2756	3310	1458	735	250	70	105		
10-19	40483	18880	9700	2019	2497	3305	2232	1105	414	193	128		
20-29	36323	15521	9456	1980	2626	3180	1918	1054	391	105	112		
30-39	34200	14022	9263	1935	2637	3353	1887	884	287	61	91		
40-49	27738	11883	6887	1458	2243	2599	1517	681	244	72	55		
50+	13983	6256	3702	810	922	1324	642	250	55	0	21		
1971-75	Total	181325	78865	47996	9873	12880	15969	8874	4399	1520	466	483	
0-9	39692	16971	11833	2245	2739	3303	1448	727	250	70	105		
10-19	40077	18717	9607	2012	2466	3264	2210	1085	406	190	120		
20-29	35625	15238	9313	1908	2574	3094	1892	1025	373	100	110		
30-39	32770	13479	8870	1866	2523	3220	1599	814	261	52	85		
40-49	24435	10571	6107	1320	1979	2248	1321	588	203	55	43		
50+	8726	3888	2265	524	600	840	404	159	26	0	20		
1976-80	Total	169208	73672	44980	9139	11909	14918	8231	4061	1393	445	451	
0-9	39483	16908	11760	2233	2714	3286	1444	715	247	70	105		
10-19	39584	18522	9500	1984	2429	3227	2171	1058	393	186	114		
20-29	34720	14864	9084	1865	2503	3018	1837	985	357	95	107		
30-39	30850	12743	8339	1728	2368	3062	1496	755	231	50	76		
40-49	20009	8677	5067	1088	1570	1839	1073	472	150	44	32		
50+	4583	1952	1241	244	319	488	210	77	15	0	18		
1981-85	Total	156647	68412	41702	8465	10956	13745	7546	3733	1268	424	396	
0-9	38200	16816	11877	2228	2872	3286	1421	705	242	70	103		
10-19	38975	18251	9347	1950	2394	3188	2141	1032	380	181	110		
20-29	33528	14419	8782	1815	2466	2899	1781	941	335	93	97		
30-39	27994	11564	7598	1545	2180	2823	1321	685	193	44	60		
40-49	14928	6595	3747	816	1148	1336	785	336	113	36	17		
50+	1822	768	550	111	116	232	97	34	5	0	10		

**Appendix Table 3A.** Number of deaths from all diseases except neoplasm and blood disease, sexes combined

Period	Age ATB	Total	Radiation Dose (Gray)									
			0	.01	.06	.10	.20	.50	1.00	2.00	3.00	4.00+
			-.05	-.09	-.19	-.49	-.99	-1.99	-2.99	-3.99		
Total	Total	20777	9490	5159	1109	1411	1786	1032	508	149	45	80
0-9	324	158	78	13	26	32	9	3	3	1	1	1
10-19	814	402	189	44	34	61	42	24	6	3	9	9
20-29	929	435	230	42	59	78	36	31	9	2	7	7
30-39	2441	1058	630	144	168	187	142	61	30	7	13	13
40-49	5995	2676	1441	310	448	540	326	167	52	13	22	22
50+	10274	4780	2591	556	676	898	477	220	49	19	28	28
1950-55	Total	2901	1360	768	143	174	227	135	54	18	9	13
0-9	53	22	13	1	4	9	3	0	1	0	0	0
10-19	148	83	39	4	5	9	2	6	0	1	0	0
20-29	143	63	35	6	14	12	7	4	0	0	0	2
30-39	196	84	52	13	7	16	14	5	3	1	1	1
40-49	438	201	113	24	24	42	20	7	6	0	1	1
50+	1922	907	516	95	120	139	89	32	8	7	9	9
1956-60	Total	2999	1430	725	154	194	283	105	75	17	6	10
0-9	45	23	11	1	4	5	0	0	1	0	0	0
10-19	108	60	16	3	1	13	9	3	2	1	0	0
20-29	108	47	31	3	5	13	3	5	1	0	0	0
30-39	183	78	43	10	18	16	8	3	3	1	3	3
40-49	515	239	118	31	38	48	20	17	1	2	1	1
50+	2040	983	506	108	128	188	65	47	9	2	6	6
1961-65	Total	2969	1319	776	151	197	252	171	66	19	6	12
0-9	28	20	4	1	2	0	0	1	0	0	0	0
10-19	84	28	26	7	5	10	2	5	1	0	0	0
20-29	90	44	24	3	5	10	3	1	0	0	0	0
30-39	212	85	62	17	10	15	17	4	2	0	0	0
40-49	605	273	156	20	41	47	42	15	5	1	5	5
50+	1850	869	504	103	134	170	107	40	11	5	7	7
1966-70	Total	2958	1357	725	143	201	268	139	88	23	5	9
0-9	41	23	7	2	4	3	2	0	0	0	0	0
10-19	86	40	22	1	7	7	4	3	2	0	0	0
20-29	103	50	23	1	9	7	4	6	1	0	0	2
30-39	285	136	81	9	21	18	12	2	5	0	1	1
40-49	811	381	194	38	55	78	40	30	8	3	5	5
50+	1632	747	398	94	105	154	77	47	7	2	1	1
1971-75	Total	2988	1378	692	164	212	250	175	77	22	6	12
0-9	40	17	12	4	1	4	2	0	0	0	0	0
10-19	118	60	28	6	3	6	10	3	0	0	0	3
20-29	124	60	26	8	11	8	5	4	1	1	0	0
30-39	361	153	87	15	31	26	28	13	2	2	3	3
40-49	1018	475	215	52	77	93	54	35	10	1	4	4
50+	1328	613	324	79	89	113	75	22	9	2	2	2
1976-80	Total	3057	1401	717	181	246	242	148	78	27	6	11
0-9	56	29	10	3	5	7	0	1	0	1	0	0
10-19	117	60	28	8	5	4	6	3	1	0	0	2
20-29	173	78	44	10	11	11	9	4	4	0	0	2
30-39	514	233	137	37	34	27	20	14	9	1	2	2
40-49	1275	581	285	69	117	108	71	31	8	3	2	2
50+	922	420	213	54	74	85	42	25	5	1	3	3
1981-85	Total	2905	1245	756	173	187	274	158	68	23	7	13
0-9	61	24	21	1	6	4	2	1	1	0	0	1
10-19	151	71	30	15	8	12	9	1	0	1	4	4
20-29	188	83	47	11	4	17	5	7	2	1	1	1
30-39	680	290	168	43	47	69	42	20	6	2	3	3
40-49	1335	546	360	78	96	123	79	32	14	3	4	4
50+	480	221	130	25	26	49	22	7	0	0	0	0

**Appendix Table 3B. Number of deaths from all diseases except neoplasm and blood disease, males**

Period	Age ATB	Radiation Dose (Gray)										
		Total	0	.01	.06	.10	.20	.50	1.00	2.00	3.00	4.00+
		- .05	- .09	- .19	- .49	- .99	- 1.99	- 2.99	- 3.99			
Total	Total	9344	4469	2085	504	626	773	463	272	89	29	54
0-9		189	97	54	8	12	21	3	2	1	1	0
10-19		459	235	105	24	15	28	26	11	5	2	8
20-29		349	163	68	20	30	29	19	13	2	0	4
30-39		1029	486	233	53	73	70	60	30	10	5	9
40-49		2786	1330	587	153	195	242	147	88	25	5	14
50+		4512	2158	1027	246	301	383	208	128	26	16	19
1950-55	Total	1413	704	331	65	87	112	66	29	7	5	7
0-9		30	12	9	0	2	6	1	0	0	0	0
10-19		65	41	13	2	1	4	1	3	0	0	0
20-29		51	25	6	2	5	5	7	1	0	0	0
30-39		79	42	16	4	2	6	4	2	1	1	1
40-49		221	107	45	11	14	23	13	3	4	0	1
50+		967	477	242	46	63	68	40	20	2	4	5
1956-60	Total	1468	723	318	71	91	148	50	48	11	4	8
0-9		26	13	7	1	1	3	0	0	1	0	0
10-19		50	25	9	1	0	6	5	2	1	1	0
20-29		34	15	12	1	1	4	1	0	0	0	0
30-39		83	36	14	4	8	9	4	3	1	1	3
40-49		284	137	54	17	20	32	12	11	1	0	0
50+		991	497	222	47	61	92	28	30	7	2	5
1961-65	Total	1425	662	329	77	93	114	86	38	12	6	8
0-9		17	13	3	0	1	0	0	0	0	0	0
10-19		40	13	16	2	4	2	1	1	1	0	0
20-29		29	13	6	1	4	2	2	1	0	0	0
30-39		99	41	26	9	5	7	9	2	0	0	0
40-49		350	170	77	13	19	27	28	10	4	1	3
50+		890	412	201	52	60	76	48	24	7	5	5
1966-70	Total	1366	652	308	65	90	116	63	52	10	3	7
0-9		17	8	2	2	3	2	0	0	0	0	0
10-19		55	27	14	1	3	4	2	2	2	0	0
20-29		40	18	7	1	6	2	1	4	0	0	1
30-39		148	73	39	2	12	10	6	2	3	0	1
40-49		421	207	98	19	21	34	19	15	3	1	4
50+		685	319	148	40	45	64	35	28	2	2	1
1971-75	Total	1299	617	278	70	88	106	80	38	8	3	10
0-9		28	13	8	3	0	3	1	0	0	0	0
10-19		80	39	21	4	0	4	7	2	0	0	3
20-29		54	24	10	4	6	5	3	2	0	0	0
30-39		173	85	37	7	10	11	14	6	0	1	2
40-49		452	220	91	22	34	42	20	18	2	0	3
50+		512	236	111	30	38	41	35	11	6	2	2
1976-80	Total	1275	622	266	82	96	93	57	35	14	4	6
0-9		37	18	8	1	3	5	0	1	0	1	0
10-19		75	46	19	3	2	1	2	0	1	0	1
20-29		76	38	12	6	6	4	3	3	2	0	2
30-39		208	101	48	15	15	9	9	6	4	1	1
40-49		542	260	108	35	45	43	28	16	5	1	1
50+		336	159	71	22	25	31	15	9	2	1	1
1981-85	Total	1098	489	255	74	81	88	61	33	7	4	8
0-9		44	20	17	1	2	2	1	1	0	0	0
10-19		94	44	13	11	5	7	8	1	0	1	4
20-29		65	30	16	5	2	7	2	2	0	0	1
30-39		238	108	53	12	21	18	14	9	1	1	1
40-49		526	228	124	36	42	41	29	15	6	2	2
50+		131	58	32	9	9	11	7	5	0	0	0

**Appendix Table 3C. Number of deaths from all diseases except neoplasm and blood disease, females**

Period	Age ATB	Total	Radiation Dose (Gray)									
			0 -.05	.01 -.09	.06 -.19	.10 -.49	.20 -.49	.50 -.99	1.00 -1.99	2.00 -2.99	3.00 -3.99	4.00+
Total	Total	11433	5021	3074	605	785	1023	569	234	80	16	26
0-9	125	81	24	5	14	11	8	1	2	0	1	1
10-19	355	167	84	20	19	33	16	13	1	1	1	1
20-29	580	272	161	22	29	49	17	18	7	2	3	3
30-39	1412	573	397	91	95	117	82	31	20	2	4	4
40-49	3199	1346	844	157	253	298	179	79	27	8	8	8
50+	5762	2802	1564	310	375	515	289	92	23	3	9	9
1950-55	Total	1488	656	437	78	87	115	69	25	11	4	6
0-9	23	10	4	1	2	3	2	0	1	0	0	0
10-19	84	42	26	2	4	5	1	3	0	1	0	0
20-29	92	38	29	4	9	7	0	3	0	0	0	2
30-39	117	42	36	9	5	10	10	8	2	0	0	0
40-49	217	94	68	13	10	19	7	4	2	0	0	0
50+	955	430	274	49	57	71	49	12	6	3	4	4
1956-60	Total	1531	707	407	83	103	137	55	29	6	2	2
0-9	19	10	4	0	3	2	0	0	0	0	0	0
10-19	58	35	7	2	1	7	4	1	1	0	0	0
20-29	74	32	19	2	4	9	2	5	1	0	0	0
30-39	100	42	29	6	10	7	4	0	2	0	0	0
40-49	231	102	64	14	18	16	8	6	0	2	1	1
50+	1049	486	284	59	67	96	37	17	2	0	0	1
1961-65	Total	1544	657	447	74	104	138	85	28	7	0	4
0-9	11	7	1	1	1	0	0	1	0	0	0	0
10-19	44	15	10	5	1	8	1	4	0	0	0	0
20-29	61	31	18	2	1	8	1	0	0	0	0	0
30-39	113	44	36	8	5	8	8	2	2	0	0	0
40-49	255	103	79	7	22	20	16	5	1	0	2	2
50+	1080	457	303	51	74	94	59	18	4	0	0	2
1966-70	Total	1582	705	417	78	111	152	78	36	13	2	2
0-9	24	15	5	0	1	1	2	0	0	0	0	0
10-19	31	13	8	0	4	3	2	1	0	0	0	0
20-29	63	32	16	0	3	5	3	2	1	0	0	1
30-39	137	63	42	7	9	8	6	0	2	0	0	0
40-49	390	154	98	17	34	45	21	15	5	2	1	1
50+	947	428	250	54	60	90	42	18	5	0	0	0
1971-75	Total	1689	781	414	94	124	144	85	38	14	3	2
0-9	12	4	4	1	1	1	1	0	0	0	0	0
10-19	39	21	7	2	3	2	3	1	0	0	0	0
20-29	70	36	18	4	5	3	2	1	1	0	0	0
30-39	188	68	50	8	21	15	15	7	2	1	1	1
40-49	564	255	124	30	43	51	34	17	8	1	1	1
50+	816	377	213	49	51	72	40	11	3	0	0	0
1976-80	Total	1782	779	451	99	150	149	91	43	13	2	5
0-9	19	11	2	2	2	2	0	0	0	0	0	0
10-19	42	14	9	5	3	3	4	3	0	0	0	1
20-29	97	40	32	4	5	7	6	1	2	0	0	0
30-39	305	132	89	22	19	18	11	8	5	0	1	1
40-49	733	321	177	34	72	65	43	15	3	2	1	1
50+	586	261	142	32	49	54	27	16	3	0	0	2
1981-85	Total	1807	756	501	99	105	188	98	35	16	3	5
0-9	17	4	4	0	4	2	1	0	1	0	0	1
10-19	57	27	17	4	3	5	1	0	0	0	0	0
20-29	123	63	31	6	2	10	3	5	2	1	0	0
30-39	452	182	115	31	28	51	28	11	5	1	2	2
40-49	809	317	236	42	54	82	50	17	8	1	2	2
50+	349	163	98	16	17	38	15	2	0	0	0	0

**Appendix Table 4A. Number of deaths from infectious disease, sexes combined**

Period	Age ATB	Radiation Dose (Gray)										
		Total	0 -.05	.01 -.09	.08 -.19	.10 -.49	.20 -.49	.50 -.99	1.00 -1.99	2.00 -2.99	3.00 -3.99	4.00+
Total	Total	1413	651	367	64	85	126	64	38	10	5	3
	0-9	51	19	16	1	6	5	3	0	0	1	0
	10-19	197	105	47	6	10	11	8	6	2	2	0
	20-29	184	78	52	7	12	19	8	7	1	0	0
	30-39	219	101	59	10	12	18	6	6	6	0	1
	40-49	368	162	104	20	20	34	16	9	0	1	2
	50+	394	186	89	20	25	39	23	10	1	1	0
1950-55	Total	504	226	139	22	28	47	24	13	2	2	1
	0-9	14	3	4	1	3	1	2	0	0	0	0
	10-19	87	47	26	1	3	3	1	5	0	1	0
	20-29	82	38	21	2	7	7	5	2	0	0	0
	30-39	77	33	22	6	3	7	2	1	2	0	1
	40-49	107	44	34	4	6	15	3	1	0	0	0
	50+	137	61	32	8	8	14	11	4	0	1	0
1956-60	Total	333	152	79	15	24	33	13	10	6	1	0
	0-9	14	5	6	0	2	1	0	0	0	0	0
	10-19	47	26	7	1	1	4	4	1	2	1	0
	20-29	48	18	15	3	2	7	1	1	1	0	0
	30-39	42	13	11	1	6	4	2	2	3	0	0
	40-49	90	44	20	6	4	8	4	4	0	0	0
	50+	92	46	20	4	9	9	2	2	0	0	0
1961-65	Total	197	84	55	9	16	18	10	4	1	0	0
	0-9	6	4	1	0	1	0	0	0	0	0	0
	10-19	25	13	3	3	3	2	1	0	0	0	0
	20-29	22	9	7	0	2	3	0	1	0	0	0
	30-39	29	13	9	1	0	3	2	1	0	0	0
	40-49	53	18	20	2	6	3	2	2	0	0	0
	50+	62	27	15	3	4	7	5	0	1	0	0
1966-70	Total	139	78	29	4	5	13	5	3	0	1	1
	0-9	8	5	0	0	0	2	1	0	0	0	0
	10-19	14	8	4	0	0	1	1	0	0	0	0
	20-29	7	4	1	0	0	0	1	0	0	0	0
	30-39	23	14	6	0	1	2	0	0	0	0	0
	40-49	41	22	8	2	2	4	1	0	0	1	1
	50+	46	25	10	2	2	4	1	2	0	0	0
1971-75	Total	114	47	33	6	9	9	6	3	0	0	1
	0-9	6	1	4	0	0	1	0	0	0	0	0
	10-19	8	2	2	0	2	1	1	0	0	0	0
	20-29	11	2	5	1	0	1	1	1	0	0	0
	30-39	18	12	5	0	1	0	0	0	0	0	0
	40-49	32	16	8	2	2	2	1	0	0	0	1
	50+	39	14	9	3	4	4	3	2	0	0	0
1976-80	Total	66	37	17	3	2	2	3	0	1	1	0
	0-9	1	0	0	0	0	0	0	0	0	1	0
	10-19	6	3	3	0	0	0	0	0	0	0	0
	20-29	3	2	0	0	1	0	0	0	0	0	0
	30-39	18	12	2	1	1	1	0	0	1	0	0
	40-49	29	13	10	2	0	1	3	0	0	0	0
	50+	9	7	2	0	0	0	0	0	0	0	0
1981-85	Total	60	27	15	5	1	4	3	5	0	0	0
	0-9	2	1	1	0	0	0	0	0	0	0	0
	10-19	10	6	2	1	1	0	0	0	0	0	0
	20-29	11	5	3	1	0	1	0	1	0	0	0
	30-39	12	4	4	1	0	1	0	2	0	0	0
	40-49	16	5	4	2	0	1	2	2	0	0	0
	50+	9	8	1	0	0	1	1	0	0	0	0

Appendix Table 4B. Number of deaths from infectious disease, males

Period	Age ATB	Radiation Dose (Gray)										
		Total	0 -.05	.01 -.09	.06 -.19	.10 -.49	.20 -.99	.50 -1.99	1.00 -2.99	2.00 -3.99	3.00 -4.00+	
Total	Total	774	370	183	37	38	71	38	27	3	4	3
	0-9	28	13	9	0	2	3	0	0	0	1	0
	10-19	98	52	22	3	4	4	5	4	1	1	0
	20-29	66	27	13	4	3	8	6	5	0	0	0
	30-39	110	54	26	7	4	7	3	6	2	0	1
	40-49	230	103	60	12	10	25	12	5	0	1	2
	50+	244	121	53	11	15	24	12	7	0	1	0
1950-55	Total	285	125	63	13	9	27	16	9	1	1	1
	0-9	6	2	2	0	1	1	0	0	0	0	0
	10-19	39	23	10	1	0	1	1	3	0	0	0
	20-29	33	18	4	1	1	3	5	1	0	0	0
	30-39	32	14	9	3	0	2	1	1	1	0	1
	40-49	60	24	16	3	3	10	3	1	0	0	0
	50+	95	44	22	5	4	10	6	3	0	1	0
1956-60	Total	178	81	42	9	13	17	7	6	2	1	0
	0-9	9	4	4	0	1	0	0	0	0	0	0
	10-19	22	10	4	1	0	2	2	1	1	1	0
	20-29	10	3	4	1	0	2	0	0	0	0	0
	30-39	19	7	3	1	3	1	1	2	1	0	0
	40-49	60	28	14	4	3	6	3	2	0	0	0
	50+	58	29	13	2	6	6	1	1	0	0	0
1961-65	Total	109	46	29	5	8	11	7	2	0	0	0
	0-9	4	4	0	0	0	0	0	0	0	0	0
	10-19	13	6	2	0	3	1	1	0	0	0	0
	20-29	5	1	1	0	1	1	0	1	0	0	0
	30-39	11	4	3	1	0	1	1	1	0	0	0
	40-49	32	12	12	2	2	3	1	0	0	0	0
	50+	44	19	11	2	3	5	4	0	0	0	0
1966-70	Total	84	52	14	1	1	9	2	3	0	1	1
	0-9	2	1	0	0	0	1	0	0	0	0	0
	10-19	8	5	3	0	0	0	0	0	0	0	0
	20-29	5	2	1	0	0	0	1	1	0	0	0
	30-39	15	9	4	0	0	2	0	0	0	0	0
	40-49	29	18	3	0	1	4	1	0	0	1	1
	50+	25	17	3	1	0	2	0	2	0	0	0
1971-75	Total	63	29	18	4	3	4	2	2	0	0	1
	0-9	4	1	2	0	0	1	0	0	0	0	0
	10-19	4	2	1	0	0	0	1	0	0	0	0
	20-29	5	1	1	1	0	1	0	1	0	0	0
	30-39	11	8	3	0	0	0	0	0	0	0	0
	40-49	23	10	8	2	1	1	0	0	0	0	1
	50+	18	7	3	1	2	1	1	1	0	0	0
1976-80	Total	41	24	9	2	2	1	2	0	0	1	0
	0-9	1	0	0	0	0	0	0	0	0	1	0
	10-19	5	3	2	0	0	0	0	0	0	0	0
	20-29	1	0	0	0	1	0	0	0	0	0	0
	30-39	14	9	2	1	1	1	0	0	0	0	0
	40-49	17	9	5	1	0	0	2	0	0	0	0
	50+	3	3	0	0	0	0	0	0	0	0	0
1981-85	Total	34	13	8	3	1	2	2	5	0	0	0
	0-9	2	1	1	0	0	0	0	0	0	0	0
	10-19	5	3	0	1	1	0	0	0	0	0	0
	20-29	7	2	2	1	0	1	0	1	0	0	0
	30-39	8	3	2	1	0	0	0	2	0	0	0
	40-49	9	2	2	0	0	1	2	2	0	0	0
	50+	3	2	1	0	0	0	0	0	0	0	0

Appendix Table 4C. Number of deaths from infectious disease, females

Period	Age ATB	Radiation Dose (Gray)										
		Total	0 -.05	.01 -.09	.06 -.19	.10 -.49	.20 -.99	.50 -1.99	1.00 -2.99	2.00 -3.99	3.00 -4.00	4.00+
Total	Total	630	281	184	27	47	55	26	11	7	1	0
	0-9	23	6	7	1	4	2	3	0	0	0	0
	10-19	101	53	25	3	6	7	3	2	1	1	0
	20-29	118	51	39	3	9	11	2	2	1	0	0
	30-39	109	47	33	3	8	11	3	0	4	0	0
	40-49	138	59	44	8	10	9	4	4	0	0	0
	50+	150	65	36	9	10	15	11	3	1	0	0
1950-55	Total	239	101	76	9	19	20	8	4	1	1	0
	0-9	8	1	2	1	2	0	2	0	0	0	0
	10-19	48	24	16	0	3	2	0	2	0	1	0
	20-29	49	20	17	1	6	4	0	1	0	0	0
	30-39	45	19	13	3	3	5	1	0	1	0	0
	40-49	47	20	18	1	3	5	0	0	0	0	0
	50+	42	17	10	3	2	4	5	1	0	0	0
1956-60	Total	155	71	37	6	11	16	6	4	4	0	0
	0-9	5	1	2	0	1	1	0	0	0	0	0
	10-19	25	16	3	0	1	2	2	0	1	0	0
	20-29	38	15	11	2	2	5	1	1	1	0	0
	30-39	23	6	8	0	3	3	1	0	2	0	0
	40-49	30	16	6	2	1	2	1	2	0	0	0
	50+	34	17	7	2	3	3	1	1	0	0	0
1961-65	Total	88	38	26	4	7	7	3	2	1	0	0
	0-9	2	0	1	0	1	0	0	0	0	0	0
	10-19	12	7	1	3	0	1	0	0	0	0	0
	20-29	17	8	6	0	1	2	0	0	0	0	0
	30-39	18	9	6	0	0	2	1	0	0	0	0
	40-49	21	6	8	0	4	0	1	2	0	0	0
	50+	18	8	4	1	1	2	1	0	1	0	0
1966-70	Total	55	26	15	3	4	4	3	0	0	0	0
	0-9	6	4	0	0	0	1	1	0	0	0	0
	10-19	6	3	1	0	0	1	1	0	0	0	0
	20-29	2	2	0	0	0	0	0	0	0	0	0
	30-39	8	5	2	0	1	0	0	0	0	0	0
	40-49	12	4	5	2	1	0	0	0	0	0	0
	50+	21	8	7	1	2	2	1	0	0	0	0
1971-75	Total	51	18	15	2	6	5	4	1	0	0	0
	0-9	2	0	2	0	0	0	0	0	0	0	0
	10-19	4	0	1	0	2	1	0	0	0	0	0
	20-29	6	1	4	0	0	0	1	0	0	0	0
	30-39	7	4	2	0	1	0	0	0	0	0	0
	40-49	9	6	0	0	1	1	1	0	0	0	0
	50+	23	7	6	2	2	3	2	1	0	0	0
1976-80	Total	25	13	8	1	0	1	1	0	1	0	0
	0-9	0	0	0	0	0	0	0	0	0	0	0
	10-19	1	0	1	0	0	0	0	0	0	0	0
	20-29	2	2	0	0	0	0	0	0	0	0	0
	30-39	4	3	0	0	0	0	0	0	1	0	0
	40-49	12	4	5	1	0	1	1	0	0	0	0
	50+	6	4	2	0	0	0	0	0	0	0	0
1981-85	Total	26	14	7	2	0	2	1	0	0	0	0
	0-9	0	0	0	0	0	0	0	0	0	0	0
	10-19	5	3	2	0	0	0	0	0	0	0	0
	20-29	4	3	1	0	0	0	0	0	0	0	0
	30-39	4	1	2	0	0	1	0	0	0	0	0
	40-49	7	3	2	2	0	0	0	0	0	0	0
	50+	6	4	0	0	0	1	1	0	0	0	0

**Appendix Table 5A.** Number of deaths from circulatory disease, sexes combined

Period	Age ATB	Radiation Dose (Gray)											
		Total	0 -.05	.01 -.09	.06 -.19	.10 -.49	.20 -.99	.50 -1.99	1.00 -2.99	2.00 -3.99	3.00 -3.99	4.00+	
Total	Total	11164	5025	2767	605	775	981	590	273	85	20	43	
	0-9	105	52	24	3	10	10	1	2	2	0	1	
	10-19	247	116	52	19	19	23	9	5	1	0	3	
	20-29	396	186	102	12	28	28	18	14	5	0	3	
	30-39	1379	588	368	80	96	85	86	33	19	6	8	
	40-49	3574	1577	858	177	276	335	205	95	34	6	11	
	50+	5463	2508	1363	314	346	490	271	124	24	8	17	
1950-55	Total	1046	485	286	55	65	78	48	14	8	3	6	
	0-9	12	6	4	0	0	2	0	0	0	0	0	
	10-19	14	7	1	2	2	1	0	1	0	0	0	
	20-29	17	6	5	0	2	2	1	1	0	0	0	
	30-39	51	19	12	5	2	4	4	3	1	1	0	
	40-49	181	73	40	11	11	14	7	1	4	0	0	
	50+	791	374	224	37	48	53	36	8	3	2	6	
1956-60	Total	1320	635	299	76	84	128	52	34	8	1	5	
	0-9	12	8	0	0	2	1	0	0	1	0	0	
	10-19	15	9	1	1	0	3	1	0	0	0	0	
	20-29	17	7	7	0	0	1	2	0	0	0	0	
	30-39	60	25	16	2	7	5	4	0	0	0	1	
	40-49	281	119	58	17	18	25	13	9	0	1	1	
	50+	855	487	217	56	57	91	32	25	7	0	3	
1961-65	Total	1565	680	403	77	101	142	108	33	11	3	7	
	0-9	4	1	1	1	0	0	0	1	0	0	0	
	10-19	24	6	9	0	2	6	1	0	0	0	0	
	20-29	25	14	5	0	2	3	1	0	0	0	0	
	30-39	112	45	32	7	5	8	11	2	2	0	0	
	40-49	385	187	87	9	27	33	28	5	5	1	3	
	50+	1035	447	269	60	65	92	67	25	4	2	4	
1966-70	Total	1752	787	420	91	128	181	83	48	17	3	4	
	0-9	10	5	2	1	1	1	0	0	0	0	0	
	10-19	28	15	5	0	4	2	1	1	0	0	0	
	20-29	48	19	9	1	7	3	2	5	1	0	1	
	30-39	170	78	50	7	12	8	10	1	5	0	1	
	40-49	492	230	116	20	33	46	26	13	6	1	1	
	50+	1004	452	238	62	71	101	44	28	5	2	1	
1971-75	Total	1834	857	425	89	134	157	105	50	8	3	6	
	0-9	13	6	5	0	0	2	0	0	0	0	0	
	10-19	38	25	5	2	1	1	2	1	0	0	1	
	20-29	65	33	13	4	8	4	1	2	0	0	0	
	30-39	221	92	58	8	21	14	14	7	2	2	3	
	40-49	665	311	137	28	51	69	37	25	5	0	2	
	50+	832	390	207	47	53	67	51	15	1	1	0	
1976-80	Total	1861	829	444	112	146	151	93	53	21	3	9	
	0-9	21	13	2	1	3	2	0	0	0	0	0	
	10-19	50	21	13	3	5	3	1	2	1	0	1	
	20-29	107	52	29	1	7	4	7	3	3	0	1	
	30-39	318	140	86	26	19	16	15	7	8	1	2	
	40-49	818	357	187	47	76	75	45	21	7	1	2	
	50+	547	246	127	34	36	51	25	20	4	1	3	
1981-85	Total	1786	742	490	105	117	168	101	41	12	4	6	
	0-9	33	13	10	0	4	2	1	1	1	0	1	
	10-19	78	33	18	11	5	7	3	0	0	0	1	
	20-29	117	55	34	6	2	11	4	3	1	0	1	
	30-39	447	191	114	25	30	40	28	13	3	2	1	
	40-49	812	320	233	45	60	73	49	21	7	2	2	
	50+	299	130	81	18	16	35	16	3	0	0	0	

**Appendix Table 5B. Number of deaths from circulatory disease, males**

Period	Age ATB	Radiation Dose (Gray)											
		Total	0	.01	.06	.10	.20	.50	1.00	2.00	3.00	4.00+	
		Total	.05	-.09	-.19	-.49	-.89	-1.99	-2.99	-3.99			
Total	Total	4797	2278	1063	289	329	391	250	139	42	12	24	
0-9		65	34	18	1	4	5	1	1	1	0	0	
10-19		143	74	29	11	8	11	6	1	1	0	2	
20-29		151	69	33	5	17	9	7	7	2	0	2	
30-39		527	251	124	24	38	29	36	10	6	4	5	
40-49		1606	760	335	90	121	134	88	51	19	2	6	
50+		2305	1080	524	138	141	203	112	69	13	6	9	
1950-55	Total	498	248	119	25	38	32	23	6	3	1	3	
0-9		7	3	4	0	0	0	0	0	0	0	0	
10-19		7	4	0	1	1	1	0	0	0	0	0	
20-29		4	1	0	0	2	0	1	0	0	0	0	
30-39		20	11	2	0	2	2	1	1	0	1	0	
40-49		74	38	12	5	7	6	3	1	2	0	0	
50+		386	191	101	19	28	23	18	4	1	0	3	
1956-60	Total	639	318	129	34	38	63	23	24	7	0	3	
0-9		4	3	0	0	0	0	0	0	1	0	0	
10-19		5	4	0	0	0	1	0	0	0	0	0	
20-29		8	2	5	0	0	0	1	0	0	0	0	
30-39		24	9	5	1	3	3	2	0	0	0	1	
40-49		136	67	24	9	9	13	7	7	0	0	0	
50+		462	233	95	24	26	46	13	17	6	0	2	
1961-65	Total	767	345	185	41	47	63	53	20	7	3	3	
0-9		1	0	1	0	0	0	0	0	0	0	0	
10-19		12	4	6	0	1	1	0	0	0	0	0	
20-29		11	5	3	0	2	1	0	0	0	0	0	
30-39		48	22	13	2	2	2	6	1	0	0	0	
40-49		214	103	41	7	14	20	19	4	4	1	1	
50+		481	211	121	32	28	39	28	15	3	2	2	
1966-70	Total	788	369	183	39	54	65	38	30	5	2	3	
0-9		6	3	0	1	1	1	0	0	0	0	0	
10-19		21	11	4	0	2	2	1	1	0	0	0	
20-29		20	8	2	1	5	1	0	3	0	0	0	
30-39		79	36	24	1	6	2	5	1	3	0	1	
40-49		250	127	62	9	12	17	13	7	2	0	1	
50+		412	184	91	27	28	42	19	18	0	2	1	
1971-75	Total	746	368	156	36	48	64	43	22	2	2	5	
0-9		10	4	4	0	0	2	0	0	0	0	0	
10-19		26	17	4	1	0	1	2	0	0	0	1	
20-29		30	15	6	1	4	2	1	1	0	0	0	
30-39		99	47	28	3	7	6	5	2	0	1	2	
40-49		279	137	55	12	19	30	11	12	1	0	2	
50+		302	148	61	19	18	23	24	7	1	1	0	
1976-80	Total	731	353	144	46	55	56	36	22	13	2	4	
0-9		14	10	1	0	2	1	0	0	0	0	0	
10-19		29	15	9	1	2	0	1	0	1	0	0	
20-29		44	23	7	1	4	1	2	3	2	0	1	
30-39		118	60	24	9	5	5	9	1	3	1	1	
40-49		341	155	66	24	32	28	18	12	5	0	1	
50+		185	90	37	11	10	21	6	6	2	1	1	
1981-85	Total	628	277	147	48	49	48	34	15	5	2	3	
0-9		23	11	8	0	1	1	1	1	0	0	0	
10-19		43	19	6	8	2	5	2	0	0	0	1	
20-29		34	15	10	2	0	4	2	0	0	0	1	
30-39		139	66	30	8	13	9	8	4	0	1	0	
40-49		312	133	75	24	28	20	17	8	5	1	1	
50+		77	33	18	6	5	9	4	2	0	0	0	

Appendix Table 5C. Number of deaths from circulatory disease, females

Period	Age ATB	Radiation Dose (Gray)										
		Total	0	.01	.06	.10	.20	.50	1.00	2.00	3.00	4.00+
		-.05	-.09	-.13	-.49	-.99	-1.99	-2.99	-3.99			
Total	Total	6367	2747	1704	336	446	590	340	134	43	8	19
0-9	40	18	6	2	6	5	0	1	1	0	0	1
10-19	104	42	23	8	11	12	3	4	0	0	0	1
20-29	245	117	69	7	11	19	11	7	3	0	0	1
30-39	852	337	244	56	58	66	50	23	13	2	3	
40-49	1958	817	523	87	155	201	117	44	15	4	5	
50+	3158	1416	839	176	205	287	159	55	11	2	8	
1950-55	Total	548	237	167	30	27	44	25	8	5	2	3
0-9	5	3	0	0	0	2	0	0	0	0	0	0
10-19	7	3	1	1	1	0	0	1	0	0	0	0
20-29	13	5	5	0	0	2	0	1	0	0	0	0
30-39	31	8	10	5	0	2	3	2	1	0	0	0
40-49	87	35	28	6	4	8	4	0	2	0	0	0
50+	405	183	123	18	22	30	18	4	2	2	2	3
1956-60	Total	681	317	170	42	46	63	23	10	1	1	2
0-9	8	5	0	0	2	1	0	0	0	0	0	0
10-19	10	5	1	1	0	2	1	0	0	0	0	0
20-29	9	5	2	0	0	1	1	0	0	0	0	0
30-39	36	16	11	1	4	2	2	0	0	0	0	0
40-49	125	52	34	8	9	12	6	2	0	1	1	
50+	493	234	122	32	31	45	19	8	1	0	0	1
1961-65	Total	798	335	218	36	54	79	55	13	4	0	4
0-9	3	1	0	1	0	0	0	1	0	0	0	0
10-19	12	2	3	0	1	5	1	0	0	0	0	0
20-29	14	9	2	0	0	2	1	0	0	0	0	0
30-39	64	23	19	5	3	6	5	1	2	0	0	0
40-49	151	64	46	2	13	13	9	1	1	0	2	
50+	554	236	148	28	37	53	39	10	1	0	0	2
1966-70	Total	964	428	237	52	74	96	45	18	12	1	1
0-9	4	2	2	0	0	0	0	0	0	0	0	0
10-19	7	4	1	0	2	0	0	0	0	0	0	0
20-29	28	11	7	0	2	2	2	2	1	0	0	1
30-39	91	40	26	6	6	6	5	0	2	0	0	0
40-49	242	103	54	11	21	29	13	6	4	1	0	0
50+	592	288	147	35	43	59	25	10	5	0	0	0
1971-75	Total	1088	489	269	53	86	93	62	28	8	1	1
0-9	3	2	1	0	0	0	0	0	0	0	0	0
10-19	12	8	1	1	1	0	0	1	0	0	0	0
20-29	35	18	7	3	4	2	0	1	0	0	0	0
30-39	122	45	32	5	14	8	9	5	2	1	1	
40-49	386	174	82	16	32	39	26	13	4	0	0	0
50+	530	242	146	28	35	44	27	8	0	0	0	0
1976-80	Total	1130	476	300	68	91	95	57	31	8	1	5
0-9	7	3	1	1	1	1	0	0	0	0	0	0
10-19	21	6	4	2	3	3	0	2	0	0	0	1
20-29	63	29	22	0	3	3	5	0	1	0	0	0
30-39	200	80	62	17	14	11	6	6	3	0	1	
40-49	477	202	121	23	44	47	27	9	2	1	1	
50+	362	156	90	23	26	30	19	14	2	0	0	2
1981-85	Total	1158	465	343	57	68	120	87	26	7	2	3
0-9	10	2	2	0	3	1	0	0	1	0	0	1
10-19	35	14	12	3	3	2	1	0	0	0	0	0
20-29	83	40	24	4	2	7	2	3	1	0	0	0
30-39	308	125	84	17	17	31	20	9	3	1	1	
40-49	500	187	158	21	32	53	32	13	2	1	1	
50+	222	97	63	12	11	28	12	1	0	0	0	0

**Appendix Table 6A.** Number of deaths from respiratory disease, sexes combined

Period	Age ATB	Radiation Dose (Gray)										
		Total	0	.01	.05	.10	.20	.50	1.00	2.00	3.00	4.00+
Total	Total	2036	888	528	135	162	150	95	45	17	4	12
	0-9	25	11	9	2	3	0	0	0	0	0	0
	10-19	41	23	6	1	0	4	5	1	0	0	1
	20-29	69	27	20	7	5	4	3	1	1	0	1
	30-39	221	80	58	21	20	23	14	3	1	1	2
	40-49	887	308	160	39	54	47	29	18	8	1	5
	50+	1013	441	277	65	80	72	44	22	7	2	3
1950-55	Total	167	70	48	11	14	11	7	4	1	0	1
	0-9	2	1	1	0	0	0	0	0	0	0	0
	10-19	7	5	0	0	0	2	0	0	0	0	0
	20-29	4	3	1	0	0	0	0	0	0	0	0
	30-39	8	3	3	1	0	0	1	0	0	0	0
	40-49	17	6	5	2	0	2	1	0	0	0	1
	50+	128	52	38	8	14	7	5	4	1	0	0
1956-60	Total	216	92	64	9	16	18	7	7	1	1	1
	0-9	6	5	1	0	0	0	0	0	0	0	0
	10-19	7	2	2	0	0	1	1	0	0	0	0
	20-29	7	3	3	0	0	0	0	1	0	0	0
	30-39	16	7	2	2	1	0	1	1	0	1	1
	40-49	26	12	7	0	4	3	0	0	0	0	0
	50+	154	63	49	7	11	14	5	4	1	0	0
1961-65	Total	249	117	64	19	13	13	13	5	1	1	3
	0-9	1	0	1	0	0	0	0	0	0	0	0
	10-19	2	1	0	1	0	0	0	0	0	0	0
	20-29	8	3	3	1	0	1	0	0	0	0	0
	30-39	12	3	5	2	0	1	1	0	0	0	0
	40-49	40	20	10	1	1	2	3	2	0	0	1
	50+	186	90	45	14	12	9	9	3	1	1	2
1966-70	Total	271	114	80	14	18	21	14	8	1	0	1
	0-9	1	0	1	0	0	0	0	0	0	0	0
	10-19	2	0	1	0	0	0	1	0	0	0	0
	20-29	13	5	5	0	1	0	1	0	0	0	1
	30-39	21	10	5	0	2	2	2	0	0	0	0
	40-49	73	28	27	2	6	5	1	3	1	0	0
	50+	161	71	41	12	9	14	9	5	0	0	0
1971-75	Total	321	142	74	24	25	20	17	9	6	1	3
	0-9	5	3	0	1	1	0	0	0	0	0	0
	10-19	9	5	2	0	0	0	1	0	0	0	1
	20-29	9	3	1	1	2	0	1	0	1	0	0
	30-39	24	7	5	1	2	5	3	1	0	0	0
	40-49	115	57	23	9	9	4	4	7	1	0	1
	50+	159	67	43	12	11	11	8	1	1	1	1
1976-80	Total	402	178	93	31	41	30	22	5	2	0	0
	0-9	6	2	2	1	1	0	0	0	0	0	0
	10-19	11	8	0	0	0	1	2	0	0	0	0
	20-29	10	2	4	3	0	1	0	0	0	0	0
	30-39	54	19	16	7	7	2	2	0	1	0	0
	40-49	172	84	32	10	16	15	12	2	1	0	0
	50+	149	63	39	10	17	11	8	3	0	0	0
1981-85	Total	410	175	105	27	35	37	15	7	5	1	3
	0-9	4	0	3	0	1	0	0	0	0	0	0
	10-19	3	2	1	0	0	0	0	0	0	0	0
	20-29	18	8	3	2	2	2	1	0	0	0	0
	30-39	86	31	20	8	8	13	4	1	0	0	1
	40-49	224	99	56	15	18	16	8	4	5	1	2
	50+	75	35	22	2	6	8	2	2	0	0	0

Appendix Table 6B. Number of deaths from respiratory disease, males

Period	Age ATB	Radiation Dose (Gray)										
		Total	0	.01 -.05	.06 -.09	.10 -.19	.20 -.49	.50 -.99	1.00 -1.99	2.00 -2.99	3.00 -3.99	4.00+ -3.99
Total	Total	1025	454	246	63	96	70	49	25	8	4	10
	0-9	14	5	7	1	1	0	0	0	0	0	0
	10-19	25	13	4	0	0	2	4	1	0	0	1
	20-29	29	12	9	3	3	1	0	0	0	0	1
	30-39	108	43	25	9	15	6	5	2	0	1	2
	40-49	361	177	75	19	28	28	16	10	3	1	3
	50+	488	204	126	31	48	33	24	12	5	2	3
1950-55	Total	88	33	23	8	10	6	5	2	0	0	1
	0-9	1	0	1	0	0	0	0	0	0	0	0
	10-19	2	1	0	0	0	1	0	0	0	0	0
	20-29	4	3	1	0	0	0	0	0	0	0	0
	30-39	3	1	1	1	0	0	0	0	0	0	0
	40-49	9	3	1	1	0	2	1	0	0	0	1
	50+	69	25	18	6	10	3	4	2	0	0	0
1958-60	Total	118	47	31	4	14	11	4	4	1	1	1
	0-9	2	2	0	0	0	0	0	0	0	0	0
	10-19	6	2	2	0	0	0	1	1	0	0	0
	20-29	2	1	1	0	0	0	0	0	0	0	0
	30-39	6	2	0	0	1	0	0	1	0	1	1
	40-49	17	9	2	0	3	3	0	0	0	0	0
	50+	85	31	26	4	10	8	3	2	1	0	0
1961-65	Total	122	64	27	7	5	7	4	3	1	1	3
	0-9	1	0	1	0	0	0	0	0	0	0	0
	10-19	1	1	0	0	0	0	0	0	0	0	0
	20-29	4	2	1	1	0	0	0	0	0	0	0
	30-39	6	1	3	1	0	1	0	0	0	0	0
	40-49	27	16	7	0	0	0	1	2	0	0	1
	50+	83	44	15	5	5	6	3	1	1	1	2
1966-70	Total	146	87	37	7	11	12	6	4	1	0	1
	0-9	1	0	1	0	0	0	0	0	0	0	0
	10-19	1	0	0	0	0	0	1	0	0	0	0
	20-29	3	0	2	0	0	0	0	0	0	0	1
	30-39	16	9	2	0	2	2	1	0	0	0	0
	40-49	41	19	14	2	3	2	0	0	1	0	0
	50+	84	39	18	5	6	8	4	4	0	0	0
1871-75	Total	168	70	38	12	15	8	12	7	4	1	2
	0-9	3	2	0	1	0	0	0	0	0	0	0
	10-19	6	3	1	0	0	0	1	0	0	0	1
	20-29	3	2	0	0	1	0	0	0	0	0	0
	30-39	13	6	3	1	0	0	2	1	0	0	0
	40-49	68	30	13	5	7	3	3	6	1	0	0
	50+	76	27	21	5	7	5	6	0	3	1	1
1976-80	Total	191	88	42	16	21	12	10	2	0	0	0
	0-9	4	1	2	0	1	0	0	0	0	0	0
	10-19	8	6	0	0	0	1	1	0	0	0	0
	20-29	4	1	2	1	0	0	0	0	0	0	0
	30-39	23	7	6	4	6	0	0	0	0	0	0
	40-49	86	47	12	5	7	9	8	0	0	0	0
	50+	66	26	20	6	7	2	3	2	0	0	0
1981-85	Total	191	85	48	9	20	14	8	3	1	1	2
	0-9	2	0	2	0	0	0	0	0	0	0	0
	10-19	1	0	1	0	0	0	0	0	0	0	0
	20-29	9	3	2	1	2	1	0	0	0	0	0
	30-39	41	17	10	2	6	3	2	0	0	0	1
	40-49	113	53	28	6	9	9	5	2	1	1	1
	50+	25	12	7	0	3	1	1	1	0	0	0

**Appendix Table 6C. Number of deaths from respiratory disease, females**

Period	Age ATB	Radiation Dose (Gray)										
		Total	0 -.05	.01 -.09	.06 -.19	.10 -.49	.20 -.99	.50 -1.99	1.00 -2.99	2.00 -3.99	3.00 -3.99	4.00+
Total	Total	1011	434	282	72	66	80	46	20	9	0	2
	0-9	11	6	2	1	2	0	0	0	0	0	0
	10-19	16	10	2	1	0	2	1	0	0	0	0
	20-29	40	15	11	4	2	3	3	1	1	0	0
	30-39	113	37	31	12	5	17	9	1	1	0	0
	40-49	306	129	85	20	25	19	13	8	5	0	2
	50+	525	237	151	34	32	39	20	10	2	0	0
1950-55	Total	79	37	25	3	4	5	2	2	1	0	0
	0-9	1	1	0	0	0	0	0	0	0	0	0
	10-19	5	4	0	0	0	1	0	0	0	0	0
	20-29	0	0	0	0	0	0	0	0	0	0	0
	30-39	5	2	2	0	0	0	1	0	0	0	0
	40-49	8	3	4	1	0	0	0	0	0	0	0
	50+	60	27	19	2	4	4	1	2	1	0	0
1956-60	Total	98	45	33	5	2	7	3	3	0	0	0
	0-9	4	3	1	0	0	0	0	0	0	0	0
	10-19	1	0	0	0	0	1	0	0	0	0	0
	20-29	5	2	2	0	0	0	0	1	0	0	0
	30-39	10	5	2	2	0	0	1	0	0	0	0
	40-49	9	3	5	0	1	0	0	0	0	0	0
	50+	68	32	23	3	1	6	2	2	0	0	0
1961-65	Total	127	53	37	12	8	8	9	2	0	0	0
	0-9	0	0	0	0	0	0	0	0	0	0	0
	10-19	1	0	0	1	0	0	0	0	0	0	0
	20-29	4	1	2	0	0	1	0	0	0	0	0
	30-39	6	2	2	1	0	0	1	0	0	0	0
	40-49	13	4	3	1	1	2	2	0	0	0	0
	50+	103	46	30	9	7	3	6	2	0	0	0
1966-70	Total	125	47	43	7	7	9	8	4	0	0	0
	0-9	0	0	0	0	0	0	0	0	0	0	0
	10-19	1	0	1	0	0	0	0	0	0	0	0
	20-29	10	5	3	0	1	0	1	0	0	0	0
	30-39	5	1	3	0	0	0	1	0	0	0	0
	40-49	32	9	13	0	3	3	1	3	0	0	0
	50+	77	32	23	7	3	6	5	1	0	0	0
1971-75	Total	152	72	36	12	10	12	5	2	2	0	1
	0-9	2	1	0	0	1	0	0	0	0	0	0
	10-19	3	2	1	0	0	0	0	0	0	0	0
	20-29	6	1	1	1	1	0	1	0	1	0	0
	30-39	11	1	2	0	2	5	1	0	0	0	0
	40-49	47	27	10	4	2	1	1	1	0	0	1
	50+	83	40	22	7	4	6	2	1	1	0	0
1976-80	Total	211	90	51	15	20	18	12	3	2	0	0
	0-9	2	1	0	1	0	0	0	0	0	0	0
	10-19	3	2	0	0	0	0	1	0	0	0	0
	20-29	6	1	2	2	0	1	0	0	0	0	0
	30-39	31	12	10	3	1	2	2	0	1	0	0
	40-49	86	37	20	5	9	8	6	2	1	0	0
	50+	83	37	19	4	10	9	3	1	0	0	0
1981-85	Total	219	90	57	18	15	23	7	4	4	0	1
	0-9	2	0	1	0	1	0	0	0	0	0	0
	10-19	2	2	0	0	0	0	0	0	0	0	0
	20-29	9	5	1	1	0	1	1	0	0	0	0
	30-39	45	14	10	8	2	10	2	1	0	0	0
	40-49	111	46	30	9	9	7	3	2	4	0	1
	50+	50	23	15	2	3	5	1	1	0	0	0

Appendix Table 7A. Number of deaths from digestive disease, sexes combined

Period	Age ATB	Radiation Dose (Gray)										
		Total	0	.01	.06	.10	.20	.50	1.00	2.00	3.00	4.00+
		-.05	-.09	-.19	-.49	-.99	-1.99	-2.99	-3.99			
Total	Total	2148	1002	510	105	142	194	98	63	14	8	13
0-9	55	26	13	1	2	9	3	1	0	0	0	0
10-19	157	70	38	11	1	11	14	4	2	1	5	1
20-29	127	68	18	7	8	14	6	3	0	2	1	1
30-39	282	119	76	9	22	28	14	13	1	0	2	2
40-49	587	270	130	35	44	48	29	21	5	3	2	2
50+	941	449	235	42	65	86	32	21	6	2	3	3
1950-55	Total	393	187	99	14	28	32	21	10	2	0	0
0-9	10	5	1	0	0	3	1	0	0	0	0	0
10-19	6	3	1	0	0	1	1	0	0	0	0	0
20-29	8	2	1	0	2	2	1	0	0	0	0	0
30-39	26	11	9	0	2	1	3	0	0	0	0	0
40-49	79	41	18	3	6	3	3	4	1	0	0	0
50+	284	125	69	11	18	22	12	6	1	0	0	0
1956-60	Total	327	160	73	14	23	33	9	10	1	2	2
0-9	5	2	2	0	0	1	0	0	0	0	0	0
10-19	13	9	2	1	0	0	1	0	0	0	0	0
20-29	13	8	1	0	0	2	0	2	0	0	0	0
30-39	29	12	7	1	3	5	0	0	0	0	1	0
40-49	57	25	11	4	6	5	2	2	1	1	0	0
50+	210	104	50	8	14	20	6	6	0	1	1	1
1961-65	Total	310	145	77	18	23	24	13	6	2	1	1
0-9	2	2	0	0	0	0	0	0	0	0	0	0
10-19	8	0	4	1	0	1	0	2	0	0	0	0
20-29	15	9	2	0	1	2	1	0	0	0	0	0
30-39	31	12	9	3	3	1	2	1	0	0	0	0
40-49	80	38	23	5	2	4	5	3	0	0	0	0
50+	174	84	39	9	17	18	5	0	2	1	1	1
1966-70	Total	299	130	77	14	18	32	11	12	4	1	2
0-9	6	2	2	0	1	0	1	0	0	0	0	0
10-19	18	6	6	0	0	3	0	1	2	0	0	0
20-29	17	10	3	0	1	3	0	0	0	0	0	0
30-39	36	19	12	0	3	2	0	0	0	0	0	0
40-49	95	35	16	8	6	13	8	5	1	1	2	0
50+	127	58	38	8	5	11	2	6	1	0	0	0
1971-75	Total	268	110	65	20	18	21	20	8	3	1	2
0-9	4	2	1	0	0	0	1	0	0	0	0	0
10-19	33	14	10	2	0	2	4	0	0	0	0	1
20-29	19	9	3	2	1	0	2	1	0	1	0	0
30-39	38	15	6	4	3	3	3	4	0	0	0	0
40-49	93	36	27	6	8	7	6	2	1	0	0	0
50+	81	34	18	8	6	9	4	1	2	0	0	1
1976-80	Total	300	150	68	13	24	21	10	10	1	1	2
0-9	15	7	4	0	0	3	0	1	0	0	0	0
10-19	35	20	8	4	0	0	2	0	0	0	0	1
20-29	33	16	5	4	3	2	2	0	0	0	0	1
30-39	56	20	19	0	4	4	3	5	1	0	0	0
40-49	97	55	17	3	12	5	1	3	0	1	0	0
50+	64	32	15	2	5	7	2	1	0	0	0	0
1981-85	Total	252	120	51	12	10	31	14	7	1	2	4
0-9	13	8	3	1	1	2	0	0	0	0	0	0
10-19	44	18	7	3	1	4	6	1	0	1	3	0
20-29	22	14	3	1	0	3	0	0	0	1	0	0
30-39	66	30	14	1	4	10	3	3	0	0	0	1
40-49	86	40	18	8	4	11	4	2	1	0	0	0
50+	21	12	6	0	0	1	1	1	0	0	0	0

**Appendix Table 7B. Number of deaths from digestive disease, males**

Period	Age ATB	Total	Radiation Dose (Gray)									
			0	.01 -.05	.06 -.09	.10 -.19	.20 -.49	.50 -.99	1.00 -1.99	2.00 -2.99	3.00 -3.99	4.00+
Total	Total	1108	543	234	51	68	105	54	33	8	3	11
	0-9	44	20	10	1	2	8	2	1	0	0	0
	10-19	118	56	29	6	1	7	10	2	2	1	5
	20-29	66	36	9	4	4	7	5	0	0	0	1
	30-39	139	60	32	5	11	15	6	8	1	0	1
	40-49	280	141	54	17	18	22	15	10	2	0	1
	50+	460	230	100	18	30	46	16	12	3	2	3
1950-55	Total	208	107	43	8	13	23	9	6	1	0	0
	0-9	7	3	0	0	0	3	1	0	0	0	0
	10-19	4	2	1	0	0	1	0	0	0	0	0
	20-29	4	0	1	0	0	2	1	0	0	0	0
	30-39	12	8	2	0	0	1	1	0	0	0	0
	40-49	43	23	9	1	4	2	2	1	1	0	0
	50+	138	71	30	5	9	14	4	5	0	0	0
1956-60	Total	181	92	38	7	8	19	7	6	1	1	2
	0-9	5	2	2	0	0	1	0	0	0	0	0
	10-19	8	6	1	0	0	0	1	0	0	0	0
	20-29	8	4	1	0	0	1	0	0	0	0	0
	30-39	17	6	4	1	1	4	0	0	0	0	1
	40-49	30	14	3	3	2	4	1	2	1	0	0
	50+	115	60	27	3	5	9	5	4	0	1	1
1961-65	Total	159	77	32	11	12	13	8	3	1	1	1
	0-9	2	2	0	0	0	0	0	0	0	0	0
	10-19	3	0	3	0	0	0	0	0	0	0	0
	20-29	5	3	0	0	1	0	1	0	0	0	0
	30-39	18	7	4	2	2	1	2	0	0	0	0
	40-49	47	24	12	3	1	1	3	3	0	0	0
	50+	84	41	13	6	8	11	2	0	1	1	1
1966-70	Total	142	66	29	7	11	14	5	6	3	0	1
	0-9	3	1	1	0	1	0	0	0	0	0	0
	10-19	14	6	3	0	0	2	0	1	2	0	0
	20-29	7	4	1	0	1	1	0	0	0	0	0
	30-39	16	10	3	0	2	1	0	0	0	0	0
	40-49	52	23	7	5	3	6	3	4	0	0	1
	50+	50	22	14	2	4	4	2	1	1	0	0
1971-75	Total	138	63	30	8	8	9	13	2	1	0	2
	0-9	4	2	1	0	0	0	1	0	0	0	0
	10-19	28	11	9	2	0	2	3	0	0	0	1
	20-29	11	4	2	2	1	0	2	0	0	0	0
	30-39	22	11	1	2	2	2	2	2	0	0	0
	40-49	35	17	8	1	3	2	4	0	0	0	0
	50+	36	18	9	1	2	3	1	0	1	0	1
1976-80	Total	160	81	36	7	9	15	3	6	1	0	2
	0-9	13	5	4	0	0	3	0	1	0	0	0
	10-19	26	16	7	2	0	0	0	0	0	0	1
	20-29	22	13	2	2	1	2	1	0	0	0	1
	30-39	29	8	11	0	3	2	0	4	1	0	0
	40-49	39	24	6	2	3	3	1	0	0	0	0
	50+	31	15	6	1	2	5	1	1	0	0	0
1981-85	Total	122	57	26	5	5	12	9	4	0	1	3
	0-9	10	5	2	1	1	1	0	0	0	0	0
	10-19	36	15	5	2	1	2	6	1	0	1	3
	20-29	11	8	2	0	0	1	0	0	0	0	0
	30-39	25	10	7	0	1	4	1	2	0	0	0
	40-49	34	16	9	2	2	4	1	0	0	0	0
	50+	6	3	1	0	0	0	1	1	0	0	0

Appendix Table 7C. Number of deaths from digestive disease, females

Period	Age ATB	Radiation Dose (Gray)										
		Total	0	.01 -.05	.08 -.09	.10 -.19	.20 -.49	.50 -.89	1.00 -1.99	2.00 -2.99	3.00 -3.99	4.00+
Total	Total	1041	459	276	54	76	89	44	30	6	5	2
	0-9	11	6	3	0	0	1	1	0	0	0	0
	10-19	38	14	9	5	0	4	4	2	0	0	0
	20-29	61	32	9	3	4	7	1	3	0	2	0
	30-39	143	59	44	4	11	11	8	5	0	0	1
	40-49	307	129	76	18	26	26	14	11	3	3	1
	50+	481	219	135	24	35	40	16	9	3	0	0
1950-55	Total	185	80	56	8	15	9	12	4	1	0	0
	0-9	3	2	1	0	0	0	0	0	0	0	0
	10-19	2	1	0	0	0	0	1	0	0	0	0
	20-29	4	2	0	0	2	0	0	0	0	0	0
	30-39	14	3	7	0	2	0	2	0	0	0	0
	40-49	36	18	9	2	2	1	1	3	0	0	0
	50+	126	54	39	6	9	8	8	1	1	0	0
1956-60	Total	146	68	35	7	15	14	2	4	0	1	0
	0-9	0	0	0	0	0	0	0	0	0	0	0
	10-19	5	3	1	1	0	0	0	0	0	0	0
	20-29	7	4	0	0	0	1	0	2	0	0	0
	30-39	12	8	3	0	2	1	0	0	0	0	0
	40-49	27	11	8	1	4	1	1	0	0	1	0
	50+	95	44	23	5	9	11	1	2	0	0	0
1961-65	Total	151	68	45	7	11	11	5	3	1	0	0
	0-9	0	0	0	0	0	0	0	0	0	0	0
	10-19	5	0	1	1	0	1	0	2	0	0	0
	20-29	10	6	2	0	0	2	0	0	0	0	0
	30-39	13	5	5	1	1	0	0	1	0	0	0
	40-49	33	14	11	2	1	3	2	0	0	0	0
	50+	90	43	26	3	9	5	3	0	1	0	0
1966-70	Total	157	64	48	7	5	18	6	6	1	1	1
	0-9	3	1	1	0	0	0	1	0	0	0	0
	10-19	4	0	3	0	0	1	0	0	0	0	0
	20-29	10	6	2	0	0	2	0	0	0	0	0
	30-39	20	9	9	0	1	1	0	0	0	0	0
	40-49	43	12	9	3	3	7	5	1	1	1	1
	50+	77	36	24	4	1	7	0	5	0	0	0
1971-75	Total	132	47	35	12	10	12	7	6	2	1	0
	0-9	0	0	0	0	0	0	0	0	0	0	0
	10-19	5	3	1	0	0	0	1	0	0	0	0
	20-29	8	5	1	0	0	0	0	1	0	1	0
	30-39	18	4	5	2	1	1	1	2	0	0	0
	40-49	58	19	19	5	5	5	2	2	1	0	0
	50+	45	16	9	5	4	8	3	1	1	0	0
1976-80	Total	140	69	32	6	15	6	7	4	0	1	0
	0-9	2	2	0	0	0	0	0	0	0	0	0
	10-19	9	4	1	2	0	0	2	0	0	0	0
	20-29	11	3	3	2	2	0	1	0	0	0	0
	30-39	27	12	8	0	1	2	3	1	0	0	0
	40-49	58	31	11	1	9	2	0	3	0	1	0
	50+	33	17	9	1	3	2	1	0	0	0	0
1981-85	Total	130	63	25	7	5	19	5	3	1	1	1
	0-9	3	1	1	0	0	1	0	0	0	0	0
	10-19	8	3	2	1	0	2	0	0	0	0	0
	20-29	11	6	1	1	0	2	0	0	0	1	0
	30-39	41	20	7	1	3	6	2	1	0	0	1
	40-49	52	24	9	4	2	7	3	2	1	0	0
	50+	15	9	5	0	0	1	0	0	0	0	0

**Appendix Table 8A.** Number of deaths from other disease, sexes combined

Period	Age ATB	Radiation Dose (Gray)										
		Total	0	.01 -.05	.06 -.09	.10 -.19	.20 -.49	.50 -.99	1.00 -1.99	2.00 -2.99	3.00 -3.99	4.00+
Total	Total	4015	1924	987	200	247	345	185	87	23	8	9
0-9		88	50	16	8	5	8	2	0	1	0	0
10-19		172	88	48	7	4	12	6	8	1	0	0
20-29		153	76	38	9	6	13	1	6	2	0	2
30-39		340	171	71	24	18	25	22	6	3	0	0
40-49		799	361	189	39	54	76	47	24	5	2	2
50+		2463	1178	627	115	160	211	107	43	11	6	5
1950-55	Total	791	392	196	41	38	61	35	13	5	4	5
0-9		15	7	3	0	1	3	0	0	1	0	0
10-19		35	21	11	1	0	2	0	0	0	0	0
20-29		32	14	7	4	3	1	0	1	0	0	2
30-39		34	18	6	1	0	4	4	1	0	0	0
40-49		74	37	16	4	1	8	6	1	1	0	0
50+		601	295	153	31	34	43	25	10	3	4	3
1956-60	Total	803	381	210	40	47	73	24	14	1	1	2
0-9		8	3	2	1	0	2	0	0	0	0	0
10-19		26	14	4	0	0	5	2	1	0	0	0
20-29		23	11	5	0	3	3	0	1	0	0	0
30-39		36	21	7	4	1	2	1	0	0	0	0
40-49		81	39	22	4	6	7	1	2	0	0	0
50+		629	303	170	31	37	54	20	10	1	1	2
1961-65	Total	648	293	177	28	44	55	27	18	4	1	1
0-9		15	13	1	0	1	0	0	0	0	0	0
10-19		25	8	10	2	0	1	0	3	1	0	0
20-29		20	9	7	2	0	1	1	0	0	0	0
30-39		28	12	7	4	2	2	1	0	0	0	0
40-49		67	30	16	3	5	5	4	3	0	0	1
50+		493	221	136	17	36	46	21	12	3	1	0
1966-70	Total	497	238	119	20	34	41	26	17	1	0	1
0-9		16	11	2	1	2	0	0	0	0	0	0
10-19		24	11	6	1	3	1	1	1	0	0	0
20-29		18	12	5	0	0	1	0	0	0	0	0
30-39		35	17	8	2	3	4	0	1	0	0	0
40-49		110	46	27	4	8	11	4	9	0	0	1
50+		294	141	71	12	18	24	21	6	1	0	0
1971-75	Total	451	222	85	25	26	43	27	7	5	1	0
0-9		12	5	2	3	0	1	1	0	0	0	0
10-19		31	14	9	2	0	2	2	0	0	0	0
20-29		20	13	4	0	0	3	0	0	0	0	0
30-39		60	27	13	2	4	4	9	1	0	0	0
40-49		111	55	20	7	7	11	6	1	3	1	0
50+		217	108	47	11	15	22	9	3	2	0	0
1976-80	Total	428	207	95	22	33	38	20	10	2	1	0
0-9		13	7	2	1	1	2	0	0	0	0	0
10-19		15	8	4	1	0	0	1	1	0	0	0
20-29		20	6	6	2	0	4	0	1	1	0	0
30-39		68	42	14	3	3	4	0	2	0	0	0
40-49		159	72	39	7	13	12	10	5	0	1	0
50+		153	72	30	8	16	16	9	1	1	0	0
1981-85	Total	397	181	95	24	24	34	26	8	5	0	0
0-9		9	4	4	0	0	1	0	0	0	0	0
10-19		16	12	2	0	1	1	0	0	0	0	0
20-29		20	11	4	1	0	0	0	3	1	0	0
30-39		79	34	16	8	5	5	7	1	3	0	0
40-49		197	82	49	10	14	22	16	3	1	0	0
50+		78	38	20	5	4	8	2	1	0	0	0

Appendix Table 8B. Number of deaths from other disease, males

Period	Age ATB	Radiation Dose (Gray)										
		Total	0 -.05	.01 -.08	.06 -.18	.10 -.48	.20 -.98	.50 -1.99	1.00 -2.99	2.00 -2.99	3.00 -3.99	4.00+ -3.99
Total	Total	1640	824	359	84	97	136	72	48	8	6	6
	0-9	48	25	10	5	3	5	0	0	0	0	0
	10-19	78	40	21	4	2	4	1	3	1	0	0
	20-29	37	19	5	4	3	4	1	1	0	0	0
	30-39	145	78	26	8	5	13	10	4	1	0	0
	40-49	319	149	73	15	17	33	16	12	1	1	2
	50+	1015	513	224	48	67	77	44	28	5	5	4
1950-55	Total	354	191	83	13	17	24	13	6	2	3	2
	0-9	9	4	2	0	1	2	0	0	0	0	0
	10-19	13	11	2	0	0	0	0	0	0	0	0
	20-29	6	3	0	1	2	0	0	0	0	0	0
	30-39	12	8	2	0	0	1	1	0	0	0	0
	40-49	35	19	7	1	0	3	4	0	1	0	0
	50+	279	146	70	11	14	18	8	6	1	3	2
1956-60	Total	352	185	78	17	18	38	9	6	0	1	2
	0-9	6	2	1	1	0	2	0	0	0	0	0
	10-19	9	3	2	0	0	3	1	0	0	0	0
	20-29	8	5	1	0	1	1	0	0	0	0	0
	30-39	17	12	2	1	0	1	1	0	0	0	0
	40-49	41	19	11	1	3	6	1	0	0	0	0
	50+	271	144	81	14	14	23	6	6	0	1	2
1961-65	Total	288	130	56	13	20	20	14	10	3	1	1
	0-9	9	7	1	0	1	0	0	0	0	0	0
	10-19	11	2	5	2	0	0	0	1	1	0	0
	20-29	4	2	1	0	0	0	1	0	0	0	0
	30-39	16	7	3	3	1	2	0	0	0	0	0
	40-49	30	15	5	1	2	3	2	1	0	0	1
	50+	198	97	41	7	16	15	11	8	2	1	0
1966-70	Total	206	88	45	11	13	18	12	9	1	0	1
	0-9	5	3	0	1	1	0	0	0	0	0	0
	10-19	11	5	4	1	1	0	0	0	0	0	0
	20-29	5	4	1	0	0	0	0	0	0	0	0
	30-39	22	9	6	1	2	3	0	1	0	0	0
	40-49	43	20	12	3	2	5	2	4	0	0	1
	50+	114	57	22	5	7	8	10	4	1	0	0
1971-75	Total	185	87	36	10	14	21	10	8	1	0	0
	0-9	7	4	1	2	0	0	0	0	0	0	0
	10-19	18	6	6	1	0	1	0	2	0	0	0
	20-29	5	2	1	0	0	2	0	0	0	0	0
	30-39	28	13	4	1	1	3	5	1	0	0	0
	40-49	47	26	7	2	4	6	2	0	0	0	0
	50+	82	36	17	4	9	9	3	3	1	0	0
1976-80	Total	152	76	35	11	9	9	6	5	0	1	0
	0-9	5	2	1	1	0	1	0	0	0	0	0
	10-19	7	6	1	0	0	0	0	0	0	0	0
	20-29	5	1	1	2	0	1	0	0	0	0	0
	30-39	25	17	5	1	0	1	0	1	0	0	0
	40-49	59	25	19	3	3	3	1	4	0	1	0
	50+	51	25	8	4	6	3	5	0	0	0	0
1981-85	Total	123	57	26	9	6	10	8	6	1	0	0
	0-9	7	3	4	0	0	0	0	0	0	0	0
	10-19	9	7	1	0	1	0	0	0	0	0	0
	20-29	4	2	0	1	0	0	0	1	0	0	0
	30-39	25	12	4	1	1	2	3	1	1	0	0
	40-49	58	25	12	4	3	7	4	3	0	0	0
	50+	20	8	5	3	1	1	1	1	0	0	0

**Appendix Table 8C. Number of deaths from other disease, females**

Period	Age ATB	Radiation Dose (Gray)										
		Total	0 -.05	.01 -.09	.08 -.19	.10 -.49	.20 -.99	.50 -1.99	1.00 -2.99	2.00 -3.99	3.00 -3.99	4.00+
Total	Total	2375	1100	828	116	150	209	113	39	15	2	3
	0-9	40	25	6	1	2	3	2	0	1	0	0
	10-19	96	48	25	3	2	8	5	5	0	0	0
	20-29	116	57	33	5	3	9	0	5	2	0	2
	30-39	195	93	45	18	13	12	12	2	2	0	0
	40-49	480	212	116	24	37	43	31	12	4	1	0
	50+	1448	665	403	67	93	134	63	15	6	1	1
1950-55	Total	437	201	113	28	22	37	22	7	3	1	3
	0-9	6	3	1	0	0	1	0	0	1	0	0
	10-19	22	10	9	1	0	2	0	0	0	0	0
	20-29	26	11	7	3	1	1	0	1	0	0	2
	30-39	22	10	4	1	0	3	3	1	0	0	0
	40-49	39	18	9	3	1	5	2	1	0	0	0
	50+	322	149	83	20	20	25	17	4	2	1	1
1956-60	Total	451	206	132	23	29	37	15	8	1	0	0
	0-9	2	1	1	0	0	0	0	0	0	0	0
	10-19	17	11	2	0	0	2	1	1	0	0	0
	20-29	15	6	4	0	2	2	0	1	0	0	0
	30-39	19	9	5	3	1	1	0	0	0	0	0
	40-49	40	20	11	3	3	1	0	2	0	0	0
	50+	358	159	109	17	23	31	14	4	1	0	0
1961-65	Total	380	163	121	15	24	35	18	8	1	0	0
	0-9	6	6	0	0	0	0	0	0	0	0	0
	10-19	14	6	5	0	0	1	0	2	0	0	0
	20-29	16	7	6	2	0	1	0	0	0	0	0
	30-39	12	5	4	1	1	0	1	0	0	0	0
	40-49	37	15	11	2	3	2	2	2	0	0	0
	50+	295	124	95	10	20	31	10	4	1	0	0
1966-70	Total	291	140	74	9	21	25	14	8	0	0	0
	0-9	11	8	2	0	1	0	0	0	0	0	0
	10-19	13	6	2	0	2	1	1	1	0	0	0
	20-29	13	8	4	0	0	1	0	0	0	0	0
	30-39	13	8	2	1	1	1	0	0	0	0	0
	40-49	61	26	15	1	6	6	2	5	0	0	0
	50+	180	84	49	7	11	16	11	2	0	0	0
1971-75	Total	266	135	58	15	12	22	17	1	4	1	0
	0-9	5	1	1	1	0	1	1	0	0	0	0
	10-19	15	8	3	1	0	1	2	0	0	0	0
	20-29	15	11	3	0	0	1	0	0	0	0	0
	30-39	32	14	9	1	3	1	4	0	0	0	0
	40-49	64	29	13	5	3	5	4	1	3	1	0
	50+	135	72	30	7	6	13	6	0	1	0	0
1976-80	Total	276	131	60	11	24	29	14	5	2	0	0
	0-9	8	5	1	0	1	1	0	0	0	0	0
	10-19	8	2	3	1	0	0	1	1	0	0	0
	20-29	15	5	5	0	0	3	0	1	1	0	0
	30-39	43	25	9	2	3	3	0	1	0	0	0
	40-49	100	47	20	4	10	9	9	1	0	0	0
	50+	102	47	22	4	10	13	4	1	1	0	0
1981-85	Total	274	124	68	15	18	24	18	2	4	0	0
	0-9	2	1	0	0	0	0	1	0	0	0	0
	10-19	7	5	1	0	0	1	0	0	0	0	0
	20-29	16	9	4	0	0	0	0	2	1	0	0
	30-39	54	22	12	7	4	3	4	0	2	0	0
	40-49	139	57	37	6	11	15	12	0	1	0	0
	50+	56	30	15	2	3	5	1	0	0	0	0

**Appendix Table 9.** Regression coefficients of the linear-quadratic model\* for age  $\geq 40$  at the time of the bombings (ATB) by period

Period	Age ATB					
	$\geq 40$		40–49		$\geq 50$	
	$\alpha_1$	$\alpha_2$	$\alpha_1$	$\alpha_2$	$\alpha_1$	$\alpha_2$
1950–55	-0.2400	0.0715	-0.1162	0.0113	-0.2707	0.0875
1956–60	-0.1986	0.0379	-0.0199	-0.0201	-0.2463	0.0549
1961–65	-0.0420	0.0330	-0.0227	0.0333	-0.0472	0.0318
1966–70	0.1615	-0.0326	0.1700	-0.0058	0.1547	-0.0505
1971–75	0.0836	-0.0171	0.1448	-0.0179	0.0335	-0.0190
1976–80	0.0362	-0.0075	0.0058	-0.0100	0.0938	-0.0049
1981–85	0.0635	-0.0199	0.1877	-0.0324	-0.3716	0.0342

\*Relative risk =  $1 + \alpha_1 d + \alpha_2 d^2$ , where  $d$  is the radiation dose in gray.

**Appendix Table 10.** Estimated coefficients of regression models for all diseases except neoplasm and blood disease

Model	Age ATB (yr)	$\alpha_1$	$\alpha_2$	$\alpha_3$	$\beta_1$	$\beta_2$	Deviance	df
Null							2372.2	2681
Model 1		0.0288					2368.7	2680
Model 2		-0.0309	0.0189				2364.0	2679
Model 3			0.0115				2365.0	2680
Model 4			0.0042		1.976		2359.0	2679
Model 5-1		-0.1208	0.0149	0.0214			2357.9	2678
Model 5-2		-0.0641	0.0123	0.0079	0.8490		2356.5	2677
Model 5-3		-0.1177	0.0123	0.0218	0.8397	-2.649	2354.1	2676
Model 5-4	<40	0.0606	0.0425	-0.0537			2346.0	2675
	≥40	-0.1597	0.0008	0.0461				
Model 5-5	<50	-0.0058	0.0259	-0.0231			2345.8	2675
	≥50	-0.1905	-0.0113	0.0698				
Model 5-6	<40	0.0606	0.0425	-0.0537			2341.7	2672
	40-49	-0.0665	0.0110	0.0044				
	≥50	-0.1905	-0.0113	0.0698				
Model 6-1		-0.1701	0.0141	0.0328			2355.7	2678
Model 6-2		-0.1556	0.0136	0.0299	0.2310		2355.6	2677
Model 6-3		-0.2594	0.0054	0.0671	1.789	-4.503	2346.7	2676
Model 6-4	<40	0.0499	0.0319	-0.0223			2347.4	2675
	≥40	-0.2181	0.0062	0.0479				
Model 6-5	<50	-0.0145	0.0222	-0.0171			2347.1	2675
	≥50	-0.2590	-0.0016	0.0732				
Model 6-6	<40	0.0499	0.0319	-0.0223			2342.3	2672
	40-49	-0.0709	0.0138	-0.0177				
	≥50	-0.2590	-0.0016	0.0732				

*Continued*

**Appendix Table 10.** Continued

Model	Age ATB (yr)	$\alpha_1$	$\alpha_2$	$\alpha_3$	$\beta_1$	$\beta_2$	Deviance	df
Model 7-1		-0.1067	0.0149	0.0110			2358.6	2678
Model 7-2		-0.0532	0.0136	0.0017	0.6912		2357.9	2677
Model 7-3		-0.1071	0.0131	0.0082	0.7357	-237.4	2356.0	2676
Model 7-4	<40	0.1733	0.0425	-0.0703			2339.7	2675
	$\geq 40$	-0.1683	0.0008	0.0363				
Model 7-5	<50	-0.0041	0.0259	-0.0239			2345.8	2675
	$\geq 50$	-0.1879	-0.0113	0.0575				
Model 7-6	<40	0.1733	0.0425	-0.0703			2335.4	2672
	40-49	-0.1407	0.0110	0.0061				
	$\geq 50$	-0.1879	-0.0113	0.0575				

NOTE: ATB = at the time of the bombings. The definitions of the models follow.

Models 1, 2, 3, and 4: RR =  $1 + (\alpha_1 \cdot d + \alpha_2 \cdot d^2) \cdot \exp[\beta_1 I(A < 40)]$ .

Models 5-1 to 3: RR =  $1 + [\alpha_1 \cdot d \cdot I(T \leq 1965) + \alpha_2 \cdot d^2 + \alpha_3 \cdot d^2 \cdot I(T \leq 1965)] \cdot \exp[\beta_1 \cdot I(A < 40) + \beta_2 \cdot I(A < 50) \cdot I(T \leq 1960)]$ .

Models 6-1 to 3: RR =  $1 + [\alpha_1 \cdot d \cdot I(T \leq 1960) + \alpha_2 \cdot d^2 + \alpha_3 \cdot d^2 \cdot I(T \leq 1960)] \cdot \exp[(\beta_1 \cdot I(A < 40) + \beta_2 \cdot I(A < 50) \cdot I(T \leq 1960))]$ .

Models 7-1 to 3: RR =  $1 + [\alpha_1 \cdot d \cdot I(T \leq 1960) + \alpha_2 \cdot d^2 + \alpha_3 \cdot d^2 \cdot I(T \leq 1965)] \cdot \exp[(\beta_1 \cdot I(A < 40) + \beta_2 \cdot I(A < 50) \cdot I(T \leq 1960))]$ .

Models 5-4 to 6: RR =  $1 + \alpha_{1j} \cdot d \cdot I(T \leq 1965) + \alpha_{2j} \cdot d^2 + \alpha_{3j} \cdot d^2 \cdot I(T \leq 1965)$ .

Models 6-4 to 6: RR =  $1 + \alpha_{1j} \cdot d \cdot I(T \leq 1960) + \alpha_{2j} \cdot d^2 + \alpha_{3j} \cdot d^2 \cdot I(T \leq 1960)$ .

Models 7-4 to 6: RR =  $1 + \alpha_{1j} \cdot d \cdot I(T \leq 1960) + \alpha_{2j} \cdot d^2 + \alpha_{3j} \cdot d^2 \cdot I(T \leq 1965)$ .

Where  $j$  = age ATB category and  $d$  is in gray.  $I(T \leq 1960) = 1$  if the period is 1950-60 and 0 if the period is 1961-85.  $I(A < 40) = 1$  if age ATB < 40 and 0 if age ATB  $\geq 40$ .  $I(T \geq 1965) = 1$  if the period is 1950-65 and 0 if the period is 1966-85.  $I(A < 50) = 1$  if age ATB < 50 and 0 if age ATB  $\geq 50$ .

**Appendix Table 11.** Estimated coefficients of regression models for various causes of death

Cause of death	Model*	Age ATB (yr)	$\alpha_1$	$\alpha_2$	$\alpha_3$	Deviance	df
Circulatory disease	Null					1881.9	2681
	Model 1		0.0464			1877.4	2680
	Model 2		0.0233	0.0073		1877.1	2679
	Model 3			0.0129		1877.3	2680
	Model 5-1		-0.0716	0.0118	0.0199	1876.4	2678
	Model 5-4	<40	0.3204	0.0513	-0.1264	1864.3	2675
Stroke	Model 5-4	$\geq 40$	-0.1134	-0.0043	0.0485		
	Null					1450.5	2681
	Model 1		0.0260			1449.7	2680
	Model 2		-0.0199	0.0145		1448.8	2679
	Model 3			0.0098		1448.9	2680
	Model 5-1		-0.1114	0.0067	0.0335	1447.3	2678
Heart disease	Model 5-4	<40	0.5546	0.0567	-0.1521	1435.3	2675
	Null					1546.7	2681
	Model 1		0.0733			1542.0	2680
	Model 2		0.0782	-0.0016		1542.0	2679
	Model 3			0.0169		1543.4	2680
	Model 5-1		-0.0034	0.0172	-0.0002	1543.4	2678
Respiratory disease	Model 5-4	<40	0.0566	0.0390	-0.0762	1539.1	2675
	Null					1055.1	2681
	Model 1		0.0595			1053.5	2680
	Model 2		-0.1562	0.0683		1047.8	2679
	Model 3			0.0304		1050.1	2680
	Model 5-1		-0.2442	0.0238	0.0827	1048.1	2678
Model 5-4	<40	-0.1109	0.0405	0.0648	0.0878	1047.5	2675
	$\geq 40$	-0.2629	0.0168				

*Continued*

**Appendix Table 11. Continued**

Cause of death	Model*	Age ATB (yr)	$\alpha_1$	$\alpha_2$	$\alpha_3$	Deviance	df
Digestive disease	Null					1449.0	2681
	Model 1		0.0958			1445.0	2680
	Model 2		-0.0316	0.0420		1442.9	2679
	Model 3			0.0340		1443.0	2680
	Model 5-1		-0.1052	0.0719	-0.0526	1436.8	2678
	Model 5-4	<40	0.0677	0.0956	-0.1142	1435.6	2675
		≥40	-0.1407	0.0437	-0.0143		
Other disease	Null					1438.0	2681
	Model 1		-0.0543			1435.4	2680
	Model 2		-0.1270	0.0222		1433.9	2679
	Model 3			-0.0076		1437.3	2680
	Model 5-1		-0.2942	-0.0263	0.1031	1424.0	2678
	Model 5-4	<40	-0.3091	-0.0276	0.1059	1423.9	2675
		≥40	-0.2852	-0.0276	0.1041		

NOTE: ATB = at the time of the bombings.

\*See Appendix Table 10 for definitions of these different models.

**Appendix Table 12.** Results of hematologic review of deaths certified as disease of the blood and blood-forming organs, 1950–82

Radiation dose (Gy)	Total person-years	Total deaths with blood disease		Not in leukemia registry		In leukemia registry, by registry diagnosis			
		Obs.	Exp.	Total	Leukemia	Other cancer		Blood disease	
						Obs.	Exp.	Obs.	Exp.
0	918,564	42	59.0	21	21	2	2	9	9.46
0.01–0.99	1,040,366	71	66.8	36	35	1	5	11	10.71
≥1.00	80,876	18	5.2	7	11	6	1	1	0.83
Total	2,039,806	131	131.0	64	67	9	8	21	21.00
									29

NOTE: The expected number of deaths is calculated under the null hypothesis of no association with dose. Obs. = observed; Exp. = expected.

**Appendix Table 13.** Accuracy of cause of death, noncancer deaths, 1950–85

Disease	Primary cause of death stated on autopsy				Primary or contributing causes stated on autopsy		
	Death certificate	Autopsy (principal)	Agree. rate (%)	Confirm. rate (%)	Autopsy (any)	Agree.	Confirm. rate (%)
Circulatory disease	2072	2036	1475	71.2	72.4	5227	2025
Heart disease	806	836	317	39.3	37.9	4464	739
Coronary heart disease	322	245	92	28.6	37.6	2134	222
Stroke	1214	730	495	40.8	67.8	2778	1047
Other circulatory disease	52	470	14	26.9	3.0	3919	41
Senility	249	6	2	0.8	33.3	45	10
Infectious disease	319	375	180	56.4	48.0	1553	231
Tuberculosis	255	316	161	63.1	50.9	1170	200
Other infectious disease	64	59	12	18.8	20.3	473	22
Blood disease	54	31	21	38.9	67.7	1534	39
Pneumonia	215	224	39	18.1	17.4	2881	156
Liver cirrhosis	198	200	106	53.5	53.0	1082	164
Nephritis and nephrosis	79	35	17	21.5	48.6	343	19

NOTE: Agree. = agreement; Confirm. = confirmation; Detect. = detection.

SOURCE: Tokunaga et al.<sup>27</sup>

**Appendix Table 14.** Proportion of deaths confirmed by clinical diagnoses among those exposed to  $\geq 2$  Gy and examined in the Adult Health Study (AHS)

Cause of death	No. of deaths			
	Total	Undetermined*	Compared with clinical diagnoses	Confirmed by clinical diagnoses
Total	125	59	66	55 (83.3%)
Tuberculosis	2	—	2	2 (100.0%)
Stroke	34	22	12	12 (100.0%)
Heart disease	42	23	19	17 (89.5%)
Digestive disease	18	3	15	12 (80.0%)
Other	29	11	18	12 (66.7%)

NOTE: The total number of deaths from all diseases except neoplasm among individuals exposed to  $\geq 2$  Gy and examined in the AHS is 140. Of these 140 subjects, 7 died from blood disease and 8 have inadequate diagnoses for cause of death. The results based on the remaining 125 deaths are shown in the table.

\*These deaths were excluded because of either the possible sudden occurrence of an event (e.g., stroke or heart attack) or because a long period ( $>10$  years) intervened between the last AHS examination and death.

---

**Appendix Table 15.** Confirmation of liver cirrhosis on the death certificate among members of the Adult Health Study (AHS) sample, Hiroshima

---

<i>A. When all sources of information were used</i>	
Total no. of deaths with liver cirrhosis	77
1. Confirmed by autopsy (any pathological diagnosis)	19
2. Confirmed by AHS diagnosis as liver cirrhosis	18
3. Confirmed by AHS diagnosis as chronic hepatitis	10
4. Confirmed by AHS diagnosis as probable liver cirrhosis	4
5. Confirmed by AHS diagnosis as probable chronic hepatitis	1
6. Confirmed by past history in Epidemiological Survey Sheet	5
<i>B. When autopsy findings were used</i>	
Total no. of autopsies among 77 deaths with liver cirrhosis	23
Confirmed by principal pathological diagnosis	16

---

**Appendix Table 16A.** Comparison of cause of death and autopsy diagnosis: All diseases except neoplasm and blood disease

Radiation dose (Gy)	Person-years	No. of cases		No. of autopsies	Autopsy rate (%)	Cancer found on autopsy	
		Observed	Expected*			Principal Dx	Any Dx
All ages ATB, 1950–85							
Total	2,185,336	20,777	—	2610	12.6	251	9.6
0	984,271	9490	9509.9	908	9.6	102	11.2
0.01–0.99	1,114,651	10,507	10,509.4	1561	14.9	124	7.9
1.00–1.99	55,261	506	528.7	93	18.4	19	20.4
2.00–2.99	18,311	149	131.9	24	16.2	4	16.7
3.00–3.99	5923	45	39.0	11	24.4	0	—
≥4.00	6919	80	58.1	13	16.3	2	15.4
Age ATB <40, 1966–85							
Total	935,269	3109	—	312	10.0	27	8.7
0	422,205	1417	1420.7	120	8.5	13	10.8
0.01–0.99	476,220	1543	1559.0	169	11.0	12	7.1
1.00–1.99	23,133	82	86.4	13	15.9	2	15.4
≥2.00	13,711	67	42.9	10	14.9	0	—

NOTE: ATB = at the time of the bombings; Dx = diagnosis.

\*The numbers of expected deaths were calculated under the null hypothesis of no dose effect, adjusted for differences by city, sex, age ATB group, and interval of follow-up by the Mantel-Haenszel method.

**Appendix Table 16B.** Comparison of cause of death and autopsy diagnosis: Heart disease

Radiation dose (Gy)	Person-years	No. of cases		No. of autopsies	Autopsy rate (%)	Cancer found on autopsy				
		Observed	Expected*			Principal Dx	Any Dx			
							No.	%		
All ages ATB, 1950–85										
Total	2,185,336	4962	—	570	11.5	40	7.0	100		
0	984,271	2209	2249.7	199	9.0	21	10.6	41		
0.01–0.99	1,114,651	2565	2533.7	338	13.2	17	5.0	52		
1.00–1.99	55,261	117	125.0	19	16.2	2	10.5	5		
≥2.00	31,153	71	53.5	14	19.7	0	—	2		
≥1.00	86,413	188	178.5	33	17.6	2	6.1	7		
Age ATB < 40, 1966–85										
Total	935,269	880	—	75	8.5	5	6.7	9		
0	422,205	382	397.3	23	6.0	2	8.7	3		
0.01–0.99	476,220	454	446.6	42	9.3	2	4.8	5		
1.00–1.99	23,133	25	24.4	5	20.0	1	20.0	1		
≥2.00	13,711	19	11.7	5	26.3	0	—	0		
≥1.00	36,844	44	36.1	10	22.7	1	10.0	1		

NOTE: ATB = at the time of the bombings; Dx = diagnosis.

\*The numbers of expected deaths were calculated under the null hypothesis of no dose effect, adjusted for differences by city, sex, age ATB group, and interval of follow-up by the Mantel-Haenszel method.

**Appendix Table 16C.** Comparison of cause of death and autopsy diagnosis: Liver cirrhosis

Radiation dose (Gy)	Person-years	No. of cases		No. of autopsies	Autopsy rate (%)	Cancer found on autopsy	
		Observed	Expected*			Principal Dx	Any Dx
All ages ATB, 1950–85							
Total	2,185,336	697	—	121	17.4	24	19.8
0	984,271	328	322.1	49	14.9	11	22.4
0.01–0.99	1,114,651	330	345.2	67	20.3	13	19.4
1.00–1.99	55,261	23	19.3	4	17.4	0	—
≥2.00	31,153	16	9.5	1	6.3	0	—
≥1.00	86,413	39	28.8	5	12.8	0	—
Age ATB < 40, 1966–85							
Total	935,269	281	—	33	11.7	8	24.2
0	422,205	132	132.0	13	9.8	3	23.1
0.01–0.99	476,220	129	136.5	18	14.0	5	27.8
1.00–1.99	23,133	9	7.8	1	11.1	0	—
≥2.00	13,711	11	4.7	1	9.1	0	—
≥1.00	36,844	20	12.5	2	10.0	0	—

NOTE: ATB = at the time of the bombings; Dx = diagnosis.

\*The numbers of expected deaths were calculated under the null hypothesis of no dose effect, adjusted for differences by city, sex, age ATB group, and interval of follow-up by the Mantel-Haenszel method.

**Appendix Table 16D.** Comparison of cause of death and autopsy diagnosis: Circulatory disease

Radiation dose (Gy)	Person-years	No. of cases	Cancer found on autopsy						
			Observed	Expected*	No. of autopsies	Autopsy rate (%)	Principal Dx		
							No.	%	
All ages ATB, 1950–85									
Total	2,185,336	11,164	—	1368	12.3	84	6.1	212	15.5
0	984,271	5025	5083.2	474	9.4	38	8.0	83	17.5
0.01–0.99	1,114,651	5718	5678.7	821	14.4	40	4.9	116	14.1
1.00–1.99	55,261	273	282.1	45	16.5	3	6.7	8	17.8
≥2.00	31,153	148	119.8	28	18.9	3	10.7	5	17.9
≥1.00	86,413	421	401.9	78	18.5	6	7.7	13	16.7
Age ATB < 40, 1966–85									
Total	935,269	1764	—	151	8.6	8	5.3	16	10.6
0	422,205	789	798.9	58	7.4	4	6.9	6	10.3
0.01–0.99	476,220	887	892.4	81	9.1	3	3.7	9	11.1
1.00–1.99	23,133	46	49.2	6	13.0	1	16.7	1	16.7
≥2.00	13,711	42	23.4	6	14.3	0	—	0	—
≥1.00	36,844	88	72.6	12	13.6	1	8.3	1	8.3

NOTE: ATB = at the time of the bombings; Dx = diagnosis.

\*The numbers of expected deaths were calculated under the null hypothesis of no dose effect, adjusted for differences by city, sex, age ATB group, and interval of follow-up by the Mantel-Haenszel method.

**Appendix Table 16E.** Comparison of cause of death and autopsy diagnosis: Coronary heart disease

Radiation dose (Gy)	Person-years	No. of cases		No. of autopsies	Autopsy rate (%)	Cancer found on autopsy	
		Observed	Expected*			Principal Dx	Any Dx
All ages ATB, 1950–85							
Total	2,185,336	1765	—	205	11.6	12	5.9
0	984,271	744	788.1	71	9.5	7	9.9
0.01–0.99	1,114,651	954	911.0	121	12.7	5	4.1
1.00–1.99	55,261	40	46.0	6	15.0	0	—
≥2.00	31,153	27	20.0	7	25.9	0	—
≥1.00	86,413	67	66.0	13	19.4	0	—
Age ATB < 40, 1966–85							
Total	935,269	363	—	29	8.0	1	3.4
0	422,205	136	162.1	6	4.4	0	—
0.01–0.99	476,220	209	185.7	20	9.6	1	5.0
1.00–1.99	23,133	8	10.4	1	12.5	0	—
≥2.00	13,711	10	4.8	2	20.0	0	—
≥1.00	36,844	18	15.2	3	16.7	0	—

NOTE: ATB = at the time of the bombings; Dx = diagnosis.

\*The numbers of expected deaths were calculated under the null hypothesis of no dose effect, adjusted for differences by city, sex, age ATB group, and interval of follow-up by the Mantel-Haenszel method.

**Appendix Table 16F. Comparison of cause of death and autopsy diagnosis: Stroke**

Radiation dose (Gy)	Person-years	No. of cases	Cancer found on autopsy						
			Autopsy rate (%)		Principal Dx		Any Dx		
			No. of autopsies	%	No.	%	No.	%	
All ages ATB, 1950–85									
Total	2,185,336	6202	—	798	12.9	44	5.5	112	14.0
0	984,271	2816	2833.5	275	9.8	17	6.2	42	15.3
0.01–0.99	1,114,651	3153	3145.0	483	15.3	23	4.8	64	13.3
1.00–1.99	55,261	156	157.1	26	16.7	1	3.8	3	11.5
≥2.00	31,153	77	66.3	14	18.2	3	21.4	3	21.4
≥1.00	86,413	233	223.4	40	17.2	4	10.0	6	15.0
Age ATB < 40, 1966–85									
Total	935,269	884	—	76	8.6	3	3.9	7	9.2
0	422,205	407	401.6	35	8.6	2	5.7	3	8.6
0.01–0.99	476,220	433	445.8	39	9.0	1	2.6	4	10.3
1.00–1.99	23,133	21	24.8	1	4.8	0	—	0	—
≥2.00	13,711	23	11.7	1	4.3	0	—	0	—
≥1.00	36,844	44	36.5	2	4.5	0	—	0	—

NOTE: ATB = at the time of the bombings; Dx = diagnosis.

\*The numbers of expected deaths were calculated under the null hypothesis of no dose effect, adjusted for differences by city, sex, age ATB group, and interval of follow-up by the Mantel-Haenszel method.

**Appendix Table 17A.** Number and proportion of cancers reported in the Hiroshima and Nagasaki tumor registries among noncancer deaths by radiation dose

Radiation dose (Gy)	No. of deaths	Cancer* found in tumor registry	
		No.	%
All ages ATB, 1950-85			
Total	20,777	889	4.3
0	9490	353	3.7
0.01-0.99	10,507	476	4.5
1.00-1.99	506	39	7.7
≥2.00	274	21	7.7
<40 ATB, 1966-85			
Total	3109	179	5.8
0	1417	73	5.2
0.01-0.99	1543	96	6.2
1.00-1.99	82	5	6.1
≥2.00	67	5	7.5

NOTE: ATB = at the time of the bombings.

\*Latent cancers are excluded.

**Appendix Table 17B.** Number and proportion of cancer cases reported in the Hiroshima and Nagasaki tumor registries among deaths stated to be due to noncancer causes on the death certificate by cause of death

Cause of death	No. of deaths	Cancer* found in tumor registry	
		No.	%
All ages ATB, 1950-85			
All diseases except neoplasm and blood disease	20,777	889	4.3
Circulatory disease	11,164	431	3.9
Stroke	6202	208	3.4
Heart disease	4962	223	4.5
Respiratory disease	2036	120	5.9
Digestive disease	2149	156	7.3
Liver cirrhosis	697	63	9.0
<40 ATB, 1966-85			
All diseases except neoplasm and blood disease	3109	179	5.8
Circulatory disease	1764	76	4.3
Stroke	884	38	4.3
Heart disease	880	38	4.3
Respiratory disease	276	22	8.0
Digestive disease	455	48	10.5
Liver cirrhosis	281	27	9.6

NOTE: Data for infections and other diseases are not shown. ATB = at the time of the bombings.

\*Latent cancers are excluded.

**Appendix Table 18A.** Proportion of deaths at hospitals (%) by radiation dose, age ATB, period, and cause of death

Cause of death, dose (Gy)	All ages ATB			<40 ATB			≥40 ATB		
	1950–65	1966–75	1976–85	1950–65	1966–75	1976–85	1950–65	1966–75	1976–85
<b>Noncancer</b>									
0	16 (656)	39 (1071)	58 (1557)	36 (236)	61 (333)	73 (645)	12 (420)	33 (738)	51 (912)
≥2.0	28 (33)	59 (47)	76 (68)	41 (11)	84 (21)	85 (40)	24 (22)	48 (26)	65 (28)
<b>Leukemia</b>									
0	85 (17)	94 (15)	95 (21)	100 (8)	91 (10)	100 (14)	75 (9)	100 (5)	88 (7)
≥2.0	74 (14)	100 (6)	80 (4)	69 (9)	100 (5)	67 (2)	83 (5)	100 (1)	100 (2)
<b>All cancers except leukemia</b>									
0	37 (298)	71 (538)	87 (759)	62 (82)	81 (214)	93 (477)	32 (216)	65 (324)	78 (282)
≥2.0	48 (19)	74 (29)	89 (47)	92 (12)	73 (16)	97 (36)	26 (7)	76 (13)	69 (11)

NOTE: The values within parentheses are the numbers of deaths occurring at hospitals.

**Appendix Table 18B.** Relative risk at 1 Gy for mortality due to major causes of death by place of death

Cause of death	Place of death	
	Hospital	Home
Noncancer	1.20 (1.15, 1.26)	0.96 (0.93, 1.02)
Stroke	1.18 (1.08, 1.29)	0.96 (0.91, 1.02)
Heart disease	1.30 (1.18, 1.44)	0.96 (0.91, 1.03)
Digestive disease	1.23 (1.11, 1.38)	0.95 (0.87, 1.06)
Other	1.07 (0.99, 1.17)	0.95 (0.90, 1.00)
Leukemia	4.61 (3.57, 6.07)	7.92 (4.02, 18.7)
All cancers except leukemia	1.38 (1.29, 1.47)	1.14 (1.05, 1.25)

NOTE: The values within parentheses are the 90% confidence limits.

**Appendix Table 18C.** Accuracy of cause of death on death certificate by place of death

Cause of death	Place of death	Confirmation rate (%)	Detection rate (%)	Correction factor for death certificate
Stroke	Hospital	48.9	62.2	0.79
	Home	35.7	70.1	0.51
Heart disease	Hospital	39.7	52.2	0.76
	Home	39.9	32.6	1.22
Liver cirrhosis	Hospital	58.5	60.2	0.97
	Home	34.1	35.9	0.95
Tuberculosis	Hospital	63.4	64.5	0.98
	Home	60.0	30.3	1.98
Leukemia	Hospital	82.9	90.6	0.92
	Home	100.0	100.0	1.00
Malignant neoplasms except leukemia	Hospital	92.7	81.5	1.14
	Home	93.5	64.8	1.44

SOURCE: Yamamoto et al.<sup>28</sup>

**Appendix Table 18D.** Radiation effect after adjusting for place of death

Cause of death	Dose (Gy)	No. of deaths by place of death				Corrected no. of deaths				
		Total	Observed	Expected <sup>a</sup>	RR	Hospital	Other	Observed <sup>b</sup>	Expected <sup>a</sup>	RR
<b>Heart disease</b>										
Total	0	2209	2246.1	1.0		762	1447	2344	2357.5	1.0
	≥2.0	71	54.6	1.34		35	36	71	56.6	1.26
Age ATB < 40, 1966–85	0	382	395.5	1.0		223	159	363	375.9	1.0
	≥2.0	19	12	1.64		13	6	17	11.3	1.56
<b>Liver cirrhosis</b>										
Total	0	328	322.6	1.0		208	120	316	310.5	1.0
	≥2.0	16	9.5	1.66		13	3	15	9.2	1.60
Age ATB < 40, 1966–85	0	132	131.7	1.0		112	20	128	127.4	1.0
	≥2.0	11	4.7	2.34		10	1	11	4.5	2.43

NOTE: ATB = at the time of the bombings; RR = relative risk.

<sup>a</sup>Adjusted by city, sex, age ATB, and period.

<sup>b</sup>Calculated using the place-of-death-specific correction factors for the accuracy of death certificates.

---

業績報告書シリーズ  
*Technical Report Series*

---

寿命調査 第11報 第3部  
改訂被曝線量(DS86)に基づく癌以外の死因による  
死亡率, 1950–85年

Life Span Study Report 11. Part 3.  
Noncancer Mortality, 1950–85,  
Based on the Revised Doses (DS86)

清水由紀子 加藤寛夫 William J. Schull David G. Hoel

放影研業績報告書シリーズ  
RERF Technical Report Series

・業績報告書は、放射線影響研究所で行われたオリジナルな研究を報告するためのものである。このシリーズに含まれる報告書は、研究所内外の専門家による検討を受けたものであり、その一部または全文は学術雑誌への投稿原稿としても用いられる。本報告書を引用したり参考文献として言及しても差し支えないが、本報告書自体は当研究所の内部出版物である。報告書は放影研出版・資料センター、〒732 広島市南区比治山公園5-2で入手できる。

放射線影響研究所（元 ABCC）は、昭和50年4月1日に公益法人として発足した。その経費は日米両国政府の平等分担とし、日本は厚生省の補助金、米国はエネルギー省との契約に基づく米国学士院の補助金とをもって充てる。

---

**業績報告書シリーズ**


---

**寿命調査 第11報 第3部**

改訂被曝線量(DS86)に基づく癌以外の死因による  
死亡率、1950–85年<sup>§</sup>

**Life Span Study Report 11. Part 3.  
Noncancer Mortality, 1950–85,  
Based on the Revised Doses (DS86)**

清水由紀子<sup>1</sup> 加藤寛夫<sup>2</sup> William J. Schull<sup>3</sup> David G. Hoel<sup>4</sup>

**要 約**

寿命調査対象集団における1950–85年の死亡調査を行い、改訂被曝線量(DS86線量)と癌死亡率の関連については、すでに別に報告した(寿命調査 第11報、第1部および第2部)。本報告では癌以外の死因による死亡について被曝線量との関連を調べた。

まだ限られた根拠しかないが、高線量域(2または3 Gy以上)において癌以外の疾患による死亡リスクの過剰があるように思われる。統計学的にみると、二次モデルまたは線形-閾値モデル(推定閾値線量1.4 Gy [0.6–2.8 Gy])のほうが、単純な線形または線形-二次モデルよりもよく当てはまる。癌以外の疾患による死亡率のこのような増加は、一般的に1965年以降で若年被爆群(被爆時年齢40歳以下)において認められ、若年被爆者の感受性が高いことを示唆している。死因別にみると、循環器および消化器系疾患について、高線量域(2 Gy以上)で相対リスクの過剰が認められる。しかし、この相対リスクは癌の場合よりもはるかに小さい。

これらの所見は、死亡診断書に基づいているので信頼性には限界がある。おそらく最も重要な問題は、放射線誘発癌が他の死因に誤って分類される可能性があることである。高線

<sup>§</sup>本業績報告書は研究計画書RP 1-75に基づく。本報告に基づく論文は、Radiation Research 130: 249–266, 1992に掲載された。本報告の英語版は別に発行した。承認 1991年6月10日。印刷 1993年2月。

<sup>1</sup>放影研疫学部 <sup>2</sup>放影研疫学顧問、国立水俣病研究センター <sup>3</sup>放影研常務理事、現在テキサス大学保健科学センター、ヒューストン <sup>4</sup>米国環境保健科学研究所、リサーチ・トライアングルパーク、ノースカロライナ

量域で癌以外の死因による死亡が増加していることは明白だが、どれだけこの誤りに起因するのかを明確かつ厳密に推定することは、現在のところむずかしい。しかしながら、死因の分類の誤りだけで、この増加を完全には説明できないように思われる。

高線量を被曝した被爆者において癌以外の死因による死亡が増加しているという傾向を確認し、更に、そのような死亡増加が寿命短縮をもたらしているか否かを明らかにするためには、寿命調査対象の部分集団(成人健康調査対象)について2年に1回行う検診で確認される疾患、および寿命調査対象の死亡率に関して追跡調査を更に行うことが必要であろう。

## 緒 言

1950年以降、原爆傷害調査委員会(ABCC)およびその後継機関である放射線影響研究所(放影研)は、原爆放射線の死亡率への影響を究明するために原爆被爆者およびその対照群からなる固定集団、いわゆる寿命調査集団を調査している。その調査結果は定期的に解析されている。最近、1950-85年の寿命調査集団における死亡調査が行われた。これまでにDS86線量を用いた癌死亡率に関する二つの報告が本シリーズの第1部<sup>1</sup> および第2部<sup>2</sup>として出版された。これらは、1) 線量推定方式がT65DRからDS86へ移行したことによる放射線に関する部位別癌死亡率への影響の評価<sup>1</sup>に関するもの、2) 放射線誘発癌にかかわるいくつかの生物学的問題<sup>2</sup>に関するものである。要約すれば、部位別悪性腫瘍が放射線に関連して増加していることが継続的に観察され、追跡調査を継続することによる症例数の増加につれて、これまでに観察されていた因果関係が更に強く裏付けられてきた。しかし、癌以外の死因による死亡率も増加しているか否か、またそれらの死因による寿命短縮が起きているか否かはいまだに明らかでない。1950-78年の癌以外の死因による死亡率に関する以前の解析<sup>3</sup>では、4 Gy(T65DR線量)以上の線量域を除くと、これらの可能性のいずれについても証拠が認められなかった。

本報(本シリーズの第3部)では二つの問題、すなわち、1) 前回までに蓄積されたデータに1979-85年の7年間の死亡を追加し、新しいDS86線量を用いて癌以外の死因による死亡率の線量反応関係の経時的傾向を探り、2) 癌以外の死因による寿命短縮の有無を扱う。

## 方 法

### 本解析で用いる被曝線量および集団

寿命調査拡大集団(LSS-E85)の対象者120,128人のうちT65DR線量<sup>4</sup>が推定できたのは91,228人である。これには原爆時広島・長崎に居なかった者、すなわち“市内不在”(NIC)群の26,517人、および線量(T65DR)が推定できなかった原爆被爆者2,383人は含まれていない。本解析時には、これら91,228人の被爆者のうち計75,991人(83.3%)についてDS86線量推定値が算出されていた。以下ではこれら75,991人をDS86副次群という。被爆者個

人のDS86線量算出については他報<sup>5</sup>に詳述している。要約すれば、広島で爆心地から1,600 m以内に居て(長崎では2,000 m以内)屋外の遮蔽のない状態で被爆し熱傷を負った者、および木造の日本家屋内で被爆し詳細な遮蔽状況が判明している者については、被爆状況のモデル化により線量が直接推定された。用いた方法では、構造的遮蔽物、特定の組織におけるエネルギーの減弱、姿勢、方向、および年齢は考慮に入れているが、木造建物および組織のいずれについても特定の透過率は用いていない。遠距離では、詳細な遮蔽歴がなかった場合、線量が直接算出されている広島・長崎の1,000 m以遠の被爆者から求めた平均透過率を用いて線量を間接的に推定した。<sup>6</sup>以前の寿命調査報告で述べたように、6 Gyを超える遮蔽カーマの推定値は6 Gyで打ち切った。このようにして線量を打ち切った対象者は99人である。関連する疾患の異質性および自然史を考えると、あらゆる組織の代用となり得る適当な単一組織はないと思われるので、すべての解析は遮蔽カーマについて行う。

#### 死亡の確認

日本の法的家族登録制度(戸籍)を照合して死亡を確認するので、死亡確認は完全である。死因は、死亡診断書に基づく人口動態統計死亡票から入手する。原死因はICD(国際疾病分類)によって分類した。(詳細なコード分類と特定の死因による死亡症例数を表1と付表1に示した。)

DS86副次群で1950–85年の間に死亡した計28,737例のうち6,224例が腫瘍によるものであった。そのうち5,936例が悪性腫瘍、288例が良性または性質不詳の腫瘍であった。これらの死亡例と電離放射線との関係はすでに報告されている。<sup>1,2</sup>本解析の対象者は他の死亡例、すなわち腫瘍以外の全疾患による20,777の死亡例である。ただし、これには死因が不明の75例、外因死1,515例および“血液疾患”146例は含まれていない(表1)。血液疾患による死亡の診断の正確性は極めて低く、多くの場合、白血病および悪性リンパ腫が関係している。<sup>3</sup>そのため本解析からは血液疾患による死亡を除外した。したがって本報では“癌以外”という用語は腫瘍と血液疾患を除く全疾患を意味する。本報で解析する人年数および特定の死因による死亡例数は放射線量、性別、原爆時年齢、期間別に付表2～付表8に示した。

#### 統計的方法

我々が用いる統計的方法は、本シリーズの第1部と第2部で述べたものと同じである。<sup>1,2</sup>簡約すると、時間をいくつかの群に区分した生存解析で、相対リスクモデルを用いる。<sup>7</sup>具体的には、当てはめるモデルは次のとおりである。 $i$ を都市、性、被爆時年齢および追跡期間の交差分類における層、 $j$ を被曝線量カテゴリー、 $Y_{ij}$ 、 $PY_{ij}$ および $M_{ij}$ を層 $i$ および線量群 $j$ における死亡数、観察人年、ならびに死亡率とする。

表1. DS86 副次群75,991人中の死因別死亡数(1950-85年)

死因	死亡数	ICD 第9回改訂
全死因	28,737	
外因死	1515	E800-E999
不明	75	
全疾患	27,147	001-799
腫瘍	6224	140-208, 210-239
血液疾患	146	280-289
腫瘍および血液疾患を除く全疾患	20,777	001-799 ただし 140-239, 280-289を除く
感染症	1413	001-139
循環器疾患	11,164	390-459
脳卒中	6202	430-438
心疾患(脳卒中を除く循環器疾患)	4962	390-429, 440-459
呼吸器疾患	2036	460-519
消化器疾患	2149	520-579
その他	4015	

統計学的解析では、人年および死亡数を都市別、性別、11の被爆時年齢カテゴリー別(5歳未満、5-9歳、10-14歳、15-19歳、20-24歳、25-29歳、30-34歳、35-39歳、40-44歳、45-49歳、50歳以上)、7の追跡期間別(1950-55年、1956-60年、1961-65年、1966-70年、1971-75年、1976-80年、1981-85年)および10の放射線量カテゴリー別(0 Gy, 0.01-0.05 Gy, 0.06-0.09 Gy, 0.10-0.19 Gy, 0.20-0.49 Gy, 0.50-0.99 Gy, 1.00-1.99 Gy, 2.00-2.99 Gy, 3.00-3.99 Gy, 4.00 Gy以上)にまとめ、層化した。その結果、3,080個の層が得られた。いくつかの解析では七つの追跡調査期間を更に1950-65年、1966-75年、1976-85年にまとめた。

これらの条件  $ij$  番目の層の死亡率は

$$M_{ij} = M_{i0} RR_{ij}$$

とモデル化されるが、ここで、 $RR_{ij}$  はバックグラウンド死亡率を都市、性、被爆時年齢および被爆後経過期間について補正した、線量群 0 に対する線量群  $j$  の層  $i$  における相対危険度で

ある。更に具体的に言うと,  $RR_{ij}$  は

$$\begin{aligned} RR_{ij} &= 1 + b_1 D_{ij} \\ RR_{ij} &= 1 + b_1 D_{ij}^2 \text{ または} \\ RR_{ij} &= 1 + b_1 D_{ij} + b_2 D_{ij}^2 \end{aligned}$$

とモデル化される。ただし,  $D_{ij}$  は  $ij$  番目のカテゴリーにおける平均線量である。

癌以外の死因による死亡への電離放射線の影響は確率的な性質のものと考える理由はほとんど、または全くないと推測されるので、次の式の線形-閾値モデルも通常の方法でデータに当てはめた。

$$RR_{ij} = \begin{cases} 1 + b_1(D_{ij} - D_T) & D_{ij} > D_T \text{ の場合} \\ 1 & \text{それ以外の場合} \end{cases}$$

ただし  $D_T$  は閾値線量である。閾値を決定するために任意の値について deviance を算出し、それが最小となる値を閾値とした。

放射線影響に対する潜在的修飾要因の影響を調べるために、次の単純なモデルを用いた。

$$\text{Modified } RR_{ij} = 1 + (RR_{ij} - 1) \cdot \exp(\alpha X)$$

ただし  $X$  は都市、性、被爆時年齢、被爆後経過期間などの放射線の影響を修飾する要因である。

死亡数  $Y_{ij}$  は独立した Poisson 確率変数で、期待値が  $E(Y_{ij}) = PY_{ij} \cdot M_{i0} \cdot RR_{ij}$  (ここで観察人年  $PY_{ij}$  は定数として扱う) と仮定して、各パラメータを最尤法で推定した。このような近似をしたのは、得られる尤度関数が、各追跡期間内で一定の階段関数によって近似したハザード関数をもつ生存時間モデルから求めた尤度関数と同じになるという事実による。<sup>7</sup> 様々なモデルを当てはめるのに AMFIT プログラム<sup>8</sup> を用いた。包含関係のあるモデル間の deviance の差異を用いて、線量反応関数へ新たな項を追加することによる適合度の向上を評価した。

## 結果

### 腫瘍および血液疾患を除く全疾患

表2に0線量群と比較した場合の九つの線量群の“腫瘍および血液疾患を除く全疾患”に

表2. 肺癌および血液疾患を除く全疾患による死亡率の相対リスク(対0 Gy比), 1950-85年

死亡数		放射線量(Gy)						検定( <i>p</i> 値) <sup>a</sup>								
		0	0.01-	0.06-	0.10-	0.20-	0.50-	1.00-	2.00-	3.00-	≥4.00	均一性	L	LQ <sup>b</sup>	Q	LT
合 計	20,777	1.0	1.03	0.97	0.97	0.97	0.96	1.15	0.96	1.13	1.16	1.38	0.02	0.06	0.004 (-, +*)	0.007 0.003
都 市																
広 島	14,436	1.0	1.03	0.96	0.96	0.96	0.96	1.00	0.96	1.17	1.01	1.53	0.01	0.07	(-, +*)	0.006 0.003
長 崎	6341	1.0	1.03	0.99	1.04	0.99	1.11	0.93	0.96	2.34	1.08	0.43	0.53	0.79	(+, +)	0.50 0.41
性																
男 性	9344	1.0	1.03	0.94	0.95	0.96	0.98	0.95	1.05	1.17	1.60	0.03	0.06	0.004 (-, +**)	0.003 0.002	
女 性	11,433	1.0	1.03	0.99	0.99	0.97	1.04	0.97	1.21	1.13	1.07	0.66	0.48	0.77	(+, -)	0.55 0.40
被曝年齢																
<10	324	1.0	0.80	0.78	1.20	1.25	0.76	0.46	1.46	1.29	1.35	0.31	0.83	0.95 (-, +)	0.76 0.49	
10-19	814	1.0	1.06	1.03	0.73	0.94	1.07	1.07	0.62	0.81	2.21	0.28	0.35	0.20 (-, +)	0.13 0.18	
20-29	929	1.0	0.97	0.80	0.92	0.98	0.74	1.07	0.94	0.72	2.03	0.48	0.43	0.16 (-, + <sup>Sug</sup> )	0.13 0.16	
30-39	2441	1.0	1.12	1.09	1.05	0.84	1.26	0.94	1.87	1.47	1.81	0.002	0.01	0.02 (+, +)	0.006 0.003	
40-49	5995	1.0	1.07	0.97	0.99	1.05	1.07	1.07	1.22	0.95	1.28	0.37	0.14	0.27 (+, -)	0.34 0.36	
>50	10,274	1.0	1.00	0.96	0.95	0.95	0.96	0.89	0.95	1.45	1.10	0.39	0.58	0.16 (- <sup>Sug</sup> , + <sup>Sug</sup> )	0.66 0.36	
期 間																
1950-55	2901	1.0	1.07	0.95	0.91	0.92	0.99	0.74	0.97	1.49	1.46	0.09	0.91	0.04 (-, +*)	0.30 0.13	
1956-60	2999	1.0	0.97	0.93	0.93	1.06	0.71	0.94	0.88	1.08	1.10	0.07	0.41	0.20 (-, + <sup>Sug</sup> )	0.97 0.80	
1961-65	2969	1.0	1.12	0.96	1.01	1.00	1.20	0.87	1.07	1.24	1.52	0.08	0.47	0.60 (-, +)	0.33 0.25	
1966-70	2958	1.0	1.03	0.86	0.97	1.04	0.94	1.18	1.23	0.96	1.21	0.49	0.24	0.46 (+, -)	0.42 0.54	
1971-75	2988	1.0	0.97	0.95	0.95	0.92	1.16	1.02	1.13	1.04	1.45	0.48	0.11	0.28 (+, -)	0.18 0.22	
1976-80	3057	1.0	0.94	1.01	1.05	0.82	0.96	0.98	1.34	1.00	1.34	0.11	0.37	0.35 (-, +)	0.18 0.14	
1981-85	2905	1.0	1.11	1.11	0.94	1.03	1.17	0.97	1.30	1.27	1.59	0.14	0.12	0.28 (+, +)	0.12 0.11	

<sup>a</sup>パターンを特定しない10の線量群の均一性、当てはめた線形(L)、線形-二次(LQ)、二次(Q)、線形-閾値(LT)モデルの有意性。閾値線量は1.5 Gyと仮定した。

<sup>b</sup>LQの括弧内の符号は線形および二次項の回帰係数の符号である。これら係数の統計的有意性についても示した。<sup>Sug</sup>  $p < .10$  \*  $p < .05$  \*\*  $p < .01$

による死亡率の相対リスクを都市、性、被爆時年齢、期間別に示した。線量区分間の推定相対リスクの均一性および線形(L)、線形-二次(LQ)、二次(Q)、または1.5 Gyの閾値線量をもつ線形-閾値(LT)モデルに基づく線量反応の有意性に関する統計的検定の結果も示した。相対リスクは、1950-85年の全期間で両市、男女、全被爆時年齢群を合わせた場合、最も高い線量域(2 Gy以上)で高くなる傾向を示した(図1)。統計的には、LQモデルは、Lモデルよりも有意によく適合したが、Qモデルの適合度とはあまり変わらない。これらの検定は、LQモデルにおける二次項および一次項の係数の検定に、それぞれ対応している(表2)。LモデルとQモデルの適合度の比較では、QモデルがLモデルよりも、よりよく適合しているが、LモデルとQモデルは包含関係がないので、統計的に検定できない。LTモデルの適合度の検定では、閾値として1.5 Gyを仮定したが、閾値を仮定しないで、推定したLTモデルは、有意( $p = 0.01$ )であった。その推定値は1.4 Gyで90%信頼区間は、0.6-2.8 Gyであった。このLTモデルは、単純なLモデルに比べ、適合度はよりよくなれる( $p = 0.02$ )。これらの結果は、線量反応関係が非線型であり、死亡率の増加が、主として高線量域で起きていることを示している。

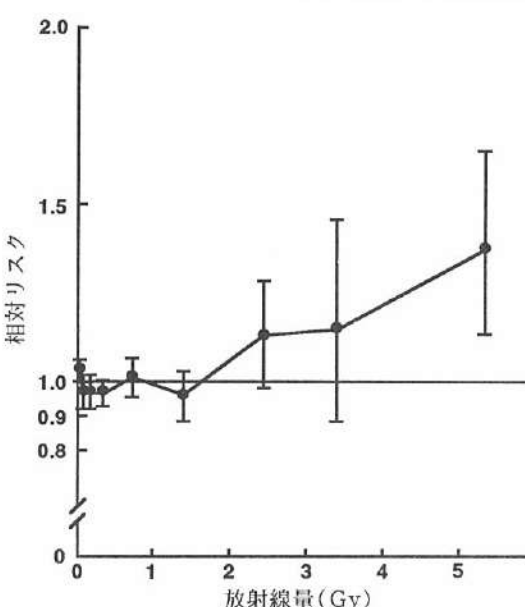


図1. 腫瘍および血液疾患を除く全疾患による死亡率の線量反応曲線、両市、男女、全被爆時年齢、1950-85年。縦線は相対リスクの90%信頼区間を示す。

表2の推定相対リスクは都市および男女間の差異を示唆している。しかし男女および都市間の統計的比較では、いずれの場合もこの差異の有意性は見られない。被爆時年齢群別の線量反応もまた、高線量域で相対リスクが高い傾向を示唆しているが、被爆時年齢が30-39歳の者についてのみ統計的に有意である。三つの10歳ごとの年齢群、すなわち0-9歳、10-19歳、20-29歳群を合わせた被爆時年齢30歳以下の被爆者に関する解析では、Q( $p = 0.03$ )およびLT( $p = 0.04$ )モデルでリスク増加が統計的に有意である。更に、被爆時年齢40歳以上の群に比べて40歳未満の群の方がリスクが有意に高いことが認められた。

表3および図2に二つの被爆時年齢群、すなわち40歳未満群と40歳以上群内での三つの連続期間(1950-65年、1966-75年、1976-85年)における“腫瘍および血液疾患を除く全疾患”による死亡率の線量反応曲線を示した。表3および図2に示すように、被爆時年齢

表3. 被爆時年齢および期間によって分類した群の腫瘍および血液疾患を除く全疾患による死亡率の  
相対リスク(対0 Gy比), 1950-85年(両市・男女)

被曝時 年齢	期 間	死 亡 数	放射線量(Gy)										検定(β値) <sup>a</sup>				
			0 0.05	0.06 0.09	0.10 0.19	0.20 0.49	0.50 0.99	1.00 1.99	2.00 2.99	3.00 3.99	≥4.00	均一性 L	LQ <sup>b</sup>	Q	LT		
∞	<40	1950-65	1399	1.0	1.06	0.96	0.94	1.14	0.95	1.00	1.12	0.97	1.14	0.94	0.67	0.85 (+, -)	
	1966-75	1159	1.0	1.04	0.71	1.13	0.77	1.22	0.94	1.14	0.92	2.08	0.02	0.15	0.14 (-, +)	0.06 0.07	
	1976-85	1950	1.0	1.03	1.16	0.91	0.84	1.01	0.95	1.52	1.31	2.56	0.006	0.01	0.001 (-, +**)	0.0005 0.0003	
∞	≥40	1950-65	7470	1.0	1.05	0.94	0.95	0.97	0.94	0.83	0.93	1.39	1.41	0.02	0.73	0.005 (-**, +**)	0.22 0.08
	1966-75	4787	1.0	0.99	0.96	0.93	1.03	1.02	1.04	1.14	1.19	1.04	1.06	0.72	0.16	0.16 (+ <sup>Sug.</sup> , -)	0.62 0.76
	1976-85	4012	1.0	1.01	1.00	1.03	0.96	1.08	0.98	1.18	1.01	0.85	0.96	0.91	0.74 (+, -)	0.75 0.79	

<sup>a</sup>パラーンを待定しない10の線量群の均一性, 当てはめた線形(L), 線形-二次(LQ), 二次(Q), 線形-閾値(LT)モデルの有意性。閾値線量は1.5 Gyと仮定した。

<sup>b</sup>LQの括弧内の符号は線形および二次項の回帰係数の符号である。これら係数の統計的有意性についても示した。<sup>Sug.</sup>p<.10 \*p<.05 \*\*p<.01

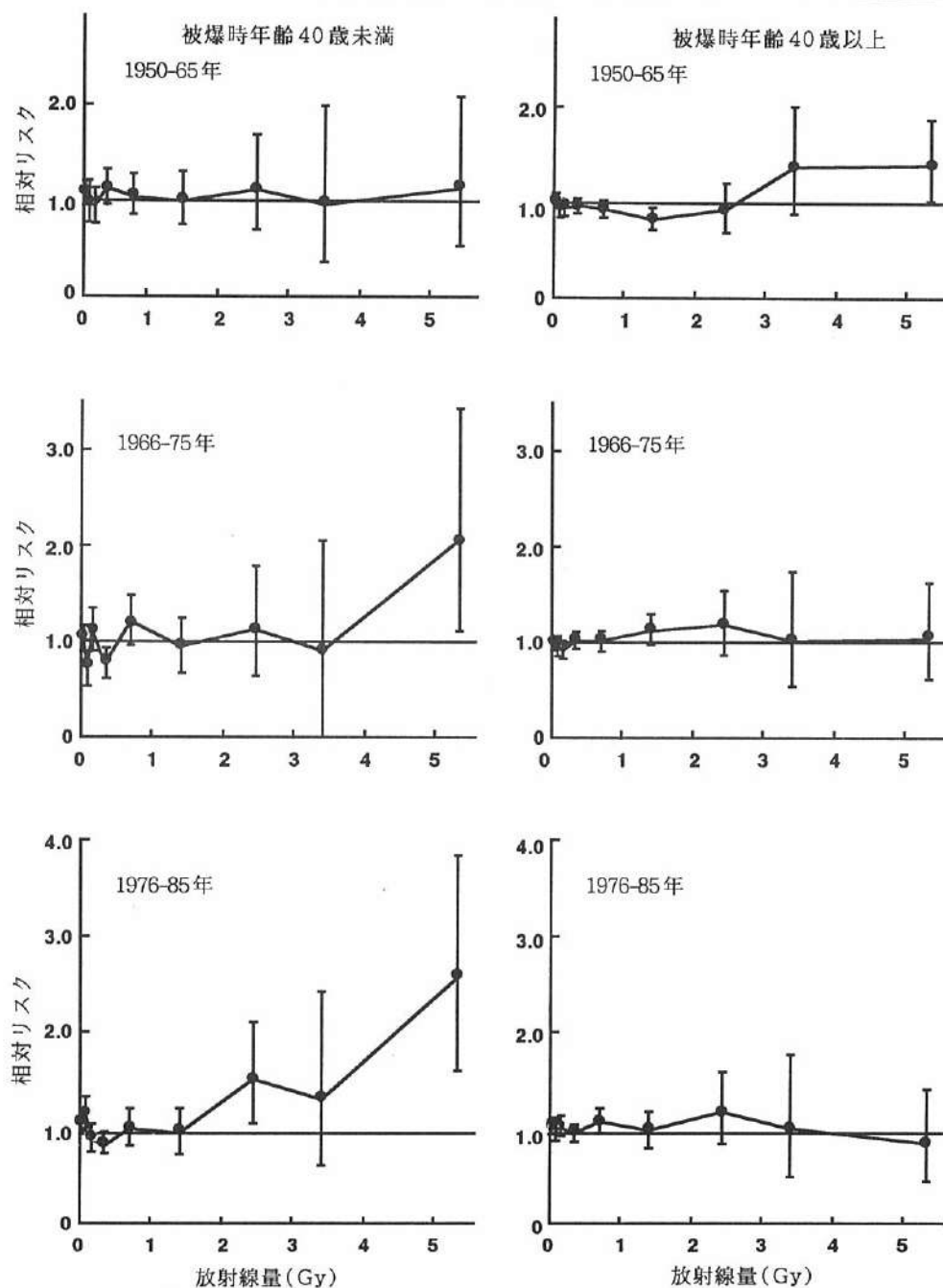


図2.腫瘍および血液疾患を除く全疾患による死亡率の線量反応曲線、被爆時年齢および期間別。縦線は相対リスクの90%信頼区間を示す。

が40歳未満の群では、最近の期間(1976-85年)で増加の傾向が認められている。この期間では単純なLモデルよりも非線形モデル(LTまたはQモデル)の方がよく適合するようである。しかし最初の期間(1950-65年)では、被爆時年齢が40歳以上の群の線量反応曲線はU字型である。(すなわち低線量では負の下降傾向、高線量では上昇傾向である。)

表4に被爆時年齢が40歳未満の群と40歳以上の群についてそれぞれ期間別の回帰係数の変化を示した。40歳未満の群のQモデルおよびLTモデルの係数は時間が後になるほど大きくなる傾向がある。三つの期間の係数の差異は有意でないが、二つの期間のみ(1965年までと1966年以降)を用いると、QモデルおよびLTモデルの両方についてその差異は統計的有意差を示唆している( $p = 0.06$ )。被爆時年齢が40歳以上の群のLQモデルの係数は三つの期間で有意に異なっていた。これは1965年までと1966年以降の差異による。1965年以前では、線形の項では負の下降傾向があり、二次の項では上昇傾向が認められるが、これは低線量ではリスクが低下し高線量ではリスクが増大していることを示している。1966年以降は放射線の影響は認められない。1965年までの期間を更に5年の間隔に分け、被爆時年齢が40歳以上の群を40-49歳と50歳以上に分けると、U字型線量反応の下降傾向は1950-60年の期間で被爆時年齢が50歳以上の群で大きくなっている(付表9)。

上記のとおり、年齢および期間別の解析から、線量反応パターンは被爆時年齢および観察期間により異なることが示された。これらの所見から、我々はデータ全体に様々な“混合”統計モデルを当てはめる別の解析も行った。このモデルでは、初期での線量反応はLQモデルに適合し、最近の期間ではQモデルが適合するが、係数は被爆時年齢によって異なると仮定した。

単純化のために、観察期間および被爆時年齢を区分けした。観察期間を1965年以前と1966年以降1985年までに分け、被爆時年齢を40歳未満と40歳以上に分けた。LQ線量反応は、1965年以

表4. 期間別回帰係数の変化

期間	被爆時年齢40歳未満				被爆時年齢40歳以上		
	Q	Test	LT	Test	LQ	Test	
	$\alpha_1$	$\alpha_2$					
1950-65	0.0028		0.0249		-0.1589	0.0468	
1966-75	0.0310	0.13	0.2152	0.10	0.1249	-0.0248	0.008
1976-85	0.0508		0.3977		0.0482	-0.0132	

注：これは三つの期間の係数の均一性の検定である。二次(Q)モデル： $RR = 1 + \alpha_1 d^2$ 、ただし $d$ の単位はグレイである。線形-閾値(LT)モデル： $RR = 1 + \alpha_1(d - 1.5)$ ；線形-二次(LQ)モデル： $RR = 1 + \alpha_1 d + \alpha_2 d^2$

前で被爆時年齢40歳以上の群よりも1960年以前の期間で被爆時年齢50歳以上の群の方がデータによく当てはまつたので、1960年および被爆時年齢50歳も区分点として用いた。

付表10に回帰分析の結果を示した。それらのデータは、初期において、リスクはL項が有意に負でQ項が有意に正のLQモデルに従い、それは、被爆時年齢が高い群によることを裏付けている。しかし、後期においては、Qモデルがデータによく適合し、最近のリスクの増大は被爆時年齢が低い群によると思われる。我々の選択したモデル(付表10のモデル5-4)は、下記のとおりである。

$$\text{被爆時年齢 } 40 \text{ 歳未満, 1950-65 年 } RR = 1 + 0.0606d - 0.0112d^2$$

$$\text{被爆時年齢 } 40 \text{ 歳以上, 1950-65 年 } RR = 1 - 0.1597d + 0.0469d^2$$

$$\text{被爆時年齢 } 40 \text{ 歳未満, 1966-85 年 } RR = 1 + 0.0425d^2$$

$$\text{被爆時年齢 } 40 \text{ 歳以上, 1966-85 年 } RR = 1 + 0.0008d^2$$

付録図1に、モデル5-4を基にした四つの線量反応曲線を示した。

LQモデルは1960年以前および被爆時年齢50歳以上でデータに最も適合し、Qモデルは1966年以降および被爆時年齢40歳未満で最適であるが、データを二つの区分(すなわち1960年以前と1961年以降または1965年以前と1966年以降の期間、被爆時年齢40歳未満と40歳以上または50歳未満と50歳以上)に分けたモデル以上に、三つの区分のモデル(期間:1960年以前、1961-65年、1966-85年、被爆時年齢:40歳未満、40-49歳、50歳以上)がよく適合したということはなかった。つまり、データを二つ(少ない区分)に分割したモデルも三つの区分のモデルと同程度に適合した(付表10のモデル5-4, 5-5, 6-4, 6-5)。

#### 疾患別観察

必ずしも統計的に有意ではないが、特定疾患の線量反応曲線は、概して“腫瘍および血液疾患を除くすべての疾患”と同様である。全期間では非線型であり、また過剰死亡率は主に最近の期間での被曝時年齢の低い群における死亡に起因している。初期には、U字型線量反応(低線量で下降傾向、高線量で上昇傾向)が被爆時年齢の高い群について認められた。

腫瘍および血液疾患を除く死亡のうち、特定の疾患による死亡の相対リスクおよび線量反応の統計的有意性検定の結果を、全期間における都市、性、被爆時年齢合計について表5に示した。また“腫瘍および血液疾患を除く全疾患”で過剰死亡のみられた1966-85年間の被爆時年齢40歳未満について表6に示した。図3に“最近の期間での若年被曝群”と“初期の期間での被曝時年齢の高い群”的両方の群について、線量反応を示した。被曝時年齢および観察

期間によるリスクの変化に関するモデルの統計的検定結果は付表 11 に示した。

### 感染症

1965 年以前の被爆時年齢 40 歳以上の群では下降傾向は統計的有意差を示唆していたが、感染症の死亡率が線量に関連している傾向を示す証拠はデータ全体からは認められず、線量反応は被爆時年齢、性、追跡期間によって変化しない(図 3)。感染症による死亡の大部分を占める結核の死亡率には、放射線量との関係は認められなかった。(データは表に示していない。)

### 循環器疾患

1950–85 年の循環器疾患による死亡率は、線量との有意な関連を示した。脳卒中による死亡率にはそのような関連は認められなかったが、脳卒中以外の循環器疾患(ここでは心疾患とした)は全期間で有意な傾向を示した(表 5)。しかし後期(1966–85 年)になると被爆時年齢が低い群(40 歳未満)では、循環器疾患全体の死亡率ならびに脳卒中または“心疾患”的死亡率は、線量と有意な関係を示し、線量反応曲線は純粋な二次または線形–閾値型を示した(表 6)。“心疾患”群のうち最も死亡数が多い“冠状動脈性心疾患”的死亡率は、同じ期間・同じ被爆時年齢区分の“心疾患”と同じ傾向を示している(表 6)。

“腫瘍および血液疾患を除く全疾患”による死亡率に認められたように、被爆時年齢および観察期間によるリスクの差が、循環器疾患全体、および脳卒中、“心疾患”でも観察された。最近の期間における被爆時年齢の低い群で Q モデル、初期における被爆時年齢の高い群で U 字型の線量反応を仮定する混合モデルは、全期間で Q モデルと仮定するよりも、循環器疾患全体および脳卒中で、有意によい適合を示した(付表 11)。脳卒中は、初期における U 字型線量反応が顕著であり、後期における過剰は心疾患に大きい(表 6、図 3)。

### 呼吸器疾患

呼吸器疾患による死亡率は全期間で非線型の線量反応を示す(表 5)。後期の係数が初期の係数より大きくなる傾向はあるが、この線量反応は追跡期間によって変わらない。しかし、1966–85 年の被爆時年齢 40 歳のこの線量反応は統計的に有意でない。

### 消化器疾患

1950–85 年の消化器疾患の死亡率には、線量に伴う有意な增加傾向が認められる(表 5)。この傾向は後期の被爆時年齢が低い群で認められる(表 6)。消化器疾患のうち、肝硬変の死亡率は消化器疾患全体と同じ線量反応を示している(表 6)。初期の被爆時年齢が高い群の消

表5. 主な死因による死亡率の死亡数および相対リスク(対0 Gy), 1950-85年(都市および男女合計)

死 因	死亡数	放射線量(Gy)						検定( <i>p</i> 値) <sup>a</sup>				
		0	0.01-0.06	0.10-	0.50-	2.00-	3.00-	≥4.00	均一性 L	LQ <sup>b</sup>		
腫瘍および血液疾患を除く全疾患	No.	20,777	9490	5159	1109	1411	1796	1032	506	149	45	80
	RR	1.00	1.03	0.97	0.97	1.15	0.96	1.13	1.16	1.38	0.02	0.06
感染症	No.	1413	651	367	64	85	126	64	38	10	5	3
	RR	1.00	1.12	0.90	0.96	1.11	0.98	0.98	0.95	1.49	0.63	0.59
循環器疾患	No.	11,164	5025	2767	605	775	981	590	273	85	20	43
	RR	1.00	1.03	0.98	0.99	0.98	1.08	0.98	1.24	1.00	1.43	0.10
脳卒中	No.	6202	2816	1551	314	443	538	307	156	45	7	25
	RR	1.00	1.04	0.92	1.01	0.97	1.01	1.00	1.18	0.64	1.49	0.24
心疾患	No.	4962	2209	1216	291	332	443	283	117	40	13	18
	RR	1.00	1.03	1.07	0.96	1.00	1.18	0.95	1.32	1.45	1.36	0.11
呼吸器疾患	No.	2036	888	528	135	162	150	95	45	17	4	12
	RR	1.00	1.14	1.26	1.19	0.87	1.02	0.91	1.46	1.15	2.19	0.002
消化器疾患	No.	2149	1002	510	105	142	194	98	63	14	8	13
	RR	1.00	0.98	0.87	0.94	1.01	0.92	1.10	0.93	1.76	2.00	0.28
その他	No.	4015	1924	987	200	247	345	185	87	23	8	9
	RR	1.00	0.95	0.86	0.83	0.91	0.89	0.83	0.88	1.05	0.81	0.10

<sup>a</sup>、パターンを特定しない10の線量群の均一性、当てはめた線形(L)、線形-二次(LQ)、二次(Q)、線形-閾値(LT)モデルの有意性。閾値線量は1.5 Gyと仮定した。

<sup>b</sup>LQの括弧内の符号は線形および二次項の回帰係数の符号である。これら係数の統計的有意性についても示した。*Sug*, *p*<10; \**p*<.05

図3. 特定疾患の線量反応曲線、1966–85年、被爆時年齢40歳未満、および1950–65年、被爆時年齢40歳以上。綫図は相対リスクの90%信頼区間を示す。

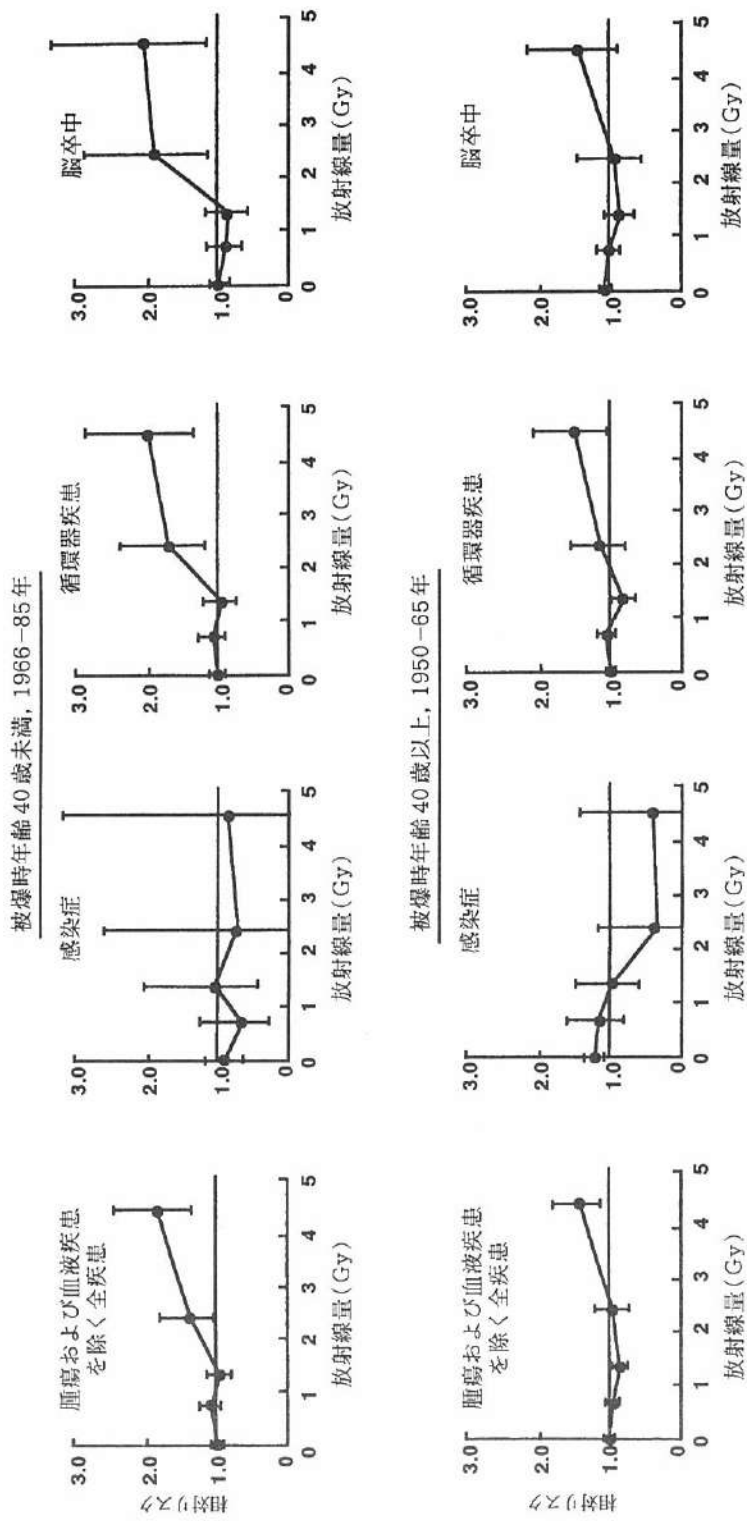


図3. つづき

被爆時年齢40歳未満、1966-85年

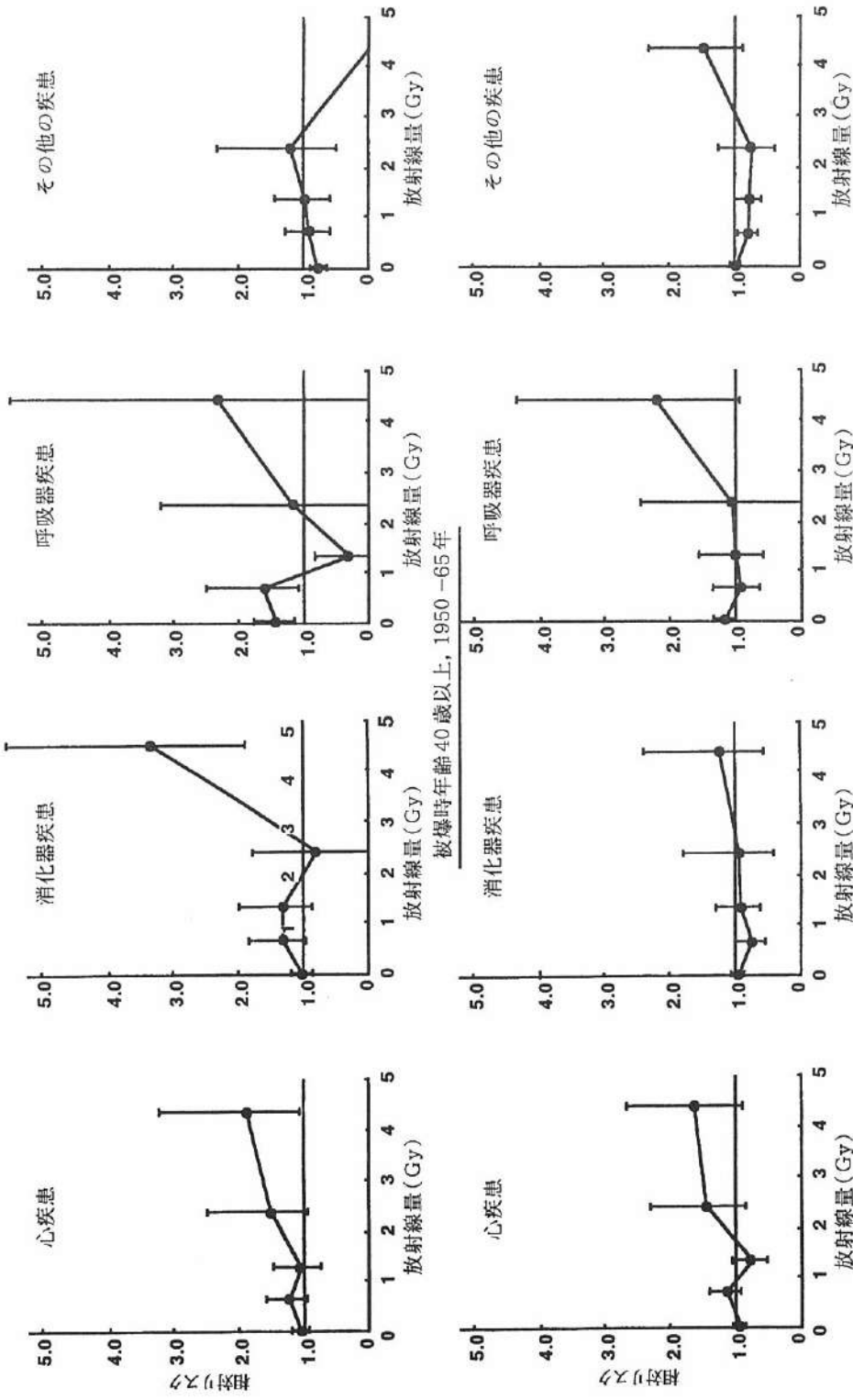


表 6. 被爆時年齢40歳未満の主な死因による死亡率の相対リスク(対0 Gy), 1966-85年(都市および男女合計)

死 因	死 亡 数	放射線量(Gy)			検定( <i>p</i> 値) <sup>a</sup>					
		0	0.01- 0.49	0.50- 0.99	1.00- 1.99	2.00- 2.99	≥3.00	均一性 L	LQ <sup>b</sup>	Q
腫瘍および血液疾患を除く全疾患	3109	1.0	0.98	1.09	0.95	1.37	1.83	0.01	0.0004	0.0002 (-, +*)
循環器疾患	1764	1.0	1.00	1.06	0.94	1.69	1.98	0.03	0.02	0.002 (-, +*)
脳卒中	884	1.0	0.97	0.89	0.84	1.88	2.04	0.08	0.11	0.007 (- <sub>Sug</sub> , +**)
心疾患	880	1.0	1.04	1.24	1.06	1.52	1.92	0.28	0.07	0.12 (-, +)
冠状動脈性心疾患	363	1.0	1.35	1.25	0.92	2.57	2.38	0.03	0.11	0.14 (-, +)
呼吸器疾患	276	1.0	1.40	1.64	0.31	1.18	2.33	0.007	0.43	0.26 (-, +)
消化器疾患	455	1.0	0.96	1.29	1.29	0.76	3.33	0.021	0.002	0.005 (+, +)
肝硬変	281	1.0	0.90	1.39	1.15	1.16	3.93	0.02	0.003	0.005 (+, +)

<sup>a</sup>パターンを特定しない六つの線量群の均一性、当てはめた線形(L)、線形-二次(LQ)、二次(Q)、線形-閾値(LT)モデルの有意性。閾値線量は1.5 Gyと仮定した。

<sup>b</sup>LQ の括弧内の符号は線形および二次項の回帰係数の符号である。これら係数の統計的有意性についても示した。<sub>Sug</sub> *p*<10; \**p*<.05; \*\**p*<.01

化器疾患の線量反応曲線は“腫瘍および血液疾患を除く全疾患”と類似している(図3)。統計的には、初期ではLQ、後期ではQの線量反応を仮定するモデルは、全期間でのQモデルよりよく適合している。この期間依存モデルは被爆時年齢によって変わらない(付表11)。

### その他の疾患

このカテゴリーは様々な疾患を含む。老衰による死亡が多数を占める。“その他の疾患”による死亡は全期間では放射線量との関係は認められない(表5)。しかし、初期の線量反応はLQモデルに従い、L項は有意に負でQ項は有意に正である。後期では、負の線量反応が認められるが、線量に伴う傾向を示す統計的に有意な証拠はない(図3)。

### 腫瘍および血液疾患を除く全疾患による死亡リスク推定値

癌のリスクとの比較をするために、全対象者および1966-85年の被爆時年齢40歳未満の者について“腫瘍および血液疾患を除く全疾患”的リスクの尺度の総括すなわち、2 Gyでの相対リスク、 $10^4$  PYGy、寄与リスク(%)を示した(表7)。

相対リスクおよび寄与リスクは癌に比べかなり低く、1.4 Gy未満の線量域では過剰死亡がないことを反映して、自然死亡が高いにもかかわらず過剰死亡数はかなり低かった。

表7. 線形-閾値モデルに基づく“腫瘍および血液疾患を除く全疾患”による死亡率のリスク推定値、閾値線量を1.4 Gyと仮定

死因	2 Gyでの推定 相対リスク	$10^4$ PYGy当たりの 過剰死亡	寄与リスク (%) <sup>a</sup>
腫瘍および血液疾患を除く全疾患			
合計	1.06(1.02, 1.09)	1.18 <sup>b</sup> (0.51, 1.19)	0.36(0.16, 0.59)
被爆時年齢： $< 40$ 期間：1966-85年	1.19(1.10, 1.29)	1.69(0.90, 2.62)	1.49(0.79, 2.30)
全悪性腫瘍 <sup>c</sup>	1.78(1.64, 1.92)	10.00(8.36, 11.8)	10.2(8.50, 12.0)
白血病	8.84(6.78, 11.8)	2.29(1.18, 2.73)	55.4(45.7, 66.3)
白血病以外の全悪性腫瘍	1.58(1.46, 1.72)	7.41(5.83, 9.08)	7.86(6.19, 9.64)

括弧内は90%信頼区間。

<sup>a</sup>0.01 Gy以上(平均0.295 Gy)に被曝した41,719人の対象者に基づく。

<sup>b</sup>線形閾値モデルについては過剰死亡は線量に依存する。(すなわち線量が $\leq 1.4$  Gyのときは過剰死亡は0,  $> 1.4$  Gyのときは3.26であり、平均は1.18である。)

<sup>c</sup>リスク推定値は全対象者について線形モデルに基づいて行われた。<sup>2</sup>

ちなみに、線量が 1.4 Gy 以下では過剰死亡は 0 であり、線量が 1.4 Gy より高いと 3.26 であった。また集団全体では、平均は 1.18 であった。

### 寿命短縮

寿命調査集団の死亡率解析がこれまでのように進められてきたのは、癌以外の死因による寿命の短縮にも関心があったためでもある。そのような寿命短縮を最も顕著に示すものは、全疾患、特に人生の後半に特有の疾患による年齢別死亡率の増加であろう。年齢別死亡率の対数である Gompertz 関数は、成人の多くの慢性疾患による死亡率を適切に表すことが判明している。年齢別死亡率の対数は直線になり、寿命短縮は Gompertz 関数の上昇によって示唆される。2 Gy 以上の被爆者の癌および血液疾患を除く全病死因(外因死を除く)に基づく Gompertz 関数を対照群(0 Gy)と比較すると、放射線が誘発した寿命短縮は、腫瘍の誘発のみではなく、他の全病死因にも起因していることが分かる(図 4)。後者の証拠は、0 Gy 群に比べ  $\geq 2$  Gy 群で死亡率が一貫して著しく高い若年被爆群で特に明らかである(図 5A)。三つの期間、すなわち 1950–65 年、1966–75 年、1976–85 年(図 5B)に分けて被爆時年齢が 40 歳未満の群を観察すると、2 Gy 以上での死亡率の明らかな増加は 1966 年までは認められず、被爆時年齢が 40 歳以上の群では、初期、すなわち 1950–65 年で(50 歳以上の死亡に)わずかな増加が認められる。

寿命短縮は余命が短縮した年数で表す。我々はこれを平均余命の短縮で表した。2 Gy 以上に被爆した者の“腫瘍および血液疾患を除く全疾患”の過剰死亡に起因する平均余命の短縮に関する調査結果を表 8 に示した。参考のために、同じ対象者( $\geq 2$  Gy)の悪性腫瘍による平均余命の短縮も示した。平均余命の短縮は被爆群と非被爆群の平均余命の差として定義する。非被爆者の平均余命は 1985 年の日本人の生命表を用いて算出した。2 Gy 以上の被爆者(平均 3.3 Gy)については、過剰相対リスクが全年齢および男女を通して一定であると仮定した。過剰相対リスクは、“腫瘍および血液疾患を除く全疾患”が 0.10、悪性腫瘍が 1.29 であった。<sup>2</sup> “腫瘍および血液疾患を除く全疾患”の 0 歳の男性の平均余命の短縮は 0.4 年と算出されたが、悪性腫瘍では 3 年であった。

表 8. 2 Gy 以上(平均線量 3.3 Gy)に被曝した者の平均余命短縮の推定(年)

性別	被爆時年齢							
	0	10	20	30	40	50	60	70
<b>腫瘍および血液疾患を除く全疾患</b>								
男性	0.42	0.42	0.42	0.40	0.37	0.30	0.21	0.06
女性	0.32	0.31	0.31	0.30	0.28	0.25	0.18	0.05
<b>悪性腫瘍</b>								
男性	2.91	2.90	2.87	2.79	2.55	1.92	1.03	0.17
女性	2.17	2.16	2.12	1.99	1.71	1.27	0.68	0.12

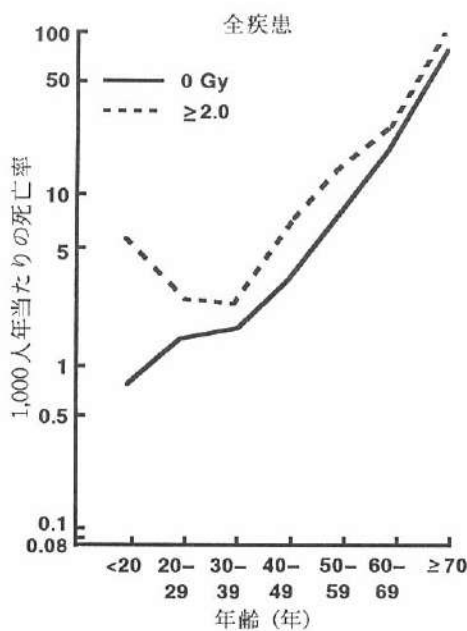
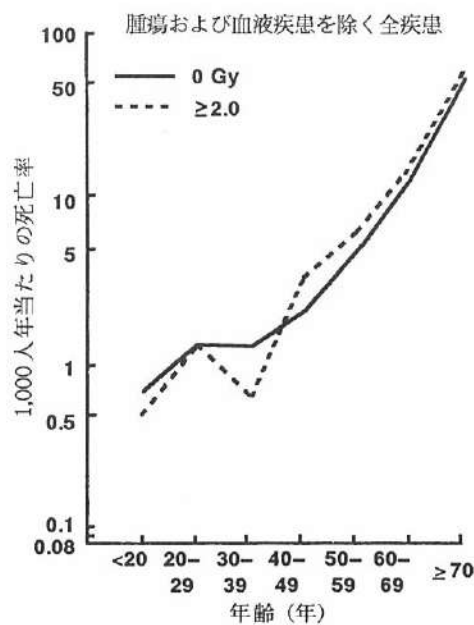
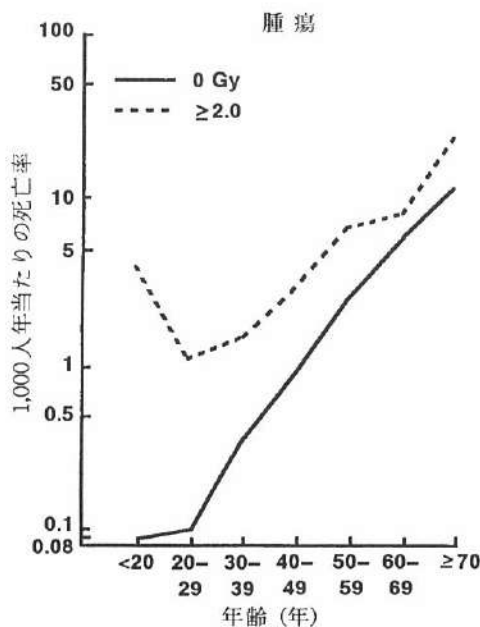


図4. 全疾患, 腫瘍, 腫瘍および血液疾患を除く全疾患の年齢別死亡率, 放射線量別



癌以外の死因による死亡の線量反応は癌による死亡の誤診の結果であるのか

以前述べたとおり、血液疾患について認められた過剰死亡率は、主に死因の誤診によるもの、すなわち白血病症例を誤ってこのカテゴリーに入れたことによるものであった。腫瘍および血液疾患を除く全疾患についても、誤って分類した放射線関連の癌症例を含めることにより、偽の正の線量反応が起こり得る。(a) 実際に癌以外の死因による死亡には放射線に誘発された過剰はないが、(b)過剰癌リスクが線量に伴い増加するにつれて誤診の癌症例数も増加した、と仮定した場合に期待される死亡率と、癌以外の死因による死亡率の観察相対リスクを比較し、この可能性を調査した。

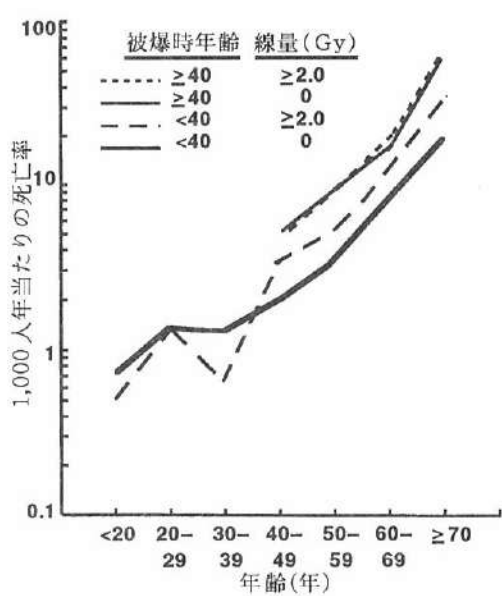


図 5A. 腫瘍および血液疾患を除く全疾患の年齢別死亡率、放射線量および被爆時年齢別

表9に、腫瘍および血液疾患を除く全疾患による死亡のうち剖検で認められた癌の割合を示した。剖検時に癌による死亡であることが判明した癌以外の死因による死亡の割合は合計で10%である。この割合は線量に伴い増加したが統計的には有意でなかった。癌以外の死亡診断書症例のうちの癌の割合が10%(<1 Gy)から18%(>1 Gy)に増加するのは、 $\geq 1$  Gy(平均線量は2.1 Gy)の放射線誘発癌の観察相対リスク1.8から期待される増加とほぼ同程度である。これは分類上の誤りの確率は線量に依存しないが、誤りの期待数が癌の相対リスク増加に伴い増加することを示唆している。表10に癌以外の死因による死亡のうち剖検で癌と判明した割合を死因別に示した。その割合は5.5%(脳卒中)から19.8%(肝硬変)に及んでいる。

癌以外の死亡例には放射線に関連する過剰がないと仮定し、次のように癌が誤って癌以外の死因であると診断された場合の、癌以外の死因による死亡の相対リスクを算出した。

$$1 + (\text{癌の過剰相対リスク}) \times (\text{癌以外の死亡例に占める癌の割合})$$

誤診のみに基づく期待相対リスクを算出するために、本シリーズの第2部<sup>2</sup>で報告した全癌症例の相対リスク、すなわち1 Gy, 2 Gy, 3 Gyで各々1.4, 1.8, 2.2という値を用いた。剖検例にも被爆者が含まれていることを考慮に入れて、全剖検例に占める癌の割合9.9%を補

図5B. 腫瘍および血液疾患を除く全疾患の年齢別死亡率, 放射線量, 被爆時年齢, 期間別

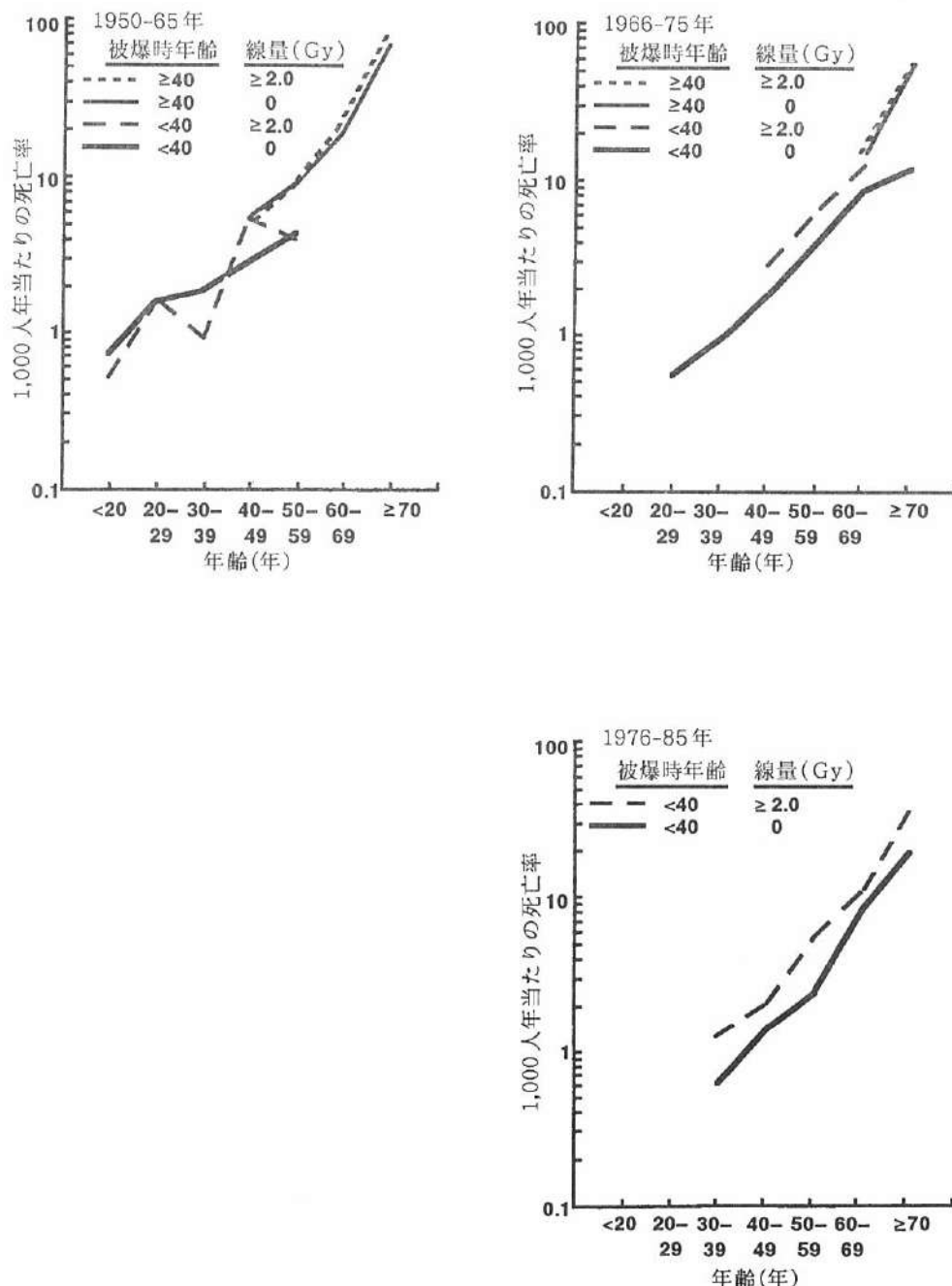


表9. 癌以外の死亡診断書症例の剖検結果、腫瘍および血液疾患を除く全疾患

放射線量(Gy)	死亡数	剖検数	剖検率(%)	剖検で発見された癌	
				例 数	%
合 計	20,777	2610	12.6	251	9.6
0	9490	908	9.6	102	11.2
0.01-0.99	10,507	1561	14.9	124	7.9
1.00-1.99	506	93	18.4	19	20.4
≥2.00	274	48	17.5	6	12.5
					17.7

表10. 死亡診断書に癌以外の死因によると記載された死亡のうち剖検で癌と診断された者の比率

死 因	死亡数	剖検数	剖検で発見された癌	
			例 数	%
腫瘍および血液疾患を除く全疾患	20,777	2610	251	9.6
循環器疾患	11,164	1368	84	6.1
脳卒中	6202	798	44	5.5
心疾患	4962	570	40	7.0
呼吸器疾患	2036	244	31	12.7
消化器疾患	2149	308	59	19.2
肝硬変	697	121	24	19.8

注：感染症およびその他の疾患のデータは挙げていない。

表11. 癌以外の死亡に過剰がないと仮定した場合の放射線誘発癌の誤診のみに基づく癌以外の死因による死亡の相対リスク

死 因	相対リスク		
	1 Gy	2 Gy	3 Gy
腫瘍および血液疾患を除く全疾患	1.04 (1.04)	1.07 (1.17)	1.11 (1.38)
循環器疾患	1.02 (1.05)	1.05 (1.21)	1.07 (1.46)
脳卒中	1.02	1.04	1.07
心疾患	1.03	1.05	1.08
消化器疾患	1.07 (1.09)	1.14 (1.38)	1.22 (1.86)
肝硬変	1.07	1.15	1.22

括弧内は付表10および11のモデル5-4に基づく癌以外の死因による死亡率の推定相対リスク、被爆時年齢40歳未満、1966-85年。付表10, 11のモデル5-4は次のとおりである。

$$RR = 1 + \alpha_{ij} \cdot d \cdot I(T \leq 1965) + \alpha_{ij} \cdot d^2 + \alpha_{sj} \cdot d^2 \cdot I(T \leq 1965)$$

ただし、 $j$ は被爆時年齢カテゴリーで、 $d$ の単位はグレイ。 $I(T \leq 1965)$ は、1950-65年では1、1966-85年では0。

正した(1.067で割った)。[剖検例の分布は0 Gy, 0.01–0.99 Gy, ≥1 Gy で0.5, 0.45, 0.05。これらの線量区分の平均線量は0, 0.15, 2.1 Gy であり、線形線量反応に基づく癌の相対リスクは1.0, 1.06, 1.8である。したがって、 $(0.5 \times 1) + (0.45 \times 1.06) + (0.05 \times 1.8) = 1.067$ となる。]

表11に、癌の誤診による癌以外の症例の相対リスクおよび癌以外の観察相対リスクを示した。期待されるとおり、肝硬変など癌の割合が高い疾患では誤診による相対リスクが高い。しかし、2 Gy または3 Gy では、観察相対リスクは推定値を上回っている。したがって、高線量で観察された有意な過剰死亡率は、癌の誤った分類のみに基づくものではない。

## 考 察

癌以外の様々な死因の増加によって放射線が寿命を短縮するという仮説を調べることは重要である。改訂 T65 線量推定方式に基づく以前の解析では、<sup>3</sup> 生命表法を用いて算出された腫瘍を除く全死因による累積死亡率は、概して線量に伴い増加しなかった。また、個々の疾患カテゴリーの解析でもそのような影響は示されなかった。しかし、癌以外の死因による死亡率への放射線関連影響の唯一の証拠は、最も高い T65DR 線量群、すなわち  $\geq 4$  Gy 群に認められた。<sup>3</sup> 集団全体にも、また三つの組み合わせ群(広島、女性、被爆時年齢 35–49 歳群)にも有意な増加が認められた。

以前の解析から更に7年間の追跡調査を加味し、新しい線量推定方式を用いることにより、2 Gy 以上の線量で癌以外の死因による死亡リスクの過剰を示す強力な証拠を得た。血液疾患について観察された過剰死亡率は、主にこの疾患に白血病症例を誤って含めたことによる死因の誤診に起因することが、以前の寿命調査集団の解析で指摘された。<sup>3,9</sup> 本解析でも、“血液疾患”による死亡を1950–82年の白血病登録と比較すると、同じ所見が得られた(付表12)。したがって、本解析では癌以外の死因による死亡から血液疾患を除外した。“腫瘍および血液疾患を除く全疾患”的死亡率は1950–85年の全期間で線量に伴い有意な増加を示した(表2)。しかし、この増加傾向は線形ではなく線形–閾値型である。更に、線量反応は追跡期間と被爆時年齢によって異なる。初期では、L 項は有意に負で、Q 項は有意に正である LQ モデルに従う。しかし後期では、線形–閾値型の線量反応の方がデータによく当てはまる。最近の増加は若年被爆群(< 40 歳)に起因すると思われる(図2)。特定の疾患(循環器疾患、呼吸器疾患、消化器疾患など)について解析を行うと、これらの疾患の線量反応は概して“腫瘍および血液疾患を除く全疾患”と同じ傾向を示している(図3)。

本解析は寿命調査集団のうち T65DR 線量が推定されている 91,000 人の 83 %に基づいている。しかし、最近更に約 12,000 人についても DS86 線量が推定されており、現在では

集団の95%について新線量が利用可能である。このより大きな集団についての予備的解析も本結果に変更をもたらすに至らなかった。しかし、若年被爆者の多くは死亡率が通常かなり上昇する年齢には達していないので、癌以外の死因による死亡率に関する最近の増加が現実のものであるかについては、更に調査を重ねなければ明確な結論は出せない。

癌誘発への放射線の影響(確率的現象と考えられる)と癌以外の死因による死亡率への影響は異なっており、後者が閾値線量をもつ非確率的過程に従うと仮定するのは理由のないことではない。しかし、粥状斑における変異遺伝子の存在が最近立証されたことを考えると<sup>10</sup> 心臓血管疾患の増加は特に興味ある所見であり、このことは、関連が実際にあるとすれば、アテローム硬化症への電離放射線の影響が確率的現象として扱われるべきであることを示唆している。この点について更にデータが得られれば特に興味深い。

腫瘍および血液疾患を除く全疾患に起因する死亡に関する観察結果をGompertz曲線(対数尺度での死亡年齢別死亡率)として示すと、特に被爆時年齢<40歳群について $\geq 2$  Gy群に有意な増加が認められる(図5Aおよび図5B)。

癌および癌以外の疾患の両方について、平均余命の短縮を計算した。算出した0歳の平均余命の短縮は平均すると、癌以外の疾患による短縮が0.4年、癌による短縮が3年であった。自然死亡率は癌以外の疾患の場合が高いが(3~4倍)、癌による平均余命短縮が大きいことは過剰相対リスクが明らかに大きい(7倍)ことと、癌以外の死因による死亡に比べ、癌の死亡が早期に起こることを反映している。本解析では、1985年の日本人生命表の定常人口と1985年の癌および癌以外の死因による死亡率を用いた。全対象者が死亡した後にのみ得られる寿命調査集団の推定値は、我々の推定値に近いものになるであろうが全く同じではない。2.0 Gy以上(平均3.3 Gy)について癌以外の死因による寿命短縮と比較するために致死癌による寿命短縮を推定した。閾値線量は1.4 Gyと推定されたので、1 Gyでの寿命短縮は癌以外の死因による死亡で0年であったが、癌による死亡では0.9年であった。この後者の値はUNSCEAR報告で推定されている範囲内にある。<sup>11</sup>しかし、放射線関連疾患による推定寿命短縮は対象集団の年齢構成と死亡率に伴い大きく変化すると考えられる。したがって、我々が算出した推定寿命短縮は恐らく日本人のみに当てはまる有益な指標に過ぎないと見なすべきであろう。

#### 癌以外の疾患の死亡率への線量影響を誤って起こし得る要因

我々がこれまで述べてきた所見は、死亡診断書に基づくものなので限界があり、放射線以外の数多くの因子も癌以外の死因による死亡の見かけ上の増加に寄与し得る。恐らくもっと重要なのは、放射線関連の癌死亡を誤って他の死因とすることであろう。癌以外の疾患

による死亡率が、観察相対リスクを増加させるといった誤った影響を調べるために、剖検および腫瘍登録データならびに成人健康調査から得られた臨床データの誤分類に関する情報を利用した。

結果の項で剖検資料について述べた。他の報告としては、癌以外の死因による死亡率の観察線量反応が癌死亡の分類の誤りのみによるものであるか否かを究明するため、Sposto ら<sup>12</sup>が同じデータを使用して行った統計解析について述べている。彼らも、癌以外の死因による死亡率の非線形線量反応が、単純に誤って癌を癌以外の死因に分類したことのみによっては説明できないと結論づけている。実際、彼らは、“癌以外の死亡率の線量反応の有意性は、癌を誤って分類した比率の過小評価には比較的影響されにくいが、癌の分類の誤りが線量と正の関係をもつと仮定することには影響される”という結論を出している。しかし、このためには死因を確認する医師が線量を知る必要があるし、ほとんどの場合、被爆者は自分の実際の線量を知らないので、我々と同様に彼らも分類の誤りが線量と正の相関関係をもつとは考えられないとしている。

広島と長崎には腫瘍登録があるので、この誤診に関する情報源として1958年(登録開始の年)から1985年までの腫瘍登録データも調べた。“腫瘍および血液疾患を除く全疾患”に含まれる癌の割合は、剖検データに基づくよりも低かった(付表17A, 17B)。したがって、放射線によって癌以外の死因による死亡に過剰は起こらないが、癌の過剰リスクが線量に伴い増加するにつれて誤診された癌症例数も増すと仮定し、癌以外の死因による死亡の相対リスクを腫瘍登録データを用いて算出すると、リスクは剖検から得たものより低くなる。

死亡診断書の正確性、線量推定方式の変更、死亡場所、およびその他の交絡因子など、他の問題については、付録で詳細に述べる。要約すると、これらの要因はいずれも、少なくとも単独では、癌以外の死因による死亡について観察された過剰の説明にはならない。死亡診断書を剖検または臨床的所見と比較すると、疾患の診断の正確度がかなり高いことがわかる。剖検所見については、主な死因だけでなく関連死因を考慮に入れると、老衰、腎炎、ネフローゼ、結核以外のその他の感染症など、剖検での確認が困難であるかまたは不可能な(老衰など)診断を除いた場合、確診率は69%(冠状動脈性心疾患)から86%(脳卒中)の範囲にあった(付表13)。これらを除外した疾患は、老衰以外は、死因全体に占める割合が小さいことに留意すべきである。

2 Gy以上に被曝した成人健康調査対象者の死亡について、死亡診断書に記載された死因を2年に1回行われる検診の臨床的診断と比較すると、確診率は全死因については83%で、個々の死因についても高かった(付表14)。これらの所見は診断の正確さを示しているとい

うものの、診断の不確定要素のすべてを解明しないことは明らかである。そのことは、特に、突然に起こった病死(外因死でない死亡)について言える。

### 他の調査

これらの所見と比較できる他の調査は少ない。しかし、放射線治療を受けた強直性脊椎炎患者の追跡調査では、<sup>13</sup> 腫瘍以外の疾患の死亡が51%増加したことが示唆されている。脊椎炎との関連が臨床的に認められた疾患だけが高い死亡率を示すのではなく、他の疾患群の死亡率も前者ほどではないがすべて高いことが認められている。しかし、その報告<sup>13</sup>では、放射線を照射しなかった患者にも同様の過剰が認められているので、<sup>14</sup> この過剰はX線治療よりもむしろ疾患そのものと関連があるらしいと結論づけている。しかし、放射線を照射しなかった患者の過剰は男性のみに限られ、女性では、X線治療を受けた患者の過剰が多く、放射線照射をしなかった患者では過剰は認められなかった。このことは、強直性脊椎炎に関連がない腫瘍以外の疾患による死亡率と放射線治療との間に関係があることを示唆している。米国の放射線医<sup>15</sup>とその他の専門医とを比較した場合、癌だけでなく心臓血管疾患および他の腫瘍以外の疾患による死亡率も高いことが報告されている。しかし、英国の放射線医<sup>16</sup>については、癌以外の死因による死亡率増加は認められていない。

1958年から1974年までの期間に行われた放影研の成人健康調査対象者の脳卒中および冠状動脈性心疾患発生率に関する初期の調査<sup>17</sup>は、我々が心臓疾患について述べてきた所見を裏付けている。その調査は、心電図および剖検を含む臨床的所見を用いて特定の診断基準に従って確認した症例について行われ、常に成人健康調査検診時に行われた臨床診断のみに依存するものではない。その調査では、高線量、すなわち2.0 Gy以上のT65線量を受けた広島の女性の発生率が有意に高いことが示されたが、長崎の女性および両市の男性には被曝の影響が認められなかった。広島で高線量に被曝した女性の剖検率が高いという証拠がいくらかあるため、喫煙、血清コレステロール値の上昇、高血圧症の発生など、主な心臓血管リスク因子のいずれとの交絡によってもこれが説明できないにもかかわらず、この関連が眞のものであるとは一般に考えられていない。この調査はそれ以後も継続され1958年(成人健康調査開始の年)から1986年までの期間を含むようになった。新しい結果<sup>18</sup>は、広島で高線量に被曝した女性で初期にリスクが増加したことを確認するものであるが、現在では長崎の男性でもリスクの有意な増加が認められている。臨床診断に基づく肝硬変の期間有病率が高線量群の成人健康調査対象者で増加しているらしいことも興味深い。<sup>19</sup> これらの所見は、かなり小さい集団に基づくが、寿命調査集団全体の死亡率に関する観察結果と一致している。

### Stewart および Kneale の論議に対するコメント

Stewart および Kneale<sup>20,21</sup> は最近の二つの報告で、放射線影響研究所が調査している被爆者の寿命調査に偏りがあるかもしれないことを示唆している。つまり、寿命調査集団が1950年に設定されたが、追跡調査を開始する以前、すなわち1945–50年の間にすでに死亡した者がいることから、放射線の影響に対して抵抗力のある者が選択されたかもしれないという考えに基づいている。T65 線量に基づく彼らの解析では、心臓血管疾患には放射線の線量反応は認められなかった。しかし、心臓血管疾患以外の腫瘍を除く全疾患という広いカテゴリーでは死亡率にU字型線量反応が認められた。彼らはまた、低線量域での負の下降傾向は初期において、より顕著で、時間の経過に伴い減少すること、そして、恐らく骨髄障害に起因する高線量での上昇傾向は比較的、時期による変動が少なかったことも認めている。彼らの主張によると、このことは、初期に生き延びたこと、または淘汰の影響が原爆被爆者の癌リスクの過小評価につながるという彼らの考え方と一貫している。

Stewart および Kneale は“腫瘍および心臓血管疾患を除く全疾患”を“感染症”と呼んでいるが、このカテゴリーは免疫能力とは関係ないと思われる多くの疾患を含むので、このカテゴリーを特徴づけることは難しいことに留意すべきである。しかし、ICD分類の“感染症”は“結核”および“その他の感染症”のみからなっている。我々はこれらの疾患では有意な線量反応を見ることはできなかった。寿命調査集団の死亡に関する初期の解析<sup>3</sup>では特に結核が取り上げられることにも留意すべきである。その報告では、1940年代後半の人口調査データが解析され、線量と感染症による死亡との間に関係は認められなかった。

原爆被爆者のデータに偏りがあるという Stewart および Kneale の主張にかんがみ、1950–85年の死亡率に関する観察結果と新線量を用いて彼らの仮説をより詳細に調べた。我々は疾患を更に細かく分け、データを三つの期間、すなわち1950–65年、1966–75年、および1976–85年に分けた。結果を以下に要約する。

(1) 特に若年被爆群で最近の期間における循環器系の疾患(心臓血管疾患)による死亡率が線量に伴い有意に増加する。脳卒中および脳卒中以外の循環器疾患(すなわち心疾患)の死亡率は両者とも最後の期間で有意な増加傾向を示す。この所見は心臓血管疾患による死亡率の過剰はないとする彼らの所見とは一致しない。

(2) 肿瘍、心臓血管疾患および血液疾患を除く全疾患による死亡率は(血液疾患は死亡診断書に基づく場合の誤診率が高いため除外)、全期間ではU字型線量反応関係を示唆しており、Stewart および Kneale の観察どおり初期において明らかに有意である。しかしこの傾向は1950–65年の期間、被爆時年齢が40歳以上のものについてのみ認められた。この疾患

カテゴリーを更に分類すると、同様の有意な U 字型線量反応は、大部分が老衰に分類される“その他”的疾患についてのみ認められることがわかる。老衰による死亡は医学的にあまり理解されておらず、また定義が困難な状態であるが、彼らの仮説が示唆するように免疫能力または骨髓障害に関係するとは思われない。ついでながら、循環器疾患については、初期の被爆時年齢が 40 歳以上の群についても U 字型線量反応が認められた。この所見は淘汰の影響が特に感染症については重要であり、循環器疾患については淘汰の影響を裏付ける証拠がないとする Stewart および Kneale の主張とは一致しない。

(3) したがって、重要な問題は、この淘汰の影響が癌のリスクの解釈に大きな役割を果たすか否かである。癌以外の死因による死亡率は、初期のみに低くなっているので、癌死亡率に及ぼす影響はこの時期に限られていると思われる。疫学調査では一般的に、追跡調査の数年後には癌死亡率への “healthy worker effect(健康な人が対象として選択されたことによる効果)” は認められていない。<sup>22-24</sup> 放射線誘発癌(白血病を除く)は主に後期で認められるので、“healthy worker effect” はこの場合は当てはまらない。ちなみに、被爆時年齢 40 歳以上で、観察期間 1965 年以前に観察された淘汰の影響を補正した場合の白血病および白血病以外の癌の生涯リスクを算出した。補正しない場合に比べて、リスクは白血病で 7 %、白血病以外の癌で 5 %のみ上昇した。<sup>25</sup> Little および Charles<sup>26</sup> も最近、公表されたデータを用いて原爆被爆者の淘汰に基づく偏りを解析している。彼らも、このような淘汰が、放射線誘発癌の感受性低下を導くことを示唆する証拠はないと結論づけている。

強直性脊椎炎患者および子宮頸癌の女性と寿命調査対象者の癌リスクを比べた最近の UNSCEAR 報告<sup>11</sup>によると、寿命調査のリスクと医用 X 線データから得たリスクはかなり一致している。実際、寿命調査対象者のリスクは他のリスクに比べ概して高く、これは Stewart および Kneale の主張と一致しない。

### 謝 辞

寿命調査対象者の血液疾患による死亡診断書の死因を白血病登録の資料によって検討していただいた長崎大学医学部附属原爆後障害医療研究施設の市丸道人教授および成人健康調査検診データによって肝硬変による死亡を検討していただいた放影研臨床研究部の山田美智子研究員に感謝する。

## 参考文献

1. Shimizu Y, Kato H, Schull WJ, Preston DL, Fujita S, Pierce DA: Studies of the mortality of A-bomb survivors. 9. Mortality, 1950–85: Part 1. Comparison of risk coefficients for site specific cancer mortality based on the DS86 and T65DR shielded kerna and organ doses. Radiat Res 118: 502–24, 1989 (RERF TR 12-87)
2. Shimizu Y, Kato H, Schull WJ: Studies of the mortality of A-bomb survivors. 9. Mortality, 1950–85: Part 2. Cancer mortality based on the recently revised doses (DS86). Radiat Res 121:120–41, 1990 (RERF TR 5-88)
3. Kato H, Brown CC, Hoel DG, Schull WJ: Studies of the mortality of A-bomb survivors. Report 7. Mortality, 1950–78: Part 2. Mortality from causes other than cancer and mortality in early entrants. Radiat Res 91:243–64, 1982 (RERF TR 5-81)
4. Milton RC, Shohoji T: Tentative 1965 radiation dose estimation for atomic bomb survivors, Hiroshima and Nagasaki. ABCC TR 1-68
5. Roesch WC (ed.): *US-Japan Joint Reassessment of Atomic Bomb Radiation Dosimetry in Hiroshima and Nagasaki: Final Report* (Vol. 1). Hiroshima, Radiation Effects Research Foundation, 1987
6. Preston DL, Pierce DA: The effect of changes in dosimetry on cancer mortality risk estimates in the atomic bomb survivors. Radiat Res 114, 437–66, 1988 (RERF TR 9-87)
7. Clayton D: The analysis of event history data. A review of progress and outstanding problems. Stat Med 7:819–41, 1988
8. National Research Council: *Health Effects of Exposure to Low Levels of Ionizing Radiation (BEIR V)*. Washington, D.C., National Academy Press, 1990
9. Beebe GW, Kato H, Land CE: Studies of the mortality of A-bomb survivors. 6. Mortality and radiation dose, 1950–74. Radiat Res 75:138–201, 1978 (RERF TR 1-77)
10. Penn A, Garte SJ, Warren C, Nesta D, Mindich B: Transforming gene in human atherosclerotic plaque DNA. Proc Natl Acad Sci USA 83:7951–5, 1986
11. United Nations: *Sources, Effects and Risks of Ionizing Radiation*. New York, United Nations, 1988
12. Sparto R, Preston DL, Shimizu Y, Mabuchi K: The effect of diagnostic misclassification on noncancer and cancer mortality dose response in the RERF Life Span Study. RERF TR 4-91
13. Darby SC, Doll R, Gill SK, Smith PG: Long term mortality after a single treatment course with x-rays in patients treated for ankylosing spondylitis. Br J Cancer 55:179–90, 1987
14. Radford EP, Doll R, Smith PG: Mortality among patients with ankylosing spondylitis not given X-ray therapy. New Engl J Med 297:572, 1977
15. Matanoski GM, Seltser R, Sartwell PE, Diamond EL, Elliott EA: The current mortality rates of radiologists and other physician specialists: Specific causes of death. Am J Epidemiol 101:199–210, 1975
16. Court Brown WM, Doll R: Expectation of life and mortality from cancer among British radiologists. Br Med J 2:181–7, 1958
17. Robertson TL, Shimizu Y, Kato H, Kodama K, Furukawa H, Fukunaga Y, Lin CH, Danzig MD, Pastore JO, Kawamoto S: Incidence of stroke and coronary heart disease in atomic bomb survivors living in Hiroshima and Nagasaki, 1958–1974. RERF TR 12-79

18. Kodama K, Shimizu Y, Sasaki H, Kato H: Incidence of myocardial infarction in atomic bomb survivors living in Hiroshima and Nagasaki, 1958–86. RERF technical report in preparation.
19. Wong FL, Yamada M, Sasaki H, Kodama K, Akiba S, Shimaoka K, Hosoda Y: Adult Health Study Report 7. Noncancer disease incidence among the atomic bomb survivors, 1958–86. RERF TR 1-92 (in press)
20. Stewart AM, Kneale GW: Non-cancer effects of exposure to A-bomb radiation. *J Epidemiol Commun Health* 38:108–12, 1984
21. Stewart AM, Kneale GW: A-bomb survivors as a source of cancer risk estimates: Confirmation of suspected bias. In *Low Dose Radiation: Biological Bases of Risk Assessment*. London, Taylor & Francis, 1989. pp. 345–63
22. Goldsmith JR, Enterline PE, Gaffrey WR, McMichael AJ, Haynes SG, Tyroler HA: Letter: What do we expect from an occupational cohort? *J Occup Med* 17(2):126–31, 1975
23. Sterling TD, Weinkam JJ: The “healthy worker effect” on morbidity rates. *J Occup Med* 27(7): 477–82, 1985
24. McMichael AJ: Standardized mortality ratios and the “healthy worker effect”: Scratching beneath the surface. *J Occup Med* 18(3):165–8, 1976
25. Shimizu Y, Kato H, Schull WJ, Hoel DG: Selection bias and the interpretation of cancer risk in the Life Span Study. RERF technical report in preparation.
26. Little MP, Charles MW: Bomb survivor selection and consequences for estimates of population cancer risks. *Health Phys.* 59:765–75, 1990
27. Tokunaga M, Kato H, Shimizu Y: Comparison between autopsy diagnosis and underlying cause of death on death certificate for diseases other than cancer. Life Span Study Sample, 1950–85. RERF technical report in preparation
28. Yamamoto T, Moriyama IM, Asano M, Guralnick L: RERF pathology studies, Hiroshima and Nagasaki, Report 4: The autopsy program and the Life Span Study, January 1961–December 1975. RERF TR 18-78
29. Yamada, M: Memorandum to Y. Shimizu regarding the results of checking cause of death from liver cirrhosis against Adult Health Study physical examination data. Dated 30 August 1990
30. Kato H, Johnson KG, Yano K: Mail survey on cardiovascular disease study, Hiroshima–Nagasaki. ABCC TR 19-66

## 付録. 癌以外の死亡率の線量影響を誤って起こし得る要因に関する詳細な検討

### 死亡診断書に記載された原死因の正確性

本解析ではやむを得ず、死亡診断書に記載された原死因を無条件で受け入れてきた。しかし、診断書の死因の多くは不正確であり、それにより真の放射線の影響が不明確になったり、偽の影響を生み出す可能性があることに注意しなければならない。更に、これらの不正確性が本調査に限られたものではないことにも留意すべきである。死亡診断書を疫学調査に使用する場合には、多かれ少なかれ必ずこの問題が起きる。

本解析における死因の不正確性の程度を検討するために、寿命調査集団で1950–85年にABCC–放影研で剖検が行われた全死亡例について、剖検時の所見と死亡診断書の記述を比較した。<sup>27</sup> 付表13に、この比較で明らかになった確診率および発見率を示した。これらの率は概して、死因が癌である場合よりも低いことが分かる。<sup>28</sup> しかし、主な死因だけでなく関連死因も考慮に入れた場合、死亡診断書の診断の正確性はかなり高い。正確性を評価する際に主な死因と関連死因をすべて考慮に入れた主な理由は、幾つかの死因が存在する場合に主な死因の選択が病理医間で異なることである。これらの記載死因の不正確性は個々の死因によって信頼性がかなり異なるであろうことを示唆している。しかし、正確性が線量に関連せず、関連の証拠もない場合には、報告された所見はおおむね真実を表していると思われる。

2 Gy以上の線量に被曝した成人健康調査対象者について、成人健康調査検診時の臨床診断と死因とを比較した。結果を付表14に示した。突然起きた疾患、すなわち脳卒中または心臓発作(冠状動脈性心疾患)については、成人健康調査では最後の検診時に症状がなくその後にそのような疾患が起きたということは十分考えられる。同様に、最終検診から死亡までの期間が10年のようにかなり長ければ、最後の成人健康調査の検診で発見された疾患と死因には関係がないかもしれない。したがって、これらの死亡は“決定不能”として分類し、合計59の死亡例を以下の観察から除外した。“決定不能”の症例の死因は、ほとんどは脳卒中と心疾患であった。他の死亡については、死因が成人健康調査のいざれかの周期のICD疾病分類による臨床診断と直接または“間接的(死因の原因となる疾患)”に一致すれば、死因は臨床診断により“確認された”と見なされた。このようにして決定された確診率は全死因について83%であり、個々の死因についても高かった。

肝硬変についても、利用可能な全情報、<sup>29</sup> すなわち剖検時の所見、臨床診断、肝機能検査やB型肝炎抗原をはじめとする臨床検査所見、肝硬変の既往歴と飲酒歴に関する疫学調査の情報を用いて、広島で検診を受けた成人健康調査対象者全員について死亡診断書との比較を行った。結果を付表15に示したが、情報源が二つ以上ある場合には、前述の情報源の順に優先させた。死亡診断書で死因が肝硬変となっていた77例のうち剖検時の所見または成人健康調

査の診断で確認された症例数は  $19 + 18 = 37$  (48.1 %) 例である。情報源を疫学調査による既往歴などの不確実なものにまで拡大すると、確認症例は合計 57 ( $57/77 = 74.0\%$ ) になる。付表 15 の B に示すように、合計 23 例の剖検例のうち、主な病理学的診断によって確認された症例数は 16 ( $16/23 = 69.6\%$ ) である。

### 癌死亡の誤診

癌以外の疾患による死亡の過剰は、その一部に誤って分類した放射線関連癌が含まれていることによるのかもしれない。この可能性を調査するために、剖検所見と広島・長崎の腫瘍登録にある癌症例と死亡診断書に記載された原死因とを比較した。

**剖検データ：**組織的な剖検調査は 1961 年に ABCC で開始され、初期では剖検率は比較的高く 30~40 % であったが、時とともに減少し、1975 年の死亡のうち剖検されたのは 20 % 未満であった。その時点での組織的な剖検調査は中止された。1966~85 年では剖検率は極めて低く約 10~20 % で、若年被爆者では特に低かった。我々の目的にとっては残念なことがあるが、“腫瘍および血液疾患を除く全疾患” による有意な過剰死亡率が現れたのはこの期間である。したがって、最近の剖検データは、それ自体は貴重であるが、他の死因による死亡の見かけの増加に、癌症例の誤診がいかなる役割を果たすかを調べるには限られた情報しか提供しない。しかし、利用可能なデータを用いて、その期間(1966~85 年)における若年被爆群(40 歳未満)の線量反応関係への誤診の影響について検討を試みた。付表 16A の下段に示した値を用いて、 $\geq 2 \text{ Gy}$  群の過剰死亡  $67 - 42.9 = 24.1$  のうち、癌症例の誤診の可能性がある例数は  $67 \times 1/10$  ( $1/10$  はこの死因による全死亡例のうち観察癌症例が占める割合を示す) = 6.7 となる。したがって、このカテゴリーの死亡過剰のすべてを誤診した癌症例を含めたことによっては説明できない。全被爆時年齢および全期間合計について観察を行うと、同様な結果が得られたが、影響の統計的有意性は低かった(付表 16A)。

心疾患については(付表 16B)、 $\geq 1 \text{ Gy}$  群の計 44 例の死亡に誤って含まれている癌死亡の推定例数は  $44 \times 1/10$  ( $1/10$  はこの線量群の心疾患による全死亡のうち観察された癌症例の割合を示す) = 4.4 である。 $\geq 1 \text{ Gy}$  群の過剰死亡例数は  $7.9$  ( $44 - 36.1$ ) であるので、この過剰のすべてを癌症例を誤って含めたことによっては説明できない。この 4.4 という推定値は  $\geq 1 \text{ Gy}$  群のすべての癌が放射線に関係すると仮定して得られたものであるが、実際には多くても 40 % しか放射線に起因しないことに留意すべきである。

肝硬変については(付表 16C)、 $\geq 1 \text{ Gy}$  群の過剰死亡  $20 - 12.5 = 7.5$  のうち、誤って肝硬変とされた癌死亡例数は最大  $20 \times 1/2$  ( $1/2$  は肝硬変による死亡例のうち観察された癌症例の実際の割合である) = 10 である。最悪の場合には、すなわちこの死因による死亡中の

癌症例がすべて放射線に関連すると仮定した場合は、線量反応は消失することになる。

同様に、循環器疾患(心疾患を含む)、冠状動脈性心疾患、脳卒中についても解析を行い付表16D-Fに示した。

**腫瘍登録データ**：付表17Aは、様々な線量群について腫瘍登録に報告された癌の症例数および割合を示す。“腫瘍および血液疾患を除く全疾患”による有意な過剰死亡率は1965年以降に若年被曝群(<40歳)に認められるので、腫瘍登録に報告されたこの群の癌の割合も示した。癌の割合は平均で4.3%であり、高線量群で高い。0 Gy群に比べ、 $\geq 2$  Gy群の癌の割合は約2倍である。この値は $\geq 2$  Gy群の癌の相対リスクに近い。1966-85年に被曝時年齢40歳未満群に見られる癌の割合は全期間・全年齢群での割合とほとんど同じである。しかし、高線量で割合が高くなる傾向は、この期間のこの年齢群ではあまり明らかではない。これらの割合は剖検で観察された値よりも低いので(表9)、放射線誘発癌の誤診のみに基づく癌以外の疾患の相対リスクを腫瘍登録データを用いて算出しても、剖検について得られた値より低くなる(表11)。

**臨床データ**：同様に、検診時の臨床診断に基づく癌に関する情報からは(大部分は当然腫瘍登録データと重複する)、 $\geq 2.0$  Gyに被曝した死亡者133人中、12例の癌症例(9.0%)が見いだされた。

#### 死亡場所

我々は死亡場所、すなわち死亡が家と病院のいずれで起きたかに關係する偏りの可能性も調べた。

付表18Aに示すように、病院での死亡の割合は、放射線量、死亡年、被曝時年齢、死因によって異なる。病院での死亡が比較的多いのは、高線量群( $\geq 2.0$  Gy)、最近の期間(1976-85年)、若年被曝群(<40)、悪性腫瘍の場合である。

高線量群で(0 Gy群に比べて)病院での死亡の割合が大きいことを反映して、特定の死因についても、また癌を除く全死亡合計でも、“家の死亡”より“病院での死亡”的1 Gyでの推定相対リスクが高い。同様の傾向がそれほど有意でないが白血病を除く全癌についても認められる(付表18B)。

付表18Cに示すように、特定の疾患については、確診率と発見率を用いて示した死亡診断書の死因の正確性は死亡場所によって異なる。

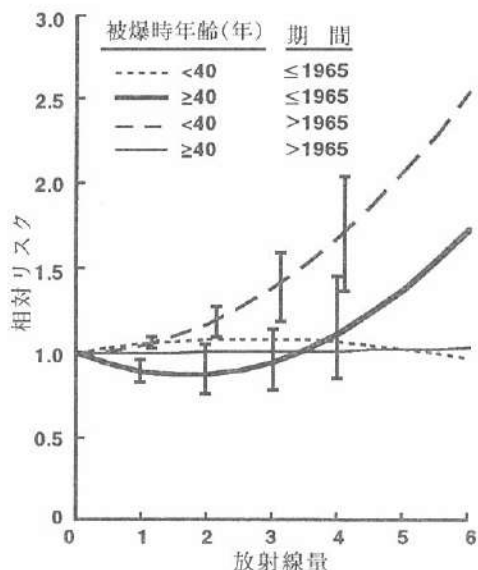
上記のように死亡場所は放射線量と交絡しているので、付表 18C に示すように死亡診断書の診断の正確性に関する補正率(発見率に対する確診率の割合)を用いて死亡場所について補正を行うことにより、線量反応にいかなる影響が及ぶかを検討することは有益である。このような補正に利用できるデータは特定の疾患に限られているので、心疾患および肝硬変による死亡についてのみ補正を行った。 $\geq 2$  Gy 群の心疾患および肝硬変の相対リスク(全期間、全被爆時年齢群) 1.34, 1.66 は、補正後はそれぞれ 1.26, 1.60 になった(付表 18D)。このように、要約すると、心疾患および肝硬変の両方について補正後も過剰相対リスクが認められる。

### 一般的なリスク要因

例えば喫煙と心臓血管疾患の関連や飲酒と肝硬変の死亡率の関連など、癌以外の死因による死亡率が放射線以外の要因と関係していることはよく知られている。したがって、低線量群に比べ高線量群でこれらのリスク要因をもつ対象者の割合が大きいならば、偽の放射線の影響が起これり得る。これまでのところ、放射線量と喫煙または飲酒との間に正の相関は本集団では認められていない。<sup>17,30</sup> しかし、他の交絡因子の調査および放射線と他のリスク要因との交互作用に関する調査を更に進めることは明らかに必要である。

### DS86 副次群

本解析は T65DR 線量をもつ寿命調査対象者 91,000 人の 83 % (DS86 副次群)に基づいている。本解析が DS86 副次群に限られているという事実が、本報で観察した過剰死亡率の理由の一つになっている可能性がある。しかし、最近更に 12,000 人の DS86 線量が推定されたので、現在では集団の 95 % について DS86 線量が利用できる。この大きな集団の相対リスクは DS86 副次群の値と差異がない。



付録図 1. 腫瘍および血液疾患を除く全疾患の推定線量反応曲線。縦線は相対リスクの 90 % 信頼区間を示す。

付表1. 死因別死亡数

死因	死亡数	ICD 第9回改訂
腫瘍を除く全疾患	20,923	
感染症	1413	001-139
結核	1151	010-018
その他の感染症	262	(001-139)-(010-018)
血液疾患	146	280-289
循環器疾患	11,164	390-459
脳卒中	6202	430-438
心疾患(脳卒中を除く循環器疾患)	4962	390-429 440-459
リウマチ性心疾患	180	390-398
高血圧性心疾患	626	401-405
その他の高血圧性心疾患	337	401, 403, 405
冠動脈性心疾患	1765	410-414
心内膜炎	297	424
心不全	1095	428
その他の心疾患	385	415-423 425-427, 429
その他の循環器疾患	277	440-458
呼吸器疾患	2036	460-519
急性気管支炎	57	446.0
肺炎	1233	480-486
インフルエンザ	44	487
慢性気管支炎	191	490, 491
気腫	108	492
喘息	329	493
その他	74	
消化器疾患	2149	520-579
消化性潰瘍	392	531-533
虫垂炎	27	540-543

つづく

付表1. つづき

死因	死亡数	ICD 第9回改訂
腸閉塞	137	550-553, 560
胃炎	290	535, 555, 556, 558, 562
肝硬変	697	571
その他の肝疾患	168	570, 572, 573
その他	438	
泌尿器疾患	513	580-599
急性腎炎, ネフローゼ	107	580, 581, 584
その他の泌尿器疾患	406	582, 583, 585-589
その他	3502	The rest
老衰	1565	797
その他	1937	
腫瘍	6224	
悪性腫瘍	5936	140-208
良性および性質不詳の新生物	288	210-239
外因死	1515	E800-E999
事故	932	E800-E949
自殺	527	E950-E959
殺人	34	E960-E969
その他の外因死	22	E970-E999
死因不明	75	
合計(全死因)	28,737	

付表 2A. 観察人年、男女合計

期間	被爆時年齢	放射線量 (Gy)										
		合計	0	.01	.05	.10	.20	.50	1.00	2.00	3.00	≥4.00
		- .05	- .09	- .19	- .49	- .99	-1.99	-2.99	-3.99			
合計	合計	2185336	984271	553960	119991	149669	188322	102709	55261	18311	5923	6919
0-9	545016	238281	160917	30765	38031	44878	19879	10577	3405	1090	1193	
10-19	497883	243257	111655	25988	28791	39838	24623	13561	5634	2278	2269	
20-29	320042	140542	80740	17483	22346	27326	16860	9611	3317	912	1104	
30-39	335011	145483	84791	19039	24128	32187	16248	8827	2569	722	1017	
40-49	298752	133394	69923	16287	23522	27095	16207	8310	2444	681	889	
≥ 50	184622	83313	45835	10430	12850	18998	9092	4374	942	241	447	
1950-55	合計	388882	175298	98148	21183	28618	33632	18496	9577	3272	1056	1302
0-9	83250	36166	24322	4654	5767	8799	3020	1621	544	166	191	
10-19	77233	37758	17298	3995	4430	6177	3839	2140	876	361	357	
20-29	50694	22217	12778	2745	3526	4385	2619	1575	541	148	180	
30-39	56681	24529	14432	3213	4074	5223	2810	1484	474	142	199	
40-49	60585	27039	14168	3291	4679	5542	3267	1729	522	139	210	
≥ 50	60540	27588	15149	3287	4143	5426	2941	1427	315	98	165	
1956-60	合計	350755	157785	88486	18247	24093	30355	18719	9028	2959	936	1146
0-9	78817	34252	23050	4414	5452	6428	2861	1529	507	155	170	
10-19	72486	35350	18246	3783	4178	5807	3600	2001	825	335	340	
20-29	47424	20780	11958	2588	3301	4070	2463	1481	500	140	165	
30-39	52582	22765	13364	2999	3801	4959	2594	1880	426	122	172	
40-49	54101	24124	12659	2910	4204	4926	2956	1551	460	125	188	
≥ 50	45384	20514	11208	2556	3158	4165	2245	1106	241	60	110	
1961-65	合計	330790	148816	83501	18175	22744	28599	15730	8487	2791	877	1070
0-9	78348	34025	22943	4395	5428	6399	2838	1514	482	155	170	
10-19	71620	34036	16082	3742	4146	5720	3545	1981	816	330	340	
20-29	45653	20488	11733	2551	3261	3991	2428	1431	493	131	165	
30-39	50926	22111	12897	2889	3857	4844	2503	1346	405	110	165	
40-49	49902	22292	11638	2692	3925	4525	2728	1405	427	111	159	
≥ 50	33341	14984	8208	1906	2325	3120	1688	830	169	40	71	
1966-70	合計	310411	139893	76383	17100	21361	26694	14659	7889	2619	843	988
0-9	77936	33798	22868	4373	5405	6371	2823	1505	473	155	169	
10-19	70860	34612	15002	3698	4093	5853	3504	1924	813	325	338	
20-29	45780	20124	11500	2507	3207	3909	2385	1381	476	130	162	
30-39	48752	21214	12258	2784	3525	4673	2385	1302	374	106	152	
40-49	44682	20007	10323	2434	3584	4055	2434	1243	371	104	128	
≥ 50	22400	10142	5535	1326	1548	2033	1127	514	112	24	40	
1971-75	合計	289580	130438	73458	16011	19907	24820	13551	7271	2431	793	901
0-9	77452	33560	22757	4337	5374	6339	2802	1432	470	155	165	
10-19	68881	34155	15656	3672	4040	5580	3454	1890	795	320	319	
20-29	44709	19670	11277	2437	3112	3796	2344	1334	458	125	155	
30-39	45948	19997	11564	2637	3320	4439	2204	1219	341	93	133	
40-49	38098	16979	8876	2127	3082	3418	2093	1040	301	85	96	
≥ 50	13494	6077	3327	801	978	1248	654	296	66	15	32	
1976-80	合計	268137	120730	68598	14766	18279	23046	12338	6621	2218	738	800
0-9	76956	33380	22593	4309	5337	6295	2786	1470	468	154	165	
10-19	68671	33596	15402	3602	3987	5495	3375	1844	766	310	295	
20-29	43284	19026	10963	2376	3016	3687	2252	1257	440	120	147	
30-39	42419	18466	10702	2417	3052	4168	2007	1115	301	82	110	
40-49	30042	13333	7190	1676	2378	2711	1612	792	215	69	85	
≥ 50	6765	2929	1750	386	510	690	306	144	29	3	18	
1981-85	合計	246681	111310	63385	13508	16668	21175	11216	6007	2021	680	712
0-9	75256	33102	22386	4284	5267	6246	2750	1445	462	150	163	
10-19	67182	32848	15068	3495	3919	5405	3305	1802	742	297	280	
20-29	41499	18259	10529	2281	2924	3508	2168	1171	410	118	130	
30-39	37702	16400	9574	2120	2700	3781	1745	982	247	66	87	
40-49	21344	9621	5070	1158	1669	1919	1116	548	149	48	43	
≥ 50	2718	1080	758	169	188	316	131	57	10	0	10	

付表 2B. 観察人年、男性

期間	被爆時年齢	合計	放射線量 (Gy)									
			0	.01	.06	.10	.20	.50	1.00	2.00	3.00	≥ 4.00
			- .05	- .09	- .18	- .49	- .98	- 1.99	- 2.98	- 3.99		
合計	合計	834895	397381	195972	46969	53983	68679	30529	22563	7016	2460	3323
0-9	268107	117945	77314	14803	18683	21540	9614	5429	1635	593	450	
10-19	212966	110233	43413	11721	11278	15509	8943	5774	2763	932	1401	
20-29	65622	31847	14343	3818	3985	5088	3215	2230	587	189	320	
30-39	98454	48410	20467	5880	5923	9014	4654	2973	622	301	409	
40-49	114493	54037	23524	6490	8792	9894	6226	3810	895	218	508	
≥ 50	75253	34811	16911	4357	5322	6534	3877	2367	513	227	235	
1950-55	合計	154800	73692	35996	8584	9988	12819	6951	4328	1313	468	660
0-9	40852	17959	11733	2259	2833	3277	1457	838	272	89	76	
10-19	33465	17342	6838	1810	1751	2569	1434	915	431	155	221	
20-29	10848	5236	2383	616	670	852	528	388	89	33	53	
30-39	17858	8595	3739	997	1083	1573	861	530	124	83	94	
40-49	25355	11934	5208	1433	1881	2280	1358	855	223	43	121	
≥ 50	26623	12527	6096	1460	1791	2289	1302	803	173	85	97	
1956-60	合計	137446	65306	31971	7713	8928	11341	6187	3847	1173	406	574
0-9	38618	17015	11102	2151	2681	3096	1386	786	252	85	65	
10-19	31242	16141	6395	1713	1648	2410	1328	848	409	140	210	
20-29	10022	4838	2202	578	620	773	488	357	85	30	50	
30-39	16225	7915	3436	929	993	1443	795	482	107	51	75	
40-49	22193	10496	4566	1230	1654	1951	1213	750	185	40	108	
≥ 50	19145	8900	4270	1112	1334	1663	976	623	136	60	66	
1961-65	合計	127836	60703	28759	7194	8278	10487	5734	3522	1065	367	528
0-9	38298	16861	11030	2137	2867	3079	1371	775	228	85	65	
10-19	30804	15919	6307	1696	1627	2381	1298	832	401	135	210	
20-29	9776	4736	2124	568	811	753	477	345	85	26	50	
30-39	15563	7637	3266	889	938	1398	760	462	100	45	70	
40-49	19893	9343	4097	1111	1504	1704	1095	658	162	36	92	
≥ 50	13302	6117	2935	793	931	1173	735	449	89	40	41	
1966-70	合計	117795	56150	27452	6669	7679	9623	5205	3180	978	343	477
0-9	38048	16723	10984	2123	2849	3062	1365	771	223	85	64	
10-19	30377	15722	6202	1679	1595	2348	1272	818	399	132	210	
20-29	9457	4603	2044	547	580	729	467	327	85	25	50	
30-39	14553	7192	2994	829	888	1320	698	438	87	45	61	
40-49	16943	8023	3436	978	1341	1455	917	562	127	33	73	
≥ 50	8417	3888	1833	515	626	709	485	264	56	24	19	
1971-75	合計	108255	51573	25463	6138	7028	8851	4876	2872	910	326	418
0-9	37760	16589	10924	2092	2635	3037	1354	765	220	85	60	
10-19	29304	15438	6049	1661	1574	2318	1244	805	389	130	199	
20-29	9084	4432	1965	531	539	702	452	309	85	25	45	
30-39	13179	6518	2894	771	797	1219	605	404	80	41	48	
40-49	13661	6408	2770	808	1103	1170	772	452	97	30	53	
≥ 50	4768	2189	1062	277	378	408	249	137	40	15	12	
1976-80	合計	98923	47059	23609	5628	6369	8129	4107	2560	825	283	349
0-9	37474	16472	10833	2076	2623	3010	1342	755	220	84	60	
10-19	29087	15074	5902	1618	1558	2287	1204	786	373	124	181	
20-29	8564	4162	1880	511	506	671	415	272	83	25	40	
30-39	11569	5718	2363	691	684	1106	511	360	70	32	34	
40-49	10033	4656	2123	590	808	872	540	320	65	25	34	
≥ 50	2202	977	509	142	191	202	95	68	14	3	0	
1981-85	合計	90034	42898	21683	5043	5712	7430	3670	2274	753	256	316
0-9	37057	16287	10709	2056	2596	2980	1329	740	220	80	60	
10-19	28187	14597	5721	1545	1525	2217	1165	770	362	116	170	
20-29	7871	3839	1747	467	458	609	387	231	75	25	33	
30-39	9708	4836	1975	575	540	958	423	297	54	23	27	
40-49	6415	3026	1323	343	521	583	332	213	36	12	27	
≥ 50	796	314	207	58	72	84	33	23	5	0	0	

付表 2C. 觀察人年、女性

期間	被爆時年齢	放射線量 (Gy)										
		合計	0	.01	.06	.10	.20	.50	1.00	2.00	3.00	≥ 4.00
		- .05	- .09	- .19	- .49	- .99	- 1.99	- 2.99	- 3.99			
合計	合計	1350441	586890	357988	73022	95686	119643	66180	32677	11295	3463	3596
0-9	280910	120337	83603	15862	19347	23339	10265	5148	1770	497	743	
10-19	284927	133024	68242	14266	17514	23329	15880	7787	2871	1346	868	
20-29	254420	108696	66396	13868	18362	22283	13445	7381	2729	723	784	
30-39	236557	97073	64324	13359	18205	23173	11594	5854	1947	421	608	
40-49	184259	79357	46400	9797	14729	17101	9981	4500	1549	463	382	
≥ 50	103368	48403	29024	6073	7528	10464	5215	2008	429	13	212	
1950-55	合計	234182	101608	62151	12599	16630	20813	11545	5650	1959	588	842
0-9	42398	18168	12589	2385	2934	3523	1552	784	272	77	115	
10-19	43768	20417	10461	2185	2679	3608	2404	1225	446	206	137	
20-29	39846	16981	10396	2129	2855	3513	2091	1187	451	116	127	
30-39	39023	15934	10693	2216	2991	3750	1949	955	350	79	105	
40-49	35230	15045	8959	1857	2918	3282	1909	875	299	97	89	
≥ 50	33917	15061	9053	1827	2353	3137	1639	624	142	13	68	
1956-60	合計	213309	92479	56515	11534	15164	19015	10533	5181	1786	531	572
0-9	40199	17237	11948	2263	2772	3332	1474	743	255	70	105	
10-19	41224	19209	9851	2070	2530	3397	2272	1153	417	195	130	
20-29	37402	15941	8756	2008	2681	3288	1875	1104	415	110	115	
30-39	36358	14850	9028	2070	2808	3517	1799	898	320	71	97	
40-49	31908	13627	8093	1680	2549	2975	1743	801	275	85	80	
≥ 50	26219	11614	6839	1444	1824	2496	1289	483	105	0	45	
1961-65	合計	203154	88113	53743	10982	14465	18112	9997	4965	1727	510	542
0-9	40050	17184	11913	2258	2761	3319	1487	739	254	70	105	
10-19	40816	19018	9775	2047	2520	3339	2250	1128	415	195	130	
20-29	36877	15732	9609	1983	2651	3238	1951	1088	408	105	115	
30-39	35363	14474	9632	2000	2719	3448	1743	883	305	65	95	
40-49	30010	12859	7541	1581	2421	2821	1633	747	265	75	86	
≥ 50	26039	8867	5273	1113	1394	1947	954	381	80	0	30	
1966-70	合計	192616	83744	50881	10431	13682	17072	8454	4689	1641	500	511
0-9	39888	17073	11883	2250	2756	3310	1458	735	250	70	105	
10-19	40483	18890	9700	2019	2497	3305	2232	1105	414	183	128	
20-29	36323	15521	9456	1960	2626	3180	1818	1054	391	105	112	
30-39	34200	14022	9263	1935	2637	3353	1867	864	287	61	91	
40-49	27738	11983	6887	1458	2243	2599	1517	681	244	72	55	
≥ 50	13983	6256	3702	810	922	1324	642	250	55	0	21	
1971-75	合計	181325	78885	47996	9873	12880	15988	8874	4389	1520	466	483
0-9	39692	16971	11833	2245	2739	3303	1448	727	250	70	105	
10-19	40077	18717	9607	2012	2466	3284	2210	1085	406	190	120	
20-29	35625	15238	9313	1906	2574	3094	1892	1025	373	100	110	
30-39	32770	13478	8870	1866	2523	3220	1593	814	261	52	85	
40-49	24435	10571	6107	1320	1979	2248	1321	588	203	55	43	
≥ 50	8726	3888	2265	524	600	840	404	159	26	0	20	
1976-80	合計	169208	73872	44990	9139	11909	14918	8231	4061	1393	445	451
0-9	39483	16808	11760	2233	2714	3286	1444	715	247	70	105	
10-19	39584	18522	9500	1984	2429	3227	2171	1058	393	186	114	
20-29	34720	14864	9084	1866	2509	3016	1837	965	357	95	107	
30-39	30850	12749	8339	1726	2368	3062	1496	755	231	50	76	
40-49	20008	8677	5067	1086	1570	1838	1073	472	150	44	32	
≥ 50	4563	1952	1241	244	319	488	210	77	15	0	18	
1981-85	合計	156647	68412	41702	8465	10956	13745	7546	3733	1268	424	396
0-9	39200	16816	11677	2228	2672	3266	1421	705	242	70	103	
10-19	38975	18251	9347	1950	2394	3188	2141	1032	380	181	110	
20-29	33628	14419	8782	1815	2466	2899	1781	941	335	93	97	
30-39	27994	11564	7598	1545	2180	2823	1321	685	193	44	60	
40-49	14928	6595	3747	816	1148	1336	785	336	113	36	17	
≥ 50	1922	766	550	111	116	232	87	34	5	0	10	

付表 3A. 腫瘍および血液疾患を除く全疾患による死亡数、男女合計

期間	被爆時年齢	合計	放射線量 (Gy)									
			0	.01 -.05	.05 -.09	.10 -.19	.20 -.49	.50 -.99	1.00 -1.99	2.00 -2.99	3.00 -3.99	≥ 4.00
合計	合計	20777	9490	5159	1109	1411	1796	1032	506	149	45	80
	0-9	324	158	78	13	26	32	9	3	3	1	1
	10-19	814	402	189	44	34	61	42	24	6	3	9
	20-29	929	435	230	42	59	78	36	31	9	2	7
	30-39	2441	1059	630	144	168	187	142	61	30	7	13
	40-49	5895	2876	1441	310	448	540	326	167	52	13	22
	≥ 50	10274	4760	2581	558	878	898	477	220	49	19	28
1950-55	合計	2801	1360	768	143	174	227	135	54	18	8	13
	0-9	53	22	13	1	4	9	3	0	1	0	0
	10-19	149	83	39	4	5	8	2	6	0	1	0
	20-29	143	63	35	6	14	12	7	4	0	0	2
	30-39	196	84	52	13	7	16	14	5	3	1	1
	40-49	438	201	113	24	24	42	20	7	6	0	1
	≥ 50	1822	907	516	95	120	139	89	32	8	7	9
1956-60	合計	2999	1430	725	154	194	283	105	75	17	6	10
	0-9	45	23	11	1	4	5	0	0	1	0	0
	10-19	108	60	16	3	1	13	9	3	2	1	0
	20-29	108	47	31	3	5	13	3	5	1	0	0
	30-39	183	78	43	10	18	18	8	3	3	1	3
	40-49	515	239	118	31	38	48	20	17	1	2	1
	≥ 50	2040	983	508	106	128	188	65	47	9	2	6
1961-65	合計	2969	1319	778	151	197	252	171	66	19	6	12
	0-9	28	20	4	1	2	0	0	1	0	0	0
	10-19	84	28	26	7	5	10	2	5	1	0	0
	20-29	90	44	24	3	5	10	3	1	0	0	0
	30-39	212	85	62	17	10	15	17	4	2	0	0
	40-49	605	273	158	20	41	47	42	15	5	1	5
	≥ 50	1950	869	504	103	134	170	107	40	11	5	7
1966-70	合計	2958	1357	725	143	201	268	138	88	23	5	9
	0-9	41	23	7	2	4	3	2	0	0	0	0
	10-19	86	40	22	1	7	7	4	3	2	0	0
	20-29	103	50	23	1	9	7	4	6	1	0	2
	30-39	285	136	81	9	21	18	12	2	5	0	1
	40-49	811	361	194	36	55	79	40	30	8	3	5
	≥ 50	1632	747	398	94	105	154	77	47	7	2	1
1971-75	合計	2988	1378	682	164	212	250	175	77	22	6	12
	0-9	40	17	12	4	1	4	2	0	0	0	0
	10-19	119	60	28	6	3	6	10	3	0	0	3
	20-29	124	60	26	8	11	8	5	4	1	1	0
	30-39	361	153	87	15	31	26	29	13	2	2	3
	40-49	1018	475	215	52	77	93	54	35	10	1	4
	≥ 50	1328	613	324	79	89	113	75	22	9	2	2
1976-80	合計	3057	1401	717	181	248	242	148	78	27	6	11
	0-9	56	29	10	3	5	7	0	1	0	1	0
	10-19	117	60	28	8	5	4	6	3	1	0	2
	20-29	173	78	44	10	11	11	9	4	4	0	2
	30-39	514	233	137	37	34	27	20	14	9	1	2
	40-49	1275	581	285	69	117	108	71	31	8	3	2
	≥ 50	922	420	213	54	74	85	42	25	5	1	3
1981-85	合計	2905	1245	756	173	187	274	159	88	23	7	13
	0-9	61	24	21	1	6	4	2	1	1	0	1
	10-19	151	71	30	15	8	12	9	1	0	1	4
	20-29	188	93	47	11	4	17	5	7	2	1	1
	30-39	690	290	168	43	47	69	42	20	6	2	3
	40-49	1335	546	360	78	96	123	79	32	14	3	4
	≥ 50	480	221	130	25	26	49	22	7	0	0	0

付表3B. 睡癌および血液疾患を除く全疾患による死亡数、男性

期間	被曝時年齢	合計	放 射 線 量 (Gy)									
			0 -.05	.01 -.09	.06 -.19	.10 -.49	.20 -.99	.50 -1.99	1.00 -2.99	2.00 -3.99	3.00 -3.99	≥4.00
合計	合計	9344	4469	2085	504	626	773	463	272	69	29	54
	0-9	198	97	54	8	12	21	3	2	1	1	0
	10-19	459	235	105	24	15	28	26	11	5	2	8
	20-29	349	183	69	20	30	29	19	13	2	0	4
	30-39	1028	486	233	53	73	70	60	30	10	5	9
	40-49	2796	1330	597	153	195	242	147	88	25	5	14
	≥ 50	4512	2158	1027	246	301	383	208	128	26	16	19
1950-55	合計	1413	704	331	65	87	112	66	29	7	5	7
	0-9	30	12	9	0	2	6	1	0	0	0	0
	10-19	65	41	13	2	1	4	1	3	0	0	0
	20-29	51	25	6	2	5	5	7	1	0	0	0
	30-39	78	42	16	4	2	6	4	2	1	1	1
	40-49	221	107	45	11	14	23	13	3	4	0	1
	≥ 50	967	477	242	46	63	68	40	20	2	4	5
1956-60	合計	1468	723	318	71	91	146	50	46	11	4	8
	0-9	26	13	7	1	1	3	0	0	1	0	0
	10-19	50	25	9	1	0	6	5	2	1	1	0
	20-29	34	15	12	1	1	4	1	0	0	0	0
	30-39	83	36	14	4	8	9	4	3	1	1	3
	40-49	284	137	54	17	20	32	12	11	1	0	0
	≥ 50	991	497	222	47	61	92	28	30	7	2	5
1961-65	合計	1425	662	329	77	93	114	86	38	12	6	8
	0-9	17	13	3	0	1	0	0	0	0	0	0
	10-19	40	13	16	2	4	2	1	1	1	0	0
	20-29	28	13	6	1	4	2	2	1	0	0	0
	30-39	98	41	26	9	5	7	9	2	0	0	0
	40-49	350	170	77	13	19	27	26	10	4	1	3
	≥ 50	890	412	201	52	60	76	48	24	7	5	5
1966-70	合計	1366	652	308	65	80	118	63	52	10	3	7
	0-9	17	8	2	2	3	2	0	0	0	0	0
	10-19	55	27	14	1	3	4	2	2	2	0	0
	20-29	40	18	7	1	6	2	1	4	0	0	1
	30-39	148	73	39	2	12	10	6	2	3	0	1
	40-49	421	207	98	19	21	34	19	15	3	1	4
	≥ 50	685	319	148	40	45	64	35	29	2	2	1
1971-75	合計	1298	617	278	70	88	106	80	39	8	3	10
	0-9	28	13	8	3	0	3	1	0	0	0	0
	10-19	80	39	21	4	0	4	7	2	0	0	3
	20-29	54	24	10	4	6	5	3	2	0	0	0
	30-39	173	85	37	7	10	11	14	6	0	1	2
	40-49	452	220	91	22	34	42	20	18	2	0	3
	≥ 50	512	236	111	30	38	41	35	11	6	2	2
1976-80	合計	1275	622	268	82	96	93	57	35	14	4	6
	0-9	37	18	8	1	3	5	0	1	0	1	0
	10-19	75	46	19	3	2	1	2	0	1	0	1
	20-29	76	38	12	6	6	4	3	3	2	0	2
	30-39	209	101	48	15	15	9	9	6	4	1	1
	40-49	542	260	108	35	45	43	28	16	5	1	1
	≥ 50	336	159	71	22	25	31	15	9	2	1	1
1981-85	合計	1098	489	255	74	81	86	61	33	7	4	8
	0-9	44	20	17	1	2	2	1	1	0	0	0
	10-19	94	44	13	11	5	7	8	1	0	1	4
	20-29	65	30	18	5	2	7	2	2	0	0	1
	30-39	238	108	53	12	21	18	14	9	1	1	1
	40-49	526	229	124	36	42	41	29	15	6	2	2
	≥ 50	131	58	32	9	9	11	7	5	0	0	0

付表3C. 腫瘍および血液疾患を除く全疾患による死亡数, 女性

期間	被爆時年齢	合計	放射線量 (Gy)									
			0	.01	.06	.10	.20	.50	1.00	2.00	3.00	≥ 4.00
			-.05	-.09	-.19	-.49	-.99	-1.99	-2.99	-3.99		
合計	合計	11433	5021	3074	605	785	1023	569	234	80	16	26
0-9		125	61	24	5	14	11	6	1	2	0	1
10-19		355	167	84	20	19	33	16	13	1	1	1
20-29		580	272	161	22	29	49	17	18	7	2	3
30-39		1412	573	397	91	95	117	82	31	20	2	4
40-49		3199	1346	844	157	253	288	179	79	27	8	8
≥ 50		5762	2602	1564	310	375	515	269	92	23	3	9
1950-55	合計	1488	656	437	78	87	115	69	25	11	4	6
0-9		23	10	4	1	2	3	2	0	1	0	0
10-19		84	42	26	2	4	5	1	3	0	1	0
20-29		92	38	29	4	9	7	0	3	0	0	2
30-39		117	42	36	9	5	10	10	3	2	0	0
40-49		217	94	68	13	10	18	7	4	2	0	0
≥ 50		955	430	274	49	57	71	48	12	6	3	4
1956-60	合計	1531	707	407	83	103	137	55	29	6	2	2
0-9		19	10	4	0	3	2	0	0	0	0	0
10-19		58	35	7	2	1	7	4	1	1	0	0
20-29		74	32	19	2	4	9	2	5	1	0	0
30-39		100	42	29	6	10	7	4	0	2	0	0
40-49		231	102	64	14	18	18	8	6	0	2	1
≥ 50		1048	488	284	59	87	96	37	17	2	0	1
1961-65	合計	1544	657	447	74	104	138	85	28	7	0	4
0-9		11	7	1	1	1	0	0	1	0	0	0
10-19		44	15	10	5	1	8	1	4	0	0	0
20-29		61	31	18	2	1	8	1	0	0	0	0
30-39		113	44	36	8	5	8	8	2	2	0	0
40-49		255	103	79	7	22	20	16	5	1	0	2
≥ 50		1080	457	303	51	74	94	59	16	4	0	2
1966-70	合計	1592	705	417	78	111	152	76	36	13	2	2
0-9		24	15	5	0	1	1	2	0	0	0	0
10-19		31	13	8	0	4	3	2	1	0	0	0
20-29		63	32	16	0	3	5	3	2	1	0	1
30-39		137	63	42	7	9	8	6	0	2	0	0
40-49		390	154	96	17	34	45	21	15	5	2	1
≥ 50		947	428	250	54	60	90	42	18	5	0	0
1971-75	合計	1689	761	414	94	124	144	95	38	14	3	2
0-9		12	4	4	1	1	1	1	0	0	0	0
10-19		39	21	7	2	3	2	3	1	0	0	0
20-29		70	36	16	4	5	3	2	2	1	1	0
30-39		188	68	50	8	21	15	15	7	2	1	1
40-49		564	255	124	30	43	51	34	17	8	1	1
≥ 50		816	377	213	49	51	72	40	11	3	0	0
1976-80	合計	1782	778	451	99	150	149	91	43	13	2	5
0-9		19	11	2	2	2	2	0	0	0	0	0
10-19		42	14	8	5	3	3	4	3	0	0	1
20-29		97	40	32	4	5	7	6	1	2	0	0
30-39		305	132	89	22	19	18	11	8	5	0	1
40-49		733	321	177	34	72	65	43	15	3	2	1
≥ 50		586	261	142	32	49	54	27	16	3	0	2
1981-85	合計	1807	758	501	99	106	188	98	35	16	3	5
0-9		17	4	4	0	4	2	1	0	1	0	1
10-19		57	27	17	4	3	5	1	0	0	0	0
20-29		123	63	31	6	2	10	3	5	2	1	0
30-39		452	182	115	31	26	51	28	11	5	1	2
40-49		809	317	236	42	54	82	50	17	8	1	2
≥ 50		349	163	98	16	17	38	15	2	0	0	0

付表4A. 感染症による死亡数、男女合計

期間	被爆時年齢	放射線量 (Gy)										
		合計	0 -.05	.01 -.09	.08 -.19	.10 -.49	.20 -.99	.50 -1.99	1.00	2.00 -2.99	3.00 -3.99	≥ 4.00
合計	合計	1413	651	367	64	85	126	64	38	10	5	3
	0-9	51	19	16	1	6	5	3	0	0	1	0
	10-19	197	105	47	6	10	11	8	6	2	2	0
	20-29	184	78	52	7	12	19	8	7	1	0	0
	30-39	218	101	59	10	12	18	6	8	6	0	1
	40-49	368	162	104	20	20	34	16	9	0	1	2
	≥ 50	394	186	89	20	25	39	23	10	1	1	0
1950-55	合計	504	226	139	22	28	47	24	13	2	2	1
	0-9	14	3	4	1	3	1	2	0	0	0	0
	10-19	87	47	28	1	3	3	1	5	0	1	0
	20-29	82	38	21	2	7	7	5	2	0	0	0
	30-39	77	33	22	6	3	7	2	1	2	0	1
	40-49	107	44	34	4	6	15	3	1	0	0	0
	≥ 50	137	61	32	8	6	14	11	4	0	1	0
1956-60	合計	333	152	79	15	24	33	13	10	6	1	0
	0-9	14	5	6	0	2	1	0	0	0	0	0
	10-19	47	26	7	1	1	4	4	1	2	1	0
	20-29	48	18	15	3	2	7	1	1	1	0	0
	30-39	42	13	11	1	6	4	2	2	3	0	0
	40-49	90	44	20	6	4	8	4	4	0	0	0
	≥ 50	92	46	20	4	9	9	2	2	0	0	0
1961-65	合計	197	84	55	9	16	18	10	4	1	0	0
	0-9	6	4	1	0	1	0	0	0	0	0	0
	10-19	25	13	3	3	3	2	1	0	0	0	0
	20-29	22	9	7	0	2	3	0	1	0	0	0
	30-39	29	13	9	1	0	3	2	1	0	0	0
	40-49	53	18	20	2	6	3	2	2	0	0	0
	≥ 50	62	27	15	3	4	7	5	0	1	0	0
1966-70	合計	139	78	29	4	5	13	5	3	0	1	1
	0-9	8	5	0	0	0	2	1	0	0	0	0
	10-19	14	8	4	0	0	1	1	0	0	0	0
	20-29	7	4	1	0	0	0	1	1	0	0	0
	30-39	23	14	6	0	1	2	0	0	0	0	0
	40-49	41	22	8	2	2	4	1	0	0	1	1
	≥ 50	46	25	10	2	2	4	1	2	0	0	0
1971-75	合計	114	47	33	6	9	9	6	3	0	0	1
	0-9	6	1	4	0	0	1	0	0	0	0	0
	10-19	8	2	2	0	2	1	1	0	0	0	0
	20-29	11	2	5	1	0	1	1	1	0	0	0
	30-39	18	12	5	0	1	0	0	0	0	0	0
	40-49	32	16	8	2	2	2	1	0	0	0	1
	≥ 50	39	14	9	3	4	4	3	2	0	0	0
1976-80	合計	66	37	17	3	2	2	3	0	1	1	0
	0-9	1	0	0	0	0	0	0	0	0	1	0
	10-19	6	3	3	0	0	0	0	0	0	0	0
	20-29	3	2	0	0	1	0	0	0	0	0	0
	30-39	18	12	2	1	1	1	0	0	1	0	0
	40-49	29	13	10	2	0	1	3	0	0	0	0
	≥ 50	9	7	2	0	0	0	0	0	0	0	0
1981-85	合計	60	27	15	5	1	4	3	5	0	0	0
	0-9	2	1	1	0	0	0	0	0	0	0	0
	10-19	10	6	2	1	1	0	0	0	0	0	0
	20-29	11	5	3	1	0	1	0	1	0	0	0
	30-39	12	4	4	1	0	1	0	2	0	0	0
	40-49	16	5	4	2	0	1	2	2	0	0	0
	≥ 50	9	6	1	0	0	1	1	0	0	0	0

付表4B. 感染症による死亡数, 男性

期間	被爆時年齢	合計	放射線量 (Gy)									
			0	.01 -.05	.06 -.09	.10 -.19	.20 -.49	.50 -.99	1.00 -1.99	2.00 -2.99	3.00 -3.99	≥ 4.00
合計	合計	774	370	183	37	38	71	38	27	3	4	3
0-9		28	13	8	0	2	3	0	0	0	1	0
10-19		96	52	22	3	4	4	5	4	1	1	0
20-29		68	27	13	4	3	8	6	5	0	0	0
30-39		110	54	26	7	4	7	3	6	2	0	1
40-49		230	103	60	12	10	25	12	5	0	1	2
≥ 50		244	121	53	11	15	24	12	7	0	1	0
1950-55	合計	265	125	63	13	9	27	16	9	1	1	1
0-9		6	2	2	0	1	1	0	0	0	0	0
10-19		39	23	10	1	0	1	1	3	0	0	0
20-29		33	18	4	1	1	3	5	1	0	0	0
30-39		32	14	9	3	0	2	1	1	1	0	1
40-49		60	24	18	3	3	10	3	1	0	0	0
≥ 50		95	44	22	5	4	10	6	3	0	1	0
1956-60	合計	178	81	42	9	13	17	7	5	2	1	0
0-9		9	4	4	0	1	0	0	0	0	0	0
10-19		22	10	4	1	0	2	2	1	1	1	0
20-29		10	3	4	1	0	2	0	0	0	0	0
30-39		19	7	3	1	3	1	1	2	1	0	0
40-49		60	28	14	4	3	6	3	2	0	0	0
≥ 50		58	29	13	2	6	8	1	1	0	0	0
1961-65	合計	109	46	29	5	9	11	7	2	0	0	0
0-9		4	4	0	0	0	0	0	0	0	0	0
10-19		13	6	2	0	3	1	1	0	0	0	0
20-29		5	1	1	0	1	1	0	1	0	0	0
30-39		11	4	3	1	0	1	1	1	0	0	0
40-49		32	12	12	2	2	3	1	0	0	0	0
≥ 50		44	19	11	2	3	5	4	0	0	0	0
1966-70	合計	84	52	14	1	1	9	2	3	0	1	1
0-9		2	1	0	0	0	1	0	0	0	0	0
10-19		8	5	3	0	0	0	0	0	0	0	0
20-29		5	2	1	0	0	0	1	1	0	0	0
30-39		15	9	4	0	0	2	0	0	0	0	0
40-49		29	18	3	0	1	4	1	0	0	1	1
≥ 50		25	17	3	1	0	2	0	2	0	0	0
1971-75	合計	63	29	18	4	3	4	2	2	0	0	1
0-9		4	1	2	0	0	1	0	0	0	0	0
10-19		4	2	1	0	0	0	1	0	0	0	0
20-29		5	1	1	1	0	1	0	1	0	0	0
30-39		11	8	3	0	0	0	0	0	0	0	0
40-49		23	10	8	2	1	1	0	0	0	0	1
≥ 50		18	7	3	1	2	1	1	1	0	0	0
1976-80	合計	41	24	9	2	2	1	2	0	0	1	0
0-9		1	0	0	0	0	0	0	0	0	1	0
10-19		5	3	2	0	0	0	0	0	0	0	0
20-29		1	0	0	0	1	0	0	0	0	0	0
30-39		14	9	2	1	1	1	0	0	0	0	0
40-49		17	9	5	1	0	0	2	0	0	0	0
≥ 50		3	3	0	0	0	0	0	0	0	0	0
1981-85	合計	34	13	8	3	1	2	2	5	0	0	0
0-9		2	1	1	0	0	0	0	0	0	0	0
10-19		5	3	0	1	1	0	0	0	0	0	0
20-29		7	2	2	1	0	1	0	1	0	0	0
30-39		8	3	2	1	0	0	0	2	0	0	0
40-49		9	2	2	0	0	1	2	2	0	0	0
≥ 50		3	2	1	0	0	0	0	0	0	0	0

付表4C. 感染症による死亡数、女性

期間	被爆時年齢	合計	放射線量 (Gy)									
			0 -.05	.01 -.09	.06 -.19	.10 -.49	.20 -.99	.50 -1.99	1.00 -2.99	2.00 -3.99	3.00 -3.99	≥4.00
合計	合計	639	281	184	27	47	55	26	11	7	1	0
0-9	23	6	7	1	4	2	3	0	0	0	0	0
10-19	101	53	25	3	6	7	3	2	1	1	0	0
20-29	118	51	39	3	9	11	2	2	1	0	0	0
30-39	109	47	33	3	8	11	3	0	4	0	0	0
40-49	138	69	44	8	10	9	4	4	0	0	0	0
≥50	150	65	36	9	10	15	11	3	1	0	0	0
1950-55 合計	238	101	76	9	19	20	8	4	1	1	0	0
0-9	8	1	2	1	2	0	2	0	0	0	0	0
10-19	48	24	16	0	3	2	0	2	0	1	0	0
20-29	49	20	17	1	6	4	0	1	0	0	0	0
30-39	45	19	13	3	3	5	1	0	1	0	0	0
40-49	47	20	18	1	3	5	0	0	0	0	0	0
≥50	42	17	10	3	2	4	5	1	0	0	0	0
1956-60 合計	155	71	37	8	11	18	6	4	4	0	0	0
0-9	5	1	2	0	1	1	0	0	0	0	0	0
10-19	25	16	3	0	1	2	2	0	1	0	0	0
20-29	38	15	11	2	2	5	1	1	1	0	0	0
30-39	23	6	8	0	3	3	1	0	2	0	0	0
40-49	30	18	6	2	1	2	1	2	0	0	0	0
≥50	34	17	7	2	3	3	1	1	0	0	0	0
1961-65 合計	88	38	26	4	7	7	3	2	1	0	0	0
0-9	2	0	1	0	1	0	0	0	0	0	0	0
10-19	12	7	1	3	0	1	0	0	0	0	0	0
20-29	17	8	6	0	1	2	0	0	0	0	0	0
30-39	18	9	6	0	0	2	1	0	0	0	0	0
40-49	21	6	8	0	4	0	1	2	0	0	0	0
≥50	18	8	4	1	1	2	1	0	1	0	0	0
1966-70 合計	55	26	15	3	4	4	3	0	0	0	0	0
0-9	6	4	0	0	0	1	1	0	0	0	0	0
10-19	6	3	1	0	0	1	1	0	0	0	0	0
20-29	2	2	0	0	0	0	0	0	0	0	0	0
30-39	8	5	2	0	1	0	0	0	0	0	0	0
40-49	12	4	5	2	1	0	0	0	0	0	0	0
≥50	21	8	7	1	2	2	1	0	0	0	0	0
1971-75 合計	51	18	15	2	6	5	4	1	0	0	0	0
0-9	2	0	2	0	0	0	0	0	0	0	0	0
10-19	4	0	1	0	2	1	0	0	0	0	0	0
20-29	6	1	4	0	0	0	1	0	0	0	0	0
30-39	7	4	2	0	1	0	0	0	0	0	0	0
40-49	9	6	0	0	1	1	1	0	0	0	0	0
≥50	23	7	6	2	2	3	2	1	0	0	0	0
1976-80 合計	25	13	8	1	0	1	1	0	1	0	0	0
0-9	0	0	0	0	0	0	0	0	0	0	0	0
10-19	1	0	1	0	0	0	0	0	0	0	0	0
20-29	2	2	0	0	0	0	0	0	0	0	0	0
30-39	4	3	0	0	0	0	0	0	1	0	0	0
40-49	12	4	5	1	0	1	1	0	0	0	0	0
≥50	6	4	2	0	0	0	0	0	0	0	0	0
1981-85 合計	28	14	7	2	0	2	1	0	0	0	0	0
0-9	0	0	0	0	0	0	0	0	0	0	0	0
10-19	5	3	2	0	0	0	0	0	0	0	0	0
20-29	4	3	1	0	0	0	0	0	0	0	0	0
30-39	4	1	2	0	0	1	0	0	0	0	0	0
40-49	7	3	2	2	0	0	0	0	0	0	0	0
≥50	6	4	0	0	0	1	1	0	0	0	0	0

付表5A. 循環器疾患による死亡数、男女合計

期間	被爆時年齢	放射線量 (Gy)										
		合計	0	.01	.08	.10	.20	.50	1.00	2.00	3.00	≥ 4.00
			-.05	-.09	-.19	-.49	-.99	-1.99	-2.99	-3.99		
合計	合計	11164	5025	2767	605	775	981	590	273	85	20	43
0-9	105	52	24	3	10	10	1	2	2	0	0	1
10-19	247	116	52	18	18	23	9	5	1	0	0	3
20-29	396	186	102	12	28	28	18	14	5	0	0	3
30-39	1379	588	368	80	96	95	88	33	19	6	8	8
40-49	3574	1577	858	177	276	335	205	95	34	6	11	11
≥ 50	5463	2506	1363	314	346	490	271	124	24	8	17	17
1950-55	合計	1046	485	286	55	65	76	48	14	8	3	6
0-9	12	8	4	0	0	2	0	0	0	0	0	0
10-19	14	7	1	2	2	1	0	1	0	0	0	0
20-29	17	6	5	0	2	2	1	1	0	0	0	0
30-39	51	19	12	5	2	4	4	3	1	1	0	0
40-49	161	73	40	11	11	14	7	1	4	0	0	0
≥ 50	791	374	224	37	48	53	38	8	3	2	6	6
1956-60	合計	1320	635	299	76	84	126	52	34	8	1	5
0-9	12	8	0	0	2	1	0	0	1	0	0	0
10-19	15	9	1	1	0	3	1	0	0	0	0	0
20-29	17	7	7	0	0	1	2	0	0	0	0	0
30-39	60	25	16	2	7	5	4	0	0	0	0	1
40-49	261	119	58	17	18	25	13	9	0	1	1	1
≥ 50	955	467	217	56	57	91	32	25	7	0	3	3
1961-65	合計	1565	680	403	77	101	142	108	33	11	3	7
0-9	4	1	1	1	0	0	0	1	0	0	0	0
10-19	24	6	9	0	2	6	1	0	0	0	0	0
20-29	25	14	5	0	2	3	1	0	0	0	0	0
30-39	112	45	32	7	5	8	11	2	2	0	0	0
40-49	365	167	87	9	27	33	28	5	5	1	3	3
≥ 50	1035	447	269	60	65	92	67	25	4	2	4	4
1966-70	合計	1752	787	420	91	128	161	83	48	17	3	4
0-9	10	5	2	1	1	1	0	0	0	0	0	0
10-19	28	15	5	0	4	2	1	1	0	0	0	0
20-29	48	19	9	1	7	3	2	5	1	0	0	1
30-39	170	76	50	7	12	8	10	1	5	0	0	1
40-49	492	230	116	20	33	46	26	13	6	1	1	1
≥ 50	1004	452	238	62	71	101	44	28	5	2	1	1
1971-75	合計	1834	857	425	89	134	157	105	50	8	3	6
0-9	13	6	5	0	0	2	0	0	0	0	0	0
10-19	38	25	5	2	1	1	2	1	0	0	0	1
20-29	65	33	13	4	8	4	1	2	0	0	0	0
30-39	221	82	58	8	21	14	14	7	2	2	2	3
40-49	665	311	137	28	51	69	37	25	5	0	0	2
≥ 50	832	390	207	47	53	67	51	15	1	1	0	0
1976-80	合計	1861	829	444	112	146	151	93	53	21	3	9
0-9	21	13	2	1	3	2	0	0	0	0	0	0
10-19	50	21	13	3	5	3	1	2	1	0	0	1
20-29	107	52	29	1	7	4	7	3	3	0	0	1
30-39	318	140	86	26	19	18	15	7	6	1	2	2
40-49	818	357	187	47	76	75	45	21	7	1	2	2
≥ 50	547	246	127	34	36	51	25	20	4	1	3	3
1981-85	合計	1786	742	490	105	117	168	101	41	12	4	6
0-9	33	13	10	0	4	2	1	1	1	0	0	1
10-19	78	33	18	11	5	7	3	0	0	0	0	1
20-29	117	55	34	6	2	11	4	3	1	0	0	1
30-39	447	191	114	25	30	40	28	13	3	2	1	1
40-49	812	320	233	45	60	73	48	21	7	2	2	2
≥ 50	299	130	81	18	16	35	16	3	0	0	0	0

付表5B. 循環器疾患による死亡数、男性

期間	被曝時年齢	合計	放射線量 (Gy)									
			0 -.05	.01 -.09	.06 -.19	.10 -.49	.20 -.98	.50 -1.99	1.00 -2.99	2.00 -3.99	3.00 ≥ 4.00	
合計	合計	4797	2278	1063	268	329	391	250	139	42	12	24
0-9		65	34	18	1	4	5	1	1	1	0	0
10-19		143	74	29	11	8	11	6	1	1	0	2
20-29		151	69	33	5	17	9	7	7	2	0	2
30-39		527	251	124	24	38	29	36	10	6	4	5
40-49		1606	760	335	90	121	134	88	51	19	2	9
≥ 50		2305	1090	524	138	141	203	112	69	13	8	9
1950-55	合計	498	248	119	25	38	32	23	6	3	1	3
0-9		7	3	4	0	0	0	0	0	0	0	0
10-19		7	4	0	1	1	1	0	0	0	0	0
20-29		4	1	0	0	2	0	1	0	0	0	0
30-39		20	11	2	0	2	2	1	1	0	1	0
40-49		74	38	12	5	7	6	3	1	2	0	0
≥ 50		386	191	101	19	26	23	18	4	1	0	3
1956-60	合計	639	318	129	34	38	63	23	24	7	0	3
0-9		4	3	0	0	0	0	0	0	1	0	0
10-19		5	4	0	0	0	1	0	0	0	0	0
20-29		8	2	5	0	0	0	1	0	0	0	0
30-39		24	9	5	1	3	3	2	0	0	0	1
40-49		136	67	24	9	9	13	7	7	0	0	0
≥ 50		462	233	95	24	26	46	13	17	6	0	2
1961-65	合計	767	345	185	41	47	63	53	20	7	3	3
0-9		1	0	1	0	0	0	0	0	0	0	0
10-19		12	4	6	0	1	1	0	0	0	0	0
20-29		11	5	3	0	2	1	0	0	0	0	0
30-39		48	22	13	2	2	2	6	1	0	0	0
40-49		214	103	41	7	14	20	19	4	4	1	1
≥ 50		481	211	121	32	28	39	28	15	3	2	2
1966-70	合計	788	368	183	39	54	65	38	30	5	2	3
0-9		6	3	0	1	1	1	0	0	0	0	0
10-19		21	11	4	0	2	2	1	1	0	0	0
20-29		20	8	2	1	5	1	0	3	0	0	0
30-39		79	36	24	1	6	2	5	1	3	0	1
40-49		250	127	62	9	12	17	13	7	2	0	1
≥ 50		412	184	91	27	28	42	19	18	0	2	1
1971-75	合計	746	368	156	36	48	64	43	22	2	2	5
0-9		10	4	4	0	0	2	0	0	0	0	0
10-19		26	17	4	1	0	1	2	0	0	0	1
20-29		30	15	6	1	4	2	1	1	0	0	0
30-39		99	47	26	3	7	6	5	2	0	1	2
40-49		279	137	55	12	19	30	11	12	1	0	2
≥ 50		302	148	61	19	18	23	24	7	1	1	0
1976-80	合計	731	353	144	46	55	56	36	22	13	2	4
0-9		14	10	1	0	2	1	0	0	0	0	0
10-19		29	15	9	1	2	0	1	0	1	0	0
20-29		44	23	7	1	4	1	2	3	2	0	1
30-39		118	60	24	9	5	5	9	1	3	1	1
40-49		341	155	66	24	32	28	18	12	5	0	1
≥ 50		185	90	37	11	10	21	6	6	2	1	1
1981-85	合計	628	277	147	48	49	48	34	15	5	2	3
0-9		23	11	8	0	1	1	1	1	0	0	0
10-19		43	19	6	3	2	5	2	0	0	0	1
20-29		34	15	10	2	0	4	2	0	0	0	1
30-39		139	66	30	8	13	9	8	4	0	1	0
40-49		312	133	75	24	28	20	17	8	5	1	1
≥ 50		77	33	18	6	5	9	4	2	0	0	0

付表5C. 循環器疾患による死亡数、女性

期間	被爆時年齢	合計	放射線量 (Gy)									
			0 -.05	.01 -.09	.06 -.19	.10 -.49	.20 -.99	.50 -1.99	1.00 -2.99	2.00 -3.99	3.00 -3.99	≥ 4.00
合計	合計	6387	2747	1704	336	446	590	340	134	43	8	19
	0-9	40	18	6	2	6	5	0	1	1	0	1
	10-19	104	42	23	8	11	12	3	4	0	0	1
	20-29	245	117	69	7	11	19	11	7	3	0	1
	30-39	852	337	244	56	58	66	50	23	13	2	3
	40-49	1968	817	523	87	155	201	117	44	15	4	5
	≥ 50	3158	1416	639	176	205	287	159	55	11	2	8
1950-55	合計	548	237	167	30	27	44	25	8	5	2	3
	0-9	5	3	0	0	0	2	0	0	0	0	0
	10-19	7	3	1	1	1	0	0	1	0	0	0
	20-29	13	5	5	0	0	2	0	1	0	0	0
	30-39	31	8	10	5	0	2	3	2	1	0	0
	40-49	87	35	28	6	4	8	4	0	2	0	0
	≥ 50	405	183	123	18	22	30	18	4	2	2	3
1956-60	合計	681	317	170	42	46	63	29	10	1	1	2
	0-9	8	5	0	0	2	1	0	0	0	0	0
	10-19	10	5	1	1	0	2	1	0	0	0	0
	20-29	9	5	2	0	0	1	1	0	0	0	0
	30-39	36	16	11	1	4	2	2	0	0	0	0
	40-49	125	52	34	8	9	12	6	2	0	1	1
	≥ 50	493	234	122	32	31	45	19	8	1	0	1
1961-65	合計	798	335	218	36	54	79	55	13	4	0	4
	0-9	3	1	0	1	0	0	0	1	0	0	0
	10-19	12	2	3	0	1	5	1	0	0	0	0
	20-29	14	9	2	0	0	2	1	0	0	0	0
	30-39	64	23	19	5	3	6	5	1	2	0	0
	40-49	151	64	46	2	13	13	9	1	1	0	2
	≥ 50	554	236	148	28	37	53	39	10	1	0	2
1966-70	合計	984	428	237	52	74	96	45	18	12	1	1
	0-9	4	2	2	0	0	0	0	0	0	0	0
	10-19	7	4	1	0	2	0	0	0	0	0	0
	20-29	28	11	7	0	2	2	2	2	1	0	1
	30-39	91	40	26	6	6	6	5	0	2	0	0
	40-49	242	103	54	11	21	29	13	6	4	1	0
	≥ 50	592	268	147	35	43	59	25	10	5	0	0
1971-75	合計	1088	489	289	53	88	93	62	28	6	1	1
	0-9	3	2	1	0	0	0	0	0	0	0	0
	10-19	12	8	1	1	1	0	0	1	0	0	0
	20-29	35	18	7	3	4	2	0	1	0	0	0
	30-39	122	45	32	5	14	8	9	5	2	1	1
	40-49	386	174	82	16	32	39	28	13	4	0	0
	≥ 50	530	242	146	28	35	44	27	8	0	0	0
1976-80	合計	1130	476	300	66	91	95	57	31	8	1	5
	0-9	7	3	1	1	1	1	0	0	0	0	0
	10-19	21	6	4	2	3	3	0	2	0	0	1
	20-29	63	29	22	0	3	3	5	0	1	0	0
	30-39	200	80	62	17	14	11	6	6	3	0	1
	40-49	477	202	121	23	44	47	27	9	2	1	1
	≥ 50	362	158	90	23	26	30	19	14	2	0	2
1981-85	合計	1158	485	343	57	68	120	67	26	7	2	3
	0-9	10	2	2	0	3	1	0	1	0	0	1
	10-19	35	14	12	3	3	2	1	0	0	0	0
	20-29	83	40	24	4	2	7	2	3	1	0	0
	30-39	308	125	84	17	17	31	20	9	3	1	1
	40-49	500	187	158	21	32	53	32	13	2	1	1
	≥ 50	222	97	63	12	11	26	12	1	0	0	0

付表6A. 呼吸器疾患による死亡数、男女合計

期間	被爆時年齢	放射線量 (Gy)										
		合計	0 -.05	.01 -.09	.05 -.19	.10 -.49	.20 -.49	.50 -.99	1.00 -1.99	2.00 -2.99	3.00 -3.99	≥ 4.00
合計	合計	2036	888	528	135	162	150	95	45	17	4	12
	0-9	25	11	9	2	3	0	0	0	0	0	0
	10-19	41	23	8	1	0	4	5	1	0	0	1
	20-29	89	27	20	7	5	4	3	1	1	0	1
	30-39	221	80	56	21	20	23	14	3	1	1	2
	40-49	687	306	180	38	54	47	29	18	8	1	5
	≥ 50	1013	441	277	65	80	72	44	22	7	2	3
1950-55	合計	167	70	48	11	14	11	7	4	1	0	1
	0-9	2	1	1	0	0	0	0	0	0	0	0
	10-19	7	5	0	0	0	2	0	0	0	0	0
	20-29	4	3	1	0	0	0	0	0	0	0	0
	30-39	8	3	3	1	0	0	1	0	0	0	0
	40-49	17	6	5	2	0	2	1	0	0	0	1
	≥ 50	129	52	38	8	14	7	5	4	1	0	0
1956-60	合計	216	92	64	9	16	18	7	7	1	1	1
	0-9	6	5	1	0	0	0	0	0	0	0	0
	10-19	7	2	2	0	0	1	1	1	0	0	0
	20-29	7	3	3	0	0	0	0	1	0	0	0
	30-39	16	7	2	2	1	0	1	1	0	1	1
	40-49	28	12	7	0	4	3	0	0	0	0	0
	≥ 50	154	63	49	7	11	14	5	4	1	0	0
1961-65	合計	249	117	64	19	13	13	13	5	1	1	3
	0-9	1	0	1	0	0	0	0	0	0	0	0
	10-19	2	1	0	1	0	0	0	0	0	0	0
	20-29	8	3	3	1	0	1	0	0	0	0	0
	30-39	12	3	5	2	0	1	1	0	0	0	0
	40-49	40	20	10	1	1	2	3	2	0	0	1
	≥ 50	186	90	45	14	12	9	9	3	1	1	2
1966-70	合計	271	114	80	14	18	21	14	8	1	0	1
	0-9	1	0	1	0	0	0	0	0	0	0	0
	10-19	2	0	1	0	0	0	1	0	0	0	0
	20-29	13	5	5	0	1	0	1	0	0	0	1
	30-39	21	10	5	0	2	2	2	0	0	0	0
	40-49	73	28	27	2	6	5	1	3	1	0	0
	≥ 50	161	71	41	12	9	14	9	5	0	0	0
1971-75	合計	321	142	74	24	25	20	17	9	5	1	3
	0-9	5	3	0	1	1	0	0	0	0	0	0
	10-19	9	5	2	0	0	0	1	0	0	0	1
	20-29	9	3	1	1	2	0	1	0	1	0	0
	30-39	24	7	5	1	2	5	3	1	0	0	0
	40-49	115	57	23	9	9	4	4	7	1	0	1
	≥ 50	159	67	43	12	11	11	8	1	4	1	1
1976-80	合計	402	178	83	31	41	30	22	5	2	0	0
	0-9	6	2	2	1	1	0	0	0	0	0	0
	10-19	11	8	0	0	0	1	2	0	0	0	0
	20-29	10	2	4	3	0	1	0	0	0	0	0
	30-39	54	19	18	7	7	2	2	0	1	0	0
	40-49	172	84	32	10	18	15	12	2	1	0	0
	≥ 50	149	63	39	10	17	11	6	3	0	0	0
1981-85	合計	410	175	105	27	35	37	15	7	5	1	3
	0-9	4	0	3	0	1	0	0	0	0	0	0
	10-19	3	2	1	0	0	0	0	0	0	0	0
	20-29	18	8	3	2	2	2	1	0	0	0	0
	30-39	86	31	20	8	8	13	4	1	0	0	1
	40-49	224	99	58	15	18	18	8	4	5	1	2
	≥ 50	75	35	22	2	8	6	2	2	0	0	0

付表 6B. 呼吸器疾患による死亡数, 男性

期間	被爆時年齢	合計	放射線量 (Gy)									
			0	.01 -.05	.06 -.09	.10 -.19	.20 -.49	.50 -.99	1.00 -1.99	2.00 -2.99	3.00 -3.99	≥ 4.00
合計	合計	1025	454	246	83	96	70	49	25	8	4	10
	0-9	14	5	7	1	1	0	0	0	0	0	0
	10-19	25	13	4	0	0	2	4	1	0	0	1
	20-29	29	12	9	3	3	1	0	0	0	0	1
	30-39	108	43	25	9	15	6	5	2	0	1	2
	40-49	361	177	75	19	29	28	16	10	3	1	3
	≥ 50	488	204	126	31	48	33	24	12	5	2	3
1950-55	合計	88	33	23	8	10	6	5	2	0	0	1
	0-9	1	0	1	0	0	0	0	0	0	0	0
	10-19	2	1	0	0	0	1	0	0	0	0	0
	20-29	4	3	1	0	0	0	0	0	0	0	0
	30-39	3	1	1	1	0	0	0	0	0	0	0
	40-49	9	3	1	1	0	2	1	0	0	0	1
	≥ 50	69	25	19	6	10	3	4	2	0	0	0
1956-60	合計	118	47	31	4	14	11	4	4	1	1	1
	0-9	2	2	0	0	0	0	0	0	0	0	0
	10-19	6	2	2	0	0	0	1	1	0	0	0
	20-29	2	1	1	0	0	0	0	0	0	0	0
	30-39	6	2	0	0	1	0	0	1	0	1	1
	40-49	17	9	2	0	3	3	0	0	0	0	0
	≥ 50	85	31	26	4	10	8	3	2	1	0	0
1961-65	合計	122	64	27	7	5	7	4	3	1	1	3
	0-9	1	0	1	0	0	0	0	0	0	0	0
	10-19	1	1	0	0	0	0	0	0	0	0	0
	20-29	4	2	1	1	0	0	0	0	0	0	0
	30-39	6	1	3	1	0	1	0	0	0	0	0
	40-49	27	16	7	0	0	0	1	2	0	0	1
	≥ 50	83	44	15	5	5	6	3	1	1	1	2
1966-70	合計	146	67	37	7	11	12	6	4	1	0	1
	0-9	1	0	1	0	0	0	0	0	0	0	0
	10-19	1	0	0	0	0	0	1	0	0	0	0
	20-29	3	0	2	0	0	0	0	0	0	0	1
	30-39	16	9	2	0	2	2	1	0	0	0	0
	40-49	41	19	14	2	3	2	0	0	1	0	0
	≥ 50	84	39	18	5	6	8	4	4	0	0	0
1971-75	合計	169	70	38	12	15	8	12	7	4	1	2
	0-9	3	2	0	1	0	0	0	0	0	0	0
	10-19	6	3	1	0	0	0	1	0	0	0	1
	20-29	3	2	0	0	1	0	0	0	0	0	0
	30-39	13	6	3	1	0	0	2	1	0	0	0
	40-49	68	30	13	5	7	3	3	6	1	0	0
	≥ 50	76	27	21	5	7	5	6	0	3	1	1
1976-80	合計	191	88	42	16	21	12	10	2	0	0	0
	0-9	4	1	2	0	1	0	0	0	0	0	0
	10-19	8	6	0	0	0	1	1	0	0	0	0
	20-29	4	1	2	1	0	0	0	0	0	0	0
	30-39	23	7	6	4	6	0	0	0	0	0	0
	40-49	86	47	12	5	7	9	6	0	0	0	0
	≥ 50	66	26	20	6	7	2	3	2	0	0	0
1981-85	合計	191	85	48	9	20	14	8	3	1	1	2
	0-9	2	0	2	0	0	0	0	0	0	0	0
	10-19	1	0	1	0	0	0	0	0	0	0	0
	20-29	9	3	2	1	2	1	0	0	0	0	0
	30-39	41	17	10	2	6	3	2	0	0	0	1
	40-49	113	53	26	6	9	9	5	2	1	1	1
	≥ 50	25	12	7	0	3	1	1	1	0	0	0

付表6C. 呼吸器疾患による死亡数、女性

期間	被爆時年齢	放射線量 (Gy)										
		合計	0 -.05	.01 -.09	.06 -.19	.10 -.49	.20 -.99	.50 -1.99	1.00 -2.99	2.00 -3.99	3.00 ≥ 4.00	
合計	合計	1011	434	282	72	66	80	46	20	9	0	2
	0-9	11	6	2	1	2	0	0	0	0	0	0
	10-19	16	10	2	1	0	2	1	0	0	0	0
	20-29	40	15	11	4	2	3	3	1	1	0	0
	30-39	113	37	31	12	5	17	9	1	1	0	0
	40-49	306	129	85	20	25	19	13	8	5	0	2
	≥ 50	525	237	151	34	32	39	20	10	2	0	0
1950-55	合計	79	37	25	3	4	5	2	2	1	0	0
	0-9	1	1	0	0	0	0	0	0	0	0	0
	10-19	5	4	0	0	0	1	0	0	0	0	0
	20-29	0	0	0	0	0	0	0	0	0	0	0
	30-39	5	2	2	0	0	0	1	0	0	0	0
	40-49	8	3	4	1	0	0	0	0	0	0	0
	≥ 50	60	27	19	2	4	4	1	2	1	0	0
1956-60	合計	98	45	33	5	2	7	3	3	0	0	0
	0-9	4	3	1	0	0	0	0	0	0	0	0
	10-19	1	0	0	0	0	1	0	0	0	0	0
	20-29	5	2	2	0	0	0	0	1	0	0	0
	30-39	10	5	2	2	0	0	1	0	0	0	0
	40-49	9	3	5	0	1	0	0	0	0	0	0
	≥ 50	69	32	23	3	1	6	2	2	0	0	0
1961-65	合計	127	53	37	12	8	8	9	2	0	0	0
	0-9	0	0	0	0	0	0	0	0	0	0	0
	10-19	1	0	0	1	0	0	0	0	0	0	0
	20-29	4	1	2	0	0	1	0	0	0	0	0
	30-39	8	2	2	1	0	0	1	0	0	0	0
	40-49	13	4	3	1	1	2	2	0	0	0	0
	≥ 50	103	46	30	9	7	3	6	2	0	0	0
1966-70	合計	125	47	43	7	7	9	8	4	0	0	0
	0-9	0	0	0	0	0	0	0	0	0	0	0
	10-19	1	0	1	0	0	0	0	0	0	0	0
	20-29	10	5	3	0	1	0	1	0	0	0	0
	30-39	5	1	3	0	0	0	1	0	0	0	0
	40-49	32	9	13	0	3	3	1	3	0	0	0
	≥ 50	77	32	23	7	3	6	5	1	0	0	0
1971-75	合計	152	72	36	12	10	12	5	2	2	0	1
	0-9	2	1	0	0	1	0	0	0	0	0	0
	10-19	3	2	1	0	0	0	0	0	0	0	0
	20-29	6	1	1	1	1	0	1	0	1	0	0
	30-39	11	1	2	0	2	5	1	0	0	0	0
	40-49	47	27	10	4	2	1	1	1	0	0	1
	≥ 50	83	40	22	7	4	6	2	1	1	0	0
1976-80	合計	211	90	51	15	20	18	12	3	2	0	0
	0-9	2	1	0	1	0	0	0	0	0	0	0
	10-19	3	2	0	0	0	0	1	0	0	0	0
	20-29	6	1	2	2	0	1	0	0	0	0	0
	30-39	31	12	10	3	1	2	2	0	1	0	0
	40-49	86	37	20	5	9	6	6	2	1	0	0
	≥ 50	83	37	19	4	10	9	3	1	0	0	0
1981-85	合計	219	90	57	18	15	23	7	4	4	0	1
	0-9	2	0	1	0	1	0	0	0	0	0	0
	10-19	2	2	0	0	0	0	0	0	0	0	0
	20-29	9	5	1	1	0	1	1	0	0	0	0
	30-39	45	14	10	6	2	10	2	1	0	0	0
	40-49	111	46	30	9	9	7	3	2	4	0	1
	≥ 50	50	23	15	2	3	5	1	1	0	0	0

付表 7A. 消化器疾患による死亡数、男女合計

期間	被爆時年齢	放射線量 (Gy)										
		合計	0	.01	.06	.10	.20	.50	1.00	2.00	3.00	≥4.00
			-.05	-.09	-.13	-.49	-.99	-1.99	-2.99	-3.99		
合計	合計	2149	1002	510	105	142	194	98	63	14	8	13
	0-9	55	28	13	1	2	9	3	1	0	0	0
	10-19	157	70	38	11	1	11	14	4	2	1	5
	20-29	127	68	18	7	8	14	6	3	0	2	1
	30-39	282	119	76	9	22	26	14	13	1	0	2
	40-49	587	270	130	35	44	48	28	21	5	3	2
	≥50	941	449	235	42	65	86	32	21	6	2	3
1950-55	合計	383	187	99	14	28	32	21	10	2	0	0
	0-9	10	5	1	0	0	3	1	0	0	0	0
	10-19	6	3	1	0	0	1	1	0	0	0	0
	20-29	8	2	1	0	2	2	1	0	0	0	0
	30-39	28	11	9	0	2	1	3	0	0	0	0
	40-49	79	41	18	3	6	3	3	4	1	0	0
	≥50	264	125	69	11	18	22	12	6	1	0	0
1956-60	合計	327	160	73	14	23	33	9	10	1	2	2
	0-9	5	2	2	0	0	1	0	0	0	0	0
	10-19	13	9	2	1	0	0	1	0	0	0	0
	20-29	13	8	1	0	0	2	0	2	0	0	0
	30-39	29	12	7	1	3	5	0	0	0	0	1
	40-49	57	25	11	4	6	5	2	2	1	1	0
	≥50	210	104	50	8	14	20	6	6	0	1	1
1961-65	合計	310	145	77	18	23	24	13	6	2	1	1
	0-9	2	2	0	0	0	0	0	0	0	0	0
	10-19	8	0	4	1	0	1	0	2	0	0	0
	20-29	15	9	2	0	1	2	1	0	0	0	0
	30-39	31	12	9	3	3	1	2	1	0	0	0
	40-49	80	38	23	5	2	4	5	3	0	0	0
	≥50	174	84	39	9	17	16	5	0	2	1	1
1966-70	合計	299	130	77	14	16	32	11	12	4	1	2
	0-9	6	2	2	0	1	0	1	0	0	0	0
	10-19	18	6	6	0	0	3	0	1	2	0	0
	20-29	17	10	3	0	1	3	0	0	0	0	0
	30-39	36	19	12	0	3	2	0	0	0	0	0
	40-49	95	35	16	8	6	13	8	5	1	1	2
	≥50	127	58	38	6	5	11	2	6	1	0	0
1971-75	合計	268	110	65	20	18	21	20	8	3	1	2
	0-9	4	2	1	0	0	0	1	0	0	0	0
	10-19	33	14	10	2	0	2	4	0	0	0	1
	20-29	19	9	3	2	1	0	2	1	0	1	0
	30-39	38	15	6	4	3	3	3	4	0	0	0
	40-49	93	36	27	6	8	7	6	2	1	0	0
	≥50	81	34	18	6	6	9	4	1	2	0	1
1976-80	合計	300	150	68	13	24	21	10	10	1	1	2
	0-9	15	7	4	0	0	3	0	1	0	0	0
	10-19	35	20	8	4	0	0	2	0	0	0	1
	20-29	33	16	5	4	3	2	2	0	0	0	1
	30-39	56	20	19	0	4	4	3	5	1	0	0
	40-49	97	55	17	3	12	5	1	3	0	1	0
	≥50	64	32	15	2	5	7	2	1	0	0	0
1981-85	合計	252	120	51	12	10	31	14	7	1	2	4
	0-9	13	6	3	1	1	2	0	0	0	0	0
	10-19	44	18	7	3	1	4	6	1	0	1	3
	20-29	22	14	3	1	0	3	0	0	0	1	0
	30-39	66	30	14	1	4	10	3	3	0	0	1
	40-49	86	40	18	6	4	11	4	2	1	0	0
	≥50	21	12	6	0	0	1	1	1	0	0	0

付表7B. 消化器疾患による死亡数, 男性

期 間	被曝時年齢	放 射 総 量 (Gy)										
		合 計	0 -.05	.01 -.09	.06 -.19	.10 -.49	.20 -.89	.50 -1.99	1.00 -2.99	2.00 -3.99	3.00 -3.99	≥ 4.00
合 計	合 計	1108	543	234	51	66	105	54	33	8	3	11
	0-9	44	20	10	1	2	8	2	1	0	0	0
	10-19	119	56	29	8	1	7	10	2	2	1	5
	20-29	66	36	9	4	4	7	5	0	0	0	1
	30-39	139	60	32	5	11	15	6	8	1	0	1
	40-49	280	141	54	17	18	22	15	10	2	0	1
	≥ 50	480	230	100	18	30	46	16	12	3	2	3
1950-55	合 計	208	107	43	6	13	23	9	6	1	0	0
	0-9	7	3	0	0	0	3	1	0	0	0	0
	10-19	4	2	1	0	0	1	0	0	0	0	0
	20-29	4	0	1	0	0	2	1	0	0	0	0
	30-39	12	8	2	0	0	1	1	0	0	0	0
	40-49	43	23	9	1	4	2	2	1	0	0	0
	≥ 50	138	71	30	5	9	14	4	5	0	0	0
1956-60	合 計	181	92	38	7	8	19	7	6	1	1	2
	0-9	5	2	2	0	0	1	0	0	0	0	0
	10-19	8	6	1	0	0	0	1	0	0	0	0
	20-29	6	4	1	0	0	1	0	0	0	0	0
	30-39	17	6	4	1	1	4	0	0	0	0	1
	40-49	30	14	3	3	2	4	1	2	1	0	0
	≥ 50	115	60	27	3	5	9	5	4	0	1	1
1961-65	合 計	159	77	32	11	12	13	8	3	1	1	1
	0-9	2	2	0	0	0	0	0	0	0	0	0
	10-19	3	0	3	0	0	0	0	0	0	0	0
	20-29	5	3	0	0	1	0	1	0	0	0	0
	30-39	18	7	4	2	2	1	2	0	0	0	0
	40-49	47	24	12	3	1	1	3	3	0	0	0
	≥ 50	84	41	13	6	8	11	2	0	1	1	1
1966-70	合 計	142	66	29	7	11	14	5	6	3	0	1
	0-9	3	1	1	0	1	0	0	0	0	0	0
	10-19	14	6	3	0	0	2	0	1	2	0	0
	20-29	7	4	1	0	1	1	0	0	0	0	0
	30-39	16	10	3	0	2	1	0	0	0	0	0
	40-49	52	23	7	5	3	6	3	4	0	0	1
	≥ 50	50	22	14	2	4	4	2	1	1	0	0
1971-75	合 計	138	63	30	8	8	9	13	2	1	0	2
	0-9	4	2	1	0	0	0	1	0	0	0	0
	10-19	28	11	9	2	0	2	3	0	0	0	1
	20-29	11	4	2	2	1	0	2	0	0	0	0
	30-39	22	11	1	2	2	2	2	2	0	0	0
	40-49	35	17	8	1	3	2	4	0	0	0	0
	≥ 50	36	18	9	1	2	3	1	0	1	0	1
1976-80	合 計	160	81	36	7	9	15	3	6	1	0	2
	0-9	13	5	4	0	0	3	0	1	0	0	0
	10-19	26	16	7	2	0	0	0	0	0	0	1
	20-29	22	13	2	2	1	2	1	0	0	0	1
	30-39	29	8	11	0	3	2	0	4	1	0	0
	40-49	39	24	6	2	3	3	1	0	0	0	0
	≥ 50	31	15	6	1	2	5	1	1	0	0	0
1981-85	合 計	122	57	26	5	5	12	9	4	0	1	3
	0-9	10	5	2	1	1	1	0	0	0	0	0
	10-19	36	15	5	2	1	2	6	1	0	1	3
	20-29	11	8	2	0	0	1	0	0	0	0	0
	30-39	25	10	7	0	1	4	1	2	0	0	0
	40-49	34	16	9	2	2	4	1	0	0	0	0
	≥ 50	6	3	1	0	0	0	1	1	0	0	0

付表 7C. 消化器疾患による死亡数、女性

期間	被爆時年齢	合計	放射線量 (Gy)									
			0	.01	.06	.10	.20	.50	1.00	2.00	3.00	≥ 4.00
			-.05	-.09	-.18	-.49	-.98	-1.99	-2.99	-3.99		
合計	合計	1041	459	276	54	76	89	44	30	6	5	2
	0-9	11	6	3	0	0	1	1	0	0	0	0
	10-19	38	14	9	5	0	4	4	2	0	0	0
	20-29	61	32	9	3	4	7	1	3	0	2	0
	30-39	143	59	44	4	11	11	8	5	0	0	1
	40-49	307	129	76	18	26	26	14	11	3	3	1
	≥ 50	481	219	135	24	35	40	16	9	3	0	0
1950-55	合計	185	80	56	8	15	9	12	4	1	0	0
	0-9	3	2	1	0	0	0	0	0	0	0	0
	10-19	2	1	0	0	0	0	1	0	0	0	0
	20-29	4	2	0	0	2	0	0	0	0	0	0
	30-39	14	3	7	0	2	0	2	0	0	0	0
	40-49	36	18	9	2	2	1	1	3	0	0	0
	≥ 50	126	54	39	6	9	8	8	1	1	0	0
1956-60	合計	146	68	35	7	15	14	2	4	0	1	0
	0-9	0	0	0	0	0	0	0	0	0	0	0
	10-19	5	3	1	1	0	0	0	0	0	0	0
	20-29	7	4	0	0	0	1	0	2	0	0	0
	30-39	12	6	3	0	2	1	0	0	0	0	0
	40-49	27	11	8	1	4	1	1	0	0	1	0
	≥ 50	95	44	23	5	9	11	1	2	0	0	0
1961-65	合計	151	68	45	7	11	11	5	3	1	0	0
	0-9	0	0	0	0	0	0	0	0	0	0	0
	10-19	5	0	1	1	0	1	0	2	0	0	0
	20-29	10	6	2	0	0	2	0	0	0	0	0
	30-39	13	5	5	1	1	0	0	1	0	0	0
	40-49	33	14	11	2	1	3	2	0	0	0	0
	≥ 50	90	43	26	3	9	5	3	0	1	0	0
1966-70	合計	157	84	48	7	5	18	6	8	1	1	1
	0-9	3	1	1	0	0	0	1	0	0	0	0
	10-19	4	0	3	0	0	1	0	0	0	0	0
	20-29	10	6	2	0	0	2	0	0	0	0	0
	30-39	20	9	9	0	1	1	0	0	0	0	0
	40-49	43	12	9	3	3	7	5	1	1	1	1
	≥ 50	77	36	24	4	1	7	0	5	0	0	0
1971-75	合計	132	47	35	12	10	12	7	6	2	1	0
	0-9	0	0	0	0	0	0	0	0	0	0	0
	10-19	5	3	1	0	0	0	1	0	0	0	0
	20-29	8	5	1	0	0	0	0	1	0	1	0
	30-39	15	4	5	2	1	1	1	2	0	0	0
	40-49	58	19	19	5	5	5	2	2	1	0	0
	≥ 50	45	16	9	5	4	6	3	1	1	0	0
1976-80	合計	140	69	32	6	15	6	7	4	0	1	0
	0-9	2	2	0	0	0	0	0	0	0	0	0
	10-19	9	4	1	2	0	0	2	0	0	0	0
	20-29	11	3	3	2	2	0	1	0	0	0	0
	30-39	27	12	8	0	1	2	3	1	0	0	0
	40-49	58	31	11	1	9	2	0	3	0	1	0
	≥ 50	33	17	9	1	3	2	1	0	0	0	0
1981-85	合計	130	63	25	7	5	18	5	3	1	1	1
	0-9	3	1	1	0	0	1	0	0	0	0	0
	10-19	8	3	2	1	0	2	0	0	0	0	0
	20-29	11	6	1	1	0	2	0	0	0	1	0
	30-39	41	20	7	1	3	6	2	1	0	0	1
	40-49	52	24	9	4	2	7	3	2	1	0	0
	≥ 50	15	9	5	0	0	1	0	0	0	0	0

付表8A. その他の疾患による死亡数, 男女合計

期 間	被爆時年齢	合 計	放 射 総 量 (Gy)									
			0 -.05	.01 -.09	.06 -.19	.10 -.49	.20 -.99	.50 -1.99	1.00 -2.99	2.00 -3.99	3.00 -3.99	≥ 4.00
合 計	合 計	4015	1924	987	200	247	345	185	87	23	8	9
	0-9	88	50	16	6	5	8	2	0	1	0	0
	10-19	172	88	46	7	4	12	6	8	1	0	0
	20-29	153	76	38	9	6	13	1	6	2	0	2
	30-39	340	171	71	24	18	25	22	6	3	0	0
	40-49	789	361	189	39	54	76	47	24	5	2	2
	≥ 50	2463	1178	627	115	160	211	107	43	11	6	5
1950-55	合 計	791	392	196	41	38	81	35	13	5	4	5
	0-9	15	7	3	0	1	3	0	0	1	0	0
	10-19	35	21	11	1	0	2	0	0	0	0	0
	20-29	32	14	7	4	3	1	0	1	0	0	2
	30-39	34	18	6	1	0	4	4	1	0	0	0
	40-49	74	37	16	4	1	8	6	1	1	0	0
	≥ 50	601	295	153	31	34	43	25	10	3	4	3
1956-60	合 計	803	391	210	40	47	73	24	14	1	1	2
	0-9	8	3	2	1	0	2	0	0	0	0	0
	10-19	26	14	4	0	0	5	2	1	0	0	0
	20-29	23	11	5	0	3	3	0	1	0	0	0
	30-39	36	21	7	4	1	2	1	0	0	0	0
	40-49	81	39	22	4	6	7	1	2	0	0	0
	≥ 50	629	303	170	31	37	54	20	10	1	1	2
1961-65	合 計	648	293	177	28	44	55	27	18	4	1	1
	0-9	15	13	1	0	1	0	0	0	0	0	0
	10-19	25	8	10	2	0	1	0	3	1	0	0
	20-29	20	9	7	2	0	1	1	0	0	0	0
	30-39	28	12	7	4	2	2	1	0	0	0	0
	40-49	67	30	16	3	5	5	4	3	0	0	1
	≥ 50	493	221	136	17	36	46	21	12	3	1	0
1966-70	合 計	497	238	119	20	34	41	28	17	1	0	1
	0-9	16	11	2	1	2	0	0	0	0	0	0
	10-19	24	11	6	1	3	1	1	1	0	0	0
	20-29	18	12	5	0	0	1	0	0	0	0	0
	30-39	35	17	8	2	3	4	0	1	0	0	0
	40-49	110	46	27	4	8	11	4	9	0	0	1
	≥ 50	294	141	71	12	18	24	21	6	1	0	0
1971-75	合 計	451	222	95	25	26	43	27	7	5	1	0
	0-9	12	5	2	3	0	1	1	0	0	0	0
	10-19	31	14	9	2	0	2	2	0	0	0	0
	20-29	20	13	4	0	0	3	0	0	0	0	0
	30-39	60	27	13	2	4	4	9	1	0	0	0
	40-49	111	55	20	7	7	11	6	1	3	1	0
	≥ 50	217	108	47	11	15	22	9	3	2	0	0
1976-80	合 計	428	207	95	22	33	38	20	10	2	1	0
	0-9	13	7	2	1	1	2	0	0	0	0	0
	10-19	15	8	4	1	0	0	1	1	0	0	0
	20-29	20	6	6	2	0	4	0	1	1	0	0
	30-39	68	42	14	3	3	4	0	2	0	0	0
	40-49	159	72	39	7	13	12	10	5	0	1	0
	≥ 50	153	72	30	8	16	16	9	1	1	0	0
1981-85	合 計	387	181	95	24	24	34	26	8	5	0	0
	0-9	9	4	4	0	0	0	1	0	0	0	0
	10-19	16	12	2	0	1	1	0	0	0	0	0
	20-29	20	11	4	1	0	0	0	3	1	0	0
	30-39	79	34	16	8	5	5	7	1	3	0	0
	40-49	197	82	49	10	14	22	16	3	1	0	0
	≥ 50	76	38	20	5	4	6	2	1	0	0	0

付表 8B. その他の疾患による死亡数, 男性

期 間	被爆時年齢	合 計	放 射 線 量 (Gy)									
			0 -.05	.01 -.09	.06 -.19	.10 -.49	.20 -.99	.50 -1.99	1.00 -2.99	2.00 -3.99	3.00 -3.99	≥ 4.00
合 計	合 計	1640	824	359	84	97	136	72	48	8	6	6
0-9	48	25	10	5	3	5	0	0	0	0	0	0
10-19	76	40	21	4	2	4	1	3	1	0	0	0
20-29	37	19	5	4	3	4	1	1	0	0	0	0
30-39	145	78	26	8	5	13	10	4	1	0	0	0
40-49	319	149	73	15	17	33	16	12	1	1	2	2
≥ 50	1015	513	224	48	67	77	44	28	5	5	4	4
1950-55	合 計	354	191	83	13	17	24	13	6	2	3	2
0-9	9	4	2	0	1	2	0	0	0	0	0	0
10-19	13	11	2	0	0	0	0	0	0	0	0	0
20-29	6	3	0	1	2	0	0	0	0	0	0	0
30-39	12	8	2	0	0	1	1	0	0	0	0	0
40-49	35	19	7	1	0	3	4	0	1	0	0	0
≥ 50	279	146	70	11	14	18	8	6	1	3	2	2
1956-60	合 計	352	185	78	17	18	36	9	6	0	1	2
0-9	6	2	1	1	0	2	0	0	0	0	0	0
10-19	9	3	2	0	0	3	1	0	0	0	0	0
20-29	8	5	1	0	1	1	0	0	0	0	0	0
30-39	17	12	2	1	0	1	1	0	0	0	0	0
40-49	41	19	11	1	3	6	1	0	0	0	0	0
≥ 50	271	144	61	14	14	23	6	6	0	1	2	2
1961-65	合 計	268	130	56	13	20	20	14	10	3	1	1
0-9	9	7	1	0	1	0	0	0	0	0	0	0
10-19	11	2	5	2	0	0	0	1	1	0	0	0
20-29	4	2	1	0	0	0	1	0	0	0	0	0
30-39	16	7	3	3	1	2	0	0	0	0	0	0
40-49	30	15	5	1	2	3	2	1	0	0	0	1
≥ 50	198	97	41	7	16	15	11	8	2	1	0	0
1966-70	合 計	206	98	45	11	13	18	12	9	1	0	1
0-9	5	3	0	1	1	0	0	0	0	0	0	0
10-19	11	5	4	1	1	0	0	0	0	0	0	0
20-29	5	4	1	0	0	0	0	0	0	0	0	0
30-39	22	9	8	1	2	3	0	1	0	0	0	0
40-49	49	20	12	3	2	5	2	4	0	0	0	1
≥ 50	114	57	22	5	7	8	10	4	1	0	0	0
1971-75	合 計	185	87	36	10	14	21	10	6	1	0	0
0-9	7	4	1	2	0	0	0	0	0	0	0	0
10-19	16	6	6	1	0	1	0	2	0	0	0	0
20-29	5	2	1	0	0	2	0	0	0	0	0	0
30-39	28	13	4	1	1	3	5	1	0	0	0	0
40-49	47	26	7	2	4	6	2	0	0	0	0	0
≥ 50	82	36	17	4	9	9	3	3	1	0	0	0
1976-80	合 計	152	76	35	11	9	9	6	5	0	1	0
0-9	5	2	1	1	0	1	0	0	0	0	0	0
10-19	7	6	1	0	0	0	0	0	0	0	0	0
20-29	5	1	1	2	0	1	0	0	0	0	0	0
30-39	25	17	5	1	0	1	0	1	0	0	0	0
40-49	59	25	19	3	3	3	1	4	0	1	0	0
≥ 50	51	25	8	4	6	3	5	0	0	0	0	0
1981-85	合 計	123	57	28	9	6	10	8	6	1	0	0
0-9	7	3	4	0	0	0	0	0	0	0	0	0
10-19	9	7	1	0	1	0	0	0	0	0	0	0
20-29	4	2	0	1	0	0	0	1	0	0	0	0
30-39	25	12	4	1	1	2	3	1	1	0	0	0
40-49	53	25	12	4	3	7	4	3	0	0	0	0
≥ 50	20	8	5	3	1	1	1	1	0	0	0	0

付表8C. その他の疾患による死亡数, 女性

期間	被爆時年齢	合計	放射線量 (Gy)									
			0 -0.5	.01 -.09	.06 -.19	.10 -.49	.20 -.49	.50 -.99	1.00 -1.99	2.00 -2.99	3.00 -3.99	≥4.00
合計	合計	2375	1100	628	116	150	209	113	39	15	2	3
	0-9	40	25	6	1	2	3	2	0	1	0	0
	10-19	98	48	25	3	2	8	5	5	0	0	0
	20-29	116	57	33	5	3	9	0	5	2	0	2
	30-39	195	93	45	16	13	12	12	2	2	0	0
	40-49	480	212	116	24	37	43	31	12	4	1	0
	≥50	1448	685	403	67	93	134	63	15	8	1	1
1950-55	合計	437	201	113	28	22	37	22	7	3	1	3
	0-9	6	3	1	0	0	1	0	0	1	0	0
	10-19	22	10	9	1	0	2	0	0	0	0	0
	20-29	28	11	7	3	1	1	0	1	0	0	2
	30-39	22	10	4	1	0	3	3	1	0	0	0
	40-49	39	18	9	3	1	5	2	1	0	0	0
	≥50	322	149	83	20	20	25	17	4	2	1	1
1956-60	合計	451	206	132	23	29	37	15	8	1	0	0
	0-9	2	1	1	0	0	0	0	0	0	0	0
	10-19	17	11	2	0	0	2	1	1	0	0	0
	20-29	15	6	4	0	2	2	0	1	0	0	0
	30-39	19	9	5	3	1	1	0	0	0	0	0
	40-49	40	20	11	3	3	1	0	2	0	0	0
	≥50	358	158	109	17	23	31	14	4	1	0	0
1961-65	合計	380	163	121	15	24	35	13	8	1	0	0
	0-9	6	6	0	0	0	0	0	0	0	0	0
	10-19	14	6	5	0	0	1	0	2	0	0	0
	20-29	16	7	6	2	0	1	0	0	0	0	0
	30-39	12	5	4	1	1	0	1	0	0	0	0
	40-49	37	15	11	2	3	2	2	2	0	0	0
	≥50	295	124	95	10	20	31	10	4	1	0	0
1966-70	合計	291	140	74	9	21	25	14	8	0	0	0
	0-9	11	8	2	0	1	0	0	0	0	0	0
	10-19	13	6	2	0	2	1	1	1	0	0	0
	20-29	13	8	4	0	0	1	0	0	0	0	0
	30-39	13	8	2	1	1	1	0	0	0	0	0
	40-49	61	26	15	1	6	6	2	5	0	0	0
	≥50	180	84	49	7	11	16	11	2	0	0	0
1971-75	合計	266	135	59	15	12	22	17	1	4	1	0
	0-9	5	1	1	1	0	1	1	0	0	0	0
	10-19	15	8	3	1	0	1	2	0	0	0	0
	20-29	15	11	3	0	0	1	0	0	0	0	0
	30-39	32	14	9	1	3	1	4	0	0	0	0
	40-49	64	28	13	5	3	5	4	1	3	1	0
	≥50	135	72	30	7	6	13	6	0	1	0	0
1976-80	合計	276	131	60	11	24	29	14	5	2	0	0
	0-9	8	5	1	0	1	1	0	0	0	0	0
	10-19	8	2	3	1	0	0	1	1	0	0	0
	20-29	15	5	5	0	0	3	0	1	1	0	0
	30-39	43	25	9	2	3	3	0	1	0	0	0
	40-49	100	47	20	4	10	9	9	1	0	0	0
	≥50	102	47	22	4	10	13	4	1	1	0	0
1981-85	合計	274	124	69	15	18	24	18	2	4	0	0
	0-9	2	1	0	0	0	0	1	0	0	0	0
	10-19	7	5	1	0	0	1	0	0	0	0	0
	20-29	16	9	4	0	0	0	0	2	1	0	0
	30-39	54	22	12	7	4	3	4	0	2	0	0
	40-49	139	57	37	6	11	15	12	0	1	0	0
	≥50	56	30	15	2	3	5	1	0	0	0	0

付表 9. 被爆時年齢 40 歳以上の LQ モデル\* の期間別回帰係数

期 間	被 爆 時 年 齡					
	$\geq 40$		40-49		$\geq 50$	
	$\alpha_1$	$\alpha_2$	$\alpha_1$	$\alpha_2$	$\alpha_1$	$\alpha_2$
1950-55	-0.2400	0.0715	-0.1162	0.0113	-0.2707	0.0875
1956-60	-0.1986	0.0379	-0.0199	-0.0201	-0.2463	0.0549
1961-65	-0.0420	0.0330	-0.0227	0.0333	-0.0472	0.0318
1966-70	0.1615	-0.0326	0.1700	-0.0058	0.1547	-0.0505
1971-75	0.0836	-0.0171	0.1448	-0.0179	0.0335	-0.0190
1976-80	0.0362	-0.0075	0.0058	-0.0100	0.0938	-0.0049
1981-85	0.0635	-0.0199	0.1877	-0.0324	-0.3716	0.0342

\* 相対リスク =  $1 + \alpha_1 d + \alpha_2 d^2$  ただし、d は放射線量（グレイ）。

付表 10. 腫瘍および血液疾患を除く全疾患の回帰モデルの推定係数

モデル	被爆時年齢 (年)	$\alpha_1$	$\alpha_2$	$\alpha_3$	$\beta_1$	$\beta_2$	Deviance	$df$
Null							2372.2	2681
Model 1		0.0288					2368.7	2680
Model 2		-0.0309	0.0189				2364.0	2679
Model 3			0.0115				2365.0	2680
Model 4			0.0042		1.976		2359.0	2679
Model 5-1		-0.1208	0.0149	0.0214			2357.9	2678
Model 5-2		-0.0641	0.0123	0.0079	0.8490		2356.5	2677
Model 5-3		-0.1177	0.0123	0.0218	0.8397	-2.649	2354.1	2676
Model 5-4	<40	0.0606	0.0425	-0.0537			2346.0	2675
	≥40	-0.1597	0.0008	0.0461				
Model 5-5	<50	-0.0058	0.0259	-0.0231			2345.8	2675
	≥50	-0.1905	-0.0113	0.0698				
Model 5-6	<40	0.0606	0.0425	-0.0537			2341.7	2672
	40-49	-0.0665	0.0110	0.0044				
	≥50	-0.1905	-0.0113	0.0698				
Model 6-1		-0.1701	0.0141	0.0328			2355.7	2678
Model 6-2		-0.1556	0.0136	0.0299	0.2310		2355.6	2677
Model 6-3		-0.2594	0.0054	0.0671	1.789	-4.503	2346.7	2676
Model 6-4	<40	0.0499	0.0319	-0.0223			2347.4	2675
	≥40	-0.2181	0.0062	0.0479				
Model 6-5	<50	-0.0145	0.0222	-0.0171			2347.1	2675
	≥50	-0.2590	-0.0016	0.0732				
Model 6-6	<40	0.0499	0.0319	-0.0223			2342.3	2672
	40-49	-0.0709	0.0138	-0.0177				
	≥50	-0.2590	-0.0016	0.0732				
Model 7-1		-0.1067	0.0149	0.0110			2358.6	2678
Model 7-2		-0.0532	0.0136	0.0017	0.6912		2357.9	2677

つづく

付表 10. つづき

モデル	被爆時年齢 (年)	$\alpha_1$	$\alpha_2$	$\alpha_3$	$\beta_1$	$\beta_2$	Deviance	df
Model 7-3		-0.1071	0.0131	0.0082	0.7357	-237.4	2356.0	2676
Model 7-4	<40	0.1733	0.0425	-0.0703			2339.7	2675
	≥40	-0.1683	0.0008	0.0363				
Model 7-5	<50	-0.0041	0.0259	-0.0239			2345.8	2675
	≥50	-0.1879	-0.0113	0.0575				
Model 7-6	<40	0.1733	0.0425	-0.0703			2335.4	2672
	40-49	-0.1407	0.0110	0.0061				
	≥50	-0.1879	-0.0113	0.0575				

モデルの定義は次のとおり。

Models 1,2,3, and 4 : RR = 1 + ( $\alpha_1 \cdot d + \alpha_2 \cdot d^2$ ) • exp [ $\beta_1 I(A < 40)$ ].

Models 5-1 to 3 : RR = 1 + [ $\alpha_1 \cdot d \cdot I(T \leq 1965) + \alpha_2 \cdot d^2 + \alpha_3 \cdot d^2 \cdot I(T \leq 1965)$ ] • exp ( $\beta_1 \cdot I(A < 40) + \beta_2 \cdot I(A < 50) \cdot I(T \leq 1960)$ ).

Models 6-1 to 3 : RR = 1 + [ $\alpha_1 \cdot d \cdot I(T \leq 1960) + \alpha_2 \cdot d^2 + \alpha_3 \cdot d^2 \cdot I(T \leq 1960)$ ] • exp ( $\beta_1 \cdot I(A < 40) + \beta_2 \cdot I(A < 50) \cdot I(T \leq 1960)$ ).

Models 7-1 to 3 : RR = 1 + [ $\alpha_1 \cdot d \cdot I(T \leq 1960) + \alpha_2 \cdot d^2 + \alpha_3 \cdot d^2 \cdot I(T \leq 1965)$ ] • exp ( $\beta_1 \cdot I(A < 40) + \beta_2 \cdot I(A < 50) \cdot I(T \leq 1960)$ ).

Models 5-4 to 6 : RR = 1 +  $\alpha_{1j} \cdot d \cdot I(T \leq 1965) + \alpha_{2j} \cdot d^2 + \alpha_{3j} \cdot d^2 \cdot I(T \leq 1965)$ .

Models 6-4 to 6 : RR = 1 +  $\alpha_{1j} \cdot d \cdot I(T \leq 1960) + \alpha_{2j} \cdot d^2 + \alpha_{3j} \cdot d^2 \cdot I(T \leq 1960)$ .

Models 7-4 to 6 : RR = 1 +  $\alpha_{1j} \cdot d \cdot I(T \leq 1960) + \alpha_{2j} \cdot d^2 + \alpha_{3j} \cdot d^2 \cdot I(T \leq 1965)$ .

ただし、 $j$  は被爆時年齢の区分、 $d$  はグレイ単位。1950-60年の期間では  $I(T \leq 1960) = 1$ 、1961-85年の期間では0である。被爆時年齢が40歳未満の場合、 $I(A < 40) = 1$ 、40歳以上の場合0。また1950-65年の期間では  $I(T \geq 1965) = 1$  で、1966-85年の期間では0である。被爆時年齢50歳未満の場合； $I(A < 50) = 1$  で50歳以上の場合は0である。

付表11. 死因別回帰モデルの推定係数

死因	Model*	被爆時年齢 (年)	$\alpha_1$	$\alpha_2$	$\alpha_3$	Deviance	df
循環器疾患	Null					1881.9	2681
	Model 1		0.0464			1877.4	2680
	Model 2		0.0233	0.0073		1877.1	2679
	Model 3			0.0129		1877.3	2680
	Model 5-1		-0.0716	0.0118	0.0199	1876.4	2678
	Model 5-4	< 40	0.3204	0.0513	-0.1264	1864.3	2675
		≥ 40	-0.1134	-0.0043	0.0485		
脳卒中	Null					1450.5	2681
	Model 1		0.0260			1449.7	2680
	Model 2		-0.0199	0.0145		1448.8	2679
	Model 3			0.0098		1448.9	2680
	Model 5-1		-0.1114	0.0067	0.0335	1447.3	2678
	Model 5-4	< 40	0.5546	0.0567	-0.1521	1435.3	2675
		≥ 40	-0.1657	-0.0139	0.0649		
心疾患	Null					1546.7	2681
	Model 1		0.0733			1542.0	2680
	Model 2		0.0782	-0.0016		1542.0	2679
	Model 3			0.0169		1543.4	2680
	Model 5-1		-0.0034	0.0172	-0.0002	1543.4	2678
	Model 5-4	< 40	0.0566	0.0390	-0.0762	1539.1	2675
		≥ 40	-0.0180	0.0057	0.0259		
呼吸器疾患	Null					1055.1	2681
	Model 1		0.0595			1053.5	2680
	Model 2		-0.1562	0.0683		1047.8	2679
	Model 3			0.0304		1050.1	2680
	Model 5-1		-0.2442	0.0238	0.0827	1048.1	2678
	Model 5-4	< 40	-0.1109	0.0405	0.0648	1047.5	2675
		≥ 40	-0.2629	0.0168	0.0878		

つづく

付表 11. つづき

死 因	Model*	被爆時年齢 (年)	$\alpha_1$	$\alpha_2$	$\alpha_3$	Deviance	df
消化器疾患	Null					1449.0	2681
	Model 1		0.0958			1445.0	2680
	Model 2		-0.0316	0.0420		1442.9	2679
	Model 3			0.0340		1443.0	2680
	Model 5-1		-0.1052	0.0719	-0.0526	1436.8	2678
	Model 5-4	< 40	0.0677	0.0956	-0.1142	1435.6	2675
		≥ 40	-0.1407	0.0437	-0.0143		
その他の疾患	Null					1438.0	2681
	Model 1		-0.0543			1435.4	2680
	Model 2		-0.1270	0.0222		1433.9	2679
	Model 3			-0.0076		1437.3	2680
	Model 5-1		-0.2942	-0.0263	0.1031	1424.0	2678
	Model 5-4	< 40	-0.3091	-0.0276	0.1059	1423.9	2675
		≥ 40	-0.2852	-0.0276	0.1041		

\* モデルの定義については付表 10 参照。

付表12. 血液および造血器官の疾患と診断された死亡例の血液学的検討結果、1950-82年

放射線量(Gy)	観察人年	血液疾患と診断された死亡例の総数			白血病登録になかつた者			白血病登録による診断		
		観察値	期待値	合計	白血病	その他の癌	血液疾患	観察値	期待値	その他の疾患
0	918,564	42	59.0	21	21	2	2	9	9.46	8
0.01-0.99	1,040,366	71	66.8	36	35	1	5	11	10.71	18
$\geq 1.00$	80,876	18	5.2	7	11	6	1	1	0.83	3
合計	2,039,806	131	131.0	64	67	9	8	21	21.00	29

注：死亡期待数は線量と関連しないという帰無仮説に基づいて計算した。

付表13. 罹以外の死因の正確性、1950-85年

疾 患	剖検に記載されている主要死因				剖検に記載されている主要死因または関連死因				
	死亡診断書	剖 檢 (主要死因)	一 致	確 診 率 (%)	発 見 率 (%)	(いすれかとしてあります)	剖 檢	確 診 率 (%)	発 見 率 (%)
循環器疾患	2072	2036	1475	71.2	72.4	5227	2025	97.7	38.7
心疾患	806	836	317	39.3	37.9	4464	739	91.7	16.6
冠動脈性心疾患	322	245	92	28.6	37.6	2134	222	68.9	10.4
脳卒中	1214	730	495	40.8	67.8	2778	1047	86.2	37.7
その他	52	470	14	26.9	3.0	3919	41	78.8	1.0
老衰	249	6	2	0.8	33.3	45	10	4.0	22.2
感染症	319	375	180	56.4	48.0	1553	231	72.4	14.9
結核	255	316	161	63.1	50.9	1170	200	78.4	17.1
その他	64	59	12	18.8	20.3	473	22	34.4	4.7
血液疾患	54	31	21	38.9	67.7	1534	39	72.2	2.5
肺炎	215	224	39	18.1	17.4	2881	156	72.6	5.4
肝硬変	198	200	106	53.5	53.0	1082	164	82.8	15.2
腎炎, ネフローゼ	79	35	17	21.5	48.6	343	19	24.1	5.5

資料源 : Tokunaga et al.<sup>27</sup>

付表 14. 2 Gy 以上を被曝し成人健康調査の検診を受けた死亡者のうち臨床診断によって確認された者の割合

死 因	死亡数			
	合 計	未決定*	臨床診断と比較したもの	臨床診断で確認したもの
合 計	125	59	66	55 ( 83.3 %)
結 核	2	—	2	2 (100.0 %)
脳卒中	34	22	12	12 (100.0 %)
心疾患	42	23	19	17 ( 89.5 %)
消化器疾患	18	3	15	12 ( 80.0 %)
その他	29	11	18	12 ( 66.7 %)

注：2 Gy 以上で被曝し成人健康調査の検診を受けた死亡者の総数は140人である。このうち7人が血液疾患で死亡し、8人の死因の診断が不適切であった。これを除いた125人の死亡について表にした。

\* これらの死亡者は突然の死(脳卒中または心疾患)の可能性があったか、最終の成人健康調査受診と死亡の間に長期間(10年以上)が経過していたため除外した。

付表 15. 成人健康調査対象者(広島)の死亡診断書に記載された肝硬変の確認

## A. すべての情報を用いた場合

肝硬変の総数	77
1. 剖検(病理診断)により確認	19
2. 成人健康調査の診断で肝硬変と確認	18
3. 成人健康調査の診断で慢性肝炎と確認	10
4. 成人健康調査の診断で肝硬変の可能性ありと確認	4
5. 成人健康調査の診断で慢性肝炎の可能性ありと確認	1
6. 疫学的調査票に記載の病歴により確認	5

## B. 剖検所見を用いた場合

肝硬変による死亡 77 人中の剖検総数	23
病理診断の主要死因により確認	16

付表 16A. 死因と剖検診断の比較、腫瘍および血液疾患を除く全疾患

放射線量 (Gy)	入年	症例数		剖検率 (%)	剖検		剖検で発見された癌 主要診断または関連診断 例数 %		
		観察値	期待値*		剖検数	例数 %			
合 <sup>#†</sup>	2,185,336	20,777	—	2610	12.6	251	9.6 490 18.8		
0	984,271	9490	9509.9	908	9.6	102	11.2 177 19.5		
0.01-0.99	1,114,651	10,507	10,509.4	1561	14.9	124	7.9 275 17.6		
1.00-1.99	55,261	506	528.7	93	18.4	19	20.4 28 30.1		
2.00-2.99	18,311	149	131.9	24	16.2	4	16.7 5 20.8		
3.00-3.99	5923	45	39.0	11	24.4	0	— 2 18.2		
≥4.00	6919	80	58.1	13	16.3	2	15.4 3 23.1		
被爆時年齢40歳未満群、1966-85年									
合 <sup>#†</sup>	935,269	3109	—	312	10.0	27	8.7 53 17.0		
0	422,205	1417	1420.7	120	8.5	13	10.8 19 15.8		
0.01-0.99	476,220	1543	1559.0	169	11.0	12	7.1 30 17.8		
1.00-1.99	23,133	82	86.4	13	15.9	2	15.4 3 23.1		
≥2.00	13,711	67	42.9	10	14.9	0	— 1 10.0		

\*期待死亡数は、都市、性、被爆時年齢群、および追跡期間による差を Mantel-Haenzel 法により調整し、放射線による影響はないという帰無仮説に基づき計算した。

付表 16B. 死因と剖検診断の比較、心疾患

放射線量 (Gy)	人年	剖検で発見された病			
		症例数		主要診断 例数	主要診断または関連診断 例数
		観察値	期待値*		
全被爆時年齢群、1950–85年					
合 計	2,185,336	4962	—	570	11.5
0	984,271	2209	2249.7	199	9.0
0.01–0.99	1,114,651	2565	2533.7	338	13.2
1.00–1.99	55,261	117	125.0	19	16.2
≥2.00	31,153	71	53.5	14	19.7
≥1.00	86,413	188	178.5	33	17.6
被爆時年齢40歳未満群、1966–85年					
合 計	935,269	880	—	75	8.5
0	422,205	382	397.3	23	6.0
0.01–0.99	476,220	454	446.6	42	9.3
1.00–1.99	23,133	25	24.4	5	20.0
≥2.00	13,711	19	11.7	5	26.3
≥1.00	36,844	44	36.1	10	22.7

\*期待死亡数は、都市、性、被爆時年齢群、および追跡期間による差を Mantel-Haenzel法により調整し、放射線による影響はないという帰無仮説に基づき計算した。

付表16C. 死因と剖検診断の比較、肝硬変

放射線量 (Gy)	人年	症例数		剖検数	剖検率 (%)	主要診断		剖検で発見された癌	
		観察値	期待値*			例数	%	例数	%
全被爆時年齢群、1950–85年									
合計	2,185,336	697	—	121	17.4	24	19.8	33	27.3
0	984,271	328	322.1	49	14.9	11	22.4	15	30.6
0.01–0.99	1,114,651	330	345.2	67	20.3	13	19.4	17	25.4
1.00–1.99	55,261	23	19.3	4	17.4	0	—	1	25.0
≥2.00	31,153	16	9.5	1	6.3	0	—	0	—
≥1.00	86,413	39	28.8	5	12.8	0	—	1	20.0
被爆時年齢40歳未満群、1966–85年									
合計	935,269	281	—	33	11.7	8	24.2	11	33.3
0	422,205	132	132.0	13	9.8	3	23.1	4	30.8
0.01–0.99	476,220	129	136.5	18	14.0	5	27.8	6	33.3
1.00–1.99	23,133	9	7.8	1	11.1	0	—	1	100.0
≥2.00	13,711	11	4.7	1	9.1	0	—	0	—
≥1.00	36,844	20	12.5	2	10.0	0	—	1	50.0

\*期待死亡数は、都市、性、被爆時年齢群、および追跡期間による差を Mantel-Haenzel 法により調整し、放射線による影響はないという帰無仮説に基づき計算した。

付表 16D. 死因と剖検診断の比較、循環器疾患

放射線量 (Gy)	人年	症例数		剖検数		剖検率 (%)		主要診断		剖検で発見された概 要診断または関連診断	
		観察値	期待値*	剖検数	例数	%	主要診断 例数	%	主要診断または 関連診断 例数	%	
全被爆時年齢群、1950–85年											
合 計	2,185,336	11,164	—	1368	12.3	84	6.1	212	15.5		
0	984,271	5025	5083.2	474	9.4	38	8.0	83	17.5		
0.01–0.99	1,114,651	5718	5678.7	821	14.4	40	4.9	116	14.1		
1.00–1.99	55,261	273	282.1	45	16.5	3	6.7	8	17.8		
≥2.00	31,153	148	119.8	28	18.9	3	10.7	5	17.9		
≥1.00	86,413	421	401.9	78	18.5	6	7.7	13	16.7		
被爆時年齢40歳未満群、1966–85年											
合 計	935,269	1764	—	151	8.6	8	5.3	16	10.6		
0	422,205	789	798.9	58	7.4	4	6.9	6	10.3		
0.01–0.99	476,220	887	892.4	81	9.1	3	3.7	9	11.1		
1.00–1.99	23,133	46	49.2	6	13.0	1	16.7	1	16.7		
≥2.00	13,711	42	23.4	6	14.3	0	—	0	—		
≥1.00	36,844	88	72.6	12	13.6	1	8.3	1	8.3		

\*期待死亡数は、都市、性、被爆時年齢群、および追跡期間による差を Mantel-Haenszel 法により調整し、放射線による影響はないという帰無仮説に基づき計算した。

付表16E. 死因と剖検診断の比較. 冠状動脈性心疾患

放射線量 (Gy)	人年	症例数		剖検率 (%)	剖検で発見された病			
		観察値	期待値*		主要診断			
					例数	%	例数	
全被爆時年齢群, 1950-85年								
合 計	2,185,336	1765	—	205	11.6	12	5.9	
0	984,271	744	788.1	71	9.5	7	9.9	
0.01-0.99	1,114,651	954	911.0	121	12.7	5	4.1	
1.00-1.99	55,261	40	46.0	6	15.0	0	—	
≥ 2.00	31,153	27	20.0	7	25.9	0	—	
≥ 1.00	86,413	67	66.0	13	19.4	0	—	
被爆時年齢40歳未満群, 1966-85年								
合 計	935,269	363	—	29	8.0	1	3.4	
0	422,205	136	162.1	6	4.4	0	—	
0.01-0.99	476,220	209	185.7	20	9.6	1	5.0	
1.00-1.99	23,133	8	10.4	1	12.5	0	—	
≥ 2.00	13,711	10	4.8	2	20.0	0	—	
≥ 1.00	36,844	18	15.2	3	16.7	0	—	

\*期待死亡数は、都市、性、被爆時年齢群、および追跡期間による差を Mantel-Haenzel法により調整し、放射線による影響はないという帰無仮説に基づき計算した。

付表 16F. 死因と剖検診断の比較、脳卒中

放射線量 (Gy)	人年	症例数		剖検率 (%)	主要診断		剖検で発見された病		
		観察値	期待値*		剖検数	例数	%	主要診断または関連診断	
全被爆時年齢群、1950–85年									
合 計	2,185,336	6202	—	798	12.9	44	5.5	112	14.0
0	984,271	2816	2833.5	275	9.8	17	6.2	42	15.3
0.01–0.99	1,114,651	3153	3145.0	483	15.3	23	4.8	64	13.3
1.00–1.99	55,261	156	157.1	26	16.7	1	3.8	3	11.5
≥2.00	31,153	77	66.3	14	18.2	3	21.4	3	21.4
≥1.00	86,413	233	223.4	40	17.2	4	10.0	6	15.0
被爆時年齢40歳未満群、1966–85年									
合 計	935,269	884	—	76	8.6	3	3.9	7	9.2
0	422,205	407	401.6	35	8.6	2	5.7	3	8.6
0.01–0.99	476,220	433	445.8	39	9.0	1	2.6	4	10.3
1.00–1.99	28,133	21	24.8	1	4.8	0	—	0	—
≥2.00	13,711	23	11.7	1	4.3	0	—	0	—
≥1.00	36,844	44	36.5	2	4.5	0	—	0	—

\*期待死因数は、都市、性、被爆時年齢群、および追跡期間による差を Mantel-Haenszel 法により調整し、放射線による影響はないという帰無仮説に基づき計算した。

付表 17A. 死亡診断書で癌以外の死因によると記載された死亡のうち  
広島・長崎の腫瘍登録に癌症例と報告された者の割合、線量別

放射線量 (Gy)	死亡数	腫瘍登録に報告されていた癌*	
		症例数	%
全被爆時年齢群、1950-85年			
合 計	20,777	889	4.3
0	9490	353	3.7
0.01-0.99	10,507	476	4.5
1.00-1.99	506	39	7.7
≥ 2.00	274	21	7.7
被爆時年齢 40 歳未満群、1966-85年			
合 計	3109	179	5.8
0	1417	73	5.2
0.01-0.99	1543	96	6.2
1.00-1.99	82	5	6.1
≥ 2.00	67	5	7.5

\*潜在癌を除く。

付表 17B. 死亡診断書で癌以外の死因によると記載された死亡のうち広島・長崎の腫瘍登録で癌症例と報告された者の割合、死因別

死 因	死亡数	腫瘍登録に報告されていた癌*	
		症例数	%
全被爆時年齢群、1950-85年			
腫瘍および血液疾患を除く全疾患	20,777	889	4.3
循環器疾患	11,164	431	3.9
脳卒中	6202	208	3.4
心疾患	4962	223	4.5
呼吸器疾患	2036	120	5.9
消化器疾患	2149	156	7.3
肝硬変	697	63	9.0
被爆時年齢40歳未満群、1966-85年			
腫瘍および血液疾患を除く全疾患	3109	179	5.8
循環器疾患	1764	76	4.3
脳卒中	884	38	4.3
心疾患	880	38	4.3
呼吸器疾患	276	22	8.0
消化器疾患	455	48	10.5
肝硬変	281	27	9.6

注：感染症およびその他の疾患は示さなかった。

\* 潜在癌は除いた。

付表18A. 病院で死亡した者の割合(%)、放射線量、被爆時年齢、期間、および死因別

死因 線量(Gy)	全被爆時年齢群			被爆時年齢40歳未満群			被爆時年齢40歳以上群		
	1950-65	1966-75	1976-85	1950-65	1966-75	1976-85	1950-65	1966-75	1976-85
<b>癌以外の疾患</b>									
0	16 (656)	39 (1071)	58 (1557)	36 (236)	61 (333)	73 (645)	12 (420)	33 (738)	51 (912)
≥2.0	28 (33)	59 (47)	76 (68)	41 (11)	84 (21)	85 (40)	24 (22)	48 (26)	65 (28)
<b>白血病</b>									
0	85 (17)	94 (15)	95 (21)	100 (8)	91 (10)	100 (14)	75 (9)	100 (5)	88 (7)
≥2.0	74 (14)	100 (6)	80 (4)	69 (9)	100 (5)	67 (2)	83 (5)	100 (1)	100 (2)
<b>白血病を除くすべての癌</b>									
0	37 (298)	71 (538)	87 (759)	62 (82)	81 (214)	93 (477)	32 (216)	65 (324)	78 (282)
≥2.0	48 (19)	74 (29)	89 (47)	92 (12)	73 (16)	97 (36)	26 (7)	76 (13)	69 (11)

注：括弧内の数字は病院で死亡した者の数。

付表 18B. 死亡場所別の主要死因による死亡の 1 Gy の相対リスク

死 因	死亡場所	
	病 院	家
癌以外の疾患	1.20 (1.15, 1.26)	0.96 (0.93, 1.02)
脳卒中	1.18 (1.08, 1.29)	0.96 (0.91, 1.02)
心疾患	1.30 (1.18, 1.44)	0.96 (0.91, 1.03)
消化器疾患	1.23 (1.11, 1.38)	0.95 (0.87, 1.06)
その他	1.07 (0.99, 1.17)	0.95 (0.90, 1.00)
白血病	4.61 (3.57, 6.07)	7.92 (4.02, 18.7)
白血病を除くすべての癌	1.38 (1.29, 1.47)	1.14 (1.05, 1.25)

注：括弧内の数値は 90 % 信頼限界。

付表 18C. 死亡場所別の死亡診断書記載死因の正確性

死 因	死亡場所	確診率(%)	発見率(%)	死亡診断書の正確性に対する補正係数
脳卒中	病 院	48.9	62.2	0.79
	家	35.7	70.1	0.51
心疾患	病 院	39.7	52.2	0.76
	家	39.9	32.6	1.22
肝硬変	病 院	58.5	60.2	0.97
	家	34.1	35.9	0.95
結核	病 院	63.4	64.5	0.98
	家	60.0	30.3	1.98
白血病	病 院	82.9	90.6	0.92
	家	100.0	100.0	1.00
白血病を除く悪性腫瘍	病 院	92.7	81.5	1.14
	家	93.5	64.8	1.44

資料源 Yamamoto et al.<sup>28</sup>

付表18D. 死亡場所について調整した後の放射線の影響

死因	線量(Gy)	死亡場所別死亡数				観察値	補正死亡数		
		合計		期待値 <sup>a</sup>	相対リスク				
		観察値	期待値 <sup>a</sup>						
心疾患									
合計	0	2209	2246.1	1.0	762	1447	2344	2357.5 1.0	
	≥2.0	71	54.6	1.34	35	36	71	56.6 1.26	
被爆時年齢									
40歳未満	0	382	395.5	1.0	223	159	363	375.9 1.0	
	≥2.0	19	12	1.64	13	6	17	11.3 1.56	
1966-85年									
肝硬変									
合計	0	328	322.6	1.0	208	120	316	310.5 1.0	
	≥2.0	16	9.5	1.66	13	3	15	9.2 1.60	
被爆時年齢									
40歳未満	0	132	131.7	1.0	112	20	128	127.4 1.0	
	≥2.0	11	4.7	2.34	10	1	11	4.5 2.43	
1966-85年									

<sup>a</sup>都市、性、被爆時年齢、および期間について調整。<sup>b</sup>死亡場所別死亡診断書の正確性に対する補正係数を用いて計算。